

Г.Ф. ДЕМЕШКО

ПРОЕКТИРОВАНИЕ СУДОВ

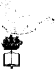
**Амфибийные суда на
воздушной подушке**

В 2-х книгах

2

*Рекомендовано Комитетом по высшей школе
Министерства России в качестве учебника для
студентов судостроительных специальностей
вузов*

Гж. Ад. 90.



Санкт-Петербург
СУДОСТРОЕНИЕ
1992

ББК 39.12

Д30

УДК 629.124.8.039(07)

Руководитель проф. В. А. Зус (кафедра судостроения Новгородского государственного инженерного университета), Ю. П. Семёнов (главный конструктор ЦМКБ "Азот", СПб).

Демешко Г. Ф.

Ships Design. Air Cushion Vehicles: - Texbook. In 2 books. B. 2. - СПб: Shipbuilding, 1992. - 329 p. ill.

An account of the methodological principles of the ACV (air cushion vehicle) design is given in this textbook. ACV is considered to be a complex technical system. The algorithms of calculation are given here for the design of the whole ship as well as for her functional sub-systems (lift, propulsion and skirt systems, structural design). The methods used in the ships weight calculations, recommendations on the provision of the ship's stability, exploitation safety, ships' general arrangement are indicated here. The monography contains plenty of factual data concerning the study with ships and is intended for students of the shipbuilding higher educational establishments and for specialists.

Демешко Г. Ф.

*Проектирование судов. Амфибийные СВП: Учебник.
В 2-х кн. Кн. 2. -
СПб: Судостроение, 1992. - 329 с., ил.*

В учебнике изложены методологические основы проектирования амфибийных СВП. Судно рассматривается как сложная техническая система. Приведены расчетные алгоритмы для проектирования судна в целом и для его функциональных подсистем (подъемного и пропульсивного комплексов, частного корпуса, ГО). Даны способы расчета нагрузок судна и рекомендации по обводочным свойствам, безопасности эксплуатации, компоновке судна. Монография содержит большое количество фактического материала по построенным судам. Она предназначена для студентов кораблестроительных вузов и специалистов.

Δ 2705140300-01
048(01)-92 без обьина.

ББК 39.12

ISBN 5-7355-0477-0

(©) Г.Ф. Демешко, 1992

Глава 6. НАЗНАЧЕНИЕ ХАРАКТЕРИСТИК ОГРАЖДЕНИЙ ОБЛАСТИ ВП

6.1. Гибкие ограждения ВП.

Назначение, условия эксплуатации, требования к ним.

История развития ГО на СВП начинается с 1950 г. Для улучшения проходимости, например, английское СВП SRN¹ было оснащено гибкой податливой конструкцией типа фартука ("юбки" - по-английски "Skirt"), которая изменилась по всему периметру его ВП. В связи с этим резко уменьшилось количество выхлопного из-под СВП воздуха, поскольку теперь он выходит только через зазор под кромкой гибкого полотнища. Это позволило ложному корпусу над подстилающей поверхностью и эффективнее преодолевать препятствия или воронки волн, пропускать их без анти волновых ударов при движении аппарата над неровной поверхностью или водолазным морем. Такая конструкция в дальнейшем была названа гибким ограждением (ГО) воздушной подушки.

За прошедшие десятилетия эта конструкция претерпела множество модификаций, усовершенствования, примкнула к себе внимание изобретателей во многих странах мира. Однако в исходном виде ГО, являясь одним из важнейших компонентов СВП, остаётся наименее изученной и наиболее удивительной его конструкцией.

Гибкие ограждения, выполненные из высокопрочных воздухонепроницаемых эластичных материалов, есть податливая конструкция, предназначенная для защиты жесткого корпуса над твердой или водной поверхностью, которая обладает устойчивостью формы, расположена под корпусом СВП и отделяет область воздуха повышенного давления от окружающей атмосферы или разделяет эту область на секции (зоны). ГО работает как шлангомоконструкция с большим числом звеньев замкнутыми и пульсирующими нагрузками, удерживая под давлением судна область высокого давления, и действует как упругая система, способная сглаживать динамические воздействия поверхности защищющей поверхности, обеспечивать устойчивость аппарата (судна) по тангуру и крену. Для пропускания поверхности корабля над днищем судна, ГО должно обладать способностью отклоняться; носовая его часть - внутрь под днище судна, кормовая - наружу из-под днища, бортовые части - набок и вдоль судна в направлении корабля. В то же время ГО должно обладать большим числом степеней свободы из-за характерной для СВП склонности к движению с большими углами дрейфа, с раскачкой.

ГО области ВП призвано идеально отслеживать волнообразную поверхность воды или поверхности твердого экрана, что обеспечивает не только отсутствие контактирования с подстилающей поверхностью, но и постоянство расхода воздуха из ВП по ее периметру. Конструкции его должна быть такой, чтобы противостоять нагрузкам от действия сил, вызываемых волнами повышенного интенсивностью воздуха, наполняющим воздушные конструкции и область ВП, и сил гидродинамической природы, которые возникают из-за контактирования с поверхностью воды.

Характеризуя условия, в которых эксплуатируется ГО, следует особо отозваться на следующих аспектах их функционирования:

- постоянная нагруженность эластичных конструкций ГО избыточным давлением воздуха, принимающим в зависимости от внешних условий статический или динамический характер и действующим на ГО со стороны ВП или внутри его замкнутых объемов, наполняемых воздухом, поступающим от нагнетателей;

- контакт с водой при движении судна над ее поверхностью; во взаимодействии море - воздействие ударов о волны и скоростях, доходящих до 80 уз, вынужденное циклическими циклическими нагрузками с переменными частотами колебаний;

- обдувание струями воздуха, скорость в которых достигает нескольких десятков метров в секунду, усиливающим о поверхности на воде брызги, а при выходе на берег - песок или пыль;

- истарение эластичных кромок ГО о бетон стояночных площадок;

- контактирование и удары о истреченные предметы, ледовый покров или торосы, грунт и растительность при движении над твердой поверхностью;

- эксплуатация ограждений в составе судна в широком диапазоне температур окружающего воздуха (-40...+40°C);

- разрушающее действие морских солей в присутствующих в воде нефтепродуктах.

Помимо амфибийности и прозрачности ГО определяют мореходность, прочность, потерянную и вертикальную остойчивость, характеристики ходости, качки, управляемости, энерговооруженности и надежности СВП. Одним из важнейших требований является устойчивость формы ГО, которое как шлангомоконструкция под действием внутреннего давления

воздуха приносит наибольший объем. Форма ГО, нарушающая вертикальные воздействиями, должна стремиться к восстановлению после прекращения этих воздействий. Поскольку на СВП действуют силы и моменты, крениющие, дифферентующие или стремящиеся перенести его по вертикали, форма и конструкция ГО должны быть такими, чтобы содействовать повышению ответных сил и моментов, восстанавливющих первоначальное положение судна. Для исключения смещения центра давления вдоль или поперек судна, приводящего к его опрокидыванию и (или) переворачиванию, требуется, чтобы ГО при контакте с поверхностью или препятствием как можно меньше смещалось (под судно и наборот). Такой контакт должен в большой степени приводить к скользению ГО по вертикали и в меньшей степени к смещению по горизонтали. Контистирование должно быть сведено к минимуму и любых условиях эксплуатации, т.е. и над гладкой, и над неровной поверхностью. Это является гарантией минимального сопротивления движению ни таиной воде, ни волнении и на судне. Следовательно способность ГО в рациональное распределение его вертикальной жесткости по параметру судна приводят к снижению вертикальных перегрузок. Таким образом, пневмоконструкции ГО должны рассматриваться как пневморесоры. Минимизация контактирования ГО с сухой поверхностью обусловлена требованиями не только ходности и мореходности, но и его ресурса, або снижаются истирание, рассасывание и усталостные нагрузки материала ГО, особенно нижних кромок. Необходимо также добавить, что из-за несовершенства конструкции ГО, быстрой изнашиваемости материала, связанной как с жесткими условиями эксплуатации, так и с отсутствием подложки для его изготовления материалов, ресурс ГО остается неизвестно малым. По этой причине конструк-

ции ограждения должны быть легко заменяемыми и ремонтопригодными.

Сама конструкция ГО или специальные приспособления должны максимально подавлять брызгобросование.

Таким образом, требования к ГО обусловлены как условиями эксплуатации СВП и функционирования ГО, так и требованиями придания судну свойств в качестве, делающих его надежным и конкурентоспособным транспортным средством. По крайней мере только после освоения СВП гибкими ограждениями, в большей или меньшей степени ответвляющимися перечисленные выше требованиями, эти суда стали амфибийными, мореходными, всепогодными и в значительной мере надежными.

8.6.2. Типы ГО, применяемые на АСВП

Использование эластичной массы для удержания ВП под пакетом за SRN 1 в попытке дальнейшей реализации данной идеи на этом и других судах и аппаратах поставили перед конструкторами ряда очень сложных задач, решение которых в той или иной мере продолжается до сих пор.

Первый круг проблем касался обеспечения создаваемым ограждением податливости, устойчивости формы и напряжности; второй - придания судну, основанныому на ГО, свойства, которые с акрометической и энергетической точки зрения по своим показателям не уступали бы аппаратам к судам, но имеющим ГО.

Действительно, использование ГО на СВП привело к необходимости учитывать следующие обстоятельства:

- появление дополнительного раздела нагрузки, составляющего до 5% от полной массы судна;

- высокая стоимость конструкции ГО (5...6% от строительной стоимости судна);
- высокие эксплуатационные затраты, связанные с текущими расходами на ремонт и замену выходящих из строя элементов ГО (из-за их износчивости, приводящей не только к износоизносу рельса, но и к аварийным ситуациям);
- дополнительное профильное сопротивление движению из-за увеличения габаритов судна;
- частичное ухудшение расходно-износовых характеристик ВП, создаваемой и удерживаемой подводными конструкциями (по сравнению с тяжелыми у аппаратов и судов, где ВП создается и удерживается жестким сопловым аппаратом или жесткими бортовыми стеклами подводной камеры);
- увеличенное изношивание центра тяжести судна за счет скорости поверхности на величину, равную высоте ГО, усложняющее обеспечение остойчивости.

Учитывая условия эксплуатации, требования к ГО и перечисленный выше круг проблем, появление которых для СВП вызвало установкой ГО, исследователи постоянно занимаются совершенствованием ограждений области ВП [40], [180], [185]. Отметим только те из них, которые оказались надежными, экономичными и получили наибольшее распространение:

- 1) ГО с гибким надувным ресивером (верхний ярус) и поперечно-расщепленными кавитными (съемными) элементами (нижний ярус) (рис.6.1);
- II) ГО с разомкнутым ресивером (верхний ярус) и сегментными элементами (нижний ярус);
- III) ГО многокамерное, состоящее из нескольких закрепленных за жестким днищем судна камер, каждая из которых заготавливается за форму установленного конуса (конусные ГО);
- IV) комбинированные ГО (комbinations I и III типов);

У ограждений I типа по периферии жесткого корпуса судна проходит гибкий ресивер, заполняемый воздухом от насосителя. В поперечном сечении он представляет собой комбинацию двух сегментов надувных круговых шин-цилиндров, которые в нижней части смыкаются между собой по касательной, а каждый второй конец сегмента, находясь в верхней части гибкого ресивера, прилегает к жесткому корпусу, замыкающему таким образом параметр поперечного сечения ресивера. В местах присоединения гибкого ресивера к жесткому корпусу последнему передаются усилия, возникающие на ГО. Гибкий ресивер легко деформируется в вертикальном направлении, что делает его склонен к рессорой наименее транспортного средства. Введение оттяжек или промежуточной диафрагмы (рис.6.2) можно значительно уменьшить вертикальную жесткость гибкого ресивера, который в зависимости от количества упомянутых оттяжек или диафрагм может быть выполнен двух- трех- и многоярусным.

К гибкому ресиверу (рис.6.3) присоединяются составляющие нижний ярус ГО легкосъемные, поперечно-расщепленные (съемные) элементы, как правило, открытые со стороны ВП, привинченные болтовыми стяжками друг к другу (и тем сохранившие свою форму) и способные отклоняться под действием внешней силы внутри области ВП. При натяжении или потере НЭ съемные элементы под давлением воздуха, находящегося внутри каждого из них, смыкаются и заполняют образовавшееся отверстие, значительно уменьшая его и давая возможность судну продолжать движение без существенного снижения эксплуатационных характеристик.

Рис. 6.1. Ракето-спутниковая система ВИ-1 типа с тяжелым подъемным и измерительно-расположительным наземным (спутниковым) комплексом: 1 - избыточное давление наружного пространства; 2 - скользкая секция ракеты; 3 - бортовой участок ракеты; 4 - узловый сдвиг наружного пространства; 5 - горизонтальная система наружного пространства; 6 - стаканчик соединение ТО с корпусом; 7 - избыточное давление наружного пространства; 8 - продольное стыковочное устройство ВИ ГС; 9 - запорное свинтирующее устройство ВИ ГС; 10 - пристыковочное устройство ВИ ГС; 11 - паспортный пакетик (скобка); 12 - подавляющий насос ГС; 13 - стаканчик ГС; 14 - узловые колпачки НЭ; 15 - короткое колпачки НЭ; 16 - промежуточные подкрепители в погружении ракеты

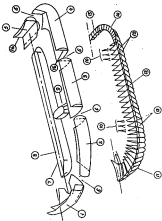




Рис.6.2. ГО 1 типа с двухъярусным гибким рулем: 1 - верхний ярус; 2 - нижний ярус; 3 - диафрагма; 4 - отверстие в подводном русле для прохода воздуха; 5 - НЭ



Рис.6.3. Открытый НЭ в составе ГО 1 типа:
1 - надувной гибкий руль; 2 - НЭ; 3 - кронштейн для крепления НЭ; 4 - кронштейн для крепления НЭ сакционирующего ГО; 5 - наружная стекла НЭ; 6 - НЭ сакционирующего ГО; 7 - диафрагмы в сакционирующих ГО; 8 - антивбрационные оттяжки (может быть диафрагмой); 9 - сжатый участок боковых стенок НЭ; 10 - жесткий экран; 11 - поперечное сечение НЭ

Воздух из гибкого руслера в ВП может поступать или непосредственно, или через съемный элемент. В обоих случаях в попотнице материала, образующего гибкий ресивер, делают для этого пазы, крутые или овальные отверстия и т.д. Гибкий ресивер (см.рас.6.1), расположившись по периметру панцы судна, к которому он прикрепляется, в носовой части и в местах скруглений в кормовой части приобретает сложную торособразную (пространственную) форму, которая сочетается с жестким корпусом по линиям притяжения. Последние наносятся на теоретически чертежи ГО и корпуса. Двухъярусный по форме ГО этого типа ГО делает его более податливым, позволяет пропускать незначительные по высоте и по длине препятствия или волны без отклонения всего ГО, в то время как гибкий ресивер, являясь значительно более жестким, чем НЭ, отклоняется лишь при встрече с препятствиями предельной высоты.

Соответствие высоты гибкого ресивера и высоты НЭ в долях от полной высоты h_{go} различно и в процентном отношении колеблется от 70/30 до 30/70. Чем больше высота НЭ, тем податливее ГО и тем меньше прирост сопротивлений движению судна на волновом море по сравнению с такой же корабль. На примере английского СВП SR.M 6 (рис.6.4) видно, насколько существенно увеличивается скорость движения судна в одинаковых условиях волнового моря при увеличении относительной высоты НЭ по отношению к высоте ГО от $h_{ne}/h_{go} = 0.3$ до $h_{ne}/h_{go} = 0.5$.

При этом наблюдается снижение или сокращение на том же уровне значений вертикальных перегрузок (в долях от гравитационной постоянной \mathfrak{g}) при одной и той же скорости ход-

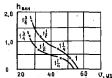


Рис.6.4. Скорость движения и характеристики мореходности английского СВП 8RN^o6 ($D_n = 8t$)

в зависимости от высоты нерегулярной волны:
 — x — $h_{irr}/h_{te} = 0,3$; — + — $h_{irr}/h_{te} = 0,5$
 (числовые значения — вертикальные перегрузки в районе носа СВП в единицах от g)

да, но при значительно увеличивающейся высоте преодолеваемой волны. Такие улучшения, однако, достигаются в ущерб продольной и поперечной остойчивости судна при его наложении. Повышение НЭ в условиях эксплуатации и характеристики судна зависят кроме этого от угла наклона θ_{go} наружной образующей стены зондажного к горизонту. Наряду с увеличением площади ВП S_p увеличение угла наклона θ_{go} приводит, как показано в [188], к снижению сопротивления от замыкаемого ГО из тихой воды.

Сочетание гибкого ресивера и открытых НЭ используется в качестве периферийного ГО на бортовых участках и в носовой части первоцентра ВП. Как уже отмечалось, в корне под влиянием встречных волн и препятствий ГО

должно отклоняться из области ВП, поэтому здесь используются закрытые НЭ, имеющие образующие стены как с наружной стороны ВП, так и с внутренней ее стороны (рис.6.5). Таким образом удается избежать загребания воды при контакте кормы с поверхностью воды. Как видно из рисунка, НЭ приобретает форму гипсоокружной по воде поверхности, что способствует снижению сопротивления движению как в тихой воде, так и на волнении. Другие виды кормовых секций ГО, их носовой части показаны в [118], они также имеют гипсоокружную форму.

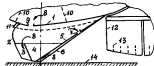


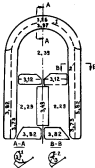
Рис.6.5. Вариант кормового НЭ ГО: 1 — гибкий ресивер; 2 — задняя образующая стена НЭ; 3 — кормовая решетка для выхода воздуха; 4 — вертикальная формаобразующая диафрагма НЭ; 5 — гипсоокружная стена НЭ; 6 — клапан, прикрепленный к стенке 5 и служащий для подвода воздуха, вытекающего изнутри кромки ГО; 7 — отверстие для выхода воздуха в клапане 6; 8 — поток воздуха; 9 — отверстия в положении гибкого ресивера для выхода воздуха в НЭ; 10 — антиимбрекционная бляшка; 11 — компонент для крепления НЭ; 12 — продольный склономимущий ВП киль; 13 — диафрагмы, формирующие НЭ склономимущего киля; 14 — жесткий экран

Движение на волнении часто сопровождается интенсивной кашьюющей кашей, что приводит к значительному контаминации кормы с водой. Для умерения каша, как показывает опыт эксплуатации, жесткими уменьшать вертикальную жесткость кормового ГО, для чего гибкий ресивер может выполняться многогрустным, с меньшим чем в носу и по бортам перепадом давлений между внутренним объемом и объемом ВП и также расщеплением кормового участка гибкого ресивера на изолированные отсеки, которые отделены друг от друга глухими несвязанными один с другой перегородками. Это позволяет участкам кормового ГО перемещаться вертикально один относительно другого подобно клапанам розетки.

Закрытые (глухие) НЭ устанавливаются и на узловых участках периметра ГО в местах перехода от борта к корме (см.рис.6.1), что связано с большими утилами дрейфа и с риском АСВП, движущегося при наличии бокового ветра на волнении.

Рассматриваемый тип ГО помимо описанной выше периферийной его части (см.рис.6.1) имеет еще в секционирующую область ВП ограждения. Они препятствуют перетеканию воздуха из наполненной секции в сторону отверстия, образующегося под поднятым бортом (или окончностью), в результате чего в опустившейся секции давление понижается по сравнению с секцией на поднятом борту (или окончности). Вариант конструкции секционирующего ограждения приведен на рис.6.29 (см.л.6.5), в реализации разделения ВП на секции показана на примере английского СВП SR.M 4 (рис.6.6), где кроме того, приведены численные значения избыточного давления воздуха на различных участках ВП и отсеков гибкого ресивера в килопаскалях. Видно, что перепад давлений между областями ВП

Рис.6.6. Схема ГО СВП SR.M 4 в плавании: 1 - диафрагма предотвращающая засорение сужения; 2 - антивibrationные диафрагмы; 3 - нинодвигательный клапан



и гибким ресивером у секционирующих ограждений принимается меньше, чем между ВП и периферийным гибким ресивером. Движение в носовом участке гибкого ресивера (торпедийной его части) устанавливается меньше, чем в бортовой его части, что способствует амортизации ударов встречных волн.

Поведение ГО на волнении, остойчивость, устойчивость формы и сама форма заперечного сечения гибкого ресивера в значительной степени определяются величиной перепада давлений между внутренним объемом гибкого ресивера и областью ВП, характеризующийся коэффициентом $\kappa_p = P_p / P_B$.

Гибкие ограждения I типа в полном комплекте представлены на рис.6.7, где кроме форм

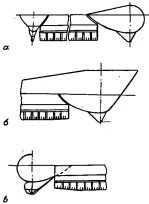


Рис.6.7. Схематичная схема ГО 1 типа: а - продольное сечение СВП; б - сечение по ДП (нос); в - сечение по ДП (корпус)

поперечных сечений ГО в носу, на бортовом участке и в корме, можно видеть способыстыковки периферийных и секционирующих ВП ограничений.

ГО данного типа находятся в процессе развития и совершенствования с 1965 г. Появив-

шись на судах английской фирмы BHC SR № 5 и SR № 6, они использовались затем на английских SR № 4, BH.7, AP.1-88, американских LACV-30, JEFFB, LCAC, японских MV.PP-5, MV.PP-15, канадских Voyageur, Viking, [15B], их основные характеристики отражены в табл.6.1.

Наряду с рассмотренным типом ГО обширным исследованием и проверкой на натурных объектах подверглись ГО, схемы которых изображены на рис.6.8. Такие ГО были разработаны английской фирмой Hovercraft Development Limited (HDL) в середине 80-х годов; хотя их относят к самостоятельному типу ГО, они имеют много общего с тем типом, который только что анализировался. У них, как видно, общий гибкий ресивер является изогнутым, поэтому линии ГО оказываются более податливыми, чем ГО 1 типа, так как здесь нет перехода давлений между ресивером и областью ВП. Гибкий ресивер в поперечном сечении представляет собой круговую полуяймо, верхняя часть которой крепится к жесткому корпусу непосредственно, а нижней краине с жесткими корпусом соединены, как отливками, боковые оттяжки НЗ, надеваемые в этом случае сегментами. По форме они мало чем отличаются от уже описанных. В конструктивном отношении от ранее рассмотренных изогнутых секционированных элементов их отличает способ закрепления: верхние кромки боковых стенок являются свободными, и имеет место точечное закрепление верхних углов сегментов, находящихся внутри области ВП, на оттяжках к жесткому корпусу, а верхним краем наружной стени элемента соединена с нижней линией полуяйма ресивера.

Здесь гибкий ресивер практически отсутствует в том виде, в каком его определили в отличием выше устройстве ГО, а коэффициент

Характеристики ГО сопротивлением акустических СВЧ
(ГО в стекле настенного резонатора и НЭ)

Таблица 6.1 §

Характеристика	Напыление СВЧ					
	SR № 5 №.1	SR № 6 №.6	SR № 7 №.7	SR № 8 №.8	SR № 9 №.9	WT.2
Полное масса сухого, г	0,80	10,16	14,97	50,80	187,33	91,63
b_n / b_n	1,64	1,94	2,5	1,86	1,64	1,85
R_p	1,8	1,8	1,57	1,2	1,49	~1,2
$\frac{h_{re} + z_{ro}}{(h_{ro})_4}$	1,21	1,21	1,57	1,68	1,62	1,75
h_{re} / h_{ro}	0,3	0,5	0,4-0,42	0,73	0,40-0,50	0,75
h_{ro} / b_s	0,53	0,61	0,5	0,6	0,54	0,54
Угол наклона НЭ к горизонтальной плоскости НЭ и горизонтальной θ_R , град	57	57	52-46	42	48-52	~45

Угол наклона изогнутой краевки НЭ к горизонтальной плоскости Θ_i (см. рис. 6.28)	81	71	82	84	82	80
Число НЭ на наименее закругленной	81	36	37	23	48	44
Число закругленных НЭ в короткой части суппорта	44	38	44	30	60	44

*) Отличие напыления верхней головки краевки пластины и коронки на 10-15% к массе ГО в зону (см. рис. 6.29).

**) Помимо запаса прочности ГО по напылению от массы к
коронке.

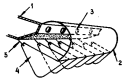


Рис.6.8. ГО ВП П типа фирмы HDL: 1 - жесткий корпус судна; 2 - неизменяющийся рессивер (полупустая); 3 - отверстие для попадания воздуха в ГО; 4 - НЭ (сегмент); 5 - внутренняя оттакка

перепада давления в таком случае $M_p = 1$. Таким образом, удаётся значительно уменьшить потерю давления и снизить мощность, потребляемую подъёмным комплексом. Внешними так называемых "стабилизированных" НЭ (рис.6.9)



Рис.6.9. ГО П типа фирмы HDL с двойными (стабилизирующими) элементами: 1 - жесткий корпус судна; 2 - наружное полотнище гибкого рессивера; 3 - внутреннее полотнище гибкого рессивера; 4 - внутренний сегмент; 5 - наружный сегмент

удается несколько повысить восстанавливающий момент при заливании судна и при касании ГО спорной поверхности, а результатом чего пространство внутри ГО становится замкнутым и создается первый давления между внутренним объемом ГО и ВП.

С увеличением податливости ГО уменьшается скорость сопротивления движению на изолированном море, но вместе с тем уменьшается устойчивость формы при внешних воздействиях, повышается склонность к зеркально и затягиваю ГО при движении и на тихой воде, и на волнении.

Введение дополнительного внутреннего полотнища в такие ГО, предлагавшиеся фирмой HDL, делает его единственным предпринятым типу ГО, в реальности между ними практических стоят [40].

Конструктивные отличия носовой, бортовой и кормовой секций рассматриваемого варианта ГО на примере английского судна VT.2 показаны на рис.6.10.

Их особенностью является включение внутреннего ряда сегментов (см.рис.6.9). Отличия внутренних сегментов для бортовых, кормовых и носовых участков судна являются различны в условиях их работы. Распределение количества воздуха, поступающего в ВП, здесь неравномерно: ~70% его проходит через носовую секцию и лишь ~30% - через все участки бортовых ГО. Истечание воздуха через кормовую секцию пре-изображено мало. Оригинальной идеей, реализованной в ГО, установленном на СВП VT.2, является включение в их бортовые секции изогнутых клапанов (мембр), которые при закупоривании ВП волной и прекращении истечения воздуха из-под ГО препятствуют выходу воздуха из ВП через шахты вентиляторов. Это может происходить из-за повышения давления

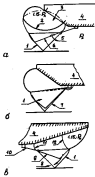


Рис.6.10. Схема ГО на судах фирмы *Vosper Thorneycroft*: а - бортовая секция; б - кормовая секция; в - носовая секция; 1 - наружный сегмент; 2 - необратимый клапан; 3 - выход воздуха от нагнетателя в ВП; 4 - жесткий корпус СВП; 5 - 30% воздуха, поступающего в ВП; 6 - внутренний сегмент; 7 - внутренний кормовой элемент ограждения ВП; 8 - 70% воздуха, поступающего в ВП; 9 - внутренний сегмент; 10 - оттяжка; 11 - внутренняя диафрагма; 12 - диафрагма

и ВП при уменьшении ее объема (например, на волнении).

Возрастающее давление в ВП может достигать значений, превышающих допустимое изгибающим моментом. Этот же клапан срабатывает, если один из нескольких вентиляторов выходит из строя. Тогда рассматриваемый необратимый клапан будет препятствовать отравлению воздуха из ВП через шахту неработающего вентилятора.

Французские специалисты с самого начала занялись разработкой своей концепции ГО ВП. С конца 50-х годов совершенствуются предложенные Ж.Бертьеом так называемые конусные, или многоконичные ГО (рис.6.11). Устойчивость форм при вертикальных и горизонтальных возбействиях и сжатиях обеспечивается их формой

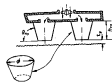


Рис.6.11. ГО III типа (конусные)

в виде усеченного конуса. Оптимальное соотношение высоты ГО и диаметра основания конуса, прилегающего к жесткому корпусу аппарата, $0,80 \geq (h_{\text{го}}/\phi) \geq 0,25$. Свойства как самого модуля ГО, так и всего ограждения ВП, зависят в значительной мере от угла конусности $\beta = (90^\circ - \theta_{\text{го}})$. Его увеличение

приводит к возрастанию жесткости ГО, что вместе с повышением устойчивости формы вызывает рост сопротивления движению судна. Оптимальным является диапазон $\beta^3 = 5...10^3$. Кроме круглых элементов, рассредоточенных под палубом судна и снабженных воздухом от воздушно-магнитетелей запирную яму через реснички, устанавливается периферийное конусное ограждение, которое способствует, во-первых, повышению остойчивости аппарата при наклонениях, а во-вторых, снижению осредненного давления в каждом конусе и, соответственно, в совокупной области ВП. Верхний такого ГО показан на рис.6.12.

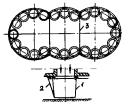


Рис.6.12. Компоновка конусных ГО на судне (Франция); 1 - внутренний конус; 2 - внешний конус; 3 - вертикальная стяжка между конусами и сжимающая область ВП диафрагма

Наружное полотнище для обеспечения его формы между бортами стягивается диафрагмами или стяжками, что придает его бортовой поверхности выпуклую форму. Внутренние конические ограждения прымкают друг к другу. Каждое из них крепится к наружному полотнищу.

27
ГО подобного типа было установлено на французском СВП № 300.

Этот тип ГО, имеющий большую французским, отличает следующие преимущества перед рассматриваемыми выше типами:

- простота конструкции, удешевляющая изготовление и ремонт;
- уменьшение гидравлических потерь при подаче воздуха по внутренним воздуховодам, снимающее энергозатраты на функционирование подвижного комплекса;
- увеличение показателей продольной и поперечной остойчивости, что связано с ростом сопротивления перетеканию воздуха между отдельными модулями;
- большая устойчивость формы ГО во всех режимах эксплуатации;
- уменьшение напряжений в ткани, связанных с особенностями формы кильевого монолита.

Анализируемый тип ГО характеризуется относительно большими значениями остаточного сопротивления движению судна не тихой воде и на волнении, что можно объяснить меньшей податливостью его наружного полотнища по сравнению с извесными склонизированными спонсами и сегментами, рассмотренными выше.

Последнее обстоятельство послужило основанием для совершенствования ГО, установленных на французском СВП № 500 (рис.6.13), по сравнению с ГО этого типа, изображенным на рис.6.12. Количество внутренних конусных элементов с 8 у СВП № 300 ($D_p = 27 \text{ м}$) здесь доведено до 24. Диаметр каждого составляет 4 м. Их высота по борту и в корме 2,5 м, а в носу 3,5 м. Существенной отличительной особенностью является то, что периферийное ГО не является сплошным полотнищем, а состоит, как это видно на рис.6.13 к 6.14, из изогнувшихся сегментов (всего по периметру 24).

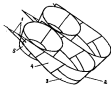


Рис.6.13. Элементы ГО французского СВП № 500
1 - эластичные оттяжки; 2 и 4 - секции наружного элемента;
3 - съемная секция наружного элемента;
5 - внутренний конусный элемент

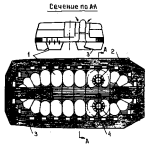


Рис.6.14. Схема компоновки ГО СВП № 500
1 - внутренние конусные ГО; 2 - подавляющие
поплавки; 3 - наружные ГО; 4 - основной регу-
лятор

В их конструкцию включены эластичные оттяжки, и погодные щитки каждого сегмента по высоте имеют разрывы, которые позволяют менять изменившиеся части ГО без демонтажа всего ограждения. Давление воздуха в области, оканчивающейся паружними ограждениями, составляет ~85% от избыточного давления воздуха во внутренних концевых элементах.

Для рассматриваемых ГО ресурс живущих съемных его частей (см.рис.6.13) доведен до 300 ч (из них расходуется около 10% материала, идущего на все ГО СВП № 500). В то же время ресурс прочих элементов ГО, за которые приходится оставшееся 90% расходуемого материала, доведен до 800...1300 ч.

Разработанные и запатентованные американской фирмой Aerojet ГО следует рассматривать как комбинацию I и III типов. Их особенностью (рис.6.15) является наличие в их составе двух ярусов тканей, как у ГО I типа,

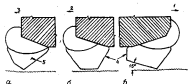


Рис.6.15. Схема ГО 1Y типа фирмы Aerojet;
а - корковая схиня; б - бортовая схиня; в - но-
совой схиня; 1 - направление движения супна;
2 - направление от ДП к борту; 3 - направление
от носа к корке; 4 - конусная поверхность; 5 - кор-
ковый закрытый элемент

откуда замыкается в общий замкнутый наружной ресивер, к которому снизу подвешиваются НЭ, напоминающие кокусные элементы французского типа ГО. Они устанавливаются плотно одна к другому, и их форма от этого сплющивается, превращаясь в поверхность сечения в свинец или в прямобутылник со скругленными по радиусу, разному положение расстояния между этими элементами и места крепления их к наружному ресиверу. Это даёт им преимущество, состоящее в повышенных характеристиках остойчивости при наложении аппарата (сумма) по сравнению с ГО фирмы ВИС ИДЛ. Навесные элементы крепятся частично верхней краёвки к гибкому ресиверу, частично - к жесткому корпусу. На рис.6.15 показаны отличительные особенности НЭ, устанавливаемых на участках носа, корыто и борта СВП. Носовой элемент имеет кокусную запиратку в 15°, предотвращающую опрокидывание его защей стечки (по направлению к корыту супна), а у корытowego элемента первички (по корыту) его часть имеет большой нахлоп, позволяющий глиссировать по поверхности воды.

Схема ГО американского КВН JEFFA представлена на рис.6.16, здесь ограничение имеет гибкий рефлектор по всему периметру. Оно включает 62 конусообразных элемента. Гибкий рефлектор четырьмя вертикальными диэлектрическими разделен на 4 сектора. Каждый НЭ имеет высоту 1,5 м и ширину 1,2 м. Величина зазора между нижней кромкой ГО и поверхностью над которой лежитется этот корабль, составляет не более 7,5...10 см, а в случае изогнутой поверхности плавучести - 10...15 см.

Следует также отметить, что высота НЭ тип ГД составляет практически 100% от клиренса между пистолетом-автоматом и поверхностью экрана, НЭ постоянством является высокая со-

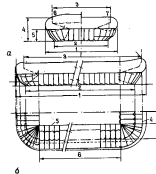


Рис.5.16. Компоновочная схема ГО моряркского КМП **JEPPA**: а - вид спереди и сзади; 1 - ширина судна наибольшая; 2 - ширина ВП; 3 - ширина жесткого корпуса; 4 - возведение верхней точки краинного гибкого ресивера к жесткому корпусу; 5 - высота ГО; 6 - вид с носа; 7 - вид с кормы; 8 - вид сбоку и снизу 1 - длина судна наибольшая; 2 - длина ВП; 3 - длина жесткого корпуса; 4 - линия присоединения НЭ к гибкому ресиверу; 5 - внутренняя линия присоединения бортовых НЭ к жесткому корпусу; 6 - длина участка стандартных бортовых НЭ

32

тойности, позволяющая значительно увеличить высоту $h_{\text{го}}$ в полетах от $B_{\text{п}}$ (по величине $h_{\text{го}}/B_{\text{п}} = 0,3$), что существенно больше, чем у ГО фирм ВНС и НДЛ.

Здесь нет необходимости в склонировании плоскости ВП.

В то же время рассматриваемый тип ГО обладает некоторой недостаточностью, как и оригинальные французские ГО, и пока широкого распространения не получает. Кроме КВП JEFFA он используется только на моделях и на скромном экспериментальном СМЛ ZEF - 100A.

Как уже отмечалось, одной из самых сложных проблем эксплуатации СМЛ является летальное брызгообразование, создаваемое выходящими из ВП струями воздуха, которые увлекают за собой мелкие капли воды. Особо интенсивное брызгообразование "на стоянке" при высоких синтетических избыточного давления воздуха в ВП. Судно оказывается окруженым брызговой пленкой, негативно воздействующей на работу двигателей, дистанций, нагнетателей, ухудшающей видимость, а при низких температурах окружающего воздуха способствующей обледенению. По мере увеличения скорости ходового движения брызги сминаются в корму судна, острота перечисленных проблем снижается, но появляется проблема, связанная с брызговым сопротивлением, с которым выше уже или речь. Гашение брызгообразования можно добиться, снижая давление $P_{\text{в}}$ или механически отсекая выпадающие из ВП брызги (рис.6.17). Присоединение подобного назначения могут иметь и другое устройство, но их использование в любом случае усложняет и утяжеляет конструкцию ГО.

В заключение следует отметить, что кроме охарактеризованных здесь типов ГО находят применение и другие их типы (например,

испытания СМЛ [168]). Таководные СМЛ с грузовыми платформами за ВП оснащаются парашютом часто баллонных ГО, имеющим по параметру только гибкие надувные расшиверы без МЭ.

Широкое использование на таких объектах имеет и ГО, состоящие только из поверхности-расщепленных элементов.

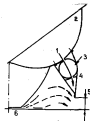


Рис.6.17. Брызгоотбойник на носовой секции ТО КВП JEFFA: 1 – поток воздуха; 2 – гибкий ресивер; 3 – давление воздуха внутри гибкого кишенистического мышка (6,23 кПа); 4 – фаруэт, препятствующий выпаду брызг из-под ГО; 5 – зазор (400 мм); 6 – зазор под нижней кромкой ГО (51 мм)

4.6.3. Расходно-жарочные характеристики СВП, оборудованного ГО области ВП. Нагибная жесткость материала ГО и ее моделирование

Ограничение АСВП гибкими ограничивающими внесло значительные искажения в те расчетные схемы, которые характерны как для сформированного жесткого соплового устройства, так и для камерного принципа образования ВП, предусматривающего фиксированные края подкупольной камеры по ее периферии. Искажения обусловлены прежде всего податливостью и эластичностью материала, который не позволяет получить ни спроектированное сопло, ни устойчивую кромку камеры. Это усугубляется, как правило, наличием масштабного эффекта при использовании результатов исследований на моделиях характеристик СВП, связанных с функционированием ГО, а также зависимостью формы и геометрических характеристик гибкой конструкции ограничения ВП от жесткости материала. Жесткость материала ГО зависит в свою очередь от свойств и армирующей ткани, и облицовочных слоев (толщины, упругости, поведения при изменении температуры окружающей среды и т.д.). При расчетной оценке формообразования материалов предполагается абсолютно гибким, что практически не соответствует действительности, от этого возникают явления гистерезиса в механизме обеспечения остойчивости и отклонение действительной формы конструкции от теоретической.

Так, на рис.6.18 показаны результаты замера реализуемой высоты подъема СВП или экраном h_x в полах от теоретической высоты ГО $h_{ГO}$ в зависимости от количества подаваемого в ВП воздуха Q_0 при двух значе-

ниях жесткости материала, примененного для изготовления гибкой конструкции.

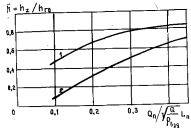


Рис.6.18. Зависимость реализуемой высоты подъема СВП от расхода воздуха и жесткости материала ГО: 1 - ГО из податливого материала; 2 - ГО из материала с нормальной нагибной жесткостью

Чрезмерная жесткость может значительно склонить киперно под корицей и ухудшить общий ряд спецификационных характеристик натурального объекта.

Условие моделирования загибной жесткости материала ГО, определяющего идентичность деформаций у модели и натуры, можно расширить в виде целого ряда критериев [12],[18]. Подобные деформации под действием избыточного давления воздуха имеет место, например, при конечности характеристик жесткости материала модели и натуры, определяемых параметром

$$Ж = \frac{E_{10} t_m^3}{G \sqrt{3}_n} , \quad (6.1)$$

где t_m - толщина примененного материала, м; E_{10} - его изгибающий модуль упругости, кПа.

Критерий изгибной жесткости материала предложенный в [181], базируется на сравнении величин отклонения δ (м) свободного конца прямоточного образца у каждого из рассматриваемых материалов:

$$\delta = \frac{12\sigma_{10} l_{ob}^4 g}{8 E_{10} t_m^3} , \quad (6.2)$$

где l_{ob} - длина образца, м; σ_{10} - поверхностная плотность материала, кг/м².

Сопоставляя значения δ у рассматриваемых материалов, можно получить условие моделирования изгибной жесткости

$$(E_{10})_n = (E_{10})_m \lambda_n , \quad (6.3)$$

где λ_n - масштаб моделирования.

Используя выражения (6.2) и (6.3), можно найти соотношение отклонений δ у натурного и модельного образцов:

$$\frac{\delta_n}{\delta_m} = \frac{(\sigma_{10})_n}{(\sigma_{10})_m} \frac{(l_{ob}^4)_n}{(l_{ob}^4)_m} \frac{(t_m^3)_n}{(t_m^3)_m} \lambda_n , \quad (6.4)$$

отвечающее условию моделирования изгибной жесткости и учитывающее по сравнению с предыдущим критерием (6.1) вязкость материала, трениебрежность которой является условием расчета формы ГО и его прочности (см.далее § 6.5, 6.6).

В связи с ограниченностью ассортимента предлагаемых промышленностью материалов ГО и

выгодаами отхода затрущивания с выполнением условий моделирования изгибной жесткости на практике приходится иметь дело с проявлением масштабного эффекта.

Анализ конструкции и геометрии различных типов ГО, применяемых на современных СВП, позволяет сделать вывод, что по способу формирования ВП они практически все должны быть основаны на камерной схеме. Такая оценка не запрещает ссылки на в отношении французских купусных ГО, на ограждения, включаяши открытия НЭ, но же имеющие замкнутого наружного рессивера. Не являются исключениями и ГО фирмы **ВНС**, наиболее широко распространенные, называемые выше как 1 тип. Их верхний ярус представляет собой гибкий наружный рессивер, имеющий отверстия или щель для выхода воздуха в ВП, в нижнем ярусе - расширение НЭ, высота которых 30-70% от полной высоты ГО. Навесные элементы, открытые со стороны ВП на большей части ее периметра (от 2/3 до 3/4), имеют конусный вид (рис.6.19). Отверстия или щель в толще гибкого наружного рессивера, через которые запатываются каждые НЭ, не могут рассматриваться как источники сформированной периферийной струи (см. рис.6.19). Если бы это было возможно, то на таком большом пути ее течения от кромки отверстия (щели) до встречи с поверхностью экрана или водяной струи, как подтверждает эксперимент, безусловно, уже разрывалась.

Конструкции корытообразной части ГО, применяемые на современных СВП, также не имеют струйных течений, а передко и просто практическая линия истечения воздуха. К этому следует добавить, что 20-30% воздуха, поступающего в ВП, для противодействия так называемому воздушному поражению подается на ряде СВП **МК** через гибкий рессивер (см.рис.6.19), или

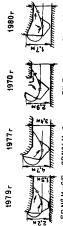


Рис.6.19. Схемы конструкции ГО в proximity VPI листовых СНП
использованные для измерения расхода воздуха в область VPI листовых СНП

от измерителя прямо в область ВП по сплошным каналам, минуя гибкий воздушный расширитель.

Это дает основание рассматривать в практических расчетах область ВП под линией сужения, ограниченной по периметру ее податливыми конструкциями ГО, как общую камеру, защищенную воздушком с избыточным статическим давлением, равным $-G/S_d$, на которой истечение воздуха в атмосферу происходит, как при классической камерной схеме образования ВП, в периферийную зону, образованную зоной кромки ГО и поверхностью экрана.

Исследования К.В.Жариковым [53] расходных характеристик камерной схемы образования ВП, ограниченной по периметру конусами ГО в виде сплошной полосы эластичного материала, установленной под углом Θ_{GO} к горизонту, при твердым экраном показали практическую полную сходимость полученных результатов по определению коэффициента M_{Kz} с данными рис.2.2. Важным следует считать и то, что эксперимент и здесь подтверждает зависимость коэффициента расхода M_{Kz} из ВП только от угла наклона образующей камеры Θ_{GO} к горизонту и отсутствие связи его с высотой пользма между кромкой ГО над экраном. Это дает основание полагаться зависимостью (2.2) для расчета расхода воздуха из-под СНП с конусами ГО при парении над твердым экраном.

Измерения расхода воздуха из этой же камеры, но помещенной над водой, продемонстрировали значительные изменения физической картины потечения воздуха, вызванные влиянием вязкости материала.

На рис.6.20 приведен коэффициент $E_{GO} = f(t_0/h_v)$, позволяющий учитывать изменение расхода воздуха из камеры с гибкими стенками, толщиной подат-

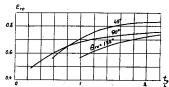


Рис.6.20. Коэффициент сжатия расхода воздуха из камеры ВП со стеклами, обработанными пластины гибкого материала, при парении над водой

ливостью подстилающей поверхности (по сравнению с твердым экраном):

$$Q_{\text{ра}} = E_{\text{го}} \mu_{\text{кз}} \Pi_{\text{тз}} \sqrt{\frac{2 P_0}{P_{\text{вз}}}} = E_{\text{го}} Q_{\text{вз}}. \quad (6.5)$$

Зависимость $E_{\text{го}}$ от t_3/h_v дается для трех значений угла $\theta_{\text{го}}$ ($45^\circ, 90^\circ \text{ и } 135^\circ$). При этом предполагается, что коэффициент расхода $\mu_{\text{кз}}$ в (6.5) определяется в каждом случае как функция $\theta_{\text{го}}$ по рис.2.2. Сравнение экспериментальных данных о расходе воздуха из камеры с жесткими стеклами над водой (см.рис.2.2 с аналогичными данными, но из камеры со стеклами, изготовленными из эластичного материала (см.рис.6.20), показывает, что при парении судна над водой без скорости подвижности обработки камеры стеклами увеличивает расход воздуха из ВП на $\sim 30...40\%$.

Для камер с жесткими и подвижными стеклами стеклами расход воздуха

увеличивается здесь с помощью корректирующих множителей $E_{\text{ж}}$ и $E_{\text{го}} + \text{тен}$, существенно, чем меньше параметр t_3/h_v , т.е. чем больше глубина плавания h_v .

Построенные СВП в большей степени обусловлены ГО, имеющимися в нижней части открытые поперечно-расщепленные надводные элементы (рис.6.21), поэтому следует рассмотреть влияние характеризующих их параметров на расход воздуха из области ВП.

Экспериментальные исследования над твердым экраном, и над поверхностью воды показали зависимость коэффициента расхода воздуха из ВП от угла наклона внешней образующей НЭ $\theta_{\text{го}}^*$ к горизонтальной плоскости, от соотношения h_v/h_u и от отношения подъемки нижней кромки НЭ над твердым экраном или над дном плавации t_3 к ширине элемента b_3 , зависящей от диаметра симметричной ячейки d_3 , формирующей рассматриваемый НЭ.

На рис.6.22 приведен коэффициент расхода воздуха $\mu_{\text{кз}}^*$ из камеры, подобной изображенной на рис.6.21, над твердым экраном (для двух значений угла $\theta_{\text{го}}^* = 15^\circ \text{ и } 00^\circ$). Видно, что

Рис.6.21



Рис.6.21. Схема истечения воздуха из камеры ВП, формируемой изогнутыми секущими симметризованными элементами

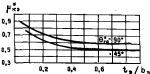


Рис.6.22. Зависимость коэффициента расхода воздуха из ВП сушки, оборудованного ГО с НЭ, от отношения t_3/b_3 , при различных углах наклона θ_{r0}^* образуемой НЭ к горизонтальной плоскости

возрастание коэффициента μ_{kz}^* по сравнению с μ_{kz} (см.рас.2.2), тем существенное, что ширина НЭ (коэффициент μ_{kz} определяется для камеры с жесткой пересеченной образующей стенкой). Если зазор под нижней кромкой НЭ t_3 составляет более половины ширины b_3 , то имеют место равенства: $(\mu_{kz}^*)_{\theta=0^\circ} = (\mu_{kz})_{\theta=90^\circ} \times (\mu_{kz}^*)_{\theta=45^\circ} = (\mu_{kz})_{\theta=45^\circ}$

Широкие НЭ имеют коэффициент расхода воздуха μ_{kz}^* на 30...40% выше, чем узкие, чтобы определить расход воздуха из камеры с ГО, имеющим по периметру киперно-расщепленные элементы, при парении от жестких вершин, можно воспользоваться выражением:

$$Q_{nq} = \alpha' \mu_{kz}^* \bar{U} t_3 \sqrt{\frac{2P_n}{\rho_{b3}}}, \quad (6.6)$$

где μ_{kz}^* – коэффициент расхода, определяемый по рис.2.2; $\alpha' = \mu_{kz}^*/\mu_{kz}$ – коэффициент, определяемый с помощью рис.6.23, где он представлен в функции от параметра t_3/b_3 для двух значений угла наклона образуемой НЭ к горизонту θ_{r0}^* , методом интерполяции или экстраполяции, если $\theta_{r0}^* \neq 45^\circ$ (значение $\theta_{r0}^* = 90^\circ$ в практике реальных судов неприменимо).

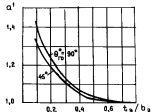


Рис.6.23. Корректирующий множитель, учитывающий влияние на коэффициент расхода воздуха μ_{kz} геометрии киперно-расщепленных НЭ (под твердым экраном)

Количество воздуха, вытекающего из образованной киперно-расщепленными открытыми НЭ камеры, выпадающими параллельно поверхности воды, можно определить по выражению, аналогичному (6.6), в которое instead корректирующий множитель $(E_{r0})_c^B$, учитывающий влияние

параметра t_3/b_3 (как и три первых под тремя зернами):

$$\theta_{\text{из}} = (\bar{E}_{\text{го}})_c^{\theta} \mu_{\text{из}} \ln t_3 \sqrt{\frac{2P_n}{\rho_{\text{возд}}}} = (\bar{E}_{\text{го}})_c^{\theta} Q_{\text{из}}, \quad (6.24)$$

Этот множитель, как и Ω^1 , можно получить интерполяцией или экстраполированием величины угла $\theta_{\text{го}}$, для чего следует вновь воспользоваться рис.6.24 и 6.25 ($(\bar{E}_{\text{го}})_c^{90^\circ} = f_1(t_3/b_3)$ и $(\bar{E}_{\text{го}})_c^{45^\circ} = f_2(t_3/h_v, t_3/b_3)$).

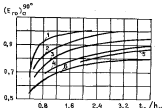


Рис.6.24. Коэффициент, учитывающий влияние геометрических характеристик поперечно-расщепленных НЭ на $\mu_{\text{из}}$ из ВП над водой при угле $\theta_{\text{го}} = 90^\circ$ для следующих значений отношения t_3/b_3 : 1 - 0,1; 2 - 0,25; 3 - 0,4; 4 - 0,6; 5 - 0,8; 6 - для ГО в виде сплошной полосы (см.рис.6.20)

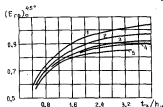


Рис.6.25. Коэффициент, учитывающий влияние геометрических характеристик поперечно-расщепленных НЭ на $\mu_{\text{из}}$ из ВП над водой при $\theta_{\text{го}} = 45^\circ$ для следующих значений отношения t_3/b_3 : 1 - 0,225; 2 - 0,425; 3 - 0,625; 4 - 0,825; 5 - ГО в виде сплошной полосы

Здесь видно, что по сравнению с кривой, имеющей ГО в виде сплошной полосы (нижнее краевое), с увеличением ширины НЭ расход воздуха значительно увеличивается (как и над твердым зерном). Это увеличение тем больше, чем глубже вдавина под камеры.

§ 6.4. Установление зависимостей расходно-затратных характеристики ВП и ГО на АСВП

АСВП, основанные периферийными ГО, находятся на относительно большой высоте над поверхностью, что увеличивает аэродинамическую жесткость и облегчает проблему обеспечения про-

дополнительной жесткости и остойчивости. Существенно увеличивающийся объем ВП создает проблему уменьшения качки и обеспечения мореходности судна при его движении над водоизмещаемой поверхностью моря, что, в частности, обусловлено воздействием так называемого "всплывающего портала", практически независимо на большой скорости вынужденного ВП, которую во избежание вертикальных перегрузок следует стоять не быстро восстановить.

По этой причине, как показано в главе 4, расход воздуха через ВП определяется с учетом указанных обстоятельств. Количество воздуха $Q_{\text{п}}$ зависит на определенные параметры ГО, при этом зависимости, подобные выражениям (6.6) и (6.7), рассмотриваются как приверочные.

Учитывая, что форма и конструкция ГО по параметру СВП принимаются гидродинамичными, надо исходить из распределения $Q_{\text{п}}$ по сечениям, через которые воздух выходит согласно зависимостям вида

$$Q_{\text{пв}} = E_{\text{го}} \mu_{\text{кв}} t_s \Pi_1 \sqrt{\frac{2P_{\text{п}}}{P_{\text{взр}}}}, \quad (6.8)$$

в предположении, что

$$(Q_{\text{пв}})_i = \sum_i (Q_{\text{пв}})_i,$$

где $(Q_{\text{пв}})_i$ – участок периметра протяженностью Π_1 с качественным по длине ГО, что, например, для ГО 1 типа выражается обычно в виде зон, включающей бортовые участки и участок носового закругления, и зоны кормового ГО.

У каждой из этих зон в зависимости от таких параметров, как $\theta_{\text{го}}^*$, t_s/h_y , t_s/b_s ,

согласно выражениям, приведенным ранее, определяются $(\mu_{\text{кв}})_i = (E_{\text{го}})_i$.

Учитывая, что величина t_s при выбранном ранее $Q_{\text{п}}$ является неизвестной, ее можно найти методом последовательных приближений:

$$t_s = \frac{Q_{\text{пв}}}{\sum_i (E_{\text{го}})_i (\mu_{\text{кв}})_i \Pi_i \sqrt{\frac{2P_{\text{п}}}{P_{\text{взр}}}}} \quad (6.9)$$

Если численное значение t_s оговорено заранее, то возникает лишь проблема проверки соответствия выбранного из условий мореходности $Q_{\text{пв}}$ и суммарного значения $\sum_i (Q_{\text{пв}})_i$.

На следующем этапе необходимо обеспечить распределение воздуха, поступающего от нагнетателя в ВП через зоры или отверстия из наружных гибких ресиверов периферийного и сакционирующего ГО. Истечение воздуха из периферийного гибкого наружного ресивера (см.рис.6.10) может происходить или отдельно в каждый НЭ, или прямо в ВП. Скорость истечения воздуха, находящегося из наружного ресивера с избыточным давлением P_p в область ВП, определяется выражением

$$\theta_j = \sqrt{\frac{2(P_p - P_{\text{п}})}{P_{\text{взр}}}}. \quad (6.10)$$

Коэффициент истечения μ_j через отверстие или зорь можно найти в [66], как для случаев истечения жидкости (газа) при движении судна в последовательном расширении.

Так же может производиться оценка истечения воздуха в закрытые НЭ из гибкого наружного ресивера сакционирующего области ВП ГО, если зорька каждого такого элемента

производится через индивидуальные патрубки отверстия или щели.

У ГО 1 типа, как правило, производится распределение всего поступающего от нагнетателей количества воздуха Q_p по отдельным зонам с установленными для зоны распределения воздуха. Так, зонтика области ВП через щели или отверстия гибкого ресивера в работе бортов и кислородного закругления предполагает распределение от 60 до 80% от общего значения Q_p ; через окантованные элементы - 15...20% и через кислородное ГО - от 5 до 20%. Такой подход кроме поддержания формы надуваемых частей ГО требует равномерного поступления воздуха от нагнетателей по всей области ВП, делает избыточное давление одинаковым по всей площади ВП и исключает или смягчает наклонение сушки после прохождения "воздушного порога".

Зная Q_j, μ_j и σ_j , можно определить суммарное проходное отверстие F_j .

$$F_j = \frac{Q_j}{\mu_j \sigma_j}, \quad (6.11)$$

Через которое воздух из ресивера выходит в ВП в зону, разделив его на количество отверстий m , пропорциональные числу попречно рассеченных НЗ, найдя $f_j = F_j/m_0$ - проходное сечение каждого швающего ВП отверстия по рассматриваемой участке,

6.6.5. Правила обеспечения и расчета формы ГО

Важнейшей особенностью ГО как разновидности гибкой конструкции является взаимосвязь его формы с действующими нагрузками. Характерно, что ГО без нагрузок вообще не имеет устанавливаемой формы. Под формой ГО подразумевают те же геометрические характеристики, которые описывают эту податливую конструкцию в напряженном состоянии, т.е. имеют в виду форму, принимаемую ее под воздействием совокупности внешних нагрузок. Это особенно важно при изготовлении ГО, когда из эластичных материалов раскрываются детали заделанной конструкции и после соединения их в заключение швов и приложения нагрузок предполагается получение такой напряженной формы, о которой уже шла речь.

Из всех рассмотренных типов наибольшее распространение получили ограждения, состоящие из надувного гибкого ресивера и износостойких окантованных элементов. Именно данный тип ГО отличается особой сложностью обеспечения его формы. Остановимся на этом типе.

ГО есть конструкции, состоящие из предварительно напряженных мягких оболочек, имеющих под действием внутреннего давления воздуха наибольший объем и способных к восприятию только растягивающих напряжений. Устойчивость формы ГО, а одновременно и его жесткость тем выше, чем больше значение избыточного давления воздуха внутри оболочки.

Появление напряжений скатия, препятствующих действию напряжения растяжения, приводит к потерии формы ГО, сопровождающейся его складыванием, образование складок и морщин.

Изменения формы ГО могут быть вызваны или внешними силовыми воздействиями, или деформациями материала (удлинение, усадка, сдвиг),

или местными изломами поверхности ГО. Наиболее кинематическими являются последние причины, поскольку приводят к большим концентрациям напряжений, вызывающим расслоение разрывы, разрывы материала и разрушение оболочечных слоев.

В основу расчета положены методы балансомоментной теории оболочек. При этом исходят из ряда следующих допущений:

- деформации материала считаются пренебрежимо малыми, а материал абсолютно гибким, не обладающим изгибкой жесткостью, и невесомым. Последнее связано с тем, что в конструкции плотность материала $1\dots4 \text{ кг}/\text{м}^3$, избыточные давления внутри оболочки достигают значений $3\dots7 \text{ кПа}$ ($\sim 300\dots700 \text{ кг}/\text{м}^2$);

- хотя ГО обычно функционирует в динамических условиях силовых воздействий, расчетные схемы формы и напряжений базируются на рассмотрении статического или квазистатического напряженного состояния, что, очевидно, упрощает расчетную схему, приводит к неточностям;

- при исследовании формы ГО рассматривается его поперечные сечения, нормальные к поверхности, заменяя ГО при его изучении растянутой консольной гибкой линьей, загруженной постоянными и равномерно распределенными контуру избыточными давлениями (свод все решения плоской задачи). Все это справедливо, если пренебречь касательными составляющими внешних нагрузок, которые могли бы привести к искажению формы, занимаемой гибкой линьей;

- уравнения равновесия, позволяющие определить форму ГО, относятся к конечному напряженно-деформированному состоянию оболочки, которому соответствуют геометрические характеристики, входящие в уравнения. Соответствие внешних и внутренних нагрузок соответствует размерам ГО в конечной форме оболочки.

Перечисленные допущения, безусловно, говорят о значительной идеализации расчетных схем и условий нагружения.

Отделение напряженного состояния гибкой оболочки под действием распределенного горизонтального (радиального) давления воздуха является основой расчета прочности ГО.

Рассмотрим схему расчета формы гибкого раскрыва, пренебрегая влиянием внешнего давления, как показано на рис.6.26. Здесь колышевые узлы, возникающие из-за наличия избыточных в раскрыве P_r , зависят от величины радиуса R_2 , которым определяется форма и размер ГО:

$$T_z = P_r R_2 . \quad (6.12)$$

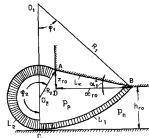


Рис.6.26. Схема для расчета формы однопружинного наружного гибкого раскрыва

Это подтверждает то, что чем круче судно, а соответственно $R_p \times R_2$, тем более прочные материалы необходимы для изготовления ГО. Выражение (6.12) основывается на условии рассмотрения рессивера как тонкой стенной оболочки бесконечной длины, находящейся в условиях плоского напряженного состояния. На участке гибкого рессивера, где действует избыточное давление воздуха ($P_p - P_n$) величина растягивающего усилия определяется выражением

$$T_1 = (P_p - P_n)R_1. \quad (6.13)$$

Из условия равновесия рассматриваемого элемента ГО в точке сопряжения рессивера R_1 и R_2 должно быть равенство растягивающих усилий $T = T_1 = T_2$.

Выше говорилось, что в расчетах ГО упрощенные деформации, вызываемые жестким оболочкой или растягивающим усилием под действием избыточного давления воздуха, преобладают. Используя выражение (6.12), можно показать, что если, например, для английской СВП SRN*4 $P_p = 3,92 \text{ кПа}$, $R_2 = 0,9 \text{ м}$, то избыточное растягивающее усилие в материале ГО $T_2 = 3,53 \text{ кН/м}$. Сам материал имеет прочность на разрыв $1,98 \dots 2,94 \text{ кН/см}$, что почти в 2 раза выше величины T_2 , поэтому ожидаемые деформации действительно оказываются преобразимо малыми.

Используя выражения (6.12) и (6.13), можно получить зависимости размеров R_1 и R_2 , необходимую для расчета формы ГО, включающего гибкий плавучий рессивер

$$\frac{R_2}{R_1} = \frac{K_p - 1}{K_p} = \xi_K. \quad (6.14)$$

Таким образом, форма ГО в рассматриваемой упрощенной постановке, определяемая заданным значением коэффициента длины K_p и представляющая собой сочетание двух цилиндрических поверхностей, должна обеспечить необходимую высоту подъема и содержать замкнутый периметр сечения ограждения жесткую вставку длиной L_K , которая зависит от величин так называемых без крепления (вертикальной φ_{ro} и горизонтальной φ_{go}) гибкого ограждения на жестком корпусе (точки А и В на рис.6.26). Значения φ_{ro} и φ_{go} , как показано далее, определяют устойчивость формы ГО с точки зрения предотвращения неизбежной вибрации и затягивания его под корпус под воздействием внешних сил при контакте зонных концов ограждения с поверхностью воды.

Горизонтальную и вертикальную базы крепления гибкого рессивера на жестком корпусе рекомендуется принимать в интервале соотношений:

$$\frac{\varphi_{ro}}{\varphi_{go}} = 0,15 \dots 1,0; \quad (6.15)$$

$$\frac{L_{ro}}{\varphi_{ro}} = 1,75 \dots 3,5; \quad (6.16)$$

$$\frac{\varphi_{ro}}{B_p} = 0,13 \dots 0,20, \quad (6.17)$$

где L_{ro} — периметр поперечного сечения гибкого рессивера.

С точки зрения устойчивости формы ГО предпочтительны верхние значения границы каждого из указанных интервалов.

Предотвращению затягивания ГО под корюк способствует и фиксация минимального допустимого значения угла наклона α_p^* отрезка L_{k_1} , соединяющего точки А и В на жестком корпусе СВП, к горизонтальной плоскости. Ее называют углом раскрытия ГО. Рекомендуется назначать его, ориентируясь на условие $\alpha_p \geq 3^\circ$ (см.рис.6.26).

В отечественной практике разработаны методики аналитического определения параметров определяющих форму гибкого рессоры.

Если предположить, что известными (см.рис.6.26) считаются значения P_p , P_n , L_{ro} , L_1 , L_2 , L_{k_1} , которые позволяют найти K_p и E_k , то, зная обозначения $L_{ro} = L_1 + L_2$; $c = L_1/L_{ro}$; $b_1 = L_1/L_{ro}$; $b_2 = L_2/L_{ro}$; $d = L_{k_1}/L_{ro}$, решая задачу определения Ψ_k с помощью трансцендентного уравнения (87);

$$\frac{dE_k\Psi_k}{2L_2} = \sin^2 c \frac{\Psi_k}{2} + E_k \sin^2 \frac{\Psi_k}{2} + \\ + 2E_k \sin \frac{\Psi_k}{2} \sin E_k \frac{c\Psi_k}{2} \cos \frac{\Psi_k(1+E_kc)}{2}, \quad (6.18)$$

которое устанавливает связь геометрических параметров жесткого рессора (независимой переменной является Ψ_k).

После его решения можно найти угол Ψ_1 :

$$\Psi_1 = E_k \cos \Psi_k. \quad (6.19)$$

Искомые радиусы:

$$R_1 = \frac{L_1 L_{ro}}{\Psi_1}; \quad R_2 = \frac{L_2 L_{ro}}{\Psi_2}.$$

Использование описанной схемы в практической практике вызывает затруднения, ибо кроме R_p и R_n заданными являются обычно не длины участков гибкой цепи L_1 , L_2 , а значения высоты h_{ro} и положение точек А и (или) В, зависящие от соотношения отрезков $z_{ro} \times \infty_{ro}$. С этой целью В.В.Кличко [119], [78], используя уравнение (6.18) и геометрические зависимости рис.6.26, получил систему уравнений:

$$\left. \begin{aligned} z_{ro} &= \frac{1}{\Psi_1 + E_k \Psi_2} [\Psi_k (1 - \cos \Psi_k) - (1 - \cos \Psi_1)], \\ \bar{x}_{ro} &= \frac{1}{\Psi_1 + E_k \Psi_2} (\sin \Psi_1 - E_k \sin \Psi_2), \\ \bar{h}_{ro} &= \frac{1}{\Psi_1 + E_k \Psi_2} (1 - \cos \Psi_1). \end{aligned} \right\} \quad (6.20)$$

Здесь:

$$\bar{z}_{ro} = \frac{z_{ro}}{L_{ro}}; \quad \bar{x}_{ro} = \frac{x_{ro}}{L_{ro}}; \quad \bar{h}_{ro} = \frac{h_{ro}}{L_{ro}}.$$

Независимыми в (6.20) являются переменные Ψ_1 и Ψ_2 . 1-е и 2-е уравнения,

решив систему уравнений (6.20), можно найти Ψ_1 , Ψ_2 , L_{ro} , R_1 , R_2 . В [119] даны эпюограммы, при помочь которых обеспечивается использование системы уравнений (6.20) при установленных значениях K_p , h_{ro} , ∞_{ro} , z_{ro} .

Таким образом, даже для упрощенной формы ГО аналитический метод ее расчета пред-

ставляет задачу чрезвычайно сложную и трудоемкую.

Использование многоярусных гибких расшиверов за счет индексации проекционных диаграмм или оттяжек (см.рис.6.2) еще более усложняет схему расчета их формы, поскольку увеличивается число неизвестных, что, естественно, затрудняет составление системы уравнений, подобной (6.20). Кроме дополнительного радиуса R_3 (рис.6.27) необходимо знать длину угла установки образующей второй яруса гибкого расшивера диаграммы (оттяжки) α_3^+ . Для этой причины здесь используют не аналитический, как для одноярусного гибкого расшивера, графомеханический метод, в котором форма ГО определяется в несколько приближений сокращением расчетов и прорисовок [119], [78], [51].

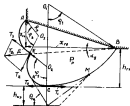


Рис.6.27. Схема ГО для расчета формы двухярусного наружного гибкого расшивера

В этом случае заданными обычно считаются коэффициент перепада давлений K_p , толщина точки Е, С, а также точки А и (или) В, что и позволяет находить усилия напряжения диаграммы Т₂ (как диагональ параллелограмма со сторонами Т₂ и Т₃). Усилия напряжения Т₂ и Т₃ (зажиме) пропорциональны соответственно радиусам R₂ и R₃ (погрешнее см. [51]). Понятно, что этот метод (его применяют иногда и для разработки формы одноярусного гибкого расшивера) может использоваться только при традиционном проектировании без элементов его автоматизации с помощью ЭВМ.

Наряду с охарактеризованными выше аналитическим и графомеханическим методами могут быть использованы численные методы расчета равновесной формы и напряженного состояния плоского контура поперечного сечения ГО [94], [79].

При тех же допущениях они представляют более полную информацию о форме и напряжениях в конструкции ГО. Кроме геометрических параметров (радиусы, углы, длины дуг) определяются напряжения и в смыслах пологих гибкого расшивера, и в оттяжках или диаграммах. Учитывается влияние НЭ, преобладающее в ранее изложенных методиках. В основе численных методов лежит составление системы уравнений, содержащих уравнения равновесия сил и моментов на смысном элементе, и также уравнения равенства для узловых точек (мы имеаемся точек А, В, М, К, Е на рис.6.27). Общее число необходимых уравнений системы зависит от числа ярусов монолита и равно (3n+4).

Решение такой системы уравнений очень трущично и возможно только с помощью ЭВМ.

Наибольшие сложности вызывают определение формы гибкого рессоры в местах наложения контура ВП, в местах стыкования различных под различными углами цилиндрических металлических элементов, определение направления передних оттяжек и диафрагм и т.п. [118].

В частности, учет влияния съемного элемента сводят к предварительному расчету силы F (рис.6.28). Сила F , приложенная спереди поверхности (отрезок KE на рис.6.28)

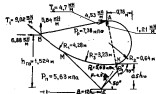


Рис.6.28. Геометрические и сопутствующие характеристики поперечного сечения бортового участка ГО американского КВП JEFFB

определяется в статических условиях избыточным давлением, которое у открытого НЭ равно P_n . При этом существуют два расчетных подхода [87]. В первом отсюда полотнища рессора МК считаются гибкими, сила раскладывается на две, приложенные в точках M и N. Изменение приводит к изменению радиуса кривизны полотнища на этом участке (радиус $R_3 \neq R_1$) и к изменению усилия T_3 в точке B, которое становится не равным нулю в точке A. Второй подход предполагает при-

ставление участка МК как жесткой волчки, тогда сила F , возникающая на элементе, заменяется моментом в силой, приложенными к жесткому отрезку МК и посочинены в систему уравнений. Опытом эксплуатации выработан ряд различий, способствующих повышению устойчивости формы при динамических воздействиях на ГО, при развитии так называемых защемляющих и затягивающих ограждений.

Верхнюю палубу крепления гибкого распора в носовой части в месте пересечения с ДП (рис.6.29) рекомендуется поднимать выше

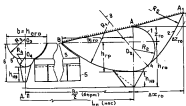


Рис.6.29. Суперпозиционная схема бортовой и наружной схем ГО 1 типа: 1 - наружный участок гибкого рессоры бортовой схемы ГО; 2 - наружный участок рессоры наружной схемы; 3 - контурные линии (геометрическое место центров окружностей = траектории образующих наружные участки гибкого рессоры); 4 - точка касания окружностей радиусов R_1 и R_2 ; 5 - секущеподобная область ВП ГО; 6 - их высота точки A, A₁, B - места притыкания образующих гибкого рессоры к жесткому корпусу

относительно ее положения для бортового сечения по уровню, соответствующего

$$\Delta z_{\text{го}} = (0.5 \dots 1.0) h_{\text{бр}} \quad (6.1)$$

и смещать вперед на величину

$$\Delta x_{\text{го}} = (1.0 \dots 1.5) h_{\text{бр}}. \quad (6.2)$$

Носовой участок ГО и угловые участки местах перехода бортовых секций в корму имеют двойную кривизну, и в этих местах параллелируют растягивающие напряжения не в горизонтальных и меридиональных сечениях, как имеет место на бортовых участках и в кормовой секции, а в горизонтальных сечениях, что приводит к необходимости использовать здесь ГО круглой или эллиптической формы плавка. В носовой оконечности с учетом малых высот подъема и выброса вперед линии крепления полотнища гибкого симметра на величину соответственно $\Delta z_{\text{го}}$

$\Delta x_{\text{го}}$ построение выполняется, как при графическим способом [119].

Говоря о формировании навесных первично-расчлененных элементов, следует отметить, что рассекая их плоскостью, перпендикулярной к их наружной образующей (смис. 6.2), получим фигуру, образованную двумя параллельными плоскостями, расположеными одна другой на расстояния b_3 , и соединенный линзарической поверхностью с радиусом образующей окружности, равным $b_3/2$. Если с помощью начертательной геометрии проекции, вертикальные на плоскость этой фигуры с сечениями по ее линиям пересечения с гибким симметром и с горизонтальной плоскостью, изображающей поверхность якоря, и линиями, за-

брождающими задние кромки НЭ, то удается получить его выкройку (рис. 6.30). Такие навесные элементы (сегменты) по бортам и в носовой части периметра ВП одинарны и взаимозаменяемы.



Рис. 6.30. Выкройка навесного элемента ГО

Соотношение высоты НЭ $h_{\text{на}}$ к его ширине отражается на расходе воздуха из области ВП. Чем шире элементы ГО, тем выше расход воздуха, большая нагрузка на узлы крепления НЭ к гибкому воздушному расширю, что может служить причиной повреждений конструкции этого узла крепления. Уменьшения нагрузки на конструкцию, к которому крепится НЭ, обиваются введением в него вставки (см. рис. 6.28), характеризуемой углом Θ_1 в горизонтальном сечении согласно табл. 6.1 в ТО-ВО "Коленообразная" вставка уменьшает нагрузку на конструкцию крепления элемента и позволяет достаточно увеличить шаги ВП. Навесные элементы без такой вставки имеют отношение $h_{\text{на}}/b_3 = 1.5 \dots 2.5$, а в штапиковой

воздушной практике использование вставки позволяет принимать это значение (см. табл. 6.1), в пределах 0,5...0,8. Следует также указать, что более узкие элементы обладают большей восприимчивостью при прохождении над вершиной волны, что снижает прирост сопротивления счи-

жению СВП на величину ΔR . Еще одно обстоятельство касается наблюдаемой у НЭ тенденции на ходу судна наклоняться в сторону кормы. Это уменьшает специфическую высоту ГО, способствует увеличению расхода воздуха через образующиеся на участке пристыжания одного элемента к другому отверстия под пластинкой поверхности, что происходит из-за наклона нижней кромки элемента к горизонту.

Чем уже элементы, тем меньше образующаяся дополнительная площадь истечения воздуха из ВП.

Аналогично решается и проблема обеспечения формыобразования в раскрое ГО конусного типа, применяемых во французских СВП.

Для ГО конусного типа задача их формообразования сводится к нахождению следующих характеристик: соотношения сопротивлений конусов и надводных лодок ВП, оказываемых наружным потоком элементами $(S_n)_n$; соотношениях размеров зон внутренних конусов и наружных конусов t_{za} и t_{zn} . Особое внимание также выработка рекомендаций по назначению угла конусности наружного потолника в различных зонах зеркала ВП.

Основываясь на опыте исследований французских специалистов, можно рекомендовать следующее:

$$\frac{(S_n)_n}{(S_n)_B} \approx 0,4 \dots 0,5; \quad (6.23)$$

$$\left| \frac{t_{zn} - t_{za}}{h_{ro}} \right| \approx 0,03 \dots 0,05. \quad (6.24)$$

Углы конусности наружного потолника (для внутренних конусов они приведены выше) различны для носа, борта и кормы и должны приводиться:

$$(\beta^*)_{нос} \approx 25^\circ; (\beta^*)_{борт} \approx 15^\circ; (\beta^*)_{корм} \approx 5 \dots 10^\circ.$$

Особое значение имеет определение соотношения (6.24), с которым связаны такие свойства ГО рассматриваемого типа, как мореходность, сопротивление движению на волнении, движение моря, вертикальная жесткость. Увеличение t_{za} по сравнению с t_{zn} дает находящимся внутри периферийного потолника конусные косинусные элементы значительно более жесткими, а это приводит к увеличению показателей сопротивления и к росту дополнительного сопротивления движению на волнении из-за меньшей податливости ГО, что влечет за собой усиление килевой качки и увеличение динамических перегрузок. Все это вызывает необходимость регулирования величины отношения (6.24) и его изменения в зависимости от условий эксплуатации.

Соотношения геометрических характеристик ГО области ВП 1У типа приведены на рис. 6.31.

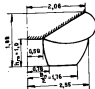


Рис. 6.31. Геометрические характеристики ГО СВП 1У типа (в долях h_{ro}) при $h_{ws}/b_{ws} = 1,28$

откуда можно получить рекомендации по раскрою материала для изготовления из НЭ. Форма гибкого надувного ресивера в зависимости от коэффициента K_p можно получить по тем же рекомендациям, которые касались ГО 1 типа.

§ 6.6. Оценка прочности ГО. Причины ее расчета. Использование опыта проектирования и прототипов при выборе материалов ГО

Нестабильность физико-механических свойств композитных эластомерных материалов, услуговая испытанием клеев и проникающих извне макроиницаторов сна, действующих на конструкции ГО, значительная зависимость характеристик материала от условий эксплуатации и воздействий внешней среды - все это является причиной затруднений в создании надежных расчетных методик для оценки прочности ГО. Появляется роль лабораторных исследований материала, отдельных узлов и всего ГО в масштабах и натурных стендов и самодельных машинах.

Проверка формообразования, прочности,ресурса ГО практически всегда осуществляется в условиях опытной эксплуатации, создаваемой СБИ, как это имеет место в авиации. Введение множества допущений к управлению расчетных схем в основуности с вышеупомянутыми факторами вызывает необходимость включить в расчеты прочности редко коэффициентов запаса, которыми предполагается компенсировать эти не точности [87], [180].

Суммарный коэффициент запаса прочности K_p можно представить в виде произведения:

$$K_p^n = K_1^n K_2^n K_3^n K_4^n, \quad (6.25)$$

где $K_1^n = 1,1 \dots 1,4$ - коэффициент, учитывающий снижение прочности материала при двухосном растяжении;

$K_2^n = 2,0 \dots 3,6$ - коэффициент, учитывающий неучет динамического характера нагрузки;

$K_3^n = 1,1 \dots 3,3$ - коэффициент, учитывающий снижение прочности материала в процессе эксплуатации;

$K_4^n = 1,0 \dots 2,3$ - коэффициент, учитывающий нестабильность прочностных характеристик материала из-за его неоднородности.

Предложенные коэффициенты соответствуют опыту натурной эксплуатации и лабораторных испытаний. Диапазон изменения коэффициента K_p^n так велик потому, что опыт изготовления и эксплуатации материалов ГО и по объему, и во времени чрезвычайно ограничен.

Условие прочности материала оболочки приобретает вид

$$C_{\text{нр}} K_p^n T \leq [T], \quad (6.26)$$

где T - наибольшее напряжение в оболочке в рассматриваемых расчетных случаях; $[T]$ - предел прочности на разрыв при его одностороннем статическом нагружении (по основе или по утку).

Предлагаемая методика расчета направлена на состояние гибкого ресивера исходя из определения коэффициента запаса T без учета влияния НЭ, что учитывается коэффициентом $C_{\text{нр}}$. Это вносит определенные погрешности, которые как раз и компенсируются введением дополнительного коэффициента K_p^n .

тимального практического коэффициента; значение тем больше, чем выше отношение $h_{\text{из}}/h_{\text{го}}$, принимаемое у современных ГО; $h_{\text{из}}/h_{\text{го}} = 0,3 \dots 1,1$.

Упомянутый коэффициент во опыте экспериментов следует выбирать из диапазона $C_{\text{из}} = 1,0 \dots 1,5$.

В настоящем время уже разработаны методики определения кольцевых патинений на ГО, в расчетную схему которого сразу вводится НЭ [97], [110], тогда $C_{\text{из}} = 1,0$.

В оценках прочности исследуется ряд обобщенных расчетных случаев нагружения оболочки, для которой каждый раз предварительно определяется равномерная форма в действующие в ней напряжения.

Рассматривая выражение (6.26), можно сделать вывод, что растяг гибкого реинвера прочность выполняется по изгибайной из векторов растягивающего усилия T путем сравнения его максимального значения с разрушающей грузкой [T].

Постоянные нагрузженные оболочки испытывают под действием внутреннего давления воздуха на стоянке или при движении над ровной поверхностью, давления встречного потока воздуха, гидродинамических воздействий при занятии ГО водой или при буксировке СВП в зоне маневрирования поплавка.

Клинические нагрузжения возникают при движении над вспениванием поверхностью, когда ГО периодически ударяется о верхнюю волну, вызывая вертикальные ускорения, когда движение в ВП колеблется по определенному закону (например, скользящий). При этом волнистые должны рассматриваться или возможное запирание объема ВП, или прекращение истечения из гибкого реинвера, или полная потеря ВП от "волнистого порока", и

ситуации, когда судно оказывается над подводной волной.

В качестве случайных могут рассматриваться нагрузки, возникающие в аварийных и краудинговых ситуациях. Это могут быть падение судна с обрыва, столкновение ГО со стеклом, преодоление рва или канавы и т.п.

Из сказанного следует, что специфика оценки прочности ГО состоит в том, что она является составляющей (или дополнением) алгоритма расчета напряженно-деформированного состояния мягкой оболочки, находящейся в равновесном состоянии с сохранением формы под действием внешних сил, соответствующих условиям расчетного случая нагружения.

Это означает, что сравниваемое с допускаемыми величинами растягивающих напряжений в оболочке, воспринимаемое нормальное (размерное) давление воздуха, зависит от параметров ее формы, что делает необходимым в первую очередь определение равновесного состояния формы оболочки.

Таким образом, расчет прочности ГО сводится к:

- определения внешних сил;
- расчета напряженно-деформированного состояния конструкции ограждения;
- нормирования прочности.

Говоря о внешних силах, загружающих расположенный элемент (узел) гибкого реинвера ГО, выявляют наиболее опасный эксплуатационный случай, создающий наибольшее растягивающее напряжение в гибкой ните.

Для разных типов СВП под экраном без хода в качестве внешних нагрузок рассмотривают осредненное избыточное давление в ВП

$$P_a \equiv G/S_n \quad (6.27)$$

и при оговоренном значении коэффициента давления K_p давление в ресивере

$$P_r = K_p P_n . \quad (6.27)$$

Величина K_p (как и высота $h_{\text{тв}}$) может быть различна для бортовой, носовой кормовой секций ГО. В динамических условиях эксплуатации на волнении наблюдаются значительные колебания избыточного давления P_r .

P_r , превышающие соответственно (6.27) и (6.28) в 2...3 раза. В ВП давление может увеличиваться или из-за закупоривания ее водой, или из-за уменьшения ее объема при прохождении "волнистого порога", или из-за увеличения давления в гибком ресивере при обратном ходе волны и т.п. В гибком ресивере избыточное давление может увеличиваться из-за закупоривания выходных отверстий водой и преодолеванием твердым препятствием, при смятии ресивера водой и уменьшении при этом его объема и т.п.

Расчетное давление в ВП в подобном случае может быть оценено по результатам морских модельных экспериментов, на которых для расчета значения $(P_n)_{\text{max}}$ необходимо различие значений вертикальных ускорений в центре тяжести. Тогда

$$(P_n)_{\text{max}} = (\pi + 1) \frac{G}{G - g_n} , \quad (6.28)$$

где $(\pi + 1)_G$ – значение вертикальной перегрузки в центре тяжести судна.

При отсутствии необходимых экспериментальных данных величину вертикальной перегрузки приближенно можно оценить, используя выражение

$$(n+1)_G = \sqrt[3]{1 + 1,23 \frac{B_0 h_{\text{тв}} \left(v + \sqrt{\frac{g}{2L}} \lambda_{\text{вн}} \right)^2}{Q_k}} . \quad (6.30)$$

Здесь: B_0 – ширина ВП, м; v – скорость хода судна, м/с; $\lambda_{\text{вн}}$ – длина расчетной волны, м; Q_k – суммарная производительность воздуховагонетелей СДП, м³/ср; $h_{\text{тв}}$ – высота расчетной волны, 3%-ая обеспеченности, м.

Все секции гибкого ресивера необходимо проверять на действие избыточного давления $(P_r)_{\text{max}}$ и $(P_g)_{\text{max}} = K_p (P_n)_{\text{max}}$.

Следует учесть, что максимальные значения "пикововых" величин P_g и P_r возможны в носовой секции ВП и зависят от соотношения длины волны $\lambda_{\text{вн}}$ и длины судна L_s и от скорости хода. Амплитуды колебаний давлений в носовой секции по отношению к таким же амплитудам в кормовой при $\lambda_{\text{вн}}/L_s = 0,5...1,5$ изменяются от $(\Delta P_n)_n / (\Delta P_n)_k = 1,2...1,5$ при $Fr_L = 0,3...0,5$ до $(\Delta P_n)_n / (\Delta P_n)_k = 4...5$ при $Fr_L = 1,0...1,4$.

При принятом "на столе" значении коэффициента давления $K_p = 1,3$ во ходе на волне может оказаться в диапазоне 2,3...1,1. Частота колебаний давления равна частоте прохождения волн.

Одновременно к кормовой секции гибкого ресивера, кроме внешних сил, обусловленных действием избыточных давлений в ресивере и в ВП (на такой волне это P_r и P_g), а на minimum (P_r)_{min} и (P_g)_{min}), могут быть приложены касательные усилия гидродинамической

программ. Их распределение удобно представить равномерным по ширине ВП, а по длине изменяющимся по закону треугольника с нулевой тягкостью $Q(\phi) = 0$ посередине длины L_0 с максимальной интенсивностью $Q(\phi) = Q_{\max}$ в коридорной границе области ВП.

Максимальное значение интенсивности действующих усилий можно найти по формуле

$$Q_{\max} = \frac{R_{\text{ГДР}}}{B_{\text{д}} + (L_0/2)}, \quad (6.3)$$

где $R_{\text{ГДР}}$ — гидравлическая составляющая со противодействием движению (замык ГО, брызговое т.п.), т.е. это фактически остаточное сопротивление.

Величину $R_{\text{ГДР}}$ в предварительных расчетах обычно принимают на диапазоне

$$R_{\text{ГДР}} \approx (0.05 \dots 0.10) \Phi.$$

На волнении сорвавшее давление в ВП становится меньше чем $(P_p)_{\phi=0}$, что приводит к защите увеличения расхода воздуха из области ВП при прохождении профиля волны, что приводит к "проскальзыванию" судна, т.е. скольжению его киля вправо и к увеличению остаточного замыкания ГО. Наблюдается пульсация зон давления $\sum R$ на волнении, так что пиковые величины в 2..3 раза превышают его среднее значение на тихой воде, это следует учесть при определении нагрузок на ГО Q_{\max} .

Одним из определяющих случаев для расчета напряженного состояния гибкого ресивера оказывается случай падения СВИ с вершиной волны во побору, что при вертикальной вертлюжке $(n+1)_d$ одновременно приводят

изменений потери ВП. В этом случае поддается конструкции гибкого ресивера (рис.6.32)

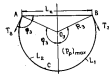


Рис.6.32. Схема для расчета прочности гибкого ресивера в случае иззающей потери ВП (см. рис.6.33)

под действием давления $(P_p)_{\max}$ приобретает цилиндрическую форму с радиусом R_3 , длиной образующей дуги L_{re} и жесткой вставкой в виде отрезка АВ (см. также рис.6.26).

Длина дуги L_{re} определена ранее (согласно рис.6.26) и складывается из дуг $L_1 + L_2$.

Необходимо определить R_3 и Φ_3 . В соответствии с рис.6.32 величина угла Φ_3 может быть найдена при помощи трансцендентного уравнения

$$\frac{\sin \Phi_3}{\Phi_3} = \frac{L_3}{L_{re}}, \quad (6.32)$$

Решение этого уравнения воспользовавшись для получением Φ_3 результатами решения, представляем

ныне на рис.6.33, можно определить изгибающий радиус

$$R_3 = \frac{L_{\text{го}}}{2\varphi_3}, \quad (6.31)$$

позволяющий вычислить копеечное изгижение, применяв для этого выражение

$$T = (P_p)_{\text{max}} R_3. \quad (6.32)$$

$\sin \varphi_3$

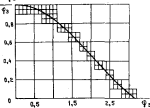


Рис.6.33. Зависимость отношения $\sin \varphi_3 / \varphi_3$ от угла φ_3 (рад)

Корневую схему ГО в этом случае необходимо проверять не только на действие растягивающих изгибаний от избыточного давления $(P_p)_{\text{max}}$, но и на дополнительное действие касательных усилий Φ_{max} согласно выражению (6.31). Нынешним будет значение касательной величины (6.34) и Φ_{max} .

В структурной практике пионер проектирования ГО чаще всего используются эмпирические методы, базирующиеся на опытной

эксплуатации и результатах лабораторных экспериментов. Так, в [160], [78] приводится испытываемая в США зависимость для растягивающих усилий в материале ГО:

$$[T] = 3P_b K', \quad (6.35)$$

где K' – общий коэффициент запаса прочности за установленный нормо, его значение рекомендуется принимать 10...20.

Применение методики расчета прочности ГО может быть рассмотрено как оценка его общей прочности.

Местная прочность ГО, т.е. прочность его узлов и соединений, носит еще более приближенный характер, т.к. кроме местной прочности свойств материалов, несовершенства технологии изготовления и самих материалов, в конструкции ГО, здесь значительно сложнее оказывается создание физических моделей, отражающих условия работы отдельных элементов, узлов, соединений.

Как правило это компенсируется введением экспериментальных поправочных коэффициентов и коэффициентов запаса. Так, например, узел поясного, включенный впрямь (патрубок отверстия или цепь) для прохода воздуха из гибкого расширения в НЭ и в ВП, должен разрабатываться с учетом снижения его прочности из-за наличия этих ворезов. Прежде прочности поясного впрямь с учетом, например, пубберизации материала, изготавливания усиливающих компонент по периметру отверстий определяется выражением

$$[T]_x = (0,5 \dots 0,7) \left(\sum_i [T]_i \right), \quad (6.36)$$

где $\sum_i [T]_i$ – суммарная предельная нагрузка расщепляемого конструктивного узла,

При оценке прочности плавающих элементов ГО силовые воздействия следует определять, исходя из того, что живые кромки, контактирующие с изолированной поверхностью моря, испытывают инерционные воздействия, вызывающие вертикальные перегрузки, которые в пределах движений судна на гармонической волне могут быть оценены исходя из выражения

$$\alpha_z = 2 \frac{g}{\lambda_{\text{волн}}} \left(0 + \sqrt{\frac{g \lambda_{\text{волн}}}{2x}} \right)^2, \quad (6.37)$$

где α_z — вертикальное ускорение, $\text{м}/\text{с}^2$.

На волнах, характеризуемых параметрами $\lambda_{\text{волн}} = 2 \text{ м}$, $\lambda_{\text{волн}} = 40 \text{ м}$, при скорости хода 30 уз согласно (6.37) будут возникать перегрузки $\sim 3,8g$, а на короткой волне при $\lambda_{\text{волн}} = 2 \text{ м}$, $\lambda_{\text{волн}} = 20 \text{ м}$ для той же скорости ускорения достигнут уже $\sim 13,3g$. Подсчет показывает [165], что ускорения могут быть $\sim 100g$.

Вместе с этим потеря прочности материала открытых НЭ связана с так называемым "Флагманским" их свободных залпов кромок (с рис.6.3). "Флагманский" (толчок) в статическом видеодополнении потока также сопровождается высокочастотными колебаниями и исключительно высокими значениями перегрузок. [138] отмечается, что на живых кромках плавающих элементов ГО величины перегрузок могут достигать значений $> 30000g$ при колебаниях кромок с частотой до 200 Гц.

Эти значения, зависящие от скорости движения судна относительно поверхности воды от величины избыточного давления воздуха области ВП, которое определяет скорость источников, были зафиксированы миниатюрными датчиками ускорений, установленными на жив-

альных съемных элементах. На рис.6.34 приведены результаты эксперимента, подтверждая, что "Флагманский", вызывающий быстрое усталостное разрушение материала элементов ГО, характерен для скоростей движения более 30 уз и присущ высоконагруженным СВП.

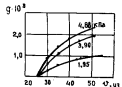


Рис.6.34. Зависимость перегрузок на свободной вынужденной кромке НЭ ГО в функции от скорости движения и давления в ВП (результаты эксперимента).

В заключение приведем некоторые статические данные, позволяющие получить приближенные количественные характеристики применяемых для ГО материалов.

Если известен безразмерный коэффициент нагрузки материала ГО, учитывающий влияние по сопротивляемости пластинки примененного композитного материала $\bar{\sigma}_{\text{ГР}} (\text{кг}/\text{м}^2)$ и характеристическое значение $P_{\text{п}} (\text{Н}/\text{м}^2)$, определяющее растягивающую нагрузку в материале

$$\bar{\sigma}_{\text{ГР}} = \frac{\sigma_{\text{ГР}} \cdot \delta}{P_{\text{п}}}, \quad (6.38)$$

то для большинства современных материалов, используемых в СВП, его значение находится в интервале

$$\bar{\sigma}_{tg} = 0,008 \dots 0,012. \quad (6.3)$$

Прочностные характеристики используемых материалов не определяются только его поверхностью плотностью. Если прочность на разрыв прямо пропорциональна поверхностью плотности армирующей ткани, как показали испытания в США [164] (рис.6.35), то прочность на разрыв не может быть охарактеризована в логической линейной зависимости. Значительная роль играет соотношение показателей прочности на разрыв по основе и по утку от направления действующего усилия, от типа плетеных нитей, что влияет и на адгезионные свойства применяемого материала.

В конечном итоге возникающие в материале ГО напряжения вызываются сложной комбинацией растягивающих усилий от статического давления воздуха и от ускорений, возникающих от низко- и высокочастотной вибрации и

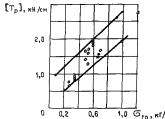


Рис.6.35. Прочность материала ГО на разрыв $[T_p]$ в зависимости от поверхности плотности армирующей ткани

контактов с взволнованной поверхностью воды и (или) твердыми препятствиями на суше.

Использование моделирования действующих в материале гибкого защитного рессора инженеров, можно установить, что они (см. § 6.5) изображаются пропорционально квадрату масштаба m^2 . Прочность на разрыв основы материала ГО (см. рис.6.35) пропорциональна его поверхности плотности, и при допущении условной адгезивности обкладочных слоев можно считать, что поверхность плотность материала должна моделироваться пропорционально m .

Неследование данных по английским и американским СВП, приведенные в [165], позволяют установить рекомендуемые значения поверхности плотности композитного материала $\bar{\sigma}_{tg}$ (kg/m^2), который может быть использован для изготовления гибкого рессора:

$$\bar{\sigma}_{tg} \approx 0,5 D_p^{1/3}, \quad (6.40)$$

где D_p - полная масса СВП, т.

Моделирование поверхности плотности, как и разработка численных рекомендаций, подразумевает использование известных синтетических тканей, ящих из изготовления нитей, из которых затем сплетаются ткани.

Действительно, разработка ящих материалов может внести существенные корректины и в качественные, и в количественные рекомендации, обсуждаемые здесь.

Использование холстины СВП показало, что предпочтительнее и гибкий рессор, и съемные элементы изготавливать из однократного материала с минимально допустимой жесткостью при изгибе. При этом в практике предпочтение отдают материалам, обладающим большой эластичностью, т.е. тканям с более рыхлым пла-

тением. Это способствует и лучшей адгезии огнестойких слоев, и большей гибкости получившегося материала. При движении на волнах сопровождающимся возрастанием сопротивления, ГО должно обладать следующей способностью, это возможно только, если изгибная жесткость материала ресинера делает его подобным рессоре. Этот путь снижения сопротивления движению на волнах значительно более эффективен, чем увеличение расхода воздуха Q_d (см. главу 3).

8.6.7. Материалы для ГО

Учитывая условия эксплуатации ГО, к материалам, из которых они изготавливаются, предъявляются очень жесткие требования. Материалы ГО относятся к типу эластомеров, неоднородных, композитных и включают в себя обычно армирующую основу, на которую с обеих сторон наложен обкладочный материал, придающий эластичность, непроницаемость, защищающий ткань от воздействия окружающей среды, и, в частности, от запасов и истирания.

Обкладочный материал (эластомер) соединяется с упрочняющей тканью при помощи специального адгезива⁸ (фрикционной промазки), который не должен уменьшать эластичности получившегося композитного материала (рис.8.36). Основные требования, предъявляемые к материалам ГО:

- высокая прочность;
- сопротивляемость разрыву при запасах о препятствиях;

- износостойкость;
- высокая прочность связи между армирующим и обкладочным материалами;
- гибкость;
- эластичность;
- малая плотность.



Рис.8.36. Схема сочетания слоев композитного эластичного материала, применяемого для изготовления ГО СВП: 1 - армирующая ткань, пропитанная латексом; 2 - адгезионный слой (фрикционная промазка); 3 - резиновый слой

На момент создания первых ГО ни один из материалов, выпускающихся промышленностью, не удовлетворил в полной мере перечисленным требованиям, но вскоре стало очевидным, что наиболее приемлемыми оказались композитные материалы, где в качестве армирующей основы используются синтетические ткани, а для обкладочных слоев - различные виды резины и тд.

Армирующая ткань сплетается из сильно закрученных нитей по типу рогожки или по типу полотнищ, в результате чего получается соответственно меньшая или большая плотность тканей. Синтетическая ткань, обладая эластичностью, прочностью, износостойкостью, отличается износостойкостью по основе и по утку, что следует учитывать при раскрою ткани и изготовлении различных деталей ГО. Многие ткани, применяемые в качестве прочностной основы, имеют тенденцию к усадке при тепловых воздействиях.

⁸ Адгезия (от лат. adhaesio) - прилипание.

ВО

стниках, которым в сини, и магнезиалии ГО целом подвергаются неоднократно в процессе изготовления материала и при изготовлении конструкций ГО (сумки, каландрование, вулканизация). Такая усадка может доходить до 15%, что следует учитывать при обеспечении необходимой точности размеров ГО. Типы переплетения нитей армированной ткани определяют многие свойства всего материала ГО, особенно аэродинамические. Наличие ячеек в ткани (между нитями) дает возможность получить равномерно распределенные по площади материала соединение обоих обкладочных слоев покрытия. Прочность композитного материала ГО в наивысшей степени зависит от прочности отдельной нити основы. Обкладочный материал (чаще всего из натуральной каучук, полиуретан, неопрен, нетриполиаминалхолорид и т.п.) должен иметь высокое сопротивление истиранию, не обладать склонностью к механической деформируемости, к спиранию, быть эластичен, тепло- и морозостойким, не подвергаться набуханию в морской воде, негативному воздействию нефтепродуктов.

Расслоение материала ГО происходит, в первых, из-за усталостных процессов на границах разделов слоев и, во-вторых, из-за вод набухания (водонаполнения), которое приводит к снижению прочности связи армированной ткани с обкладочными слоями за (25...30)% при одновременном значительном увеличении массы. Наклучай агломерат обладает обкладочный материал из натуральной резины (чистой или смеси с синтетическими добавками). Изготовление прорезиненных материалов (см.рис.6.3б) включает пропитку армированной ткани специальными смолами (латексами), покрытие ее агломерантами и каландрование, т.е. двухстороннее обрезинивание с одновременной вулканизацией сырой резины на специальных вальцах. Пропитка тканей латексными составами в зарубежной

общественной практике является одним из самых распространенных способов повышения прочности связи зонтий ткани с обкладочными слоями резины, либо способствует появлению не только механической, но и химической связи между слоями в материале ГО.

Качественными и количественными характеристиками применяемых для изготовления материалов ГО тканей являются:

- ячейки;
- плотность в куске;
- поверхностная плотность (масса 1 м²);
- плотность по основе и утку;
- толщина;
- прочность на разрыв по основе и утку;
- растяжимость при статистической нагрузке;
- вязкость.

Прочность ткани по основе и по утку определяется числом нитей соответственно основе и утка на отрезке 100 см.

К важнейшим физико-механическим характеристикам материалов ГО относятся:

- прочность на разрыв (Н/см) - определяется из образца, изготовленного в виде полоски, шириной 50 мм и длиной рабочего участка 200 мм, то полосы в виде отношения разрывной нагрузки к 1 см ширине образца;
- сопротивление разрыву (Н) - величина разрывной нагрузки, вызывающей разрушение изогнутого образца;
- показатель эластичности (изгиба) - прочность связи между обкладочными материалами в армированной ткани при расслаблении (Н);
- растяжимость (удлинение) ткани при разрыве (%) в виде отношения приращения длины рабочего участка в момент разрыва образца к первоначальной длине рабочего участка;
- морозостойкость - способность материала сопротивляться разрушению при циклическом замораживании и оттаивании, а также сохранение

8.2

работоспособности при отрицательных температурах;

- старение - самопроизвольное необратимое изменение свойств, наблюдающееся при хранении или эксплуатации материала, стойкость к химически активным средам;

- набухание в различных жидкостях - изменение объема, размеров и физических свойств материала при длительном нахождении в жидкости;

- стойкость материала к высокоскоростному гидропотоку;

- "флаговый эффект" - отношение момента разрушения материала ко времени его нахождения в динамической водо-воздушной среде;
- водо- и воздухопроницаемость (см/чм²).

Для современных и перспективных АСВ как показывает отечественный и зарубежный опыт требуются материалы, имеющие съёмющие конструктивные характеристики первичспециальных видов свойств:

- способность выдерживать перепады давления от 1 до 12 кПа;

- прочность при разрыве (1,0...5,0) кН/см в перспективе до (7...10) кН/см;

- прочность материала на рессир (800...5000

- равнопрочность по основе и утку;

- прочность связи ткани с обкладочными слоями при отсланивании (адгезионная прочность 80...120 Н/см);

- относительное удлинение при разрыве более 50%;

- способность выдерживать перепады температуры от -50 до +50°C;

- способность материала выдерживать действие знакопеременных пульсирующих и вибрационных нагрузок с частотой от 2 до 30 Гц;

- санитарные свойства материала должны удовлетворять распоряжениям ГО и пред-

1000...2000, а в перспективе до 5000 ч ходового времени по всем компонентам ГО.

Отмеченные требования можно объединить в табл.8.3.

Типы А, Б, В можно рассматривать как применение для новых компонентов (НЭ) ГО, а типы В, Г, Д и Е - для верхних конструций (гибких рессиверов) ГО,

Пример использования материалов для ГО приведен в табл.8.2.

Данные по отечественным материалам приведены в табл.8.4 [111].

Данные табл.8.2-8.4 показывают, что поверхность плотность применяемых материалов (1,0...4,0) кг/м². Тканевая основа при этом составляет (30...40)% . Так, например, для ГО ОЭП SRN[®] 6 использовался материал, поверхность плотность которого 1,37 кг/м², тканевая основа состояла из 0,41 кг/м²; на SRN[®] 6M соответственно: 2,91 кг/м² и 0,88 кг/м² (для гибкого рессивера) и 4,8 кг/м² и 1,03 кг/м² (для съёмных элементов ГО).

Долговечность, надежность ГО, связанные с адгезионными и прочностными свойствами материала, который, имеет сложную структуру, зависит от свойств нитей в ткани, от типа и качества обкладочного материала. Так, для новых компонентов ГО и особенно для съёмных элементов предпочтительнее использовать материалы, имеющие в качестве покрытия натуральную резину, которая обладает лучшими адгезионными свойствами по сравнению с синтетическими резинами, например каучуком, обладающим, морозостойкостью, меньшей горючестью. Очень хорошо зарекомендовала себя в качестве покрытия применяющаяся в США поликарбонатная пленка, но она имеет существенный недостаток: растрескивается при высоких температурах.

Характеристики материалов
спроектированных

Характеристики материалов и условия его эксплуатации на судне	Размер- ность	Наименование СВП			
		ЛЭРРА		ЛЭРРБ	
		ГР (P C)	ГР (P C)	ГР (P C)	ГР (P C)
Максимальная ско- рость хода СВП	УЗ	50	50	50	50
Давление в ВД	кН/м²	4,81	5,20	5,20	5,20
Прочность при разрыве	кН/см	1,67 ³⁾ 1,56	1,57 1,58	0,97 0,75	2,21 2,00
Удлинение при разрыве	%	80 50	45 60	45 60	40 50
Прочность на разрыв	кН	0,100 0,081	0,269 0,200	0,212 0,222	0,48 0,59
Адгезионная преч- ность	кН/см	0,036 0,036	0,106 0,106	0,106 0,106	0,19 0,19
Поверхностный плен- ность	кг/м ²	1,69	2,37	1,98	3,02
Тип покрытия	-	Нитрил- полиизо- нитиро- рида	Нитрил- полиизо- нитиро- рида	Нитрил- полиизо- нитиро- рида	Нитрил- полиизо- нитиро- рида
Тип армированного ма- териала	-	Нейлоно- вых сеток	Нейлоно- вых сеток	Нейлоно- вых сеток	Нейлоно- вых сеток

1 Табличный размер.

2 СО - смываемые элементы.

3 Абревиатура СВП.

4 В скобках (здесь и далее) - характеристика во-внешней, в дальнейшем - по умолчанию.

использованных на построенных и
американских СВП

Наименование СВП	АСВП-А № Д ₀ = 170т	Наименование СВП	
		АСВП-В № Д ₀ = 170т	
		ГР (P C)	СВ (P C)
Натуральный каучук	90	81	81
Испорчен, полиизопрен, бутидан	4,53	3,88	3,88
Полиизопрен, бутидан	—	—	6,71
Натуральный каучук, бутидан	—	—	—
Нейлоновая сетка	—	3,74	4,06
Полистеровая сетка	—	—	1,98
Нейлоновая сетка	—	—	—

Таблица 6.2

Таблица 6.3 § 8

Коэффициенты оценки характеристики природных земель созревания ГС (согласно СНиП)

Основные характери- стики	Род хар- актери- стик	Частотные значения характеристики					
		A	B	C	D	E	F
Прочность в растяг.	кН/см	0,5...0,6	0,8...1,0	1,2...1,4	1,6...2,0	3,0...4,0	5,0...6,0
Упругость при растяж.	%	20...30	20...30	20...30	20...30	20...30	20...30
Абсолютная прочность (при объемных изменениях)	H/cm	120	120	120	120	120	120
Прочность в растяг.	кН	0,5...0,6	0,8...1,0	1,2...1,4	1,6...1,8	2,0...2,2	2,6...3,2
Пониженная плотность	кг/м ³	1,0	1,3	1,5	2,0	3,0	3,8

Таблица 6.4

Характеристики редко созревающих геологогеоморфических материалов ГС

Характеристика материала	Матер. материала		
	1C23	31-100	51-101
Матер. характери- тический показ.	TK-BOp-1	TK-12Op-1	TK-16Op-1
Масса 1 м ³ , кг	≤ 2,4	≤ 3,0	≤ 3,5
Температ., °М	1,8 ≥ t _m ≥ 1,5	2,4 ≥ t _m ≥ 2,1	2,9 ≥ t _m ≥ 2,5
Прочность в растяг. по осно- вии, кН/см	≥ 0,784	≥ 1,18	≥ 1,87
Упругость при растяжении по ос- новии, %	≤ 50	≤ 50	≤ 50

Разрушение материалов ГО от силового воздействия в наибольшей степени имеет усталостный характер. Это, с одной стороны, связано с систематическими ударами о препятствие, верхами волн, а, с другой - с высокочастотной вибрацией, которой подвергаются внешнезаделанные участки ограждений. В результате местах постоянных изгибов материала (концентрации напряжений) появляются усталостные трещины, в которые проникает вода и присутствующие в воде нефтепродукты, начинается затяжное нарушение адгезии, оголение армированной ткани и последующее разрушение конструкции ГО.

Применяемые для изготовления ГО материалы проходят обширный комплекс лабораторных испытаний. Кроме статических испытаний разрыв, разрыв, температурные воздействия, водо- и маслопоглощение, водо- и воздухопроницаемость проводятся также обширные испытания на усталостных, жесткокрутящих динамических воздействиях внешней среды на образцы материала, отдельные элементы ГО и на всю конструкцию его в целом (рис.5.37). Созда-

ются различные стены, позволяющие имитировать различные условия эксплуатации: воздействие различных поверхностей, водяных и воздушных струй. Абразивные качества материала лучше всего проверяются на так называемых "флагеллиторах", где образец подобно флагу на ветру обдувается свободным скоростным воздушным потоком [40], [165], [180]. Однако же один из этих стендов недает возможности предсказать ресурс ограждений, они дают скорее качественную, чем количественную оценку материала или соединения.

Очевидно, что самой надежной будет экспериментальная проверка объекта исследования в натурных условиях службы судна. Это, однако, слишком дорого, так как требует вывода судна из коммерческой эксплуатации на длительный срок. Испытания в таком случае должны проводиться по специальной программе в разнообразных условиях, что возможно только на опытных объектах. Исследование материалов ГО в их совершенствовании позволяет значительно повысить ресурс ограждений с доведением его до $(1000...2000)$ ч для верхних элементов ГО (линейки ресиверов) и до 500, а в некоторых случаях и более часов для элементов ограждений, находящихся в постоянном контакте с водосточной поверхностью и подвергающихся воздействию высокочастотной вибрации. Это дает возможность сократить срок службы ГО со скоростью движения судна. При использовании судна и того же материала увеличение скорости движения в 2 раза приводит к снижению ресурса НЭ в 10 раз [165]. Совершенствование материалов для ГО с целью повышения срока службы есть источник повышения надежности СМЛ и снижения его эксплуатационных расходов, значительная часть которых составляет затраты по ремонту и замене ограждений

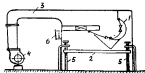


Рис.5.37. Крупномасштабный стенда для испытаний образцов ГО: 1 - испытываемый образец; 2 - ёмкость перемещающейся аэрии; 3 - воздуховод; 4 - вентиль нагнетатель; 5 - магнитный измельчитель; 6 - возвратный клапан

ВП. В частности, экспериментально исследованы способы ресурса НЭ ГО со свойствами используемого или их изготовленных материалов. Установлено [165], что срок службы материала возрастает с увеличением его поверхностной плотности до $3,4 \text{ кг}/\text{м}^2$, после чего он начинает снижаться. Это, очевидно, связано с увеличением роли инерционных сил, приводящих к разрушению сравнительно более тяжелого материала, что делает циклосообразным изготовление НЭ из как можно более легких (т.е. легких) материалов.

Ресурс ГО остается одной из самых стабильных характеристик СВП. При его оценке огромное влияние оказывают нестабильные свойства самого материала и условия, в которых функционирует ГО: скорость движения судна, интенсивность контактирования конструкции с водотягивающей поверхностью, уровень вибрации высокочастотной вибрации и т.д. Именно поэтому у английского СВП VT-1 срок службы при скорости хода 38...40 у колебался от 200 до 800 ч, а у СВП SRN⁴ на скорости ~50 уз - от 100 до 500 ч.

В табл. 6.5 приведен перечень возможных усовершенствований материалов, применяемых смывных элементов ГО, и соответствующее давление увеличение срока их службы.

В заключение следует указать, что как отечественные, так и зарубежные практики достаточно изучены и нестабильны их физико-химические свойства, имеет место несовершенство существующей технологии изготовления, что при изготовлении ГО приводит к отклонениям от заданных форм, размеров, величию деформаций и износостойким и износостойким напряжений. Нестабильность формы и прочности ГО, а в связи с этим и ресурса, определяются следующими свойствами материала:

Таблица 6.5
Способы повышения ресурса материалов ГО

Вид усовершенствования материала	Увеличение срока службы, %
Повышение прочности армированной ткани по разрыву	30
Повышение стойкости ухудшения свойств материала при погружении в воду	20...30
Повышение качества оболочки края материала	2...5
Повышение адгезионных свойств материала	10...20
Повышение сопротивляемости размывовых волн абразивному износу	50

- анизотропностью, т.е. зависимостью деформации материала от соотношения усилий, действующих по осиами и углу;

- неизученностью закона Гука и принципа взаимности действия сил;

- параллельностью коэффициента Пуассона, независимостью его от напряженного состояния;

- ползучестью при избыточных нагрузках;

- склонностью к существенному понижению прочности при длительных воздействиях нагрузок и повышенной или пониженной температуры.

Нестабильность свойств эластичных материалов ГО в сочетании с жесткими условиями эксплуатации является на сегодня одним из основных препятствий в решении проблемы повышения ресурса ограждений, в вместе с тем

и объясняется причиной того, что в методе расчета ГО, рассмотренных ранее, столь много первых.

Перечисленные специфические особенности материалов ГО создают проблемы моделирования его характеристики, ибо изысканно-изученные статики и динамики СВП получают подобие материалов модели и не по толщине, поверхности плотности, модулю упругости при растяжении по оси, модулю упругости при растяжении по углу и т.д. Упругость материалов зависит не только от свойств материй, используемых для тканей, но от способа их переплетения, толщине способа сорта обивочной резины, толщине слоя и свойства клея. По этой причине рекомендуется осуществлять моделирование по одному из более характерных видов деформации ГО и поддерживать подобие по параметру, определяющему этот вид деформации. Так, для НЭ определяющим видом деформации является их изгиб сплошь от контакта с поверхностью экрана ходу сужа, а для гибкого подушкового ресла такой деформацией является сдвиг одного радиального участка относительного другого

5.6. Изготовление и сборка ГО

Процессы изготовления ГО отличаются от швейного производства, но, учитывая монолитность постройки современных СВП, при изготовлении пока отличается практических ими отсутствием механизации, особенно в планах раскроя и сборки обрамлений. Это исключительно трудоемкая, мало механизированная работа, и сложность операций по раскрою, сшивке, сборке и монтажу ГО заставляет значительно быстрее, чем размеры самих сужа-

матротов), для которых изготавливаются ГО. Это обусловлено тем, что с увеличением толщины применяемого материала возрастает его жесткость и масса.

ГО являются сложными пространственными конструкциями, стыковые узлы которых состоят из листов, конусов, торов, сложно пересекающихся друг с другом, с изменяющимися радиусами и скрутками. Детали, узлы и конструкции ГО соединяются между собой и крепятся к жесткому корпусу СВП. При сборке и монтаже ГО встречаются следующие способы:

- 1) стыковые внутрисекционные соединения элементов оболочек;
- 2) узловые соединения (крепления конигсов, оттяжек, диафрагм и т.п.);
- 3) соединения НЭ с гибким ресснером;
- 4) стыковые межсекционные соединения оболочек;
- 5) крепление элементов ГО (оболочки гибкого ресснера, конусовых ГО, сакционированных элементов и т.п.) к жесткому корпусу СВП.

Все способы и типы соединений должны обеспечивать ГО гибкость, способность поглощать ударные нагрузки и прочность. На рис.5.38 представлены некоторые схемы и элементы соединений первых трех типов. Для них наиболее приемлем клемнопрощивной метод. Это объясняется тем, что ГО изготавливаются из материала на основе каучуковой (нейлоновой) ткани с обкладочными слоями из резина. В таком случае применяются клей холодного отверждения (холодной вулканизации) с последующей пропиткой стиков синтетической нитью, которая должна быть защищена от абразивного износа ее о грунт, о воду, о соседние конструкции ГО, о жесткий корпус. Здесь интересно применение различных заложенных лент [40]. Использование

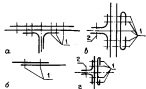


Рис.6.38. Схемы образования прошивных угловых и стыковых соединений деталей, узлов, сечий ГО между собой: а - угловое симметрическое соединение с усилениями; б -стыковое соединение вышестоящего с продикой; в - угловое соединение пакета с компонентом и с усилениями; г - угловое соединение пакета с компонентом без усиления; 1 - прошивка; 2 - ось отверстия под болт

жжение такого способа соединений возможность в заводских условиях, и он применяется малоизгруженных материалов ГО.

При низких температурах скорость химических реакций, обеспечивающих высокую адгезию склеиваемых поверхностей, очень мала, что усложняет технологию изготовления. Синтез адгезии клеевых соединений способствует диффузирование в них воды через резиновую прокладку. Так, после 50-гуттного пребывания в воде потеря прочности клеевых соединений исследованных материалов ГО и различных составов клея составила от 23 до 34%. Водопоглощение, приводящее к ослаблению соединений, происходит, в основном, через несущие торцевые кромки листов, т.е. межламельно. Чтобы снизить водопоглощение, рекомендуется обрабатывать несущие торцы клеммами составами, имеющими до попадания прочной клеммовой пленки, а также окантовывать торцы пакета или образованием толки. Прочность клеевых соединений при влажности воздуха выше 60%. Предпочтительнее и надежнее с точки зрения основности является способ, предусматривающий горячую вулканизацию соединений, в технологическом отношении он весьма сложен, так как требует специального громоздкого и дорогостоящего прессового оборудования, которое экономически может быть оправдано только в случае крупносерийной постройки СВП.

Кроме прошивки в соединениях используется заклепки, болты, шпильки и шарнирные петли. Каждый из этих способов соединения имеет определенные преимущества и недостатки:

- заклепочные соединения являются неразъемными, подвергаются коррозии в морской воде;
- болтовые соединения (с металлической арматурой) также уязвимы к коррозии в морской воде;
- клеммоболтовые и хлебоболтовые соединения обладают большой герметичностью и прочностью, но они более трудны в изготовлении и являются неразъемными, подвергаясь коррозии в морской воде и в воздушной среде;
- шарнирно-петлевые соединения по толщине листовой пластины, применяемые для присоединения листовых ГО к жесткому корпусу, не поддаются механизации при сборке и обладают значительно меньшей прочностью, чем основной материал ГО; в то же время узел крепления отличается малой жесткостью, простотой сборки, что является легкосъемным. Возможность поворота секции полотна относительно оси пакета повышает долговечность эксплуатации ГО. На рис.6.39 видно, что для поворота нет-

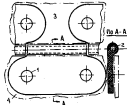


Рис.6.39. Пластмассовые штати, входящие в состав шарнирного петлевого соединения: 1 - отверстие в пятах под болтовое соединение; 2 - отверстие под винты; 3 - жесткий корпус; 4 - материал ГО

и относительно оси необходимо, чтобы последняя была прямолинейной. Присоединение петли к жесткому корпусу и к полотнищу ГО осуществляется или на болтах, или на заклепках. Метод проектировочного расчета шарнирно-петлевого соединения может быть заменен [34].

Монтажные стыки изолятами ГО (стыковые моноклиновые соединения оболочек) в большинстве случаев болтовые или клееболтовые, что допускает возможность разъема при разрыве. Крепление наемых съемных элементов к такому ресснеру должно быть легкоразъемное, чтобы эти элементы можно было легко заменять, поэтому здесь наибольшее распространение получили болтовые соединения, хотя на некоторых СВП применяются соединения на разъемах или нейлоновых штифтах [40].

Несмотря на простоту монтажа и демонтажа, болтовые и клееболтовые соединения

заслуживают достичь рамкой прочности с основным материалом, для увеличения прочности этого соединения рекомендуется уменьшать шаг болтов и (или) применять двухрядное их расположение. При растяжении материала под действием нагрузки из узла болта последний скимается изогнутым, и прочность узла в этом месте определяется сопротивлением радиуса кромки гибкого материала, ослабленного отверстием под болт. Для шарнирно-петлевых, болтовых, заклепочных соединений в качестве крепежа применяются в основном стальные листы, заплатки, болты, хотя возможно изготовление пятец и болтов из синтетических материалов, использование которых пока сдерживается из-за ухудшения их физико-механических свойств под воздействием высокоактивной окружающей среды. Проблемой является также уже упоминавшаяся коррозия металла крепежа под воздействием горячей воды и из-за наличия пары разнородных металлов, какими являются легкая сплав жесткого корпуса сужка и сталь деталей крепежа (электрохимическая коррозия).

Для защиты материала ГО от разрушения при его контактах с металлическими крепежными деталями болты и гайки должны выполняться с минимальным качеством острых граний и быть отделены от материала ГО специальными шайбами, исключающими контакт (рис.6.40). Другие методы распространенные способы монтажа ГО на СВП в соединениях со стягиваемыми узлами и деталями описаны в [40].

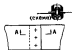


Рис.6.40. Образцы соединения болтового соединения, исключающие обрашивание шайб

8.6.9. Износ, повреждение и ремонт ГО

Под действием сил различной природы из-за активности окружающей среды ГО изнашиваются, повреждаются, что приводят к потере формы и свойств, определяющих их назначение, а следовательно, ухудшают или сводят на нет характеристики всего судна.

Большинство повреждений ГО имеет устойчивый характер. У многогруженых ограничен характер повреждений в зависимости от причин разрушения. У гибкого ресивера и у износимых съемных элементов основными повреждениями гибкого ресивера являются:

- разрывы конструкций, связанные с воздействием перегрузок из-за несогласованности конструкции ГО в местах максимальной концентрации напряжений, что наиболее часто происходит в местах соединения бортовых и корыстных секций ГО, т.е., в угловых секциях;
- разрывы материала, связанные с недостаточной прочностью его на разрыв;
- разрывы от контакта с препятствиями;
- разрушение стыковых швов с поверхностью оточек прошивки из-за отслоения залепочных лент;
- отрыв компонент съемных элементов.

Наиболее часто встречающиеся повреждения НЭ оказываются:

- отслойка обкладочных резин в месте наибольшего развития износа съемного элемента;
- износ и отложение склеритов на кромках всех типов съемных элементов;
- разрывы кромок от контакта съемных элементов с препятствиями;
- разрывы отложений, линз, диафрагм и прочих конструктивных элементов, формирующих корыстные съемные элементы. Характер повреждения ГО конусного типа аналогичен. Если учесть

и химическую активность окружающей среды, то повреждение пластичных материалов, из которых изготовлены ГО, можно классифицировать по следующим типам:

- отслоение обкладочных слоев материала;
- разрушение материала при химическом воздействии топлив и смазочных материалов;
- местные истирания резиновых обкладок (изнутри до отслоения армированной ткани), особенно над твердым краем;
- отслоение залепочных лент с последующим повреждением строчек швов по трещинам;
- разрывы и разрезы материала;
- растрескивание материала в местах изгибов;
- усталостные разрушения;
- разрушения от воздействия краинки;
- основное старение обкладочных слоев резины;
- нарушения адгезии из-за воздействия воды;
- воздействие высоких и низких температур окружающего воздуха.

Ремонт ГО в зависимости от степени опасности и критичности повреждений заключается в замене пострадавших секций гибкого ресивера, НЭ или в установке имплантных плафонов на поврежденные участки (в замену этих участков). Установка пакладных листов, прикрывающих прорывы, истертости и поры обкладочных слоев материала ГО, осуществляется с помощью заклепочных или болтовых соединений; возможно применение в клеях коподной вулканизации. Это приводит к необходимости иметь в комплектации ЗИП по судну наборы готовых к установке НЭ, отдельных узлов и секций, листов материала, клея, арматуры, инструмент. Все это хранится, как правило, на стойкочных плафонадах и ремонтных базах. В составе ЗИП может находиться и полный комплект ГО, что

обусловлено необходимостью периодической замены из-за старения ресурса неизносимо интенсивности эксплуатации судна. Следовательно, ресурс ГО связан с обеспечением организованного базирования и квалифицированного обслуживания в том числе текущего ремонта в процессе эксплуатации СВП.

Глава 7. ОБЕСПЕЧЕНИЕ ОСТОЙЧИВОСТИ И УСТОЙЧИВОСТИ СВП В РАЗЛИЧНЫХ РЕЖИМАХ ЭКСПЛУАТАЦИИ

7.1. Учет требований к остойчивости. Понятие об остойчивости в различных режимах эксплуатации СВП

СВП, как и традиционные суда, должно обладать способностью противостоять внешним возмущениям, стремящимся вывести его из состояния равновесия, относительно продольной и поперечной осей. Это свойство называется продольной и поперечной остойчивостью. Характеристики остойчивости СВП (как и водонизмещаемых судов) являются выражением безопасности эксплуатации и определяют поведение судна статике и динамике, особенно на волнении.

Специфика обеспечения остойчивости СВП кроется в следующих аспектах.

1. Различаются остойчивость в водонизмещаемом положении, в переходном режиме, т.е. процесс выхода на ВП, и в режиме на ВП. Свою очередь в режиме на ВП судно может быть "на стоянке" над твердым экраном и

вый и в состоянии устанавливается движение. Каждый из названных режимов отличается в показателями остойчивости, и физической природой возникновения восстанавливающих моментов.

2. В водонизмещаемом режиме критерии проверки остойчивости мало чем отличаются от тех, что применяются для традиционных водонизмещаемых судов, специфика состоит лишь в особенностях формы и геометрии водонизмещаемого прочного корпуса СВП, имеющего плоскую поверхность, малое отношение длины к ширине, дополнительную осадку, низкий надводный борт, превышение надстроек, проектируемые отсеки в водонизмещаемом положении, через которые в режиме на ВП в периферийные и секционирующие область ВП ГО или непосредственно в область ВП подается воздух от нагнетателя или газомагнитогенератора.

3. В переходном режиме и в положении на ВП "на стоянке" и (или) во ходе операций является раскошно-импульсное характеристики подъемного комплекса, а также форма, тип и размеры ГО области ВП судна.

4. Переход "на стоянку" или движение на ВП происходит на высоте, практически разной высоте ГО, которая при относительной большой ширине этих судов соответствует небольшим значениям углов наклонения до момента касания подстилающей поверхности жестким корпусом, что приводит к возникновению значительных аэродинамических сил и к потере устойчивости движения. По этой причине для режимов на ВП производится оценка лишь начальной остойчивости.

5. Учитывая сложность расчетного алгоритма оценки остойчивости СВП для режимов высадки на ВП и переходных режимов, в него входит пятый ряд допущений. Практически не-

возможно моделирование на масштабных моделях СВП характеристик эластичного материала и аэродинамических характеристиках корпуса судна. Это приводит к необходимости построения на натурных объектах характеристик остойчивости, полученных расчетом. Такие траектории предъявляются как обязательные классификационными и регистрационными обществами осуществляющими надзор за эксплуатацией СВП.

7.1.1. Обеспечение остойчивости в водонизмещаемом положении.

В водонизмещаемом положении остойчивость СВП определяется диаграммой статической остойчивости, для которой из-за отмеченных выше особенностей формы водонизмещаемого

$$\frac{L_{\text{жк}}}{B_{\text{жк}}} = 1,7 \dots 3,0; \quad \frac{B_{\text{жк}}}{T_0} = 10 \dots 20; \quad \frac{H_{\text{жк}}}{T_0}$$

$= 1,4 \dots 2,0$ (рис.7.1) характерен начальный ток, отличающийся сменением максимальных точек восстанавливаемых моментов (или их в сторону малых углов наклонения). Здесь $L_{\text{жк}}$ – длина, $B_{\text{жк}}$ – ширина, $H_{\text{жк}}$ – высота борта водонизмещаемого понтона. Из-за такой формы корпуса начальная остойчивость в водонизмещаемом положении неизначительна, что приводит к снижению угла бортовой качки. При динамическом действии кренящего момента $M_{\text{кр.вд}}$ от ветра в качестве расчетного угла крена на наветренный борт принимают $\theta_{\text{кр.вд}} = 15^\circ$, гладко [110] кренящий момент $M_{\text{кр.вд}}$ (в водонизмещаемом положении принимается равным произведению давления ветра P_0 (Па),

площади парусности A_0 , отстояния z центра массности от плоскости действующей материи и коэффициента обтекания $f \times f$, определенного при модельных испытаниях в аэродинамической трубе:

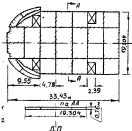


Рис.7.1. Понтон плывучести СВП SR №4 Mk1:
1 – топливные цистерны; 2 – водонепроницаемые отсеки

площадь парусности A_0 , отстояния z центра массности от плоскости действующей материи и коэффициента обтекания $f \times f$, определенного при модельных испытаниях в аэродинамической трубе:

$$M_{\text{кр.вд}} = 0,001 P_0 A_0 z f. \quad (7.1)$$

Давление ветра P_0 принимается по таблицам правил классификации и постройки морских судов Регистра СССР с учетом степени удаленности судна от порта-убежища при большинстве ветров один борт больше по сравнению с той, которая соответствует наименьшим допускаемым для судна условиям эксплуатации. Согласно [110] кренящий момент $M_{\text{кр.вд}}$ не должен превышать опрокидывающего момента $M_{\text{опр.вд}}$, величина которого в динамических условиях с

104 учетом бортовой качки с амплитудой $\theta_{\text{кр}}^* = 1^\circ$ определяют согласно действующими для обычных судов Правилам Регистра СССР по уменьшению волновых динамических статической остойчивости, всплеск необходиимости учитывается вспомогательное ограничение по углам сопряжения:

$$M_{\text{кр вд}} < M_{\text{опр}} . \quad (7.1)$$

В английской практике предлагается учитывать увеличение парусности, наблюдаемоеся при возрастании угла крена $\theta_{\text{кр}}^*$, что объясняется относительно большей шириной СВП, по сравнению с обычными водонемощущими судами. Тогда формула (7.1) преобразует она

$$M_{\text{кр вд}} = \frac{0,001 P_0 A_0 (z + 0,5 T_0)}{\cos z / \theta_{\text{кр}}^*} \quad (7.2)$$

где отстояние центра парусности отсчитывается от середины осадки судна T_0 .

На рис.7.2 показано соотношение диаграммы статической остойчивости и кренящего момента, возникающего под давлением бокового ветра, на примере английского СВП SRN⁴ в водонемощущем положении для английских С. остойчивость считается достаточной, если выполняются следующие два условия (см.рис.7.1):

a) $b_{\text{ки}} / b_{\text{шик}} \leq 0,6$;

b) $S_1 / S_2 \geq 1,4$,

что ужесточает требования по сравнению с требованиями в отечественной практике и позволяет учитывать возможные порывы ветра и волны судна на волнении, а также погрешности измерений.

В качестве дополнительного к остойчивости СВП в водонемощущем положении ставится

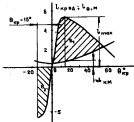


Рис.7.2. Диаграмма статической остойчивости СВП SRN⁴ в режиме плавания при ветре $U_0 = 33,5 \text{ м/с}$ ($B = 162 \text{ тс}$, $S_1 / S_2 = 2,26$)

запас, чтобы на тихой воде отклонение судна от горизонтальной плоскости не превышало 8° в любом направлении при всех допускаемых случаях нагрузки и возможных неконтролируемых перемещениях пассажиров. Поскольку для АСВП характерно высокое расположение центральных и боковых рулей, необходимый считается проекция остойчивости на зиркуляции:

$$M_{\text{кр вд}} = U(z_0 + 0,5 T_0) \cos \theta_{\text{кр}}^* , \quad (7.4)$$

где U - максимальная боковая сила, возникающая действием или аэродинамическим рулевым; z_0 - осевое значение вектора силы U над поверхностью воды.

106

Угол устновленного края на циркуляции, соответствующий этому кренящему моменту, должен превышать 15° .

Эксплуатация СВП в зимних условиях сопровождается обледенением высокорасположенных верхних поверхностей СВП, что значительно снижает остойчивость. В таких случаях необходима корректировка значения $M_{\text{кр}}^{1/4}$.

Полученная величина спирального момента сравнивается с предельным значением $M_{\text{кр}}^{1/4}$, определяемым для заданного района эксплуатации по величине наибольшего давления ветра P_v (см. (7.2)). Согласно [76] на всех открытых горизонтальных поверхностях (наружу крыши надстройки, рубах и т.д.) предполагается слой льда массой $30 \text{ кг}/\text{м}^2$, а на вертикальных - $15 \text{ кг}/\text{м}^2$. Обледенение разгрута, т.к. также, поручкой учитывается увеличение в 5% массы льда, находящейся на вертикальных поверхностях, и на 10% - момента этой массы.

7.1.2. Остойчивость СВП в режиме на ГО (эксплуатационном). Критерии статической остойчивости СВП в эксплуатационном режиме.

Вход судна на ВП сопровождается сначала уменьшением гидростатических сил подачения и их моментов, а затем и полной заменой их аэростатическими силами и моментами, обеспечиваемыми областью воздуха изоточного давления, создаваемой ходом движком или его польским комплексом.

АСВП без ГО, у которого ВП под дном упирается периферийной струйной лопастью, в режиме парения нестойчиво ни по ходу, ни по дифференту, ибо при наклонениях

вызывает спиральный момент от перекрестения динамич в области ВП. Это происходит из-за разделения ограждающих ВП струй из выпуклой части жесткого соплового аппарата. Воздух под днищем устремляется в сторону поднятого борта (или оконечности) судна. Это приводит к необходимости разделения области ВП на изолированные секции специальными струйными затворами, препятствующими изолированному перетеканию воздуха в сторону поднятой над экраном части соплового аппарата и созданию перепада давления между водой и опущенной секцией, вызывающий создание восстановленного момента. Получено распространение диагональное, крестообразное и двухконтурное секционирование плавца ВП в их кильбанизации (рис.7.3).



Рис.7.3. Виды секционирования плавца ВП

С появлением ГО области ВП обеспечения как поперечной, так и продольной остойчивости значительно осложнилось. Это объясняется существенным смещением положения центра тяжести над поставленной поперечностью, податливостью ГО при их контакте с экраном, в т.ч. разрыванием отрывной струи (или даже ее полным отсутствием) по параметру ВП из-за отсутствия оформленного соплового устройства, вместо которого в гибкости расширены иные части штока воздуха - НЗ. При отсутствии изолированного гибкого плавца ВП оказывается заключенной в кильце с поперечными стенками,

что создает проблему остойчивости аппарата при его наименении.

В режиме на ВП следует учитывать еще существенную зависимость показателей остойчивости от характера эксплуатации судна. Но для водонемощного судна оценка остойчивости может быть ограничена рассмотрением ее статики, то здесь узловое вращение статичной остойчивости не является достаточной гарантией от потери остойчивости и опрокидывания в динамических условиях.

Расчетное и экспериментальное подтверждено рекомендуемых показателей статической остойчивости по хрену и дифференту являются таким образом, обязательными, но не достаточными условиями безопасности эксплуатации СВП.

Рассмотрим начальную статическую прозолы и поперечную остойчивость судна в условиях функционирования его польского комплекса, обеспечивающего подачу сжатого воздуха под давлением.

Если по аналогии с водонемощными судами явление положительной метацентрической высоты поперечная и продольная остойчивость СВП будут характеризоваться выражениями

$$\bar{m}_x^{\theta} = \frac{\partial M_x}{\partial \theta} \Bigg|_{\theta=0} \frac{1}{G B_n} ; \quad (7.1)$$

$$\bar{m}_y^{\phi} = \frac{\partial M_y}{\partial \phi} \Bigg|_{\phi=0} \frac{1}{G L_n} ; \quad (7.2)$$

где $\bar{m}_x^{\theta}, \bar{m}_y^{\phi}$ соответственно поперечная и продольные метацентрические высоты (безразмерные M_x, M_y) восстанавливющие моменты соответственно при измешении и дифференцировании судна на начальных участках зависимостей M_x

$f_1(\theta_{kp})$ и $M_y = f_2(\phi)$, т.е. когда угол крена или дифферент судна стремится к нулю.

В зарубежной практике вместо показателя бесконечных метацентрических высот используют критерии K_B и K_F , которые представляют собой выражения

$$\bar{K}_B = \frac{M_B 100}{G B_n} ; \quad (7.7)$$

$$\bar{K}_F = \frac{M_F 100}{G L_n} . \quad (7.8)$$

Здесь величины M_B и M_F рассматриваются как моменты, которые надо приложить к сумме, чтобы выполнить это соответственно относительно продольной или поперечной оси на угол, равный 1° . Таким образом, \bar{K}_B и \bar{K}_F следует рассматривать как численные значения вычисленного наименьшими СВП сдвиг центра поддержания (приводящего к появлению восстанавливающего момента) в процентах соответствующий B_n или длины L_n ВП на 1° наклона.

Сравнивая попарно \bar{m}_x^{θ} с \bar{K}_B и \bar{m}_y^{ϕ} с \bar{K}_F

и используя известными выражениями по метацентрической формуле остойчивости записанными для определения величин момента, изменившего судно на 1° , получим:

$$\bar{m}_x^{\theta} = \bar{K}_B \frac{57,3}{100} ; \quad (7.9)$$

$$\bar{m}_y^{\phi} = \bar{K}_F \frac{57,3}{100} . \quad (7.10)$$

Составляя каждую пару показателей, исходя из предположения линейности зависимостей $M_\Phi = f_1(\theta_{kp})$ и $M_\Psi = f_2(\phi)$, исследователи показывают, что такой характер изменения возможен, как правило, в пределах угла клона $(-3...+3)^\circ$.

Из опыта эксплуатации СВП минимальные значения безразмерных начальных метакентрических высот при закреплении судна на углах клона тангенса извертывания над водой устанавливаются согласно условиям:

$$\bar{m}_\infty^B \geq 0,3 \dots 0,4 ; \quad (7.1)$$

$$\bar{m}_\Psi^B \geq 0,9 \dots 1,0 . \quad (7.2)$$

Над твердым экраном эти показатели остойчивости на $(20...50)\%$ выше, чем над водой, что подтверждается зависимостями $M_\Phi = f_1(\theta_{kp})$ (рис.7.4), полученными в результате испытаний

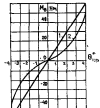


Рис.7.4. Диаграмма поперечной остойчивости СВП $M_\Phi = f(\theta_{kp})$: 1 - над твердым экраном; 2 - над водой

модели СВП над водой и над твердым экраном. Модель массой 113 кг была оснащена ГО высотой, соответствующей отношению $h_{10}/B_kp = 0,13$, имела $\bar{L}_p/B_kp = 2,08$, $S_h = 2,3 \text{ м}^2$, $B_kp = 1,08 \text{ м}$. Начальная поперечная метакентрическая высота над твердым экраном составляет $\bar{m}_\infty^B = 0,72$, над водой - $\bar{m}_\infty^B = 0,31$. Продольная остойчивость этой модели характеризуется диаграммой (рис.7.5) в значениями метакентрической высоты над экраном $\bar{m}_\Psi^B = 1,33$ и над водой $\bar{m}_\Psi^B = 0,93$.

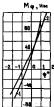


Рис.7.5. Диаграмма продольной остойчивости СВП $M_\Psi = f(\psi)$: 1 - над твердым экраном; 2 - над водой

По данным [161] для крупных английских СВП рекомендуется иметь критерии остойчивости:

$$\bar{k}_B \geq 1,0 ; \quad (7.13)$$

$$\bar{k}_\Psi \geq 2,0 , \quad (7.14)$$

то близко к рекомендациям (7.11) и (7.12). Для малых СВП эти значения могут быть снижены в $(2...2,5)$ раза.

112

7.1.3. Конструктивные способы обеспечения статической остойчивости в переходном и всплытийном режимах. Явление гидропрезиса.

Как правило, АСВП наибольшей остойчивостью обладают в вертикальном положении, когда сжатый воздух от нагнетательной патрубка поступает в ресивер и под давление и судно всплывает, оказывается затем из воздушного пространства (еще без истечения воздуха в атмосферу), остойчивость снижается и может стать куполеобразной или отрицательной. Дальнейшее увеличение подачи (расхода) воздуха в ВП и последующее при этом избыточное давление воздуха приводят к возрастанию остойчивости (рис.7.7).

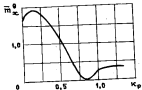


Рис.7.6. Влияние изменения коэффициента K_p на остойчивость СВП

На этом рисунке дана зависимость $m_x^0 = f(K_p)$, полученная экспериментально на модели судна с упомянутым выше (см. рис.7.4 и 7.5).

На рис.7.7 можно видеть процесс изменения показателей остойчивости СВП в зависимости от положения его относительно поверхности воды. Если воспользоваться выражением на рис.7.7 обозначениями T и E как опреде-

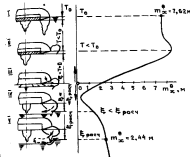


Рис.7.7. Изменение статической остойчивости сигнального СВП SRN®6 в процессе выхода из ВП: T_0 – осадка; E – высота погружения; I – водонепроницаемое положение; II – начало подачи воздуха под давление судна; III – открыта корпус судна от воды; IV – открыта часть цилиндрического ресивера от воды; V – перенесение на ВП на расчетной высоте погружения

шено положение осииной плоскости жесткого корпуса относительно поверхности воды (ниже или выше нее), то за рис.7.8 можно видеть процесс выхода модели, исследование остойчивости которой даны на рис.7.6. Здесь под величиной K_p подразумевается текущее значение осадки T при плавании судна в вертикальном положении

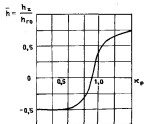


Рис.7.8. Влияние изменения коэффициента K_p на относительную высоту подъема СВП $\tilde{h} = h - h_w$.

вид невозмущенной поверхности воды E_T , оно варит на ВП. Положение СВП относительно поверхности воды изменяется скачкообразно. Увеличение остойчивости на начальном этапе воздуха в гибкий ресивер (рис.7.8 и 7) объясняется появлением дополнительной гидростатической силы, создаваемой индуцированным гибким ресивером за большим плачом.

Режим, соответствующий здесь изменению остойчивости, называется переходным и характеризуется, как правило, при $K_p = 0.8...0.9$, первое или отрицательное значение \tilde{h}^* может приводить к появление крена даже при отсутствии начального крена, что требует симметричной нагрузки относительно ДП. При побортном положении магнитателей необходимо устройство соединительного воздуховода, который исключает

ходу воздуха только в секции ВП одного борта в случае выхода из строя магнитателей другого борта. Должны быть предусмотрены устройства перекрытия всех магнитателей, чтобы предотвратить стравливание воздуха через них в атмосферу при остановке магнитателей одного борта и продолжительной работе магнитателей противоположного борта. Сам процесс выхода судна из положения поплавку в положение на ВП должен быть кратковременным (он не должен превышать 2 минут) [76], [110]. На эксплуатационном режиме жесткий корпус судна находится поднятым над твердым экраном на высоту, равную высоте ГО, и источником восстанавливающих моментов при накренении судна оказывается лишь область ската воздуха, сдаваемая подъемным комплексом и находящаяся под днищем. При парении СВП над водой без хода из-за податливости воды под днищем судна образуется вспашка, глубина которой $R_p / \rho_{\text{возд}} g$.

На ее величину уменьшается высота подъема корпуса над невозмущенной поверхностью воды, одновременно уменьшается и остойчивость СВП. На ходу СВП над водой по мере увеличения скорости движения информации поверхности воды, вызванная движением на нее воздуха избыточного давления, уменьшается, при скорости, соответствующих $F_D > 1.5$, становится малозаметной, совсем исчезает при $F_D \geq 4.5$, что делает остойчивость СВП над твердым экраном и над водой на той же скорости равнозначной.

Для СВП, оснащенных ГО, известны 3 основных конструктивных способа обеспечения прочной и повторочной остойчивости.

Первый способ, характерный для ГО, не имеющих замкнутого гибкого ресивера, но оснащенных открытыми НЭ (см.рис.6.8), связан

со смещением центра давления (поддерживая сторону опускающегося борта из-за смыкания кромки ГО при касании поверхности земли (рис.7.9). Шернина B_n или длина L_n отличается от этого на наклонном борту на (соответственно ΔL_n).

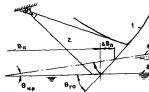


Рис.7.8. Механизм появления восстанавливающего момента при касании открытого защищенного элемента поверхности земли:
1 - гибкий рессивер; 2 - палесной элемент (сегмент); 3 - исходная ватерлиния; 4 - стоящая ватерлиния

Это приводит к появлению восстанавливающего момента M_{θ} (или M_{φ}).

Второй способ реализуется на СВИ с закрытыми надувными гибкими рессиверами НГ и защищенные палесными ВП ограждениями (см. рис.6.7). При наклонении такого СВИ НГ и на рис.7.9, поднимается, что также сдвигает смещение центра давления в стоящем борту (или оконечности), т.е. попутный избытоком создавая восстанавливаю-

щий момент здесь заключается в закупоривании спущенной секции, поскольку потоком воздуха в сторону поднятого борта препятствует смыкание кромки ГО. Это приводит к переходу давлений между опущенной и поднятой секциями ВП и, таким образом, к дополнительному сдвигу центра давления, увеличивающему восстанавливающий момент. Чем выше переход давлений между объемами гибкого рессивера и областью ВП, т.е. чем больше коэффициент K_p , тем дополнительный может быть восстанавливющий момент.

То говоря об этом способе обеспечения остойчивости, следует отметить способы оснащения СВИ ГО в виде надувного гибкого рессивера без смыкающихся областей ВП ограждений. При закреплении при загружении закрытого (надутого воздухом) объема гибкого бортового рессивера в воду возникает восстанавливающий момент, определяемый равнодействующей сил внутреннего давления, распределенного по площади смытой поверхности ограждения. Экспериментальные исследования [36] демонстрируют на примере СВИ ЗР №6 линейную зависимость величины предельно допустимого (опрокидывающего) момента $M_{\text{спр}}$ от внутреннего давления в рессивере P_p . Результаты такого эксперимента (рис.7.10) позволяют установить, что

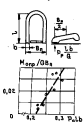
$$\frac{d(M_{\text{спр}}/B B_n)}{d(P_p l b / g)} \leq 0.5. \quad (7.15)$$

Аналогичный механизм обеспечения остойчивости наблюдается в аварийной ситуации СВИ с ГО 1 типа при повреждении его пропольного смыкающегося объема ВП киль после того, как угол крена достигает некоторой, при которой гибкий рессивер на опущенном борту входит в воду.

Третий способ характерен для СВП с такими используемыми конструкциями ограждения, подобными установленным французских СВП № № 500 или американским КВП JEFFA (см.рис.6.11 и 6.12). СВП с такими ГО обладают наибольшей остойчивостью при наклонах, ибо за купоривание элементов этих ГО на спущенной секции наиболее эффективно с точки зрения создания перепада давления смыкания поперечных выточек в сторону спущенного борта (в симметрии).

Рис.7.10. Экспериментальная зависимость остойчивоизменяющего момента от давления в гребном ресивере

или НЭ при касании им поверхности экрана в соответствующем увеличении остойчивости тем больше, чем меньше угол наклона НЭ к экрану (см.рис.7.9 и 6.3). Уменьшение этого угла сильно повышает продольную и поперечную остойчивость СВП с таким типом ГО, приводя к уменьшению площади ВП, что нежелательно из-за ухудшения показателей ходости и мореходности. Оптимальным поэтому считается угол -45° . Уменьшение угла наклона $\theta_{\text{го}}$ с 35° до 30° (см.7.11) дает возрастание подъемной силы на элементе в 2,4 раза, а используемых закрытых ("стабилизированных") НЭ вместо открытых - в 1,5 раза. Последний пример в одинаковой степени характерен как для первого, так



и второго способа обеспечения остойчивости СВП, оснащенных ГО.

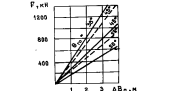


Рис.7.11. Сравнение подъемной силы на водонепроницаемых элементах: — открытые водонепроницаемые элементы; - - - закрытые (стабилизированные) водонепроницаемые элементы; $P_{\text{gb}} = 11,97 \text{ кПа}$; $K_p = 1,26 \dots 1,44$

Среди конструктивных способов обеспечения остойчивости в большей степени для малых СВП является способ искусственного смыкания центра давления к борту относительно ДП, достигаемого смыканием нижних кромок ГО, для чего может быть предусмотрено специальное устройство. Таким способом удается обеспечить герметичные крепления, что улучшает маневренные качества судна. Этот же эффект достигается за счет подъема щитой или нескольких бортовых окон.

С точки зрения обеспечения остойчивости можно учитывать схему подачи воздуха в ВП со комплексом воздушнагнетателей. Если имеется общая ресивер, из которого воздух поступает и в подпитку, и в спущенную секцию, то уменьшение расхода воздуха через склонную секцию сопровождается его увеличением че-

рас подщетную секцию. Взаимодействие давления от опущенной секции ограничивается величиной давления воздуха в ресивере P_r , при этом P_r и Q_r , обеспечивающие магнитатели, предполагаются постоянными. Если воздух в каждую секцию ВП подается от независимого магнитателя то в опущенной секции согласно характеристике кренящего его магнитателя давление с уменьшением расхода воздуха увеличивается. Это обуславливается изменением характеристики сети. Чем круче характеристика магнитателя, тем более возрастает давление в опущенной секции ВП. По этой причине с точки зрения обеспечения остойчивости на эксплуатационном режиме желательно не только разделение области ВП на секции, но и подача воздуха в каждую из них от независимого магнитателя.

Насколько эффективна установка секционированного ГО для повышения остойчивости, показано на рис.7.1.2 и 7.1.3. Проверка остойчивости КВП JEFFB при этом возрастает на ~200%, а попечная - более чем на 100%.

На рис.7.1.2 приведены также результаты моделирования показателей остойчивости КВП JEFFA, состоящего из ГО с закрытыми ходовыми залежами, обеспечивающими этому судну большую остойчивость, чем у КВП JEFFB основанным ГО с открытыми НЭ.

Следовательно, важнейшую роль в обеспечении остойчивости играют компоненты судна ПК, характеристики магнитателя, конструктивные особенности и расходно-напоровые характеристики ГО области ВП, а также тип ГО.

Основание СВП ГО принесло еще одно характеристики и важное свойство, вытекающее из плавности конструкции, какой оно явилось. Речь идет о так называемом наплете гистерезиса, наблюдающемся при наклонениях над тонким экраном (рис.7.1.4). При этом наплете

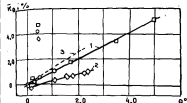


Рис.7.1.2. Диаграммы поверочной статической остойчивости над тонким экраном американских КВП JEFFB (при переключении его плавкой массы $D_p = 110$ т; $\Delta = 129$ т; $\sigma = 154$ т) и модели JEFFA (соответствующий $D_p = 119,2$ т); 1 - КВП JEFFB с установленными продольными секционированными кренами; 2 - то же без секционированного крена; 3 - результаты испытаний модели КВП JEFFA

судна в этом случае, в связи с этим это выражение после снятия кренящего (или дифферентующего) момента неодинаковы. Одному в пользу же снижению кренящего момента соответствуют за резиновых положения с различными углами креновки, что зависит лишь от того, насколько судно на креновидной или поперечной качке зависимостей $M_g = f_1(\theta_{kp}) \times M_f = f_2(\psi)$.

Возникновение гистерезиса, как подтверждено эксперименты, связано с трением скользящей материи ГО при его контакте с подставляемой поверхностью и с взаимодействием выбегающими элементами материала ГО. Широкие исследования явления гистерезиса велись в Канаде [190], установлено, что характер

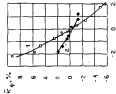


Рис. 7-13. Двухрельсная струйниковая про-
цессорная установка КБИ-117В на 1
струйном экраторе ($L_n = 23,4$ м) с $D_n =$
 $D_1 = 154$ мм.

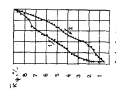


Рис. 7.14. Гистограмма гистерезиса при восстановлении статической проприоцептивной чувствительности мышц СВИ по схеме Абельсона-Ганна: 1 — восходящий цикл; 2 — нисходящий цикл

интенсивность гистерезиса зависит от типа и конституции ГО, от свойств примененного для ГО материала, характеристики подъемного комплекса судна, от типа подстилающей поверхности (твердый берег или вода). Так, исследователи получили различные результаты.

Гистерезис по продольной и поперечной оси-
бенности в статике сильнее выражены для бо-
льшего материала ГО. Он уменьшается
по мере уменьшения коэффициента нагрузки G_L
(или \bar{G}_S), и наиболее характерно это прояв-
ление при повышении частоты вращения магнито-
тока (при выходе из ВЛ или переходе в по-
дводящее положение). На рис.7.15 показан

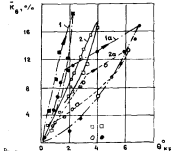


Рис.7.17. Результаты аспирации язвенной гастро-
зиса во мокрой вате и под твердым экраном
при изучении повторной стойчивости: 1 и 2 -
на твердом экране; 3 и 4 - на вате. $\bar{Q}_{ns} =$
 $= 40001/\text{мин}$ соответствует $\bar{Q}_{ns} = 0,0072; 0,008$
 2500 1/мин соответствует $\bar{Q}_{ns} = 0,0087$

124

характер гистерезиса волн водой и над твердым экраном при изменении количества воздуха в ВП воздуха.

Явление гистерезиса следует учитывать статических условиях и при качке судна, научение его пока не подсказало однозначной математической модели, описываемой этот процесс. Все рекомендации по уменьшению интенсивности гистерезиса для различных типов и конструктивных особенностей ГО частный характер и лишь подтверждают необходимость исследования этого явления на разных объектах.

7.1.4. Дополнительные требования к судах обеспечения их остойчивости в плавающем режиме.

Остойчивость, естественно, зависит от штормовой высоты $h_{\text{го}}$, поэтому одним из первых критериях поперечной остойчивости выбирают кие, которые характеризуют относительную позицию центра тяжести судна над экраном. Помимо безразмерных параметров оказываются на устойчивостью и колеблются в узких пределах. Так, параметр $\frac{h_{\text{го}}}{\sqrt{G/\rho_{\text{б}}g}}$ меняется в ограниченном диапазоне

$$\frac{h_{\text{го}}}{\sqrt{G/\rho_{\text{б}}g}} = 0,25 \dots 0,42. \quad (7.17)$$

Значительно более часто упоминается в отношении параметра $h_{\text{го}}/B_{\text{п}}$. Как отмечено выше, высоту $h_{\text{го}}$ выбирают в зависимости от типа предопределяемого препятствия или от типа воли, но в то же время $h_{\text{го}}$ зачастую превышает предельных значений, соответствующих

полученным из опыта эксплуатации и модельных экспериментов ограничениям

$$0,2 \leq \frac{h_{\text{го}}}{B_{\text{п}}} \leq 0,1, \quad (7.17)$$

что подтверждается в рис. 7.16, где представлена дополнительная статистика по судам и аппаратам из ВП в координатных осях $h_{\text{го}} = f(B_{\text{п}})$.

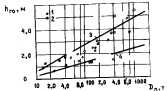


Рис.7.16. Соотношение массы и прибрежной высоты ГО СВП второго поколения:

1 - существующие суда; 2 - суда, находящиеся в стадии проектирования; 3 - предельное по требованиям безопасности отношение $h_{\text{го}}/B_{\text{п}}=0,2$; 4 - $h_{\text{го}}/B_{\text{п}}=0,1$

Британское управление гражданской авиации, устанавливавшее требования безопасности эксплуатации английских СВП, верхним пределом для судов с ГО фарен ВНС называет $h_{\text{го}}/B_{\text{п}}=0,2$. Правда, испытания СВП, освоенных корабельными ГО, показали, что для таких судов возможно выполнение этой границы до $h_{\text{го}}/B_{\text{п}} \approx 0,3$. На координатной плоскости в оси $h_{\text{го}}/B_{\text{п}}$ и $\bar{K}_{\text{б}}$ (рис.7.17) выделена зона, в которой согласно

правил, испытания СВП, освоенных корабельными ГО, показали, что для таких судов возможно выполнение этой границы до $h_{\text{го}}/B_{\text{п}} \approx 0,3$. На координатной плоскости в оси $h_{\text{го}}/B_{\text{п}}$ и $\bar{K}_{\text{б}}$ (рис.7.17) выделена зона, в которой согласно

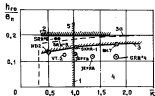


Рис.7.17. Коэффициент поперечной остойчивости \bar{K}_x в зависимости от относительной высоты $h_{\text{го}}/B_L$: Φ -существующие суда; ● - СВП, имеющие случаи потери остойчивости и опрокидывания; 1 - минимальное значение \bar{K}_x ; 2 - Британские ограничения по Правилам азиатского Регистра; 3 -

За - ограничительная кривая $\bar{E}_n = f\left(\frac{h_{re}}{B_n}\right)$
и значения их реальных значений у исследованных судов; 4 - безопасная область; 5 - зона опасности по соображениям остойчивости

ограничениям (7.13) и (7.17) создаваемые можно считать безопасными с точки зрения остойчивости по крену. Статистические данные построены английским и американским С несколько снижают верхнюю границу h_{tr} / B (кривая 3 на рис.7.17) по сравнению с ограничениями, установленными Британскими Правилами аварийного Регистра.

Учитывая, что подавляющее большинство судов зависит и от состояния его материально-технической базы, отечественные основные задачи местного судостроения, наименее ограниченные в своем характере, должны решаться в первую очередь в интересах судовождения.

(7.17) часто используют параметр

$$\frac{z_0 + h_{re}}{B_0} \approx 0.33 . \quad (7.18)$$

Так, ясно, диаграмма статической остойчивости которой была приведена на рис.7.4, имеет это отношение 0,325. Аппликата центра тяжести СВП, как правило, соответствует диаметру

$$0.20 \approx \frac{z_2}{g_2} \approx 0.13. \quad (7.19)$$

Правила Регистра СССР [110] в эксплуатационном режиме требуют проверки изолированной стойчивости от действия ветрового Краинского момента, равного произведению длины ветра P'_0 , площади парусности A_{Φ} , плюс парусность χ , коэффициента обтекания β' и коэффициента сопротивления воздуха C_d :

$$M_{\text{ext}, \text{eq}} = 0.001 P_{\text{ext}} A_{\text{ext}}^2 f^{-1} \Psi_e. \quad (7.20)$$

Здесь R'_u определяется, как в выражении (7.1), для большинства зигзага, соответствующей им uniquely полускалярных условиям:

² - место плавания парусности определяется как расстояние по вертикали между центром парусности и центром объема всплыжки, вынужденной набиточным давлением ВП без плавания судна.

— как и в выражении (7.1), определяется испытаниями модели в аэродинамической трубе для посадки, соответствующий экс-

§ - определяется выражением $\Phi = W + 0,9$ в случае, если параметр W , вычисляемый выражением

$$W = 0.13 v_s / \sqrt{P_{yy}} , \quad (7.21)$$

находится в диапазоне $1,4 > W > 0,6$ (здесь U_0 - скорость хода судна, уз).

При выходе W за пределы указанного диапазона Регистр СССР требует специального согласования расчета. Следует подчеркнуть, что $M_{cr\text{ вд}}$ как и $M_{cr\text{ ал}}$ по Правилам Регистра СССР за все время наклона судна считается постоянным в отличие от опыта английских СВП. Правила Регистра СССР требуют обеспечения такой остойчивости на ВП без хода, чтобы отклонение судна от горизонтальной плоскости не превышало 8° и любые авариевки при всех допускаемых состояниях нагрузки, а для пассажирских СВП - при всех контролируемых перемещениях пассажиров и, частности, при расположении 50% пассажиров своих креслах по одному сторону от ЦП оставшиеся 50% пассажиров распологаются в продольных проходах между креслами в соответствии с Правилами классификации и постройки морских судов.

Правила [110] и рекомендации [139] устанавливают требования в отношении формы жесткого корпуса. Поверхность корпуса судна расположенная выше или сбоку от линии крепления ГО, должна быть такой, чтобы при действии со стороны воды сил давления (статические или динамические), нормальных к этой поверхности, возникла бы восстанавливающаяся момент относительно центра тяжести судна. С этой целью (см.рис.7.18 и 6.26) должны выполняться подрезка корпуса на угол $\alpha \leq 3^\circ$.

Тогда высота ГО и конструкция корпуса назначаются такими, чтобы в режиме на ВП этикой воде без хода касание основного корпуса спорной поверхности (воды, суши) могло происходить не ранее, чем при достижении судна крена 9° в угле пиферента 3° (см.рис.7.18).



Рис.7.18. Требования к форме жесткого корпуса и характеристикам ГО по Правилам Регистра СССР [110] в части обеспечения остойчивости СВП: 1 - направление действия гидродинамической силы на жесткий корпус при качении им поверхности воды; 2 - плечо этой силы

Опыт эксплуатации английских СВП выдвигает дополнительное требование к поперечной остойчивости, выражющееся в учете возможности смешения центра тяжести над поперечной осью, что при значительной ширине СВП закономерно. Считается, что остойчивость должна быть такой, чтобы возможный кренящий момент от смешения центра тяжести к борту не (3...9)% от ширины B_n мог бы быть компенсирован восстанавливающим моментом без существенной деформации ГО.

7.7.2. Расчет статической остойчивости СВП. Поперечная и продольная остойчивость при зарядке СВП над твердым экраном

Наиболее проблемные в обеспечении остойчивости водятся при зарядке над водой, но по установленной практике [12], [78] предстоит рассмотреть методику расчета над твердым экраном, а затем вместе корректины, уч-

тынющий переход к другому типу подводной поверхности.

Для наиболее распространенного в отечественной практике 1 типа ограждений, имеющих продольные и поперечные склонированные палубы ВП, приближенные схемы к окраинам судна показывают "закупоривание" ее, возрастание давления и снижение расхода воздуха. В частности от того, подается воздух из-за общего ресивера или от отдельных нагнетателей, возрастание давления по сравнению с исходным P_0 . В качестве верхней границы имеет или P_p , или максимальный напор нагнетателя $H_{q=0}$ при зумпфовом расходе (рис.7.19, а). В подводной над окраиной секции наблюдается наложение статического давле-

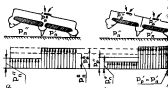


Рис.7.19. Изменение давления при наклонах СВИ: а - при общем ресивере; б - при индивидуальной заливке каждой секции; P_n^0 , P_p^0 - давление в ВП, в ресивере при $\theta_{kp}^0 = 0$; P_n^0 , P_p^0 - давление в окраинных ВП при $\theta_{kp}^0 \neq 0$; P_n' , P_p' - давление в секциях ресивера при $\theta_{kp}^0 \neq 0$

из-за напопытности характеристик нагнетателей в схеме при наклонах судна на угол θ_{kp}^0 .

Справочная подъемная сила из подсчетов и фигуровых схем практически всегда меньше, чем при $\theta^0 = 0$ (рис.7.20), это приводит к падению высоты h_g подъема судна по сравнению с равновесным положением $h_{\theta^0=0}$.

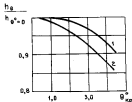


Рис.7.20. Зависимость высоты подъема СВИ от угла крена θ_{kp}^0 : 1 - с разреженным ресивером; 2 - с неразреженным ресивером

Анализ экспериментальных данных [77] позволяет получить приближенную зависимость для h_g , приемлемую для судна, имеющего компоновочную схему, подобную изображенной на рис.7.19,а:

$$h_g = h_{\theta^0=0} (1-\theta)^2, \quad (7.22)$$

где θ замеряется в радианах.

Для дальнейших выводов по методике расчета остойчивости предполагаем, что начальная система координат O_1, ∞, y, z располагается в ДП на основной плоскости, с вспомогательной плоскостью линии плавания. Тогда характеристические размеры h_g , $h_{\text{ср}}$ – возвышение центра тяжести над основной плоскостью z_g ; и другие значения аппликат, охват и общим входят в явном виде, что учитывает влияния на характеристики остойчивости. Ось O_1, ∞ направлена в нос основной линии, O_1, z – вверх в ДП через центр тяжести судна, ось O_1, y – нормально к плоскости $\infty O_1 z$ на правый борт. Предполагают решение плоской задачи, когда отдельно рассматривают только поперечные или только продольные наклоны, т.е. определение выравнивания h_g производится, исходя из условия равновесия судна в вертикальной плоскости:

$$\Sigma Z = \sum P_{\text{пл}} S_{\text{пл}} - G = 0. \quad (7.2)$$

Для этого при каждом фиксированном значении угла θ_{kp}^* необходимо определить зависимость $P_{\text{пл}} = f(h_g)$, что позволяет затем найти ту величину h_g , при которой выполняется условие (7.23).

При наклонах судна, считываемого симметричным относительно ДП, кроме уравнения равновесия сил в вертикальной плоскости (7.2) рассмотривают также уравнение сил в горизонтальной плоскости в проекции на ось ∞ перпендикулярную ДП, и уравнение момента относительно продольной оси ∞ :

$$\Sigma Y = P_{\text{ср}} - P_{\text{диф}} = 0; \quad (7.2)$$

$$\Sigma M_{\infty} = M_{\text{ср}} + M_{\text{ср}} + M_{\text{диф}} - M_{\text{кр}} - M_{\text{рп}} = 0. \quad (7.2)$$

Здесь и далее $P_{\text{ср}} + z_{\text{ср}}$ – боковая реакция струй воздуха, вытекающего из-под подводной симки и аппликата точки ее приложения;

$P_{\text{диф}} + z_{\text{диф}}$ – сила сопротивления боковому дрейфу в аппликате точки ее приложения;

$M_{\text{ср}}$ – момент, вызванный перераспределением давлений на подводной и спущенной симках;

$$M_{\text{ср}} = \sum_i P_{\text{пл}} S_{\text{пл}} y_i; \quad (7.26)$$

y_i – ордината проекции силы подщекания каждой из симок;

$M_{\text{диф}}$ – момент от действия силы тяжести;

$$M_{\text{диф}} = G z_g \sin \theta_{kp}^*; \quad (7.27)$$

$M_{\text{рп}}$ – момент, создаваемый силами, действующими в горизонтальной плоскости

$$M_{\text{рп}} = P_{\text{рп}} (z_{\text{рп}} + z_{\text{диф}}) \cos \theta_{kp}^* \quad (7.28)$$

Сила реакции струй есть проекция на ось ∞ вектора количества движения струй, вытекающих из ВП. Ее можно определить интегрированием по окружности и по изогнутой поверхности зазора, через который воздух выходит из ВП.

Для проектной оценки достаточно найти предельное значение величины $P_{\text{ср}}$, которое зависит от расхода воздуха из ВП $Q_{\text{п}}$ и от избыточного давления в ресивере $P_{\text{р}}$. Предположив, что весь воздух в количестве $Q_{\text{п}}$ выходит из-под коннекторного борта, и используя выражение (1.16), можно получить

$$P_{\text{стр}} = P_{\text{брз}} Q_{\text{бр}} \Theta_{\text{бр}} = 4 \bar{Q}_{\text{бр}} G. \quad (7.2)$$

Получим ограничительное значение для угла $\Theta_{\text{бр}} = 0,01 \dots 0,025$

$$P_{\text{стр}} \leq (0,04 \dots 0,10) G. \quad (7.3)$$

Эксперимент подтверждает [12], что предельное значение силы $P_{\text{стр}}$ приравнивает углы крена $\Theta^* \approx \Theta_{\text{кр}} \approx 2^\circ$.

Аппликата центра приложения этой силы без учета деформаций ГО может быть выражена зависимостью

$$\frac{h_B - h_{\text{бр}} \cos \Theta_{\text{кр}}^*}{2} = \frac{1}{2} B_B \sin \Theta_{\text{кр}}^*, \quad (7.4)$$

При малой жесткости ГО в начальных сечениях K_B ГО может рассматриваться абсолютно гибким. Тогда предполагается, что судно кренится по углу $(\Theta_{\text{кр}}^*)_{\text{так}}$, предшествующему касанию жестким корпусом экрана. В этом случае происходит полное закупоривание определенной сечки и увеличение давления в ней до

$$(\Theta_{\text{кр}}^*)_{\text{так}} = \arctg \frac{t_B + h_{\text{бр}}}{B_B}. \quad (7.5)$$

Плане момента сил $P_{\text{стр}}$ и $P_{\text{доп}}$ зависит от соотношения аппликат $Z_{\text{стр}}$ и $Z_{\text{доп}}$. Значение $Z_{\text{доп}}$ у реального судна зависит от жесткости и конструкции ГО, а $P_{\text{доп}}$ может быть приложено или к концевой кромке или на уровне основной плоскости, или в виде крепления гибкого ресинера к корпусу.

Правило при креновании моделей или натурных судов, когда используется характеристика остойчивости, объект крепят гибкими связями (шарнирами), предотвращающими его горизонтальные перемещения, на уровне центра тяжести, т.е. $Z_{\text{доп}} = Z_g$.

Таким образом, приложение к судну креневого момента $M_{\text{крив}}$, согласно выражению (7.20) должно быть сопоставлено с возникающим противным моментом M_B , который на основе приведенных рассуждений можно вычислить по зависимости

$$M_B = \sum_i P_{\text{бр}} S_{\text{бр}} y_i + P_{\text{стр}} (z_{\text{стр}} + z_{\text{доп}}) \cos \Theta_{\text{кр}}^* - G z_g \sin \Theta_{\text{кр}}^*. \quad (7.33)$$

При наличии у фигуры, приводящей судно к касанию области ВП на горизонтальную плоскость, скрученный в носу и в корме наблюдается уменьшение M_B , которое компенсируется введением редукционного коэффициента $K_B = 0,85 \dots 0,95$.

Чем больше отличается форма ВП и плоскость от прямоугольника, тем меньшим должен быть этот коэффициент:

$$M_B = K_B \left[\sum_i P_{\text{бр}} S_{\text{бр}} y_i + K_{\text{стр}} G (z_{\text{стр}} + z_{\text{доп}}) \cos \Theta_{\text{кр}}^* - G z_g \sin \Theta_{\text{кр}}^* \right]. \quad (7.34)$$

Здесь согласно выражению (7.28) $K_{\text{стр}} = 4 \bar{Q}_{\text{бр}}$.

Анализируя (7.34), отметим, что у СВП с объемом подъемным комплексом можно приблизительно определить момент от перераспределения избыточного давления в задней и спущенной сечках,

136

При закупоривании опущенной секции можно считать, что избыточное давление в ней равно давлению в мадумом ресивере P_p .

$= \kappa_p P_p$. Тогда часть силы тяжести судна, воспринимаемая силой поддержания, возникшая во опущенной секции, ограниченной продольными и поперечными сечениями килью и бортами периферийным ограждением (равной по площади $B_n/2$), будет равно произведению $P_p(S_n/2)$. Поднятая секция воспринимает оставшуюся часть силы тяжести $G - P_p S_n/2$. Считая, что в каждой из секций распределение давления равномерным, получим суммарный восстанавливющий момент, исчисляемый от такого перераспределения давлений:

$$M_{\text{спн}} = \left(P_p S_n/2 \right) \frac{B_n}{4} - (G - P_p S_n/2) \frac{B_n}{4} = \\ \frac{B_n}{4} (\kappa_p P_p S_n - G) \cong \frac{G B_n}{4} (\kappa_p - 1). \quad (7.35)$$

Форма полученной зависимости показывает, что момент от перераспределения избыточного давления по площади ВП при рассмотрении компоновки ПК в наибольшей степени определяется величиной коэффициента давления.

Возрастание $M_{\text{спн}}$ можно добиться увеличения длины судна.

Если компоновка посыпанного компонента подобна схеме, изображенной на рис.7.19,б, аналогично выражению (7.35) зависимость определения восстанавливющего момента примет вид

$$M_{\text{спн}} = \frac{G B_n}{4} \left(\frac{H_{\theta=0}}{P_p} - 1 \right). \quad (7.36)$$

где $H_{\theta=0}$ — величина напора при нулевом раскрытии киля (также, обозначаемого наклоненным килем), которую можно получить, имея расходно-взвешенную характеристику принятого изогибателя. Сравнивая выражение (7.35) с (7.36), следует отметить, что отношение $H_{\theta=0}/P_p$ может быть в 2..3 раза больше величины κ_p .

Используя приведенные выше выражения для сил в килях при том же приложении, можно получить приближенные зависимости для определения зависимости $M_B = f(\theta_{kp})$ при малых углах наклона сухого, закрепленного контейнера на уровне ЦТ.

Для схемы, изображенной на рис.7.19,б:

$$M_B = \left[\kappa_{kp} \left(\frac{H_{\theta=0}}{P_p} - 1 \right) + \frac{\pi g}{B_n} \left(\kappa_{kp} \cos \theta_{kp}^+ - \sin \theta_{kp}^+ \right) - \frac{\kappa_{kp} \sin 2\theta_{kp}^+}{8} - \frac{\kappa_{kp} \cos^2 \theta_{kp}^+ h_{ro}}{2} + \frac{\kappa_{kp} \cos \theta_{kp}^+ (1 - \theta_{kp})^2 h_{ro} + t_2}{2} \right] GB_n. \quad (7.37)$$

Где множитель в фигурных скобках включает в себя все параметры сухого, определенные по критерию остойчивости, его называемый безразмеренным восстанавливающим моментом $\bar{M}_B = M_B/GB_n$.

Такое же выражение для СБН соответствующего схеме рис.7.19,а:

$$\bar{M}_B = \left[\kappa_{kp} \left(\frac{K_p - 1}{4} + \frac{\pi g}{B_n} \left(\kappa_{kp} \cos \theta_{kp}^+ - \sin \theta_{kp}^+ \right) - \frac{\kappa_{kp} \cos^2 \theta_{kp}^+ h_{ro}}{2} \right) - \frac{\kappa_{kp} \sin 2\theta_{kp}^+}{8} + \frac{\kappa_{kp} \cos \theta_{kp}^+ (1 - \theta_{kp})^2 h_{ro} + t_2}{2} \right] GB_n. \quad (7.38)$$

Расчет остойчивости СВП с ГО, подобный изображенному на рис.6.15, производится аналогичной схеме. Повышение давления при кренении судна на борт происходит только в закрытых НЭ, которые закупориваются так как находящиеся секции в предыдущем зонте. Хотя здесь отсутствуют секционирующие панели ВЛ килья, положение действия сил подъемную силу, действующую во большим из относительно ДП. Этого оказывается достаточно чтобы иметь упомянутый восстанавливающий момент.

Давление в опущенной секции та же, в рассматриваемом ранее случае, увеличивающаяся в зависимости от способа зон воздуха в размере величины P_p или M_{up} .

Приведенная на рис.7.21 схема позволяет выразить восстанавливающего момента от смещения центра давления, т.е. точки приложения сил поддержания Z в сторону склоненной секции вызванного подъемом ГО, позволяют получить следующую зависимость для M_{rep} :

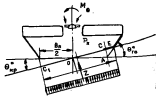


Рис.7.21. Схема, поясняющая механизм возникновения восстанавливающего момента от смещения центра поддержания в сторону накрененного

$$M_{\text{rep}} = \frac{0.8n}{4} \sin 2\theta_{\text{kp}} \operatorname{ctg}(\theta_{\text{re}} + \theta_{\text{kp}}) \times \\ \times [\operatorname{tg} \theta_{\text{kp}} \operatorname{ctg}(\theta_{\text{re}} + \theta_{\text{kp}}) + 1]. \quad (7.38)$$

Остальные слагающие выражения (7.25) определяются по (7.27), (7.28) и (7.20). Алгоритм оценки продольной остойчивости совершенствуется идентичным изложенному выше.

$$M_{\Phi} = \sum_j P_{ij} \delta_j \omega_j + P_{\text{crp}}^{\Psi} (x_{\text{crp}} + z_{\text{crp}}) \cos \Psi - \\ - G z g \sin \Psi, \quad (7.40)$$

где восстанавливающий момент M_{Φ} определяется при дифферентовании судна на угол Ψ .

Здесь ω_j — абсолютная частота приложения сил поддержания j -й секции области ВЛ.

Таким образом, характер зависимости, позволяющих сократить продольную и поперечную остойчивость СВП, определяется в первую очередь геометрией и характеристиками ГО области ВЛ.

§ 7.3. Обеспечение вертикальной устойчивости СВП над твердым экраном и над водой. Установление связи вертикальной устойчивости с динамическими характеристиками судна.

Предотвращение вибрации ГО

Степень статической устойчивости СВП по отношению к вертикальным перемещениям в виде линейного коэффициента жесткости можно оценить в форме производной K_{z} от подъемной силы Z , создаваемой ВЛ, по величине вертикальных перемещений z по высоте подъема. Таким образом, если

$$Z = P_n S_n , \quad (7.40)$$

70

$$K_z = \frac{\partial Z}{\partial z} = S_n \frac{\partial P_n}{\partial z} . \quad (7.41)$$

Определение величины $\partial P_n / \partial z$ представляет

собой задачу чрезвычайно сложной, ибо при определении должны быть учтены и жесткость ГО, и форма характеристики нагнетателя, имеющая на рабочем участке нелинейный характер. Для получения качественной картины можно ограничиться лишь учетом влияния механизма подачи воздуха в ВИ без обращения к характеристике нагнетателя. Так, для схемы обесцвечивания ВИ производная $\partial P_n / \partial z$ может быть найдена согласно экспоненциальной теории в принятых выше обозначениях:

$$K_z = \frac{P_n S_n}{t_3} \frac{2 \omega_3}{e^{2 \omega_3} - 1} . \quad (7.42)$$

О среднем значении выражения $K_z t_3 / P_n$ в [148] предлагается принимать равным следующее:

$$K_z = \frac{P_n S_n}{t_3} . \quad (7.43)$$

Влияние характеристики нагнетателя на степень вертикальной устойчивости можно учесть если в выражение (7.42) вместо $\partial P_n / \partial z$ внести $\frac{\partial P_p}{\partial z} \frac{1}{K_p}$.

Величину производной $\partial P_p / \partial z$ можно определить, используя приведенную аэродинамическую характеристику нагнетателя. Здесь, таким образом, подразумевается учет компоновки возд-

141
шего комплекса, когда во общем режиме могут работать одни или параллельно несколько нагнетателей, характеристики которых складываются (рис.7.22). Тогда, обращаясь к характеристике соответственно одиночного нагнетателя

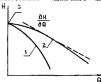


Рис.7.22. Схема аппроксимации приведенной характеристики воздушного комплекса: 1 - расходимо-нагнетание одного нагнетателя; 2 - рабочая точка на приведенной характеристике (учитывая использование нескольких, в данном случае двух нагнетателей); 3 - $H_{ct} |_{Q=0}$

же комплексной (приведенной) характеристики, которую P_p представляют зависимостью и от суммы статического напора и части динамического напора, развиваемых нагнетателем [13]:

$$P_p = H_{ct} + \mu_p \frac{P_{pik}}{2} \left(\frac{Q_p}{F_p} \right)^2 , \quad (7.45)$$

где

$$H_{ct} = H_{ct} \Bigg|_{Q=0} - \frac{\partial H}{\partial Q} Q_p . \quad (7.46)$$

$F_p = \frac{\pi}{4} (d_{pk}^2 - d_{stup}^2)$ — проходная площадь каждого нагнетателя, у которого d_{pk} , d_{stup} —

диаметры рабочего колеса и ступицы: $\mu_{\text{к}} < 1$, коэффициент расхода [68].

Подставляя в зависимость $P_p = f(Q_d)$ выражение для Q_d , найденное в свою очередь функцией от давления P_p к параметрам схемы генерации ВП (сопловой или камерной), можно получить алгебраическое уравнение, из которого затем получается выражение для P_p , подвергающееся дифференцированию dP_p/dz (изменоте зазора под крыльчаткой или камеры). Этот метод достаточно точен, но отнимает чрезвычайно много времени, и для практического проектирования можно воспользоваться зависимостью из [68]:

$$K_z = \frac{P_n S_n}{t_s} \frac{\frac{Q_n}{P_n} \cdot \frac{\partial H}{\partial Q}}{1 + \frac{Q_n}{P_n} \frac{\partial H}{\partial Q}} . \quad (7.47)$$

Выражение (7.47) аналогично (7.43), но отличает специфику образования ВП и особенности характеристики нагнетателя. Для типичной камерной схемы (рис. 7.23), пренебрегая потерями давления в сети и считая давление в ВП реальным давлением, развязываемым нагнетателем $P_n - P_n$, установим взаимосвязь между применением давления dP и расхода dQ . Для этого, воспользовавшись зависимостью

$$Q_n = \mu_{\text{к}} \pi t_s \sqrt{\frac{2 P_n}{P_{n,0}}} ,$$

получим

$$dQ = \frac{Q_n}{t_s} dt_s + \frac{1}{2} \frac{Q_n}{P_n} dP , \quad (7.48)$$

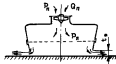


Рис.7.23. Схема образования ВП в виде камеры, принятая для расчетов вертикальной устойчивости судна

Согласно графической зависимости нагнетателя (см. рис. 7.22)

$$dQ = \frac{dP}{\frac{\partial H}{\partial Q}} . \quad (7.49)$$

Подставляя (7.49) в (7.48), после преобразований получаем зависимость:

$$S_n \frac{dP}{dt_s} = \frac{P_n S_n}{t_s} \frac{2 \frac{Q_n}{P_n} \frac{\partial H}{\partial Q}}{2 - \frac{Q_n}{P_n} \frac{\partial H}{\partial Q}} . \quad (7.50)$$

В итоге получаем выражение, аналогичное (7.47) и (7.43):

$$K_z = \frac{P_n S_n}{t_s} \frac{2 \frac{Q_n}{P_n} \frac{\partial H}{\partial Q}}{2 - \frac{Q_n}{P_n} \frac{\partial H}{\partial Q}} . \quad (7.51)$$

Колебания вертикальной устойчивости в [12] показывают вызывать спрятанную тенденцию. Ее могут способствовать:

- увеличение коэффициента нагрузки (или \bar{K}_x);

- возрастание крутизны характеристики гибкости;

- переход от сплошной к камерной схемы образования ВП.

Всё же найдены пути аппроксимации жесткости самого ГО, оказываемой существенное влияние на вертикальную устойчивость. Следовательно при получении зависимостей для K_x , влияющих промежуточных. В действительности жесткость (рессористость) ГО зависит от её конструкции, свойств используемых материалов, что, практические, в аналитической форме выразить невозможно. Так, например, вертикальная жесткость ГО III типа увеличивается с увеличением угла наклона θ к горизонтальной поверхности образующей коса и с увеличением высоты внутренних по сравнению с высотой наружного ГО (рис. 6.12). Как отмечалось, у ГО I типа вертикальная жесткость может быть существенно снижена за счет варирирования количеством и схемой расчленения, соотношением $h_{\text{из}}/h_{\text{го}}$ и т.д.)

Ряд допущений позволил установить [12], что вертикальная устойчивость судна при движении над водой может быть оценена, если известна ее величина над твердым экраном.

Более конкретный показатель вертикальной устойчивости над твердым экраном

$$\bar{K}_{xg} = K_x \frac{1}{R_{\text{го}} g S_p} \quad (7.5)$$

для судна, парящего над поверхностью воды, имеет вид

$$\bar{K}_{xg} = \frac{\bar{K}_x}{\bar{K}_x + 1} \quad (7.6)$$

Следить вертикальной устойчивости над водой, так же как продольной и поперечной остойчивости, снижается по сравнению с ее зависимостью над твердым экраном.

Коэффициенты \bar{K}_x и \bar{K}_{xg} играют изолированную роль в оценке динамических характеристик судна и, в частности, при исследовании его поведения во взаимодействии с волнами, где они определяют частоту ω_x и период T_x свободных вертикальных колебаний соответственно над твердым экраном или над водой.

Если рассматривать производную dZ/dz как коэффициент жесткости условной звукоми S , имеющей размерность силы на единицу деформации, то частота колебаний по вертикали (1.6) определяется следующим образом:

$$\omega_x = \sqrt{\frac{cg}{G}} = \sqrt{\frac{K_{xg} S_p R_{\text{го}} g^2}{G}} \quad (7.54)$$

и период вертикальных колебаний (с)

$$T_x = 2\pi \sqrt{\frac{G}{cg}} = 2\pi \sqrt{\frac{G}{g^2 K_{xg} R_{\text{го}} S_p}} \quad (7.55)$$

Очевидно, что частота и период собственных колебаний СВП при взаимодействии с волновой поверхностью будут определять амплитуду вертикальных перемещений судна. Наибольшая амплитуда она будет приобретать в резонансных условиях встречи с волной, когда достигается условие

$$\frac{\omega_K}{\omega_x} \longrightarrow 1 \quad ,$$

где ω_K — кажущаяся частота встречи с волной (см. (3.36)):

$$\omega_K = \omega_b + \frac{v}{g} \omega_b^2 \quad ,$$

ω_b - истинная частота волны; C - скорость по судну.

Поскольку частота встречи судна с волной зависит от его скорости, изменяя скорость СВЛ, можно ослабить интенсивность качки, меняя курс относительно основного фронта волны за счет искусственного увеличения длины λ , или можно значительно уменьшить резонансное воздействие конкретного состояния моря на параметры качки.

В [165] приводится критерий достаточности вертикальной устойчивости судна в динамических условиях эксперимента, исключив из нее характеристики его ПК:

$$\frac{1}{2} \frac{t_a}{h_{r_0}} \left(1 + \frac{P_{\text{атм}}}{P_n} \right) \left[1 - \frac{2P_n/G_n}{\partial H/\partial Q} \right] > 1, \quad (7)$$

где $P_{\text{атм}}$ - атмосферное давление воздуха.

На анализ этого критерия в данном к вышеизложенному можно отметить, что увеличение вертикальной устойчивости способствует:

- увеличение вертикального зазора кромкой ГО;

- уменьшение высоты ГО;
- снижение давления в ВЛ;
- увеличение расхода воздуха через ВЛ.

п) уменьшение круговых характеристик гидростатики.

Если изучение динамики проектируемого судна на волнении производить на моделях, согласно табл.1 можно видеть, что характеристика ее нагнетателей должна быть в кругах, чем для натурного объекта. Тогда углы наклона характеристики у модели следует иметь в $n^{3/2}$ раза больше, чем у натурального объекта (n - масштаб модели). Изучение

однажды устойчивости при колебаниях судна ставится с одной из самых сложных, при моделировании динамики СВЛ проблем, связанных с учетом сжимаемости воздуха в области ВЛ. Необходимость включения в анализ динамики не динамического давления воздуха в ВЛ, а только атмосферного, т.е. суммы атмосферного Р_{атм} и избыточного Р_л, приводит к немоделируемым по числу Фруда физическим процессам, что может вызвать значительные погрешности в сдвиге динамических характеристик объекта сдвигами и в качественном, и в количественном отношении.

В [162] показано, что полученные по результатам модельных экспериментов значения вертикальных ускорений иных, чем те, которые соответствуют натурным условиям. Моделирование динамических характеристик затруднено по следующим причинам:

- нелинейность атмосферного давления;
- различие спектров волнения в натурных условиях и в бассейне;
- сложности в реализации подобия: характеристика нагнетателей натурой и модели, их динамических характеристик, всех геометрических и физических особенностей натурального объекта модели;
- новоспроизведимость пульсирующей давления ВЛ, что связано с влиянием сжимаемости воздуха.

Эта проблема тем существеннее и сложнее, чем выше мореходность судна, т.е. больший объем ВЛ и особенно ее высота. Надежный перерасчет динамических характеристик СВЛ с модели на натурную возможен при наличии условий регулируемости (моделируемости) атмосферного давления и (или) при испытаниях модели, изготовленных в двух масштабах, относительно которых по сравнению с натурным объ-

ектом равно 4, что позволяет уменьшить единичный масштабного эффекта [162].

Одна из проблем динамики и устойчивости СМП состоит в нахождении путей предупреждения и гашения колебательных процессов возникновение которых связано с приемами на судах ГО. Речь идет о низкочастотной высокочастотной вибрации. Низкочастотная вибрация (чаще всего 1-3 Гц), самопронизывающая (передко и при низкой скорости), проводится низкочастотными колебаниями фундамента рессивера, что вызывает чередующее увеличение и уменьшение (относительно реального значения) зондирования под нижней кромкой НЭ. Возникновение такого процесса связывается с значительными изменениями расхода воздуха или при резком изменении режимов работы насоснагнетателя, или с движением над поверхностью воды, а также с ходом судна над впадиной, имеющей вогнутую форму. Такие изменения изменения расхода воздуха и давления в рессивере или в ВП вызывают перепад давления между рессивером и ВП, что и приводит к изменению формы синуса, а затем и высоты ГО. В реальных условиях имеют, обычно, не одну рабочую линию на характеристиках нагнетатели, а две линии, обусловленные возникновением дубного описываемому колебательному процессы (рис.7.24). На поверхности судна это погребение выражается, если возникшая вибрация не тот же частоте собственных вертикальных колебаний судна ω_d . Резонанс может быть причиной повреждений не только ГО, но и пускных конструкций. Предотвращение этого вибрации достигают, принимая значения коэффициента давления κ_p за пределами неблагоприятной зоны 3 на рис.7.25 [163], т.е. беря его из условий $1.2 > \kappa_p > 1$ или $\kappa_p >$

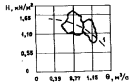


Рис.7.24. Зона рабочих точек на характеристике нагнетателя при манипулировании низкочастотной вибрации (на модели - 5 Гц, а в пересчете на СМП $BRN^6 - 1,60$ Гц): 1 - характеристика нагнетателя в статике

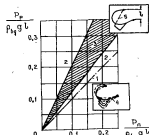


Рис.7.25. Рекомендации по исключению низкочастотной вибрации ГО: 1 - соотношение $P_r / P_n = 1.0$; 2 - зона устойчивого функционирования ГО; 3 - зона возможного возникновения низкочастотной вибрации; 4 - изменение формы ГО за один цикл низкочастотных колебаний; 5 - антивибрационная диафрагма (оттяжка)

150

На практике, однако, установлены для СВП $k_p > 1,6$, сталкиваются с проблемами возрастания при этом и мощности, потребляемой первичным компрессором, и сопротивления движению судна, и ухудшения кильевой качки на волнении. Эти обстоятельства затрудняют использование рекомендаций рис.7.25. По этой причине широкое распространение получил механический метод уменьшения низкочастотной вибрации, выражавшийся в установке антивibrationных оттяжек или диафрагм (см.рис.8.3 и 8.28).

Кроме низкочастотной вибрации ГО их подвержены высокочастотной вибрации (10...20 Гц). Контакция силовых воздействий на низкие изгибные напряженности кромки элемента (защтрихованная область на рис.8.3) являются источником такой вибрации. Это вызывает ускоренный износ низких кромок из-за повышенного изнашивания материала одного элемента о другой, из-за разрушения обкладочных слоев от динамических изгибов в условиях колебаний в возникающем подводящем потоке, из-за разрывов в узлах крепления съемных элементов к компонентам подводных ресиверов. Другим источником высокочастотной вибрации являются движения ГО под воздействием синусоидальной волны, о чем говорилось выше, что вызывает значительные вертикальные перегрузки, могущие достигать значениях нескольких десятков числа φ , а также износ низких кромок элементов, как отмечалось, может приводить к вертикальным перегрузкам и в несколько тысяч φ , но с очень высокой частотой (см. рис.8.34).

§ 7.4. Статическая остойчивость над водой "на стоянке" и на ходу, ее связь с проектными характеристиками судна

При парении над водой наблюдается весьма существенное (в 1,2-1,5 раза) снижение коэффициентов остойчивости по сравнению с их величинами над твердым экраном.

В свою очередь остойчивость над водой зависит (см.рис.7.6) от величины коэффициента плавания k_p . В уравнениях (7.24) и (7.25), соответствующих случаю парения СВП над твердым экраном, означались силы и моменты, вызываемые действиями струй воздуха, вытекающих из области ВП, и дрейфом судна под влиянием силы $P_{стр}$. При парении судно над водой их влияние можно преигнорировать, так как парение судно "проваливается" во впадину под его днищем, из-за чего направление вылета струй воздуха происходит под углом T_s к горизонтальной поверхности (см.рис.2.8). Это значительно уменьшает горизонтальную составляющую реактивных сил, обозначенную здесь $P_{стр}$, а при общем тенденции к уменьшению расхода воздуха из ВП Q_s делает $P_{стр}, P_{др}, M_{стр}$ пренебрежимо малыми.

При парении во впадине силы сопротивления дрейфу $P_{др}$ оказываются приложенными на том же уровне по вертикали, что и силы $P_{стр}$. Анализ поперечной остойчивости СВП при парении над водой базируется на уравнениях:

$$\sum Z = \sum_i P_{pi} S_{zi} - Q = 0 ; \quad (7.57)$$

$$\sum M_x = M_{xS} + M_{xG} - M_{kp} = M_0 - M_{kp} = 0 . \quad (7.58)$$

Принципы определения всех входящих в эти уравнения слагаемых известны сплошно кренения судна над твердым экраном, одна основная проблема заключается в определении P_{n1} в под月下 и опущенной секции за-деформированной поверхности воды.

В связи с этим целиком обосновывается понятием вертикальной статической устойчивости, рассмотренной выше. Действительно, речь идет об изменении подъемной силы с изменениями высоты подъема над поверхностью экрана (см. выражение (7.42)).

Если рассматривать согласно рис.7.26,а

$$M_B = M_{\text{спл}} - G z_g \sin \theta_{kp}^*, \quad (7.5)$$

то

$$M_{\text{спл}} = \Delta P_n \frac{B_n}{2} \frac{B_n}{4}; \quad (7.6)$$

$$\Delta P_n = (P_n)_1 - (P_n)_2; \quad (7.7)$$

$$\theta_{kp} \approx \operatorname{tg} \theta_{kp}^* = \frac{\Delta h}{B_n/2}. \quad (7.8)$$

Подставив эти зависимости в (7.59) и перейдя к относительной математической форме, для чего в соответствии с (7.5) делим все члены равенства (7.59) на произведение $(G B_n \theta_{kp})$, получим

$$\bar{m}_x^0 = \frac{\Delta P_n B_n B_n^2}{16 G B_n \Delta h} = \frac{G z_g \sin \theta_{kp}}{G B_n \theta_{kp}}. \quad (7.9)$$

Предполагая при малых углах крена θ_{kp}^* , $\sin \theta_{kp} / \theta_{kp} \approx 1$, а $\Delta P_n / \Delta h \equiv \partial P / \partial z$, воспользовавшись выражениями (7.42), (7.52), (7.63), получим

$$\bar{m}_x^0 + \frac{z_g}{B_n} = K_x \frac{B_n}{16 G} = \bar{K}_x \frac{B_n}{16 G}. \quad (7.64)$$

Зависимость (7.64) позволяет сделать вывод о том, что безразмерная остойчивость судна от нагрузки судна (без изменения положения центра тяжести) снижается, это подтверждается экспериментами.

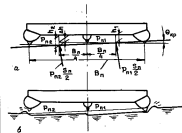


Рис.7.26. Схема действия восстанавливающего момента, возникающего от перекоса плавания дальней в опущенной (справа) и в под月下 (слева) секции ВП; 1 - над твердым экраном; б - над поверхностью воды

Пользуясь (7.63), можно перейти к ко-
эффициентам остойчивости над водой

$$\frac{\bar{m}_x^0}{\bar{m}_x^0 + z_g/B_n} = \frac{\bar{K}_{xR}}{\bar{K}_x} = \frac{1}{\bar{K}_x + 1}, \quad (7.65)$$

Начальную поперечную метацентрическую силу над водой, в соответствии с понятиями K_{zb} и K_z , можно представить в функции со значениями при зарядке над твердым экраном

$$\bar{m}_{zb}^0 = m_{zb} \frac{\bar{K}_{zb}}{K_e} - \frac{z_0}{B_L} \bar{K}_z , \quad (7.66)$$

откуда видно, что остойчивость СВП над водой действительна существенно ниже, чем над твердым экраном. При достижении угла крена, когда заданный радиус-вектор входит в воду, образуются восстанавливающие моменты, учитываются не только моменты, возникающие из-за перераспределения избыточных давлений в подводной части спущенной секции, но и от действия гидростатических сил, возникающих на спущенную воду участках гибкого рессивера, из которых вода вытесняется воздухом избыточного давления P_b . При углах крена $\theta_{kp} > 15^\circ$ необходимо учитывать влияние ВП под днищем судна. В то же время сенсия характеристики остойчивости с использованием, например, выражения (7.66) имеет весьма приближенный характер, поэтому на практике виду чрезвычайной сложности разработки более точного алгоритма расчета обращаются, как правило, к исследованию остойчивости над водой на математизированных моделях. Следует, однако, обратить особое внимание на необходимость моделирования не только геометрии судна и ГО, но и характеристики установленного на судне.

С момента начала движения парящего судна поверхностью воды судна и при отсутствии контакта ГО с водой наблюдаются изменения волн вдоль под днищем (см.рис.2.11), движутся волны на водной поверхности, судно дифференцируется. Это в диапазоне "горбов"

скоростей хода приводят к дальнейшему снижению остойчивости по сравнению с ее показателями над твердым экраном, что иллюстрируется экспериментальной зависимостью \bar{m}_{zb}^0 : $\bar{m}_{zb}^0 = f(\bar{Fr}_L)$ из [119], рис.7.27. Здесь \bar{m}_{zb}^0 – начальная поперечная метацентрическая высота в зависимости от скорости хода, соответствующей текущему значению \bar{Fr}_L .

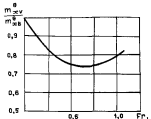


Рис.7.27. Изменение поперечной остойчивости СВП в зависимости от скорости хода над водой

При дальнейшем увеличении скорости хода формации поверхности под действием избыточного давления в ВП становится пренебрежимо малой и после $\bar{Fr}_L \approx 1,5$ $\bar{m}_{zb}^0 \approx \bar{m}_{zb}$.

В то же время графическая зависимость из рис.7.27 следует рассматривать как качественную характеристику. Требуется для каждого сочетания начальных углов крена, дифференциала, архива, коэффициента нагрузки, расхода воздуха, типа ГО комплекс общирных испытаний.

зий и не модели, а затем, после построения, на натурном объекте в процессе сточных испытаний.

Испытания моделей СВП в спутковом седле [4] показывают, что:

- увеличение коэффициента загрузки (или \bar{Q}_L), вызывающее увеличение волн ображения на поверхности воды в начальный период движения (при $Fr_1 = 0,166$), может вызвать снижение начальной макрометрической высоты на 40...50%;

- наибольшее влияние на изменение первичной остойчивости в начальный период движения оказывает начальный угол дифферента при дифференте судна на нос, когда волнорезка разворачивается, падение восстановленного момента M_B наблюдается в широком диапазоне скоростей и по характеру идентична изображенному на рис. 7.27. Явление снижения начальной поперечной остойчивости при малых скоростях хода сильно сглаживается при дифференте судна на корму, что объясняется тем явлением сил глиссирования по кормовым участкам ГО.

Продольная остойчивость на малых скоростях хода над водой существенно зависит от значения начального угла дифферента. Дифферент на нос резко снижает начальную продольную остойчивость, он же способствует и на высоких скоростях хода в связи с симметричностью возникновения подъема ГО (см. § 7.5).

Как отмечается в § 7.5 и подтверждается экспериментами [4], сочетание начального угла дифферента, края и дифферента практически во всех сочетаниях снижает показатели начальной, продольной и поперечной остойчивости на малых скоростях хода над водой по срав-

нению с режимом "на стоянке". Отмечается также сложность обеспечения остойчивости СВП при движении лагом к направлению хода, т.е. для угла дифферента $\beta = 90^\circ$. При этом имеет значение наличие начального крена и его знак: за креном вправо борт (борт, расположенный на встречу потоку) или за подветренный борт (борт, противоположный набегающему потоку). Край же подветренный борт по существу за зону динамической скорости хода резко снижает остойчивость СВП в таких условиях движения.

Последние рекомендации вместе с тем являются лишь демонстрацией сложности исследований остойчивости, либо аппроксимировать ее зависимость в столь сложных сочетаниях параметров и характеристик, на нее влияющих, на сегодня не представляется возможным.

$$M_B = f(\bar{Q}_L, \bar{Q}_{sh}, \kappa_p, (\theta_{kp})_{\text{нен}}, \Phi_{\text{нен}}, \beta +$$

$$\frac{h_{\text{из}}}{h_{\text{тр}}}, E_{\text{го}}, \frac{h_{\text{из}}}{B_{\text{ши}}} \frac{\partial H}{\partial Q} \cdot \frac{x_g}{B_{\text{ши}}} \cdot \frac{\Delta x_{\text{го}}}{\Delta S_{\text{ши}}}, \dots).$$

То же имеет место и при исследовании продольной остойчивости.

По этой причине единственно надежным источником получения критериев остойчивости считается модельный и (или) натурный эксперимент.

§ 7.5. Динамическая неустойчивость формы ГО и методы ее предотвращения. Борьба с подъемом и затягиванием ГО

У многоярусных ГО, оснащенных плавучими склонированными элементами или сегментами, широко распространенных на СВП макрофейского и

скогового типа, то высоких скоростях хода тихой воде и за всплытием зафиксирована стабильная склонность к потере формы. Небольшое смещение передней по курсу линии кромки ВП в корыту в результате гидродинамических воздействий на костные элементы ГО. Прогрессирующий сдвиг контактирующих с поверхностью воды конструкций ГО вызывает затягивание обшивки под днище судна и склоняющее его по высоте. Воздействие воздушного гидравлического сопротивления (суммарное сопротивление при этом $R/G = 0,6 \dots 0,8$), большая часть которого приложена на передней воле потока кромке ГО, и инцидентный момент смещения центра давления в корыту приводят к резкому снижению скорости, стремительно развязывающемуся дифферентованию судна на кос, в результате, к касанию поверхности воды жестким корпусом или даже к опрокидыванию.

Процесс затягивания ГО по стадиям показан на рис.7.28. Инициируется затягивание, как правило, смещением центра тяжести судна в нос от середины днища судна, понижением застекленного инцидентного момента, создаваемого, например, движущимися или не аэродинамическим спорами, уменьшением расхода воздуха в передней схеме ВП, смещением давления в тонком ресивере. Каждое из этих обстоятельств



Рис.7.28. Процесс затягивания ГО под корытом: а - профиль ГО над тихой водой; б - средние условия, земля ГО на длине l_0 (с потерей площади ВП); в - настремлительные условия

(или их комбинации) приводят к опусканию носа судна и контакту носового ГО с водой.

Затем происходит быстрое торможение судна, сопровождающееся с застеклением отрицательных углов пиферента и появлением толчков и разворота СВП. Можно отчетливо выделить две фазы этого процесса (рис.7.29): первая фаза длится (10..20) с и характеризуется срывом теплоизоляции медленным уменьшением пиферента (величина угловой скорости может в пределах (0,1..0,1) град/с), окончание первой фазы соответствует моменту касания воды нижней кромкой ГО; вторая фаза по характеру и протяженности в значительной степени зависит от конструктивных особенностей ГО и ее времени занимает не более (4..6) с. Затягивание ГО за волниения начивается с определенных значений частот встречи их с волниами, когда периодические уставки от контактов ГО с водой приводят к потере устойчивости носовых элементов, которые не успевают восстановить свою форму в упавших на них волнах под судно.

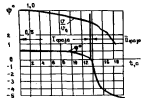


Рис.7.29. Развитие процесса затягивания днульярного ГО

На взволнованном море затягивание обенно вертико по попутной волне (наи-
лье кобигогротии попутная волна, близкая к
регулярному волнению). В этих условиях ре-
зонансные частоты встречаются с волной достаточно
при достаточно высокой скорости диска, что
в сочетании с чрезвычайно увеличен-
ной волны ведет к затягиванию волны.

Затягивание ГО и на полном взволновании
только над водой, но и над сушею. Равнинное
затягивание ГО способствует локальным изме-
нениям состояния сварной поверхности, что вы-
является перекосом со спокойной поверхности
и за взволнованную, попаданием на кри-
тическую струю от проходящего встречного су-
жения, прохождением границы глубокой воды
макромолекул, сходом с водной поверхности
воды. Наряду с этим скорость хода судна совер-
шается увеличением дифферентующего на
момента тяги расположенных высоко над зем-
бой воздушных винтов, что способствует из-
менению ходового дифферента и повышению
стабильности ГО, нитяжению прогрессирующего и
затягивающего затягивания и подъемом.

До сих пор не созданы адекватные мод-
ели процесса затягивания в зоне ГО, и существуют
несколько обяснений этого явления.

По данным В.В.Кличко [72], на тек-
ущем воде оно возникает вследствие падения дав-
ления в носовых сечениях ВП при взаимодействии
вытекающих из-под ГО воздушных струй с
встречным потоком. Такое падение, однако,
превышает 10%, но при начальных кинематич-
еских углах дифферента этого мом-
ента достаточно для возникновения про-
са затягивания ГО. По данным [168] затя-
гивание ГО также связано с падением дав-
ления в носовой части ВП, но вызывается
нитяжением потоком брызг в этом месте,

создает определенную циркуляцию воздуха, вы-
зывающую перепады давлений. Было зафиксировано
до 20%ное падение давления в этой зоне
в сравнении со средним давлением в ВП.

Процесс затягивания ГО изучается на элемен-
тарных СВП в овальных бассейнах с целью
изучения зоны централь и скоростей, с
которых начинается потеря устойчивости и скла-
нивания ГО.

Особенно опасно затягивание ГО при маневрировании СВП, идущего с дрейфом, что
часто бывает под действием ветра, а циркуляция лишь усиливает дрейф. Углы дрейфа β^*
могут достигать ($60..80^{\circ}$), и из-за начинав-
шегося процесса затягивания переходов по зо-
ну кромок ГО над корпусом восстанавливющий
момент уменьшается в несколько раз или об-
разуется в листабилизирующий ($\beta=7..30^{\circ}$). Манев-
рические испытания позволяют построить зону
допустимых углов дрейфа к скоростям хода, при
которой восстанавливющий момент подходит к нулю
и это предотвращает опрокидывание на циркуляции
во время маневрирования.

$$\bar{M}_d = \frac{M_d}{G B c}$$

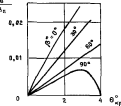


Рис.7.30. Влияние угла дрейфа на диаграмму
стабильной остойчивости амфибийного СВП

Так, для СВП BRN^o5 (рис.7.31) ограничение с углом дрейфа и жаруженым балансом при скоростях хода, соответствующих $Fr_L < 1.0$. С увеличением скорости ограничение здесь возможно в различных углах дрейфа. Другой вид ограничения кривых для достаточно широкого диапазона изменения \bar{B}_L , $\bar{\alpha}_{av}$, \bar{x}_0 дан на рис.7.32, зона безопасности при минимировании для открытия быстрорастаскиваемого предфа для разводятся ограничения как самих углов перекладок и ее скорости. Особую опасность, однако, имеет в себе увеличение угла дрейфа. На начальном этапе подъема и затягивания ГО наблюдается интенсивный разрастанием замыкания ГО, при этом судно начинает испытывать воздействие противления земли. Как показывает сопротивление от земли ГО [139], близко

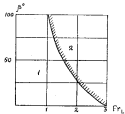


Рис.7.31. Ограничения углов дрейфа СВП в широком диапазоне скоростей хода: 1 - безопасная зона; 2 - область возможного срыва скольжения судна.

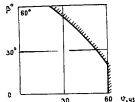


Рис.7.32. Допустимые углы дрейфа β^* для английского СВП BRN^o5 в зависимости от скорости хода

честь что на высоких скоростях хода при движении лагом приложена к передней по пояснику бортовой части ограждения, что создает значительный дистабилизирующий момент. Это составляет 1/2...2/3 от общего измеренного сопротивления, вызываемого замыканием, включая и сопротивление, создаваемое сжимающимися ГО [если оно имеется]. Следует отметить, что на скоростях хода, соответствующих "горбовым", эффект волнообразования приводит к уменьшению замыкающих поверхностей и, следовательно, к уменьшению сопротивления от замыкания ГО.

В то же время при движении СВП лагом с малой постоянной скоростью, как, например, при попутном ветре, наблюдается разное падение характеристики остойчивости, способствующее интенсивному развитию отрицательных явлений крена, подъему к затягиванию ГО, приводящих при определенных величинах краинового момента к опрокидыванию судна.

На рис.7.33 приводятся результаты эксперимента на двухмерной модели, показывающие

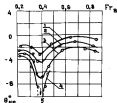


Рис.7.33. Зависимость угла крена модели СВП от скорости хода при различных кренящих моментах M/GB_n : 1 - 0,012; 2 - 0,016; 3 - 0,020; 4 - 0,022; 5 - опрокидывание

влияние изменения безразмеренного кренящего момента M/GB_n на посадку модели в зависимости от скорости ее хода, выраженной в виде числа Фруда, отнесенного здесь к ширине ВП

не ВП $Fr_B = \frac{U}{\sqrt{g B_n}}$. Видно, что наибольшая

часть увеличения кренящего момента имеется при скоростях хода, соответствующих $Fr_B = 0,7$.

Что объясняется характером воздействия области ВП на водную поверхность. При этой скорости на ширине ВП (у суши, движущегося лагом со средней скоростью звука ВП) упираются две четверти генерируемых волн (см.рис.2.11), [12], подсюда оказывается во середине ширине ВП вдвое раз под сжимающими область ВП при

одинаковыми напорами, который в этих условиях выражает сопротивление созданию восстановительного момента.

Отсутствие математической модели, правильно описывающей процесс затягивания ГО, характеризуется в практике проектирования большими объемами модельного эксперимента в опытных бассейнах. Предпочтительными являются самодизайны управляемые модели, испытываемые на открытом вододое и позволяющие имитировать любую аварийную ситуацию.

Наряду с этим следует указать, что технические трудности в организации эксперимента особенно в опытном бассейне, наличие масштабного эффекта (в частности, труднореализуемая зависимость моделирования свойств материала ГО и аэродинамической характеристики затягивателя) приводят к тому, что рекомендации по предотвращению подтока и затягивания ГО, полученные на моделях (рис.7.34), могут выходить далеко за пределы допустимых по натурному объекту.



Рис.7.34. Сравнение натурных и модельных испытаний по условиям возникновения подтока ГО в зависимости от смещения центра тяжести КВП ЦТКВП внос относительно середины ширины L_B в процентах: 1 - натурные испытания; 2 - модельные испытания (масштаб модели 1/12); 3 - кривая подтока ГО; 4 - установочное движение КВП; 5 - перемещение ЦТ КВП относительно середины ширины

Это обстоятельство требует большого опыта исследований динамических свойств судна после его постройки в процессе испытаний сдачи в эксплуатацию.

В отечественной и зарубежной практике разработан большой комплекс конструктивных мероприятий, способствующих ограничению затягивания и подъема ГО, отодвигающих или сдерживающих этот процесс (как это показано выше на примере исследований механизации судов с фермами) [68], [118], [51], [168].

1. Увеличение вертикальной, продольной и поперечной остойчивости судна соответствует со счетом определенных их показателей характеристик ПК и сжимаемости области ВП.

2. Жесткая регламентация диапазона изменения ходового дифферента в интервале спецификационных скоростей СВП, с тем чтобы обеспечить судну запас по дифференту против затягивания и не доводить дифферент до зоны, в которой это возможно.

3. Способствование релаксации, описанный выражениями (6.15)-(6.17), (6.21), (6.22) обеспечиванием призмы гибкому ресиверу в бортовых участках и в носовой оконечности такой формы, при которой при воздействии гидравлических сил в процессе замыва НЭ гибкое ограждение стремится сползти по вертикали без затягивания на жесткий корпус соответствующего смещения в ту же сторону гравитации ВП (рис.7.35). Внешние защелкивающие подъем вверх наружной панели крепления гибкого ресивера на борту и особенно в носу вытекающее отсюда увеличение разного края его образующей. К этой группе мероприятий относится и внедрение секционирования внутреннего объема гибкого ресивера при помощи перегородок, имеющих поворотные ямы (см. рис.6.6). Аналогичное влияние



Рис.7.35. Поведение на волнении ГО, складывающегося по вертикали без потери площади ВП: а - тихая вода; б - средние условия, b_1 - линия замыва ГО без потери площади ВП; в - экстремальные условия, b_2 - противодействие замыванию ГО с увеличенной площадью ВП

оказывает увеличение коэффициента K_p для гибкого ресивера носовой части ГО, а также придаче более полных в плане формы очертаниям ВП в носовой оконечности. Анализ этой группы рекомендаций показывает, что предотвращение затягивания ГО добиваются увеличением кольцевых кратеров в материале гибкого ресивера.

4. "Подрезка" утопленных участков корневых ГО, т.е. уменьшение общего высоты ГО от носа к корме в виде клина при понижении центровки судна, способствующая увеличению дифферента на корму, что отдаляет процесс затягивания.

5. Уменьшение вертикальной жесткости корневого ограждения и обеспечение автоматического регулирования его высоты во режимах, при которых судно испытывает интенсивную вертикальную качку. Это достигается уменьшением в корневой сакции гибкого ресивера коэффициента K_p , использованием многоярусного гибкого ресивера и других конструктивных приемов, способствующих беспротивительному складыванию его по вертикали.

Глава В. ОСНОВЫ ПРОЕКТИРОВАНИЯ И КОМПЛЕКТАЦИИ ЭНЕРГЕТИЧЕСКОЙ УСТАНОВКИ АСВП

§ 8.1. Проектные аспекты комплектации ЭУ и обеспечения условий ее функционирования на АСВП

Перед разработчиками ЭУ СВП стоит важная задача получения движущей и полезной сил в обеспечении функционирования судовых систем и устройств, для которых главный момент или другие виды энергии отбираются или непосредственно от главного двигателя, или от вспомогательных и составных ЭУ трансформаторов.

СВП, как видно на рис.8.1, имеют очевидные преимущества перед водонапорниками, гидропомпами и СЛК в интервале скоростей от 80 до 100 уз.

N_x / D_n , кВт/т

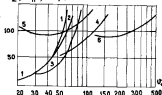


Рис.8.1. Удельные энергооборуженности различных транспортных средств в функции от развиваемой ими скорости: 1 - водонапорники; 2 - гидропомпы; 3 - СЛК; 4 - СВП; 5 - морстанции

Здесь следует отметить, что каждая из представленных на рис.8.1 зависимостей соответствует некоторому гидравлическому транспортному объекту соответствующего типа и представляет собой модифицированную кривую зависимости $N_x = f(v)$, но при этом же может служить количественной характеристикой СВП или любого другого из рассмотренных типов транспорта.

С помощью теории подобия можно показать, что использование удельной энергооборуженности N_x / D_n в качестве критерия сравнения некорректно, так как с изменением размеров сопоставляемых судов изменяется и величина N_x / D_n . При пересчете с модели (масштаб m) на катеру получим:

$$(N_x / D_n)_m = m^{1/2} (N_x / D_n)_k . \quad (8.1)$$

Анализируя склонное выше к учтыванию условия эксплуатации СВП при проектировании ЭУ, следует исходить из ряда обстоятельств, приведенных ниже.

1. Графические зависимости $N_x / D_n = f(v)$ явно подтверждают, что несмотря на преимущества СВП перед другими типами судов, энергооборуженность их весьма велика и в указанном интервале скоростей составляет от 50 до 80 кВт/т единой массы.

2. Специфичность кривой сопротивления (см. рис.5.6) — в наличии характерного "горба" в диапазоне скоростей (30...40%) от расчетной скорости хода U . Величина суммарного сопротивления при "горбовой" скорости часто бывает скромнее, а при определенных соотношениях характеристик судна может и превышать по величине сопротивление движению на земном ходу. Преодолеваемое сопротивление

влиянию существенно зависит от условий эксплуатации, и во мере увеличения эксплуатационных потерь и затрат на том же режиме работы потребители скорость падает на (30...40)% в сравнении со скоростью ϑ , разгоняемой в условиях тихой воды.

3. Условия выбора и эксплуатации ЗУ определяются наличием двух основных рабочих потребителей мощности — подъемно-погрузительный комплексом. Первый из них практически стационарно загружает ЗУ, а второй имеет режимы загрузки от пульового до максимального в зависимости от скорости хода и условий эксплуатации. Это обстоятельство определяет необходимость или дробление суммарной мощности ЗУ при помощи агрегатов, изолированных ПК и ДЛК, или основание судна на новой ЗУ с использованием распределительного редуктора, с возможностью перераспределения требуемой мощности между двумя потребителями.

4. При функционировании ЗУ должна учитываться высокая степень струйных течений воздуха из-под ВП обводненность (наибольшая заполненность) воздуха, окружающего судно. Наличие пыли, песка, капель воды, содержащих морскую соль, значительно затрудняет условия эксплуатации ГД, стала проблему воздушных потоков, т.е. очистки его от посторонних примесей.

5. ЗУ работает в динамических условиях, выражаемых в действиях на нее перегрузок в горизонтальной плоскости и по вертикали, при частой смене режимов и нагрузок с оторваны потребителей, особенно на предельных величинах.

6. Необходимо учитывать жесткий температурный режим работы ЗУ, когда температура окружающего воздуха предполагается от -40°C до $+40^{\circ}\text{C}$.

ЗУ СВП (см.рис.4.1) включает в себя многообразный комплекс механизмов, облегчающих их систем, оборудования и устройств, предназначенных для генерирования механической энергии, используемой в свою очередь для создания и поддержания всей или части погрузочной силы и для обеспечения движения СВП, а также для работы разного рода судовых механизмов, устройств и систем.

В состав ЗУ поэтому входят:

- главный двигатель (один или несколько);
- силовые передачи (трансмиссия);
- движители;
- воздушоагрегаты, имеющиеся, таким образом, и компонентами ЗУ и ПК (см.главу 4);
- вспомогательные механизмы, системы, устройства, трубопроводы, обеспечивающие работу ГД, судовых систем, устройств и источников электропитания.

В отечественной практике часто используется понятие силовой установки, под которой понимают совокупность главного двигателя и силовой передачи. Учитывая специфику условий эксплуатации ЗУ СВП, к ГД предъявляются следующие требования:

- 1) ограничения (минимизация) по удельной массе (масса сухого двигателя на единицу мощности), тягобритам, удельному расходу топлива и смазочного масла в широком диапазоне изменения мощности, стоимости агрегата, вибрационным характеристикам;
- 2) больших агрегатных мощности;
- 3) работа двигателя на дешевых сортах топлива, температура испарения которого не выше 43°C ;
- 4) простота монтажа, демонтажа и окончательного обслуживания;
- 5) высокая степень автоматизации и возможность работы на ходу без обслуживания механизмами.

6) простота регулирования выходной мощности и конструктивное уменьшение КПД при переходе из первоначальных режимов его работы;

7) простота и надежность запуска (в широком диапазоне температур окружающего воздуха);

8) возможность работы в условиях края дифферента, воздействия динамических перегрузок;

9) приемлемый моторесурс двигателя в широком диапазоне эксплуатационных режимов (по различимой мощности);

10) способность работать в присущих СВИ метеоусловиях, при значительной загрязненности или сбоями вентиляции воздуха;

11) исключение возникновения появления газовой турбулентности;

12) исключение в состав ЗУ устройств, допускающих возникновение пожара при коротком замыкании ГД (исходя из высокой пожароопасности легковоспламеняющихся корпусов СВИ);

13) высокая эксплуатационная надежность исключения возможности разноса двигателя крупных разрушений при аварии.

Из перечисленных требований наиболее жесткими являются те, которые касаются ограничений по массе. Из многообразия типов двигателей, используемых во транспорте, наиболее приемлемыми оказываются ГД аммиачного топлива в морском исполнении и ВД (рис.8.2). Более всего средних и крупных СВИ оборудованы ГД, лишь в последнее время появляются суда, оснащенные ВД с воздушным охлаждением.

Данные по наиболее типичным зарубежным ГД и ВД, приемлемым для СВИ, приведены соответственно в табл.8.1 и 8.2, из которых видно, что диапазон мощностей ГД — одинаковый агрегатов насыщая широк — (0,5...35) тыс.

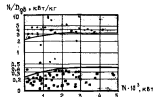


Рис.8.2. Удельная агрегатная мощность (отношение мощности к массе сухого двигателя) приемлемых для использования на СДНП ГД в морском исполнении и высокоскоростных дизелей (воздушного и водяного охлаждения)

в то время как ВД воздушного охлаждения имеют ограниченный диапазон мощностей (50...400) кВт. Международный рынок более насыщен ВД воздушного охлаждения. Интервал агрегатной мощности у них, будучи более плотно заполненным, расширяется до 7 тыс.кВт, однако переход к воздушным радиаторам при чрезмерно большом теплосъеме затрудняет отвод тепла, так как это вызывает увеличение массы ЗУ и рост габаритов системы охлаждения.

Учитывая высокую энергоизрасходность СВИ, различные типы ГД имеют преимущества с точки зрения минимизации их собственной массы, а также массы всей ЗУ. Согласно [165] и данным, приведенным в табл.8.1, 8.2 и на рис.8.2, удельная масса сухого двигателя (кг/кВт) приближенно может быть определена с помощью выражения:

Характеристики зарубежных судов

Модель ГПД	Фирма, страна	Эксплуатационный режим			
		максимальный		длительный	
		Мощность, кВт	Удельный расход топлива, кг/кВт·ч	Мощность, кВт	Удельный расход топлива, кг/кВт·ч
1	2	3	4	5	6
ST6	"Эйнхолд Энергия", Канада	405	0,413	290	0,407
ST6L-77	"Прогресс Утилайт", Канада	600	0,358	480	0,377
Гибом GN-1051	"Ролло-Ройс", Англия	770	0,382	660	0,406
LM100	"Дженерал Электрик", США	810	0,389	735	0,403
Гибом GN-1201	"Ролло-Ройс", Англия	880	0,382	750	0,401
Марин Гибом Мк.130	То же	1055	0,370	-	-
ST6T-76	"Прогресс Утилайт", Канада	1210	0,381	1060	0,407
Дарт	"Ролло-Ройс", Англия	1290	0,438	1195	0,437
TF25c	"Дженерал", США	2230	-	1840	0,407
LM300 ^{a)}	"Дженерал Электрик", США	2230	0,308	-	-

Таблица 8.1

Температура излучающего щита, °С	Расход воздуха, кг/с	Габариты, мм			Масса, кг	Частота вращения вентиляторного вала, об/мин	Удельная масса двигателя, кг/кВт·ч			
		L	B	H						
		7	8	9						
9	2,4	1525	483	483	152	33000 22000 ^{b)}	0,530			
-	-	1326	483	483	139	33000	0,289			
-	5,59	1850	330	520	160	19500	0,242			
-	5,6	1800	500	590	159	19500 28000 ^{b)}	0,216			
-	6,26	-	-	-	-	-	-			
-	-	1850	336	769	159	19500	0,151 ^{b)}			
-	-	1687	1128	803	332	6600	0,315			
-	9,8	3250	1015	1093	1620	1400	1,47			
25	11,3	2160	660	813	364	-	0,164 ^{c)}			

Окончание табл. 8.1

1	2	3	4	5	6	7	8	9	10	11	12	13	14
TF35	"Изюмская", США	2960	-	2575	0,36 ³	-	-	1520	871	1110	641	14500	0,249
Марин Протей	"Ролс-Ройс", Англия	3310	0,364	2650	0,36 ³	-	19,65	2870	1068	1220	1415	11600	0,534
TF40	"Изюмская", США	3385	-	2945	0,36 ³	15	-	1520	880	1110	680/60 650	-	-
LM500 ⁴	"Дженерал Электрик" и "Фагт", США и Италия	3900	0,275	3600	- ⁵	15	16	3000	-	-	820 680 ⁶⁾	7000	0,210 0,174 ⁷⁾
RM20	"Ролс-Ройс", Англия	4270	0,278	4010	0,284	15	-	4013 ⁸⁾	1066	1371	3904	3600	0,973
ME-990-3	"Коррет Кэп Боукинг", США	4660	-	4175	0,366	36	-	3040	1600	1209	2835	7200 3600	0,679
LM1500	"Дженерал Электрик" США	30300	0,345	9200	0,36 ³	38	69,4	6350	1990	2110	3400	5900	0,370
Марин Спейн	"Ролс-Ройс", Англия	13830	-	12590	0,242	-	-	6089	2768	2286	9072	-	0,721
LM2500	"Дженерал Электрик", США	18770	0,241	16780 ⁹⁾	0,25 ¹⁰⁾	21	61,3	6252	2140	2140	5280	3600	0,315
Олимп TM-3B	"Ролс-Ройс", Англия	20030	0,296	19010	0,36 ³	15	102,4	6400/60 7000	2440	3000	20850	5900	1,39
FT-4A-12	"Пратт энд Уитни", США	26600	0,314	17950	0,32 ³	-	-	7900	1930	2157	6440	-	0,359
FT-4	"Пратт энд Уитни", США	35550	0,266	28400	0,36 ³	15	-	8388	2438	2794	-	3600	-

³ Включая встроенный редуктор.⁴ При температуре окружающего воздуха 38°C.⁵ По отнесению к максимальной мощности.⁶ Спецификация отсутствует.⁷ От встроенных редукторов.⁸ Максимальная мощность без учета расхода топлива.⁹ По отнесению к $N_{\text{ном}}$.¹⁰ Отбор мощности производится с помощью вентилятора газодвигателя.¹¹ Облегченный вариант для морской эксплуатации.

Таблица 8.2

178

Характеристики высокоскоростных дизелей

Марка дизеля	Мощность, кВт	Частота вращения, 1/мин	Коэффициент циклических дрожжей	Ном.	
				дизеля	БД
F4L912W	49	2800	4	813	66
F6L912W	74	2800	6	1075	66
BF6L913	118	2900	6	1131	70
BF6L913c	141	2900	6	1245	91
F6L413PZ	150	2900	6V ¹⁾	1043	108
BF6L513R	177	2900	6	1533	70
F8L413F	188	2900	8V	1197	108
F10L413FW	202	2900	10V	1360	128
F12L413FW	243	2900	12V	1570	128
BF12L413FW	287	2900	12V	1580	128
BF12L513	353	2900	12V	1580	128
BF12L513c	386	2900	12V	1582	128

¹ При частоте вращения, измеренной в спинках в минуту.

² V-образный БД.

Ном. №	Максимальный крутящий момент Н·м	Масса сухого двигателя, кг	Удельная масса, кг/кВт	Удельный расход топлива, кг/кВт·ч	
				дизеля	БД
803	196 (1550) ±	300	6,12	-	-
813	295 (1550)	410	5,54	-	-
913	510 (1680)	515	4,36	-	-
771	600 (1700)	510	3,617	0,214	-
917	648 (1900)	660	4,4	-	-
1035	985 (1900)	865	4,89	-	-
860	817 (1900)	830	4,41	-	-
929	883 (1900)	990	4,9	-	-
961	1060 (1900)	1120	4,61	-	-
1055	1180 (1900)	1300	4,53	-	-
1055	1155 (1900)	1250	3,54	-	-
1055	1100 (1900)	1300	3,37	0,205	-

$$P_{\text{аг}} = A / \sqrt{N_{\text{аг}}},$$

где $N_{\text{аг}}$ - агрегатная мощность рассматриваемого двигателя, кВт; A - статистический коэффициент, который для газовых турбин авиационных и киперных установок от 300 до 3000 кВт равен (10 ± 2) , и для мощностей от 4 до 25 тыс.кВт равен (40 ± 10) ; для судовых газовых турбин он имеет значение $(60 \dots 80)$, для высокоскоростных газовых воздушного охлаждения в интервале мощностей, соответствующий табл.8.2, расчет (60 ± 15) .

5.8.2. Учет особенностей ГТД при их использовании на СВИ

Простейший ГТД (рис.8.3) состоит из компрессора, сжимающего воздух, камеры сгорания, в которой осуществляется сжигание топлива в смеси воздуха и отходящих продуктов горения с воздухом для получения газов необходимой температуры, и турбины, где происходит преобразование тепловой энергии в механическую на валу, частично или полностью затрачиваемую

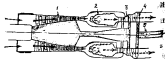


Рис.8.3. Схема ГТД со свободной силовой турбиной: 1 - компрессор; 2 - камера сгорания; 3 - турбина компрессора; 4 - свободная силовая турбина; 5 - выходной вал

на привод компрессора. На схеме (см.рис.8.3) показан вариант двухвальной турбины, где турбины компрессора и силовая, не имея кинематической связи, взаимодействуют гидродинамически. Такой двигатель называют обычно ГТД со свободной силовой турбиной [125], [188].

Большинство современных АГТД, применяемых на СВИ, получены конвертированием существующих авиационных турбореактивных, турбовинтовых или турбогенераторных двигателей, что имело целью приспособить их к работе в более плотном воздухе у поверхности воды, повысить их чувствительность к обводненности, адекватности в восприятии поступающего в турбину воздуха, а также к частой смене режимов нагрузки двигателя. Конвертирование обычно сопровождается "разрыванием" валов турбин, т.е. отрывением силовой турбины, приводящей двигатель к (или) нагнетатель, от турбины, вращающей компрессор, и таким образом прекращением одновременной турбины в двухвальную [190], [148], [135], [173].

ГТД со свободной силовой турбиной имеет лучшие маневренные характеристики, чем с одновалевой турбиной. У двухвального ГТД возможен запуск без использования сложных в зарядке (особенно при зарядке батарей электростатических) отключающих муфт или размешения лопастей винта (ВРШ) в положение минимальной мощности. ГТД со свободной силовой турбиной трехлопастными и при преодолении судном "горба" сопротивления движению, и при движении судна во волнении.

Конвертирование чисто авиационных ГТД сопровождается также заменой материала стержней скоб из материалов, способные противостоять коррозии, уточнением узлов, опиранием винта и пр. Все это сопровождается увеличением исходной турбины и запасением узлы-

ного расхода топлива, но и то же время работы стоят намного дешевле и выполняются они быстрее, чем при создании совершенно нового двигателя.

Простота ГТД, основанного на использовании типа пакета вращательного движения, обеспечивает ему высокую надежность и компактность.

Частота вращения выходного вала силовой турбины составляет обычно несколько тысяч оборотов в минуту и тем выше, чем меньше агрегатная мощность. Широкое распространение имеют ГТД со встроенным (чаще всего планетарным) редуктором, так что выходная частота вращения снижается до (3...4) тыс. 1/мин (см. табл. В.1).

Большое количество воздуха, потребляемое ГТД, и высокая температура газовоздушной смеси в проточной его части обуславливают сложнейшую проблему очистки воздуха перед попаданием его в компрессор с целью выделения и сопротивления. Воздухопропускные и воздухоочистительные системы отличаются громоздкостью и значительной массой. Те же причины вызывают сложности с компоновкой газовоздушной системы, которая из-за большого количества отработанных газов и их высокой температуры имеет значительные габариты и требует складирования.

Пропускание воздуха, забираемого из атмосферы, через фильтры создает еще и проблему, связанную с возможностью его разрежения на входе в двигатель, на которое ГТД крайне чувствителен. Это может вызвать дополнительные потери мощности, величина которых пропорциональна возникающему разрежению. Однако также возникает противодавление в газовоздушном устройстве, которое приходит к уменьшению выходной мощности из фланца свободной турбины. Разрежение на входе в противодавление во выходе могут вызвать понижение

мощности до (7...8)% от исходной и на столько же может возрасти удельный расход топлива. Количество потребляемого ГТД воздуха в связи с разрежением на входе и противодавлением на выходе сокращается. Для СВП это снижение может составить (1...4)% от исходного.

На рис. В.4 для гипотетического ГТД показана степень снижения мощности на фланце свободной турбины АМ (в процентах от полной мощности Н) в функции от разрежения на входе $\Delta P_{\text{вх}}$ и противодавления на выходе $\Delta P_{\text{вых}}$. На рис. В.5 в тех же осих дана степень уменьшения удельного расхода топлива $\delta \dot{P}_{\text{т}}$ в процентах от $P_{\text{т}}$ для двигателей различного ГТД в идеальных условиях.

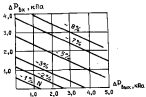


Рис. В.4. Падение мощности ГТД (%) при разрежении на входе $\Delta P_{\text{вх}}$ и противодавлении на выходе $\Delta P_{\text{вых}}$ для ГТД агрегатной мощностью ~ 7 тыс.кВт

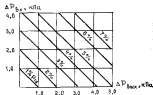


Рис.8.5. Прямоугольник удельного расхода топлива $P_{tн}$ ГТД (%) для условий, указанных на рис.8.4

ГТД крайне чувствительны к температуре окружающего воздуха. У аксиального двигателя RM 20 (рис.8.6) снижение температуры воздуха с 15 до 40°C приводит снижению мощности на 17%; аналогично у ГТД такое снижение расходует до (1,0...1,5)% Н при 1°C.

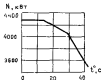


Рис.8.6. Зависимость агрегатной мощности ГТД "Моран Тайм" RM20 от температуры окружающего воздуха на входе в двигатель

Работа ГТД на пониженной мощности при ее уменьшении более чем на (40...50%) по сравнению с nominalной выывает неэффективность, что выражается в резком возрастании

расхода топлива (рис.8.7). В то же время ресурс работы ГТД зависит в прямой зависимости от характера эксплуатационного режима. Н хотя наиболее экономичным, как это видно из табл.8.1 и рис.8.7, является режим максимальной мощности ГТД, двигатель работает, как правило, на сниженной мощности,

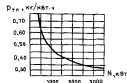


Рис.8.7. Зависимость удельного расхода топлива от величины разрабатываемой мощности ГТД "Моран Тайм" RM20 при $t = 35^{\circ}\text{C}$

В технических условиях на поставку ГТД всегда оговариваются режимы работы с распределением его общего ресурса. По величине разрабатываемой мощности различают следующие режимы:

- максимальный N_{\max} - двигатель развивает максимальную мощность; время непрерывной работы на этом режиме 5...15 мин (иногда до 1 ч), а время общей наработки в долах от полного ресурса составляет не более 2...4%;
- nominalный N_{nom} - непрерывная работа двигателя на этом режиме (1-2) ч, в общий пробег (15...30)% от полного ресурса: $N_{nom} = (0,85...0,90) N_{\max}$;

- крейсерский N_{kp} или режим платообразной работы, обеспечивает непрерывную надежную работу в течение всего установленного ресурса; различают несколько крейсерских режимов: 0,65; 0,80; 0,70; 0,60; 0,40 от N_{max} (с учетом экономичности двигателя). Обычно экономичным считается N_{kp} и двигатель выбирается из условий использования его на этом режиме.

$$N_{kp} = (0,70 \dots 0,80) N_{max}$$

Общий моторесурс ГТД, применяемых в анахии, (500...6000) ч, в тех, которые прошли коммутацию, как правило, не более 3 тыс. ч, но в условиях СВП наиболее характерна продолжительность бесремонтной работы на длительном режиме - не более 1,5 тыс. ч. Последняя величина отличается если не самому двигателю, то и его наиболее узким узлом. Для ГТД характерен модульный принцип сборки. Это позволяет осуществлять замену его отдельных модулей.

Газовые турбины хорошо приспособлены к автоматизации и систематическому управлению, имеют небольшое количество вспомогательных механизмов. Ввиду малого веса ГТД они оказывают несущественное влияние на плавучесть электрического тяжести судна, и их можно размещать в корабельных отсеках как можно дальше от пассажиров и команды, что снижает пыльность в помещениях с людьми и массу трансмиссии (из-за уменьшения протяженности валоприводов).

ГТД отличаются большой прыгучестью при запуске из запасного состояния и способностью к работе холостого хода не превышает, как правило, (2...3) мин. Время прогрева двигателя не составляет (10...15) мин.

Для судовых нужд допускается отбор сухого воздуха от компрессора газовой турбины.

Это, однако, вызывает существенное снижение ее эффективности. Так, использование (5...7)% воздуха, поступающего в двигатель, может привести к падению мощности на фланце свободной турбины на (10...15)%.

Нередко из вал ГТД изготавливаются асинхронные механизмы и генераторы электрического тока, которые также всегда находятся в виде вспомогательных стартер-генераторов. Электростarter используют и таким способом для раскрутки компрессора ГТД при его запуске.

Применение постами этого типа двигателя осуществляется, как правило, в виде узкого модуля (рис.8.8). Таким образом облегчаются монтаж и демонтаж его на судне.

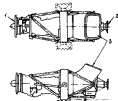


Рис.8.8. Компоновочный модуль ГТД "Марин Тайм" RM20: $N_{max} = 4270$ кВт ($t^* = 15^\circ\text{C}$):

1 - вход воздуха; 2 - фланец выходного вала;
3 - газоотводная труба

В последнее время ГТД для использования во судах поставляются по экспортному окладочнику в специальных легких контейнерах, как это является чисто на американской КВП LCAC. В та-

кой контейнер кроме ГТД заключены редукторы, всасывающие механизмы, компоненты вакуумной и газовыделющей систем. Это позволяет, рассматривая такой контейнер как отдельный модуль, упростить судостроительные работы на судне, а наиболее сложные работы по монтажу ВУ проводить в специализированных цехах или на предприятии-изготовителе ГТД.

8.8.3. Специфика использования высоковоротных дизелей

Высоковоротные дизели обладают рядом преимуществ по сравнению с ГТД: более компактны и просты в обслуживании; для них требуется меньшее количество воздуха; менее чувствительны к чистоте воздуха. ВД обладают меньшей частотой вращения выходного вала, что облегчает изготовление винтообразных редукторов [147], [158].

Меньшее передаточное отношение и избыточно значительное передаваемой мощности позволяют при необходимости обойтись (рис.8.9) кипермомощными в зубоременным передачам [63], [163], [80].

В составе полной нагрузки судна проприя по массе сухого двигателя при установке ВД с воздушным охлаждением вместо ГТД отчасти компенсируется, таким образом, за счет облегчения трансмиссии, снижение габаритной массы систем воздухопривода и газовыходов (вокруг двигателя со значительным их упрощением), при большой дальности хода еще и за счет уменьшения запасов топлива из-за меньшего значения его удельного расхода $R_{\text{топ}}$.

Все ВД выпускаются, как правило, промышленной линейкой моделей. Наивысший КПД ВД соот-

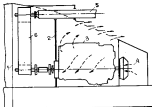


Рис.8.9. Компактный ГД привода ВВ магнитного СВИ АР.1-88: 1 - переборка пассажирского салона; 2 - передаточная transmission; 3 - ГД (высоковоротный дизель); 4 - охлаждающий вентиль; 5 - вал привода ВВ; 6 - зубоременная передача

вествует режимам работы в диапазоне мощностей $\sim 50\%$ от $N_{\text{ном}}$, что выгодно отличает ВД от ГТД, у которого парциальные режимы крайне неэкономичны. Зависимость удельного расхода топлива ($r_{\text{топ}}$) от ВД во промежуточных режимах работы принято счищать в видах от $r_{\text{топ}}$ на режиме номинальной мощности $N_{\text{ном}}$:

$$(r_{\text{топ}})_1 = r_{\text{топ}} \left[0,9 + 0,4 \left(\frac{N_1}{N_{\text{ном}}} - \frac{1}{2} \right)^2 \right].$$

По этой причине эксплуатационный режим ВД следует изменять при $N_1 = (0,6 \dots 0,8) N_{\text{ном}}$. Помимо экономичности здесь играет роль и возможные ресурсы двигателя. Как отмечалось в § 5.5 (см.рис.5.11), у ВД есть нежелательные

зона работы, лежащая между внешней (пределной) и ограничительной характеристиками, отвечает предельному расходу топлива и максимальной развиваемой мощности в зависимости от частоты вращения выходного вала. Это соответствует высоким температурам захваченных языков и приводит к максимальным тепловым перегрузкам и соответствующему падению ресурса.

Крайне нежелательно, чтобы занятая характеристика, т.е. зависимость потребляемой двигателем или нагнетателем мощности от частоты вращения того или другого, оказывалась выше ограничительной характеристики. У двигателя такое превышение из-за наличия "горбов" сопротивления на рабочих режимах возможно, необходимо, однако, чтобы оно было практическим. Как правило, в зоне между внешней и ограничительной характеристиками время непрерывной работы не должно превышать (0,5...1,0) ч, а общая зарубка от сконсервированного ресурса не более (3...5%). Номинальная мощность может разрываться ВД также по определенным ограничениям, не превышающим, как правило, в совокупности (30...40)% от указанного ресурса. Эксплуатационный режим, составляющий (0,6...0,8) Нном, не имеет в пределах номинальной продолжительности работы никаких либо ограничений, хотя надо учесть, что указываемые в ТУ на поставку ВД ресурсы обычно (до 20% [80]) расходуются на работу двигателя на копотом ходу, запуска, разгона (в случае необходимости) и т.д.

Совокупный ресурс работы современных судовых переборки не превосходит (2...2,5) тыс. ч. При этом двухтактные ВД, будучи более легкими, проигрывают четырехтактным по ресурсу, который может быть еще ниже названного, составляя лишь (1...1,5) тыс. ч. При самой эксплуатации, лежащей в зависимости от

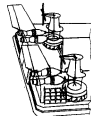
технических условий (5..6) месяцев в году, тяжелого ресурса может быть недостаточно при длительном использовании СВП в течение плаваний. Поэтому демонтаж двигателя должен быть упрощенным для возможности замены двигателя после выработки его ресурса без длительного перерыва в эксплуатации судна.

На охлаждении рабочих цилиндров в условиях обводненности образуются солевые отложения, которые периодически должны удаляться пресной водой во избежание появления солей внутри цилиндров. Для охлаждения двигателя наружный воздух после фильтрации во специальном канале подводится к горячим частям ВД. На малых скоростях при незначительном подпоре от встречного потока воздуха в машинном отделении может возникнуть разрожжение, и с этой целью устанавливаются специальный вентилятор, называемый либо вентилятором или спиральной роторной перегородкой.

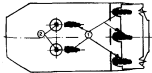
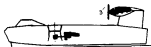
Итак, большая простота обслуживания, более высокий ресурс, большая экономичность за сравнению с ГТД дают ВД весьма перспективные для использования на СВП.

§ 8.4. Комплектация, компоновка и конструктивное исполнение ЗУ СВП

Уже отмечалось, что основные источники шума на СВП, какими являются ГД, нагнетатели в двигателях, колесатные размещены в герметичной оковке, блокируя распространение шума и вибрации в сторону жилых помещений (турбогенераторы, переборки, вспомогательные отделения от жилых рядов, вспомогательные помещения (коридоры, гардеробы, багажные отсеки, помещения ГРЩ и т.п.).



№.8.10. Энергетическая установка СВП №500

№.8.11. Компоновка ЗУ французского СВП №500:
1 - 5xГТД ТР40; 2 - осевые воздухонагнетатели,
74,0 м³; n = 915 1/мин; 3 - ВВ $d_{\text{ш}} = 0,4$ м
При частоте вращения n = 820 1/мин

Комплектация, компоновка и конструкция исполнение ЗУ СВП разнообразны и зависят от оптимальных и установленных пока не представляется возможным. Это объясняется в большинстве случаев тем, что СВП строятся на базе серийных и рассматриваются фирмами чаще всего как экспериментальные или опытные образцы. Глазные двигатели также отличаются многообразием исполнения, моноблокностью, ограниченностью и конкретностью мощностных рядов, что влияет на то или иное компоновочное решение.

Так, к примеру, изменяется протекание в компоновке ЗУ с ГТД в зависимости от того, выходит вал свободной турбины со стороны газовыходного отверстия, или со стороны воздухозаборника ГТД. Большое влияние на этом оказывает тип системы газовыхода, горизонтальную которую могут быть выполнены (в зависимости от ориентации оси ГТД и его модульной относительной ДП сумма) или комбинация диффузорного патрубка с прямым либо радиальным эллиптическим патрубком, или газовыходное устройство улиточного типа, позволяющее значительно уменьшить протяженность и самого газовыхода и всего машиноса отдельно.

Существенное влияние типа, размеров и количества нагнетателей, входящих вальный комплекс. Действительно, вертикальное расположение осей осевых или центробежных нагнетателей с предельной по технологическим возможностям величиной диаметров рабочих (рис.8.10 и 8.11) приводят к необходимости использования угловых передач агрегатного момента от вала ГТД, и изготовления сложных решеток для распределения воздуха во времени СВП или размещения нагнетателей различного по площади потока.

Хорошо зарекомендовало себя побортное расположение центробежных нагнетателей с гор-

однотальной осью вращения рабочего колеса, называемых "на проходящий параллельно ДЛ" или патерновой, приводимый во вращение сила звукоизоляции и вентиляторами, как это место на американских КВП **JEFFA** и **JEFFB** (см. рис.8.12 и 8.13), **LCAC**. Здесь же вентиляторы устанавливаются, как правило, в совокупности со спиральными кожухами, позволяющими направить воздуха в бортовую решетку или посредственно в область ВП. Этот вариант машинного помещения комплекса с приводами вентиляторов предполагает побортное размещение широких машинных отсеков, что упрощает проблемы звукоизоляции и высвобождения средней части постов для размещения на них грузовых и служебных помещений.

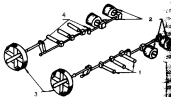


Рис.8.12. Компоновочная схема съёмоченной ЗУ КВП **JEFF 8**: 1 - приводное ГТД; 2 - вентиляционные магнетостартеры; 3 - ВВ в кольцевых винтах; 4 - редукторы

То, что в качестве движителей применяются преимущественно воздушные винты (бесфланцевые или в кольцевых насадках), делает затруднительным их размещение на краю надстройки за ненадежных участках верхней палубы

, стоит проблему разработки трансмиссии, т.е. подачи к ним крутящего момента или чисто угловыми передачами, или через понижающий редуктор непосредственно от шара двигателя, расположенного в головке за винтом (или перед ним). Трещинопронизанной оказывается проблема звукоизоляции жестких соединений. Узор местечка создает дифферент судна на ход из-за возникшего вынужденного момента (см. рис.8.17).

На компоновку ЗУ и размеры машинных отделений СВП наибольшее влияние оказывает тип конструктивного исполнения ЗУ: с соединенным приводом магнетостартеров и двигателей и с раздельным (индивидуальным).

Раздельный неодинаковый привод каждого привода в идеальном виде имеет место на СВП **N600** (см. рис.8.11), где пять потребляемых соответствуют пять ГТД **TF40**, являющимся источниками крутящего момента.

Большинство построенных СВП имеет соединенный привод, который предполагает наличие двигателя и распределительного редуктора, транспортирующего крутящий момент на подъемные в лифтовый комплекс. Наиболее типичным следует считать компоновку ЗУ американских СВП **SRN⁵, SRN⁶, BN⁷**, у каждого из которых от одной турбины во вращение приводится по одному магнетостартеру и по одному ВВ. Другой распространенный вариант совмещенного привода предполагает применение модулей ЗУ, например, на американских КВП **JEFFB**, **LCAC** и английских СВП **SRN⁴**. Использование одного, двух, четырех отработанных модулей ЗУ позволяет облегчить создание новых СВП, размеры и масса которых зависят от количества установленных модулей [158].

Соединенный тип ЗУ, с учетом суммарной мощности нескольких потребителей в одном агрегате предполагает использование в

своем составе ГД с относительно большой регатной мощностью, а это, как видно из табл. В.1, делает СЗУ и более легкой, и более экономичной. Другое преимущество совместного привода состоит в возможности перераспределения мощности между потребителями в зависимости от условий эксплуатации. Это, например, дает возможность увеличить расход воздуха \dot{Q}

на развитом волнении, что позволяет уменьшить и сопротивление движению, и вертикальные нагрузки. На такой волне возможно увеличение скорости хода посредством перераспределения крутящего момента от нагнетателей на движители. К недостаткам совместного привода относятся усложнение и утяжеление трансмиссии за счет включения в нее распределительных редукторов и удаления валопроводов. Этому приводу присущи и следующие недостатки: в случае остановки одного двигателя возможна остановка судна.

Совместное функционирование двигателей при источнике крутящего момента и потреблении энергии воздушно только при соединении посредством передач мощности, в качестве которых на СДПП применяются лишь механические и очень редко гидравлические. Большинство механических передач, называемых трансмиссиями, включает в себя валопроводы, муфты, пакетные и распределительные редукторы (сумматорные или дробовые межвалы), который временно параллельно или под углом соединяют ось приводного вала. Количество валов и протяженность, состав, тип и передаточные отношения редукторов определяются типом приводимого двигателя и компоновочной схемой судна, а также шестерни и зубчатые цепи кинематических, планетарных и угловых передач, изготовленные из высокопрочных

В составе трансмиссии для соединения валов валопровода и СЗУ используются эластичные или самовентиляющиеся муфты, зубчатые, цепевые, гидравлические - с целью компенсации перемещения корпуса из-за его малой жесткости.

Габариты редукторов определяются передаточным отношением, запасом передаваемой мощности и требованиями к величине параллельного смещения оси вращения потребителя относительно оси источника крутящего момента.

Масса и габариты трансмиссий особенно велики в случае использования в составе ЗУ ГТД. Частота вращения оси выходного вала свободной силовой турбины ГТД может быть 8...10 тыс. 1/мин. При понижении частоты вращения в таком случае суммарное передаточное отношение трансмиссии i_T может достигать значений в интервале 10...20. Следует отметить, что ресурс ЗУ определяется не только ресурсом главных двигателей, но и редукторов, который при больших значениях передаваемой мощности и передаточных отношений не превосходит 2...2,5 тыс. ч.

В случае использования в качестве главных двигателей ВД частота вращения выходного вала редко превосходит 2...2,5 тыс. 1/мин, поэтому при малых значениях передаваемой мощности и из-за простоты в конструкции чаще используются клиновые и зубоременные передачи, имеющие небольшие передаточные отношения, предназначенные в большей степени для параллельного смещения оси вращения вала. В случае необходимости исключительного изгиба оси вращения вместо V-образного редуктора используется использование карданных передач, которые не могут транслировать мощности, превышающие 4000 кВт.

Одним из важных условий размещения ЗУ является необходимость выполнения симметрии масс относительно диаметральной плоскости суд-

на. При компоновке ЗУ из нескольких ГД в различных положениях и отдельных отсеках следует стремиться не только к симметрии, но и к архитектурности этих отсеков относительно ДП, что облегчает их обслуживание и делает комплексы износостойчивыми.

Оптимальным решением задачи размещения ЗУ будет такое, которое обеспечивается при минимальных массе в габаритах установки с высокими надежностью и экономичностью.

§ 8.5. Особенности систем и устройств, обеспечивающих функционирование ЗУ СВП

Одним из важнейших требований ко всем вспомогательным механизмам, устройствам и системам, обслуживающим ЗУ, а также ко всем приборам, применяемым на СВП, является их общая износостойкость. Поэтому использовать можно только те приборы, оборудование и механизмы, которые изготовлены в так называемом морском исполнении. Авиационные приборы и оборудование, наиболее подходящие для СВП с точки зрения минимизации их износа, оказываются износостойкими, поскольку не предназначены к работе в агрессивной среде. Таким образом, жесткий контроль нагрузки на процессе проектирования и постройки СВП (как это следует из анализа требований к ЗУ) в условиях эксплуатации не подразумевают использования авиационное, на судовом оборудование соответствующих перегородок, это замышляет стоимость сухого и снижает уровень унификации стандартизаций установленного оборудования и механизмов. Рассмотрим наиболее специфичные системы и устройства, связанные с ЗУ и СВП, определив архитектурный облик судна, его компоновку, в ряде случаев и характеристи-

Системы управления и регулирования ЗУ

Большая агрегатная мощность, высокие частоты вращения выходного вала, шум и вибрации ГД, входящих в состав ЗУ СВП, а у ГГД большое потребление воздуха и жесткие требования к его чистоте делают эти вспомогательные машины в машинном отделении. Это обстоятельство, усугубляемое частой сменой режимов источников энергии, делает износостойкими поползновение сложной и дорогостоящей системой автоматизированного управления и регулирования работой ГД, пусковых агрегатов и обслуживающих ГД систем и устройств.

Управление запуском и работой, регулирование ГД осуществляются централизовано с центрального поста управления, находящегося чаще всего в ходовой рубке. Наиболее распространенные получили гидравлические, пневматические и электрогидравлические системы управления. С их помощью осуществляются изменения подачи топлива для ГД, их загрузка, а также реверсирование, запуск и остановка главных и вспомогательных двигателей,ключение и выключение подключивающих насосов топливной системы, насосов в вентиляторах системы охлаждения, открытие и закрытие магистралей, крышки в системе газовыделения и т.п. Внешняя часть системы управления включает в себя органы управления, приводные (исполнительные) механизмы и соединительные магистрали, через которые осуществляется их взаимодействие. Задачами органов системы центрационного управления обычно являются рукоятки или тумблеры, расположенные на пульте управления.

На СВП находят применение несколько способов регулирования режимов работы ЗУ.

При индивидуальном (изолированном) приводе вентиляторов и нагнетателей регулирование осу-

шестидесят за счет изменения или количества топлива, подаваемого в камеру сгорания ГД или частоты вращения выходного вала приводного двигателя, или угла установки ВВ либо РК нагнетателя.

При совмещении приводов потребителей (в качестве ГД, как правило, применяются ГТД) регулирование нагрузки двигателя в большинстве случаев проводится за счет изменения угла ВВ при поддержании постоянной частоты вращения ГТД. Это необходимо для сохранения постоянных параметров ВП. Потребность в регулировании параметров ВП реализуется за счет изменения частоты вращения ГД или, если это возможно, варирования угла установки НА либо РК нагнетателя.

Находит применение также комбинированные способы регулирования.

Топливные системы предназначены для приема топлива в топливные цистерны, перекачки сухого из одной цистерны в другую во время его расходования или для изменения плавучести судна, очистки (сепарации) топлива перед подачей его к двигателю.

Основные элементы топливной системы: насосы (насосные агрегаты); фильтры грубой и тонкой очистки; сепараторы; арматура дистанционного управления; контрольно-измерительные приборы.

Примеры расположения топливных цистерн на судах приведены на рис. 8.13 и 7.1.

Масляная система предназначена для смазки и охлаждения подшипников, шестерен, зубчатых колес и других трущихся частей двигателя и transmission и включает в себя цистерны накапливающего масла, трубопроводы, фильтры для очистки масла и т.д.

Система охлаждения предназначена для охлаждения самого двигателя, масла, цирку-

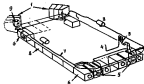


Рис. 8.13. Топливная система и схема расположения топливной системы СВП ВНИ Т: 1 - насосные цистерны; 2 - фильтр для приема топлива в перегрузку; 3 - фильтр; 4 - система питания двигателя; 5 - насосный блок; 6 - угловые топливные цистерны; 7 - отсеки плавучести в водонепроницаемом пояснике; 8 - устройство для регулирования давления в системе

рующего в масляной системе, а в случае использования ГТД также и газоходильного устройства. У АСМП применяется воздушная система охлаждения, для чего воздух может поступать из ресивера или от специальных вентиляторов (см. рис. 8.9) для обдувания охлаждаемой поверхности ВД или ГТД, маслорадиаторов, вспомогательных механизмов, газоходильного устройства, электрогенераторов и т.д.

Система воздухозабора, воздухочистка обеспечивает забор воздуха, его сепарирование в зарядку к главным и вспомогательным двигателям.

У СМП, основанных на ГТД, система воздухозабора в составе ЗУ является одним из самых крупных по габаритам и по массе компонентов. Это вызвано тем, что в зависимости от начальной температуры шло потребле-

Нас воздуха ГТД каталяется от 0,005 до 0,01 кг/кВтс и при значительных мощностях двигателя часовой расход воздуха может превышать $4 \cdot 10^5$ кг/ч [61]. Составление масс потребляемого топлива и воздуха составляет 1:10.

Система воздухоприема характеризуется рядом следующих параметров:

- влажность воздуха начальная (за входом в систему) и конечная (за выходе из системы воздухоприема) - содержание морской воды в потоке воздуха (кг воды/кг воздуха);
- комплексное содержание начальной и конечной влаги содержание всех солей морской воды в потоке воздуха (мг соли/лг воздуха);
- соленость морской воды (солинитр воды);
- комплексное содержание воздуха - массовое содержание твердых частиц в потоке воздуха (г пыли/кг воздуха или г пыли/м³ воздуха).

При эксплуатации над водой уровень загрязнения примесей в воздухе через воздушно-примесную щель или входные отверстия системы воздухоприемки зависит от состояния моря, которое определяется скоростью ветра на судне, направлением движения относительно расположения волн.

Концентрация соли в окружающем воздухе определяется соленым фоном моря, зависящим от погодных условий и от особенностей бассейна, но в значительной степени непосредственно брызгообразования, создаваемого судном.

В воздухе над поверхностью воды присутствуют сухие частицы соли размером (0,3...0,5) мк и капли морской воды диаметром (80...100) мк, из которых при испарении также образуются сухие частицы соли. Соленость морской воды значительно колеблется. Так, среди открытых бассейнов страны наибольшая концентрация соли характерна для воды Черного моря. В наземных условиях содержащие песок пыли может достичь 20 г/кг воздуха.

Следовательно, система воздухоприема должна защищать двигатель от забрасывания в него выхлопные газы, от попадания в него промышленных аэрозолей и солей, содержащихся в морской воде, от пыли, песка к морской воде.

Загрязнение примесей в воздухе, попадая в проточную часть ГТД, оседают на лопатках компрессора и уменьшают производительность и ЭПД. Соль, попавшая в турбину, вызывает коррозию лопаточного аппарата. Испытания английского ГТД "Мерин Протей" показали, что при работе в среде, где в 1 миль частей воздуха присутствует 1 часть морской соли, в течение трех часов его мощность на выходном flange снизилась на (20...25)% (табл.8.3).

Сепарирование воздуха на СВП осуществляется в нескольких ступенях (например, рис.8.14, [61]). Для его очистки могут использоваться соли инерции, турбулентная шахматная схема захвата, возникающие при соприкосновении с внутренней поверхностью, электрические и физические поля.

Применяются инерционные очистители воздушных потоков.

Это может быть лабиринтный воздушный разделитель, в нем воздух несколько раз меняет свое направление, а капли воды, частицы песка и пыль собираются внизу в специальных отстойниках, откуда удаляются за борт.

Более совершенными инерционными сепараторами являются водо- и пылеотделитель вихревого, или циркулярирующего типа (рис.8.15), где при забрасывании воздуха на капли воды, пыль и песок действуют центробежные силы, способствующие удалению этих примесей из проходящего воздуха. Эти сепараторы работают тем эффективнее, чем меньше диаметр трак называемых циклонов. Поступающие примеси сориентированы и приводятся в плане схемы, установленные и базой из ступеней очистки.

Характеристики ГТД "Мария Прогресс"

Таблица 8.3 №4

Режим работы	До загрязнения				После загрязнения	
	$P_{\text{рас}}$, 1/квт	$t^{\circ}\text{C}$	$P_{\text{тн}} +$ кг/кВт·ч	$n_{\text{тн}},$ 1/мин	$t^{\circ}\text{C}$	$P_{\text{тн}},$ кг/кВт·ч
Максимальный	11.015	813	0,378	11400	882	0,394
Номинальный	11.025	743	0,410	10980	798	0,431

При фильтрации

$P_{\text{рас}} =$ частоте вращения вала концентратора.

Требования к содержанию морской соли: все более уменьшаться и в настоящий момент содержание не должно превышать $(1...2)$ мг солей/кг воздуха.



Рис.8.14. Четырехступенчатая очистка воздуха перед поступлением его в воздухоподъемное отверстие ГТД: 1 - первая ступень (из магнитофагта); 2 - вторая ступень (импрегнированный фильтр); 3 - третья ступень (сетчатый фильтр); 4 - четвертая ступень (сетчатый фильтр - тонкая очистка); 5 - воздухоподъемное отверстие двигателя

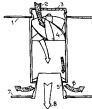


Рис.8.15. Схема действия воздухоочистителя закрытого типа: 1 - наружная обшивка, в которую вставляются эти воздухоочистители; 2 - пыль загрязненного воздуха в очиститель; 3 - сетка; 4 - неподвижная спиральная очистка; 5 - вакуумный диффузор; 6 - вход пыли или коронирующей смеси; 7 - задник, в который крепится воздухоочиститель; 8 - выход чистого воздуха в двигатель

ки. В настоящее время существуют циклоны с диаметром от 30 до 300 мм со степенью очистки до 94%. Установка восстановительных единиц ступеней вихревых сепараторов повышает эффективность очистки воздуха до 99%. Количество блоков определяется из расчета скорости воздуха, проходящего через эти блоки. Она же должна превышать ~ 20 м/с.

В следующий после инерционных сепараторов ступени (см.рис.8.14) устанавливаются обычно так называемые сетчатые фильтры, выполненные, как правило, в виде рамок с натянутой на них вязкой сеткой из полипропиленовых (ранее металлических) нитей. Толщина ячейки сетчатых фильтров от 80 до 300 мм. На зарубежных судах эти фильтры составляют специализированной английской фирмой Нитмаш [194]. Вязкие сетки последнюю ж заслону собираются в пакеты, вставляемые в металлические рамки, что в совокупности представляет собой стандартную прямоугольную съемную секцию (из английской СВП с размером стороны 1,0...1,5 м). Качество этих секций выбирается исходя из количества проходящего воздуха в ограниченной скорости воздуха, идущего через эти секции, которые должны быть одноковой по всей площине фильтра и не должна превышать 4...5 м³. Превышение этой скорости снижает эффективность сетчатых фильтров и способствует утечке изотермической воды с прохождением потоком. Если эти фильтры устанавливаются заборно, то они с целью снижения сопротивления потока воздуха с борта располагаются либо обрабают другим из воздуха через них не существенных СВП обычно проходит снизу вверх (см. рис.8.14). Эффективность очистки воздуха сетчатыми фильтрами может доходить до 90%. Повышение относительной вязкости воздуха до 70% делает сетчатые фильтры неэффективными с точки зрения очистки вязкой воды.

По этой причине перед ступенью сетчатых фильтров должна быть ступень сепараторов инерционного типа, которая должна уменьшать содержание влаги в очищаемом воздухе.

На рис.8.14 показано, что первая ступень киперсского сепаратора служит загнетателью поточного колеса судна, где отдаляется наибольшее крупное хлам. Таким образом может применяться двух-, трёх- и четырёхступенчатая фильтрация воздуха. Так, на СВП №7 воздух забирается из рециклира, т.е. после его предварительной очистки в нагнетателе и в рециклире. Идея снизу вверх через сетчатые фильтры, пакеты которых устанавливаются в полу машинного отделения, воздух поступает затем к ГТД "Марин Протей". Аналогичная схема очистки воздуха принята и на СВП №11, №14.

При очистке воздуха от капель воды при низких температурах наблюдается обмерзание засоренных сепараторов, что приводит их к застопорению и повышению сопротивления проходу матрицы и росту разрежения. Чтобы решить эту проблему, к блокам засоренных сепараторов может подводиться горячий воздух, отбираемый из главной турбины, или устраняться их засорение.

Каналы, подводящие к ГГД обогащенному воздуху, должны быть герметичными, чтобы не допускать поступление изношенного воздуха. Требование относится и ко всему магистральному отоплению, если воздух после пресвиртальной сепарации забирается прямо из него.

Для высокоскоростных динамичных пробных погодных зондирований не стоит так остро, как для ГТД, и моряки, достаточноны для пыле- и влагоочистки, можно считать рациональное расположение воздухозаборников на судне и установку инверсионных пакетов фильтров.

В заключение следует указать, что фильтрующие и сепарирующие компоненты для удаления отложений соли, песка, пыли подвержены регулярной промывке их пресной водой, что представляют их сепарирующие свойства и предотвращают увеличение разрежения за входом в двигатели. Внешние сепараторы могут пропадать сквозь воздухом.

Система промывки двигателя пресной водой или спиртосолью предназначена для удаления из проточной части соленых и других отложений, образующихся при работе двигателя в условиях попадания в его проточную часть капель морской воды или загрязненного воздуха. Промывка проточной части от отложений из морской воды может производиться дистиллированной водой или паром на режиме холостого хода, прокрутки двигателя, режиме холостого хода или на малой нагрузке двигателя. Если в отложениях присутствуют еще масла и продукты горения, то для промывки используется смесь воды с керосином.

На современных СВП система промывки водой или спиртосолью предполагает доставление промывающих жидкостей от специальных передвижных береговых станий, но возможны и другие такие жидкости и за борту судна.

Для очистки проточной части ГТД осваивается использование так называемого карбоната (зернистого порошка растительного происхождения из скорлупок грецких орехов и абрикосовых косточек). Иностранные фирмы рекомендуют производить ежедневную очистку ком-

прессоров турбин путем введения (170...200) г карбоната.

Система газовыделения (газовыделение, газоотвод) современного ГТД из-за большого потребления воздуха представляет собой, так же как и системы воздухоприема, весьма громоздкое устройство. Такая система предназначена для отвода выхлопных газов за борт. При этом должна быть исключена возможность их попадания в систему воздухоприема главных и вспомогательных двигателей. В состав системы входит газоотводные трубы, крышки для закрытия их выходных отверстий (при неработающих двигателях) и механизмы приводов для закрытия этих крышек. Газоотводные трубы размещаются на жаропрочных неракамических стелах.

Они не должны иметь больших сопротивлений движению отводимых газов, ибо это сопровождается соответствующим снижением мощности ГТД.

Прошитенные на СВП отдают ГТД, имеющие выходные крышки синхронной турбины через воздушное отверстие двигателя.

Газоотводные трубы (рис.8.18) состоят из нескольких частей, соединенных между собой

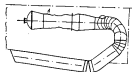


Рис.8.18. Система газовыделения ГТД на судне: 1 - ГТД

габаритами элементами (компенсаторами), разрывами конструкции при тяжелых деформациях и перекосах.

Энергия уходящих газов может быть использована для охлаждения горячих частей шахтного и самого выхлопного устройства путем замкнутого цикла воздуха из машинного отсека.

Система запуска главных двигателей, т.е. раскрутка его вправо на максимальный режим устойчивой работы, содержит специальный комплекс агрегатов и устройств, размещенный на самом двигателе и на судне. Такая система запуска определяется такими агрегатами: промежуточной раскруткой ротора двигателя в таком источнике питания. В качестве пусковых агрегатов чаще всего используются электростартеры и турбостартеры. Последние, в свою очередь, подразделяются на: работающие на твердом топливе; работающие на жидком однокомпонентном топливе; работающие на газовом топливе; воздушные турбостартеры.

Мощность пускового агрегата составляет, как правило, около 1% от полной мощности ГТД.

У ГТД с собственным электростартером различается сначала сам стартер, а затем ротор турбины. Источники питания пусковых агрегатов могут быть судовыми или наземными. Источниками питания стартер-генератора на судне в период запуска могут быть специальные турбогенераторы постоянного тока либо аккумуляторные батареи напряжением 24–28 В. Наземный электростартер после запуска ГТД работает в режиме генератора для питания потребителей ЭУ и судна постоянным током.

Воздушная система выпуска ГТД, использующая энергию скатого воздуха (от баллонов или от специальных компрессоров), предполагает получку скатого воздуха мановоздействием

шатки турбины (для малых ГТД) либо к специальному воздушному стартеру, раскручивающему ротор турбины.

Запуск ВД также всего осуществляется сжатым воздухом от специальных баллонов, находящихся в комплектации соответствующей ЭУ.

Электроэнергетическая система (электроснабжение) СВП, будучи тесно связана с работой ЭУ, предназначена для питания потребителей в зависимости от режимов работы различных и включает в себя источники электроэнергии, преобразователи тока, главный и вторичные распределительные цепи, кабельные сети. В зависимости от типа судна, его назначения, района плавания потребители электроэнергии бывают во переменном трехфазном токе напряжением 220 В и частотой 400 или 50 Гц и во постоянном токе напряжением 24–28 В.

В качестве источников постоянного и переменного тока могут использоваться как наземные либо ГД генераторы, так и генераторы, имеющие право от специальных вспомогательных двигателей (в зависимости от типа газодвигателя дизель-генераторы или турбогенераторы).

В качестве источником постоянного тока на СВП используются аккумуляторные батареи.

Кроме специальных устройств, определяемых назначением судна, потребители электроэнергии на судне являются навигационное оборудование, нагревательные приборы, насосы и вентиляторы судовых систем, основное и аварийное освещение, топливные и масляные насосы, средства сигнализации, системы запуска газовых и вспомогательных двигателей и т.д.

Для предупреждения столкновения с судами в море и на реках на СВП устанавливаются сигнально-отличительные огни, электросирены, светосигнальные приборы и пр.

К основным сигнально-отличительным
именно относятся топовый (на мачте), левый ба-
тарий, правый бортовой, кормовой огни, жиги, проблесковый (на мачте), фонари-отмашки.

В заключение отметим, что системы и
устройства, обеспечивающие главный (главные)
вспомогательные двигатели топливом, маслом,
водой, воздухом, включают в себя трубопрово-
ды с арматурой, щиты, теплообменные аппа-
раты (охладители, подогреватели), фильтры,
также механизмы насосов, вентиляторы, компрес-
соры. Механизмы ЗУ могут производиться
главного двигателя, распределенного редукто-
ра или от трансмиссии, они могут быть
топливными, т.е. с приводом от специальных эле-
ктродвигателей, газовых турбокомпрессоров.

Например, на ГТД LM 500 [89] отбор ма-
стности для привода вспомогательных механизмов
производится от вала компрессора через ау-
тomaticкую передачу с коническими шестернями. К
корпусу вспомогательного редуктора здесь смон-
тированы циркуляционный масляный и топливный
насосы, стартер и другое оборудование.

Заключив характеристику условий эксплуатации и требований к составу и ком-
поновке ЗУ на СВП, следует подчеркнуть,
что вышеизложенное относится к обычным ма-
тематическим условиям.

Если же предполагается эксплуатация СВП
в тропической зоне или районах с особо вы-
сокими температурами воздуха (ниже -40°C),
и ЗУ СВП предъявляются множество дополнительных требований, касающихся запуска и
спускания главных и вспомогательных меха-
низмов, работы систем, устройств и т.д. (см. гла-
ву 1).

Глава 9. НАГРУЗКА СВП. ОПРЕДЕЛЕНИЕ СОСТАВЛЯЮЩИХ МАССЫ

§ 9.1. Расчет массы судна. Специфика расчета. Разбивка нагрузки

На начальных стадиях проектирования СВП
его массу определяют трущее, чем при созда-
нии обычных судов, поскольку ограничено чис-
ло аналогов, которые к тому же отличаются
внешностью архитектурного облика, различи-
ем в конструкции, применяемых материалах и
оборудовании. ЗУ, их компоновка, разнообразно и
изначально не имеющие аналогов в судов-броттиках.
На обстоятельствах делают исходочные приме-
нения для одних компонентов нагрузки заменя-
ются, а присутствующие в них конкретные
внешностенные, пригодные лишь в ограничен-
ных запасах изложенных элементов и харак-
теристик судов, сочетания которых определяют
форму установленных зависимостей. Затрудни-
я возникают с аппроксимацией зависимостей
поставляемых нагрузок от условий эксплуатации,
забывая если учесть динамический характер
ходовых. Это выражается в том, что многие
характеристики как судна в целом, так и отдельных его систем, устройств, компон-
ентов значительно меняются в зависимости
от условий эксплуатации.

Так, показатели остойчивости, зависящие
от распределения нагрузки судна по длине, изме-
няются в широте, значительной изменились при
переносе "на споре" над водой или над твер-
дым экраном. Остойчивость СВП над споре и
на жесткой поверхности меняется с
изменением скорости хода, что над твердым
экраном вызывается aerодинамическими силами и
коэффициентом от набегающего потока воздуха и

моментом от упора движителей, а над водой, — и изменением ее податливости.

В разных режимах эксплуатации судна неизменно меняется потребляемая мощность — это относится и к подъемному, и к дельтальному комплексам. Существенно зависящим и различимым движителями упоре от скорости хода, которая определяет время изложения судна в пути и спасы топлива. При одной и же потребляемой мощности ЗУ она может быть от (0,5 до 1,0) от $\sigma_{\text{наг}}$ из-за меняющейся условий эксплуатации и реакции колебаний суднаного с этим сопротивления движению. Отражается на требованиях к ЗУ, на запасы топлива, конструкции и прочности ГО и всего корпуса.

Эти обстоятельства вносят дополнительные трудности в расчеты нагрузок судна, ибо включает проблемы с выделением доминирующих расчетных условий, которые оказываются различными для отдельных компонентов нагрузки. Стационарные условия эксплуатации и даже стационарный подход не дают возможности значительных погрешностей из-за целого ряда приемлемых допущений остановиться на каком-то методе расчета того или иного компонента нагрузки. Требуется значительно большей, чем для традиционных судов, вероятности критических условий, из которых следует выбрать доминирующий в назначении характеристик систем, устройства, комплексов судна в целом. Такая неопределенность, характерная для объектов сложной техники, может преодолена традиционно примененным в таких случаях методом последовательных приближений от приближения к приближению к наработке точности примененных методов и формул расчета.

Очевидно, что анализ нагрузки и ее определение требуют единого систематического подхода в ее разбивке и классификации.

Классификация компонентов нагрузок весьма условна и постоянно изменяется. Это затрудняет сравнение идентичных объектов, ибо это возможно только при наличии подробных таблиц нагрузок, поступив к которым во всему ряду гражданского, военного (особенно для объектов военно-морской) и классифицировать имеющиеся тактико-технические характеристики судна, уровень развития техники и технологические возможности фирмы-изготовителя. В каждой стране, а иногда и в отдельных фирмах, нагрузка является предметом стандартизации, предусматривающей полный перечень составляющих всех расходов, что позволяет их сравнивать и устанавливать зависимость массы отдельного раздела или его компонента от размеров и характеристики судна. Составы разделов даже при одинаковых назначениях различны, это видно из примера действующих стандартов в области судостроения нашей страны и США. В отечественной практике применительно к СВП существуют разбики нагрузки, показанные в скобках в табл. В.1.

Таблица 9.1

Разделы, составляющие нагрузку СВП

Характеристика нагрузки	Раздел нагрузки	Код по стандарту	Вариант обозначения	
			в стандарте	в царной работе
1	2	3	4	5
Масса судна в рабочем	Корпус	01	P_{01}	$D_{\text{кор}}$
	Устройства судовые	02	P_{02}	$D_{\text{суд}}$
	Системы (судовые)	03	P_{03}	$D_{\text{ст}}$

Основные табл.

1	2	3	4
	Установка энергетическая	04	P ₀₄
	Электроэнергетическая система, внутрисудовая связь и управление	05	P ₀₅
	Вооружение (радиотехническое, штурманское)	07	P ₀₇
	Запасные части	08 ¹⁾	P ₀₈
	Балласт (постоянный, жидкий или твердый)	10 ²⁾	P ₁₀
	Завес подвигающие, остойчивости	11	P ₁₁
	Постоянные жидкие грузы	12	P ₁₂
	Свобождение постоянное, имущество	13	P ₁₃
	Экипаж, провизия, вода, расходные материалы	14	P ₁₄
	Груз перевозимый (грузоподъемность)	15	P ₁₅
	Запасы топлива, масла, смазочных жидкостей	16	P ₁₆
	Переменные жидкие грузы	17 ³⁾	P ₁₇
	Жидкий балласт	18 ⁴⁾	P ₁₈

1) Запасные части предполагаются включением в состав расчетов О2, О3, О4, О5, О7.

2) Постоянный балласт здесь входит в массу судна, он может быть необходим для creation стабильной анкеровки или временной остойчивости.

3) К переменным жидким грузам могут отнести содержимое фекальной системы, когда из-за небольших размеров включаются в состав "судовых систем" (О3).

4) Жидкий балласт возможен при неблагоприятных обстоятельствах судна, приводящих к неудовлетворительным характеристикам остойчивости или центровки. В таком случае на судне его можно привести или за уменьшением массы полезного груза, или за счет изоляции массы топлива.

В проекте судна полчет нагрузок ведется в форме стандартных таблиц нагрузки [7], позволяющих получить и массы составляющих, и координаты центра тяжести, определяемые в дальнейших расчетах показателем остойчивости и плавкости судна "на стope" и на ходу.

§ 9.2. Полная грузоподъемность СВП

Согласно табл. 9.1 в полную грузоподъемность включаются:

$$D_{\text{гр}} = D_{\text{гр}} + D_{\text{зен}} + D_{\text{тп}}. \quad (9.1)$$

Масса судна полномая (переводимая) $D_{\text{гр}}$ в соответствии с назначением судна определяется исходя из оговоренных в ТЗ числа пассажиров, автомобилей, установленных контейнеров и т.п. На судах специального назначения к полевой нагрузке следует относить транспортное оборудование, а также обеспечивающие функционирование этого оборудования дополнительные механизмы, системы, электрогенераторы и т.п. Это, как правило, в большей степени учитывается не только на этапе определения нагрузки проектируемого судна, сколько при сренимании между собой СВП различного назначения. В аналитической зависимости, применяемые для вычисления компонентов нагрузки и имеющие чисто статистический характер, должны вноситься коррекции, учитывающие появление дополнительных механизмов, систем, электрогенераторов и т.п. В составе массы электроэнергетической системы, массы той или иной судовой системы, звукопоглощающей массы корпуса в связи с установкой палубы под тяжеломассовые грузы или в связи с устройством насосных и кормовых аппаратов СВП, первоначальную колесную технику и т.д.

Здесь имеется в виду, что, близкими определения измерителей массы на прототипе следует или использовать близкие прототипы "исправлять" прототипы корректировкой соответствующих разделов их нагрузок.

По опыту построек пассажирских СВП масса пассажира с багажом и проекции ограниченной продолжительности хода (4-6 ч) лебедки от 30 до 100 и в среднем для СВП может быть принята из расчета 90...100 кг/ч (в авансе 90 кг/ч).

Численность экипажа судна определяется требованиям задания и по существующим методам при оговоренных условиях вычисляется. Для предварительной оценки масса членов экипажа может быть принята равной массе пассажира.

Полезная нагрузка любого СВП относительно невелика и сравнима с проектируемого с существующими аналогами следует привести по полной грузоподъемности, включющей сухую массу экипажа с багажом, провизии и пресной водой и массу топлива, причем из-за высокой энергоизрасходности иной экономичности применяемых типов ГД обычного линейки и может доходить до 20% полной массы судна.

9.3. Масса корпуса и насаждений его оборудования

Как уже отмечалось, корпус АСВП обеспечивает прочность общую и местную, полуобъемы помещения и плавучесть палуб, жесткость, плавучесть, остойчивость на плаву, является несущей платформой, опорой для конструкций, воспринимающей силы водонапора со стороны области воздуха повышенного давления при переносе на ВП или со ст-

роком при выходе из СВП в подводимый режим. Важнейшим принципом, лежащим в основе проектирования Корпуса СВП, является правило минимизации его массы.

Веситка массы корпуса определяется рядом факторов. Какими являются:

- характеристики конструкционных материалов;
- геометрические параметры, определяющие форму и размеры конструкций;
- значение нагрузок, определяющих величины действующих перерезывающих сил и нагружающих изгибы;
- внутренние силы, возникающие в элементах конструкции и определяемые вынужденными силами, геометрическими параметрами и схемой схемой;
- схемовая схема, т.е. система конструктивных элементов, определяющая их количество, расположение, формами, от которых зависит характер их работы (сжатие, растяжение, сдвиг);
- компоновка судна, зависящая от расположения грузов, двигателей, движителей, механизмов, запасов;
- требования прочности;
- требования эксплуатации (форма обшивки, ремонт, надежность, долговечность);
- технологические требования (технологичность конструкций, монтажность, процесс обработки и соединений Конструкционных материалов и т.д.);
- производственные возможности и организацию производства.

Снижение относительной массы корпуса $D_{\text{ср}}/D_0$ способствует повышению коэффициента снижения полной массы при $D_0 = \text{const}$ и позволяет добиться такого уменьшения давления в ВП, а значит, и величин потребляемой подъемным комплексом мощности. Если у

современных СВП $G / S_a = 2,5 \dots 5,0$ кН/кг, т.е. сухогрузных водоизмещающих судов относительная тяжесть G к площади грузовой ватерлинии $S_{\text{вл}}$ составляет 50...70 кН/кг. Это подтверждает необходимость применения легких судов к облегченным конструкциям для СВП.

Для первых приближений следует иметь ввиду, что в долях от полной массы

$$D_{\text{кр}} = (0,25 \dots 0,32) D_n . \quad (8)$$

Масса корпуса $D_{\text{кр}}$ при этом включает массу текущего потока, настройки, рубок, весовых конструкций, служящих для крепления фундаментов, подкреплений, изолации корабельных отор для стоянки судна на площадке, массу оборудования помещений.

Естественно, что большое значение имеет применяемых конструкционных материалов и технология постройки. Например, применение сварной технологии по сравнению с традиционной судостроительной дает возможность существенно уменьшить массу корпуса. Использование статистических данных крайне затруднительно, ибо, как уже отмечалось, стандарты разработки нагрузок различных стран и даже разных фирм неидентичны.

Так, в практике США днищевые ванты, оборудование помещений, изолитика, окраска ванты лены в специальный раздел, куда включены и ЗИП, а в раздел "Корпус" включены масса твердого и жидкого балласта.

Подобно этому масса ГО в английской практике, в отличие от традиций США и России, включается в состав раздела "корпус". Такой разнохарактерность в подходе к идентификации каждого раздела нагрузок при имеющейся ограниченности сведений по ней построенных судов делает использование статистических данных

вызыванным, хотя некоторые выражения из приведенных ниже можно применять на первых стадиях проектирования судов. В зависимости от загруженности конструкций, характеризуемой коэффициентом \bar{G}_n , для ряда его значений могут быть предложены следующие формулы, полученные с учетом данных из [164]:

- для $\bar{G}_n = 0,0078$

$$\frac{D_{\text{кр}}}{D_n} = \frac{0,28}{D_n^{1/3}} + 0,01 \frac{D_n^{1/3}}{\bar{G}_n} ; \quad (8.3)$$

- для $\bar{G}_n = 0,0156$

$$\frac{D_{\text{кр}}}{D_n} = 0,24 + \frac{0,00175 D_n^{1/3}}{\bar{G}_n} ; \quad (8.4)$$

- для $\bar{G}_n = 0,032$

$$\frac{D_{\text{кр}}}{D_n} = 0,21 + \frac{0,002 D_n^{1/3}}{\bar{G}_n} . \quad (8.5)$$

В представляемых выражениях полная масса судна D_n принимается в тоннах.

При использовании легких сплавов масса металлического корпуса $D_{\text{мк}}$ в долях от массы корпуса составляет

$$D_{\text{мк}} = (0,62 \dots 0,65) D_{\text{кр}} . \quad (8.6)$$

В составе металлического корпуса во массу продольных связей приходится:

$$D_{\text{пс}} = (0,56 \dots 0,60) D_{\text{мк}} . \quad (8.7)$$

Высчет массы корпуса во втором приближении можно производить по методике И.Г.Бубнова, предполагающей выделение из всей массы корпуса массы продольных связей, и изложенной при-

множителью к АСВП ± [78]. Масса продольных связей $D_{\text{пр}}$ может быть определена по массе эквивалентного бруса:

$$D_{\text{пр}} = \alpha_3 \rho_{\text{мат}} \Omega_3 L, \quad (B.1)$$

где α_3 - коэффициент, учитывающий уменьшение площади поперечного сечения эквивалентного бруса в оконечностях СВП: $\alpha_3 = 0,93...0,95$; $\rho_{\text{мат}}$ - плотность основного конструкционного материала корпуса; L - расчетная длина, за которую может быть принята $L_{\text{жк}}$ или $L_{\text{п.м.}}$; Ω_3 - площадь поперечного сечения эквивалентного бруса, см^2 .

Расчетное (приближенное) значение изгибающего момента

$$M_{\text{изг}} = \frac{GL}{\kappa_{\text{изг}}}, \quad (B.2)$$

где $\kappa_{\text{изг}}$ - коэффициент изгибающего момента для расчетного случая, который по данным статистики можно принимать в 5...10.

У СВП BRN*4 MK.1 у КБП JEFFA $\kappa_{\text{изг}} = 5,5$; у небольших СВП $\kappa_{\text{изг}} = 7...10$.

Момент сопротивления эквивалентного бруса

$$W_{\text{мин}} = \frac{\bar{\mu}_4}{2} \Omega_3 H_{\text{жк}}, \quad (B.3)$$

Здесь $\bar{\mu}_4$ - коэффициент utilization профиля эквивалентного бруса, по статистическим данным [78] его значения соответствуют интервалу 0,5...0,7. Если считать, что возникающие в эквивалентном брусе напряжения от общего изгиба не должны превосходить допускаемых $\sigma_{\text{доп}}$, которые применяются предел текучести σ_t , то следует исходить из условия

$$\sigma_{\text{тек}} = \frac{M_{\text{изг}}}{W_{\text{мин}}} . \quad (B.11)$$

Тогда выражение (B.6) примет вид

$$D_{\text{жк}} = \alpha_3 \rho_{\text{мат}} \frac{2GL^2}{\kappa_{\text{изг}} \sigma_{\text{тек}} H_{\text{жк}} \bar{\mu}_4}. \quad (B.12)$$

Естественно, что в массе металлического корпуса, кроме продольных связей, воспринимающих изгижение общего изгиба, выделяют переборки, платформы, палубки, фундаменты, изолирующие в прочие связи и конструктивные узлы. Их масса в связи с разнокартическостью характеристических компонентов может быть учтена с помощью дополнительного слагаемого $D_{\text{доп}}$:

$$D_{\text{доп}} = \alpha_4 V_{\text{кр}}^{2/3}, \quad (B.13)$$

где $V_{\text{кр}}$ - объем помещений внутри металлического корпуса; α_4 - статистический коэффициент, который для приближенных оценок может быть принят 0,17...0,22 [78].

Полная масса металлического корпуса определяется с помощью выражения

$$D_{\text{кор}} = D_{\text{жк}} + D_{\text{доп}},$$

$$= \alpha_3 \rho_{\text{мат}} \frac{2GL^2}{\kappa_{\text{изг}} \sigma_{\text{тек}} H_{\text{жк}} \bar{\mu}_4} + \alpha_4 V_{\text{кр}}^{2/3}. \quad (B.14)$$

Таким образом, используя зависимости (B.2)-(B.6), (B.14), можно в первом приближении получить величину массы корпуса $D_{\text{кор}}$.

В практике проектирования зачастую рассчитывается масса оборудованного корпуса, которая массы собственно корпуса объединяется с массой судовых устройств, судовых систем, во-

оружения, и для их определения можно привести следующие рекомендации.

Масса судовых устройств (рулевого, аварийного, швартовного, боксера, спасательного, подъемного) без учета массы ГО, рассмотренной в отдельной статье, определяется выражением

$$D_{\text{ст}}' = P_{\text{ст}} D_n, \quad (9.15)$$

где $P_{\text{ст}} = 0,020...0,030$.

Состав и компонентами судовых устройств на АСВП весьма специфичны. Так, в рулевом устройстве включаются только массы вертикальных и горизонтальных рулей, которые выполняются в совокупности со стабилизаторами, а последние в существующей практике, как и палены ВВ, также выполняемые в виде стабилизаторов, относят к корпусным конструкциям и включают в раздел "корпус". В рулевое устройство входит струйные рули, представляющие собой повторяющие заслонки для регулируемого выпуска воздуха. При назначении состава аварийного и швартовного устройств пользуются нормами. Вместо якорной цепи, как правило, используют якорный канат, а якори, кинеты, якоревые планки, скобы, приспособления для хранения якорей выполняются из легких сплавов. С целью облегчения массы судовых устройств для СВП предусматривается плавное погружение боксеров и других судов.

Спасательное устройство включает в себя спасательные надувные маты, спасательные жилеты, спасательные круги. Устройство подъема ГО, если оно имеется, состоит из цепей, тросов и рамков и используется для дополнительных возможностей маневрирования судном. Применяется, как правило, только на малых СВП. Аварийное устройство необходимо, если пред-

полагается эвакуация с судна колесной техники. Массы складов и устройств ее погрузки зависят от возможностей на них загрузок, размеров складов и типа применяемого конструкционного материала.

Масса судовых систем может быть оценена выражением

$$D_{\text{ст}} = P_{\text{ст}} D_n, \quad (9.16)$$

где $P_{\text{ст}} = 0,02...0,03$.

В состав этого раздела входит массы складских систем: осушительной, дифферентной, противопожарных (химического пожаротушения, изоляции, орошения), бытового водоснабжения, почво-факелной, щитовой, вентиляции, коммуникаций, отопления и пр. Для СВП большое значение имеет система гидравлики, при помощи которой осуществляется привод управляемых якорей, воздушных рулей, повернутых якориков струйных рулей, подъем ГО и т.д. Шарко используются трубопроводы и арматура из легких сплавов и материалов там, где это не ограничено химической активностью рабочей среды ячеек.

Масса компонентов ЭЭС, внутракорабельной связи и управления $D_{\text{ээс}}$ в зависимости от типа электрооборудования и частоты переменного тока же БО Гц или 400 Гц и от мощности потребляемой может быть оценена в зависимости от полной массы судна:

$$D_{\text{ээс}} = P_{\text{ээс}} D_n + \dots \quad (9.17)$$

где $P_{\text{ээс}} = 0,01...0,05$.

Этот раздел включает в себя массу электрогенераторов с первичным двигателем (динамогенераторы или турбогенераторы), механизмы, системы и расходных топливных частей

§ 9.4. Масса энергетической установки

верничных двигателей, трансформаторов, аккумуляторных батарей, распределительных щитов, кабелей силовых магистралей и кабельных коробок с сети основания, дистанционного и автоматического управления системами, устройствами в ЭУ, внутрикорабельной связи, крепежных и монтажных материалов. Для гражданских СВП в этот раздел можно включить и массу вооружения радиотехнического и навигационного $D_{\text{бр}}$, ибо ее масса здесь оказывается преибразимо малой. Наряду с обеспечением нужд приводов судовых систем, устройства вспомогательных механизмов, основания, внутрикорабельной связи, управления работой главных механизмов, мощность источников электромергии на СВП может обеспечивать и запуск ГД (с учетом коэффициента одновременности работы потребителей). Суммы массы этого раздела можно достичь, используя асинхронное оборудование, облегченные кабели, извлеченные из ГД, электрогенераторы и вспомогательные механизмы.

Масса жидких грузов $D_{\text{жг}}$, если в нее включить и массу постоянных и первоначальных грузов, может быть определена в пределах

$$D_{\text{жг}} = (0,005 \dots 0,02) D_{\text{п.}} \quad (9.18)$$

В нее входит остатки топлива и масел в главной и вспомогательной ЭУ, в механизмах и аппаратах судовых систем и устройств остатки воды в корпусе.

Массу постоянного снабжения и имущества $D_{\text{снп}}$, в которую входит масса шинопроводов, пылесосно-санитарного, макино-санитарного и других составляющих, можно учесть, приведенной разной:

$$D_{\text{снп}} = (0,003 \dots 0,005) D_{\text{п.}} \quad (9.19)$$

Данный раздел нагрузки включает массу сухих двигателей, деталей их крепления, трансмиссий, движителей, магнетатов, вспомогательных механизмов, топливных систем и систем звука ГД, спираторов (фильтров) для очистки воздуха, поступающего в главные двигатели, расходных топливных и масляных ёмкостей, маслогидраторов, систем запуска ГД и газовых клапан, оборудования помешаний ЭУ, системы контроля, дистанционного управления, автoreгулирования и защиты.

Масса ЭУ $D_{\text{ЭУ}}$ в зависимости от ее комплектации, конструкции и тактико-технических характеристик составляет обычно (10...15)% от полной массы СВП, несмотря на то, что ГД, как и остальное оборудование, признаются только облегченного типа, практически соответствующего авиационным стандартам. Принцип этого заключается в высокой энергоемкости СВП во сравнении с любыми другими судами.

Очевидно, что масса ЭУ находится в прямой зависимости от суммарной мощности главного источника энергии (может быть один или несколько ГД).

$$D_{\text{ЭУ}} = p_{\text{дв}} N_{\text{к.}}, \quad (9.20)$$

где $p_{\text{дв}}$ — коэффициент этого раздела массы, который для повышения эффективности судна должен быть, по возможности, предельно минимальным. Он зависит от типа ГД, их количества, способа передачи и приложения крутящего момента между потребителями, компоновочной схемы ЭУ, типа редукторов, примененных конструкционных материалов.

Мощность ЭУ (Вт) в первых приближениях можно рассматривать, исходя из данных § 4.3

$$N_x = N_{xK} + N_{xH} +$$

$$N_x = \frac{K_0 K_1 K_2}{\eta_{tr}} \left(\frac{R_x U}{\eta_{dk}} + \frac{K_3 P_n Q_n}{\eta_{pk}} \right) \quad (9.22)$$

(обозначения см. в § 4.3 и 5.6, в главе 3).

Используя понятие гидродинамического качества, получим

$$K_{xK} = \frac{G}{R_x}$$

и приняв $P_n = G/B_n$, с учетом выражения (4.18) зависимости (9.21), преобразуем к виду

$$N_x = \frac{K_0 K_1 K_2}{\eta_{tr} K_{pk} \eta_{dk}} \left(\frac{K_3 K_4 K_{tk} \eta_{dk} \sqrt{h_{ro}}}{U \eta_{pk}} \right), \quad (9.23)$$

где по данным § 4.3 $K_0 K_1 \approx 1,1$; $K_4 = 0,70 \pm 0,05$

G — сила тяжести судна; H ; U — скорость, м/с
 h_{ro} — высота ГО, м.

Рекомендации к величинам η_{pk} , K_0 , K_1 , K_2 приведены в § 4.3; η_{dk} — в § 5.6. Значение гидродинамического качества K_{xK} следует определять по прототипу или по статистическим данным, что вносит, однако, большую погрешность.

На такой волне в интервале скоростей (50...80) у большинства АСВП имеют $K_{xK} = 18...22$. При наличии прототипа величина R_x для определения K_{xK} с его яркими коррекциями берется для созданного упрощенного судна значения R_{xL} (или $R_{xV} = \frac{U}{Vg \sqrt{h_{ro} / R_{xL}}}$)

покажет оказаться, что используя, например, ладейный прототип, скорость которого U разна скорости проектируемого судна, но по полной массе прототип меньше. Тогда значение гидродинамического качества созданного судна будет заниженным.

Если перейти к использованию ярких ячеек размерностей в полной массы судна B_n , то получим зависимость (9.22) для N_x вид:

$$N_x = \frac{K_3 K_4 K_{tk} \eta_{dk} B_n U}{\eta_{tr} K_{xK} \eta_{pk}} \left(1 + \frac{K_0 K_1 K_{tk} \eta_{dk} \sqrt{h_{ro}}}{U \eta_{pk}} \right). \quad (9.23)$$

Было отмечалось, для средних и крутых СВП значение приемлемым типом ГД является ГТД, который после компонтирования во сражении с пакетными турбинами обладает несколько большей удельной массой. Как видно из табл. 8.1, полная масса сухого двигателя находится в пределах (0,25...0,75) кг/кВт.

Компонтированные ГТД, при разработке которых в качестве базовых используются серийные авиационные двигатели, как следует из их таблицы, имеют удельную массу даже 0,2...0,4 кг/кВт. Статистические данные по широким СВП, основанные ГТД, позволяют определить величину R_{xL} (относительно к движущей мощности N_x) во диапазоне

$$R_{xL} = (2,0...3,0) \text{ кг/кВт}. \quad (9.24)$$

Число сухих двигательных установок составляет от полной массы ЗУ около одной трети (табл. 9.2).

Значительную долю, как видно из таблицы, составляют имеющие большую продолжительность работы и ресурсы, изготавливаемые чаще из высокомарочных сталей или титановых сплавов, нагнетатели, движители, а также всево-

могательные отдельно стоящие механизмы, системы ЗУ, оборудование помещений ЗУ, включаются системы воздухопротока и газохода.

Таблица
Приближенное распределение нагрузки ЗУ
с современных СВП, оснащенных ГТД

№ п/п	Наименование статьи нагрузки	Доля статьи от полной массы ЗУ
1	Масса сухих двигателей	28,0±6,0
2	Трансмиссия	30,0±6,0
3	Нагнетатели	16,0±5,0
4	Двигатели	9,0±3,0
5	Вспомогательные механизмы, оборудование помещений ЗУ, системы, обспечивающие ЗУ	18,0±7,0

Если выражение (9.20) дает возможность изменить полную массу ЗУ, исходя из потребной мощности ГТД, то данные таблицы позволяют получить комплектацию основных статей разработки $D_{\text{зУ}}$.

Масса сухого двигателя приводится в каталогах, из которых выбирается приемлемый тип. Масса нагнетателей может быть получена по зависимостям (4.36), (4.37), (4.38), (4.40). Так же можно поступать при определении массы ВВ, для чего можно обратно использовать данные по их массовым характеристикам, которые можно получить из табл. 5.1 и из выражений (5.39)–(5.41).

Касаясь способа определения совокупной массы трансмиссий, включющей массу валов (рессор, муфт, спиральных и упорных

шариков) и массу редукторов, следует отметить, что предпочтительно использование ГТД с встроенным, как правило, планетарным редуктором, которые в этом случае имеют передаточные отношения 2...8.

Как показано в [138], масса понижающего редуктора с цилиндрическими колесами (кг):

$$D_{\text{рн}} \approx 25 q^{0.91}, \quad (9.25)$$

редуктора планетарного типа (кг):

$$D_{\text{рн}} \approx 9,55 q^{0.95}, \quad (9.26)$$

где

$$q = \frac{1,36 N_1}{n} \frac{(i_p+1)^3}{i_p}; \quad (9.27)$$

N_1 – подводимая к редуктору мощность, кВт; i_p – передаточное отношение редуктора; n – частота вращения ведущего колеса, мин⁻¹.

Больной проблемой является передача крутящего момента от двигателей, находящихся в корпусе СВП, к ВВ, поднятых на штангах либо на палубе, либо на аэростатических СВП ВА-7 и СРМ-4. Протяженность валов, наличие опорных подшипников, упорного подшипника, верхнего и нижнего угловых редукторов могут быть причиной того, что трансмиссии двигательно-цилиндрического комплекса окажутся замкнутого тяжесте, что приводит ГТД. К этому добавляются высокая стоимость и малый ресурс угловых редукторов. Значительный опыт в создании подобных трансмиссий (угловых колонок наклонных постройке СПК с глубоконапорными подшипниками крыльями (СПК США и Канады "Виктория", "Флегстад", "Денвер", "Хай Пойнт", "Брайтон" [63]). Этот опыт (а в некоторых случа-

чник из модуля этих трансмиссий) может быть использован при проектировании СВП, оснащенных ВВ. Удельная масса угловых колесок СВП составила у СПК "Денисон" 0,61 кг/кВт и 1,22 кг/кВт - у СПК "Вистори". Уже имеющиеся угловые колески в состоянии трансформировать мощность до 15 тысяч Вт. Значительное снижение массы и стоимости трансмиссии позволяет двигателю-шагающего комплекса СВП непосредственно за ВВ, как на французском СВП №500. После выполнения всех редукторов можно снизить и массу валопровода, которая зависит от его суммарной протяженности $L_{\text{вал}}$, частоты вращения $\nu_{\text{вал}}$, величины передаваемого крутящего момента и плотности используемого для изготовления материала $\rho_{\text{МАТ}}$. В массу валопровода $D_{\text{вал}}$ (кг) входит массы всех валов, спарных и главных упорных подшипников (если последние не встроены в двигатель или редуктор), вспомогательных упорных подшипников, муфт, соединительных болтов [102]:

$$D_{\text{вал}} = (1 + \alpha_{\text{вал}}) \rho_{\text{МАТ}} d_{\text{вал}}^2 l_{\text{вал}} (1 - m_{\text{вал}}); \quad (9.32)$$

$$\alpha_{\text{вал}} = \frac{2,75}{1 - m_{\text{вал}}^2} \sqrt{l_{\text{вал}}}; \quad (9.33)$$

$$d_{\text{вал}}^{\text{ТА}} \approx 0,26 \sqrt[3]{\frac{N}{\nu_{\text{вал}} [\sigma_T]}}; \quad (9.34)$$

$$d_{\text{вал}}^A \approx 0,645 \sqrt[3]{\frac{N}{(\tau_n)_{\text{вал}} (1 - m_{\text{вал}}^2)}}, \quad (9.35)$$

$\alpha_{\text{вал}}$ - коэффициент, учитывающий дополнительную массу вспомогательных элементов валопровода;

$d_{\text{вал}}$ - диаметр валопровода, м;

$m_{\text{вал}}$ - степень росточки нала валопровода - отношение внутреннего диаметра полого вала к его наружному диаметру;

$l_{\text{вал}}$ - длина валопровода, м;

$d_{\text{вал}}^B$ - диаметр вала с дизельной установкой, м;

$d_{\text{вал}}^T$ - диаметр вала с турбиной установкой, м;

$[\sigma_T], [\tau_n]$ - соответственно предел текучести и допускаемое напряжение кругления для используемого материала.

Здесь подразумевается, что величина $L_{\text{вал}}$ равна количеству главных двигателей $K_{\text{дв}}$

$$L_{\text{вал}} = K_{\text{дв}} l_{\text{вал}}. \quad (9.32)$$

Учитывая разнохарактерность и большую изменчивость составляющих нагрузок ЗУ (см. п.5 табл.9.2), их целесообразно учитывать в виде добавки к сумме составляющих масс, входящих в табл.4 табл.9.2. Можно отметить, что сумма специфический характер имеет здесь скрытая воздушная масса, масса которой считается пропорциональной количеству воздуха, подвергающегося очистке перед поступлением его во входное отверстие двигателя, или мощности установленного ГТД. Имеет значение и способ прокладки воздуха, и количество ступеней. В частности, сетчатые фильтры (трехэтажного типа) выполняются в виде модулей, установленных в стапельные рамы размерами обычно 1500×500 мм, (400×600) мм, количество ко-

торых выбирается из условия получения са-
ти проката через них очищенного воздуха
в пределах $\psi_1 = (3 \dots 5) \text{ м/с}$, где необходимо
максимальная площадь рамок $S_x (\text{м}^2)$ может
быть найдена из:

$$S_x = \frac{Q_{\text{д}}}{V_1}. \quad (9.34)$$

Тогда масса сечетого фильтра без учета
рамок определяется так:

$$D_{\text{фи}} = m_{\text{фи}} S_x, \quad (9.35)$$

где $m_{\text{фи}} = (5 \dots 7) \text{ кг/м}^2$.

В целом масса воздухопрояекторной системы, кроме инерционных и сечетых фильтров, входит система их обогрева при отрицательных температурах окружающего воздуха, а также система слива собранной после очистки воды, может быть оценена приближенно:

$$D_{\text{ф}}^x = m_{\text{ф}}^x N_x, \quad (9.36)$$

где $m_{\text{ф}}^x = (0,1 \dots 0,2) \text{ кг/кВт}$.

Если в качестве ГД используются ВД соотношения статей нагрузки и расхода $D_{\text{ф}}^x$ значительно меняются. Удельная масса сухих двигателей (см. табл. 8.2), как правило, лежит в пределах $(3 \dots 6) \text{ кг/кВт}$ [36]. Поскольку частота вращения выходного вала практически всегда совпадает (или близка) с частотой вращения нагнетателей в цепях трансмиссии, составляя здесь значительно меньшую долю от полной массы ЗУ. Небольшие значения передаваемой мощности позволяют использовать ременные и зубчатые передачи. Оценку компонентов ее можно произвести с

пользованием приведенных выше рекомендаций. При малого количестве воздуха, потребляемого ВД по сравнению с ГД, значительно упрощается и облегчается система газоходов и воздуходорожек. Этому способствует и то обстоятельство, что ВД имеет чувствительность к присутствию в воздухе морских солей, аэрозолей, пыли и т.д. Масса сухих двигателей в этом случае находится в пределах 30...50% от полной массы ЗУ. Тогда для СВП, оснащенных ВД, измеритель $P_{\text{д}}$ в (9.20) не превышает 10 кг/кВт .

9.5. Расчет запасов топлива

Запасом топлива $D_{\text{тп}}$, необходимого для обеспечения судну заданной дальности хода T , определяются исходы из суммарной мощности полной ЗУ N_x , расчетной скорости хода V , реального расхода топлива $R_{\text{тп}}$ — мощности турбо- или дизель-генераторов, которые используются для запуска ГД и питания судовой электропривод, и удельного или часового расхода топлива приводных двигателей, потребностей в маломощном масле для работы трансмиссий главных и вспомогательных двигателей:

$$D_{\text{тп}} = a_1 a_2 R_{\text{тп}} N_x \frac{T}{V}, \quad (9.37)$$

где a_1 — коэффициент, учитывающий морской ход за случай навигации, вызывающей снижение скорости. Ход судна на расчетном (применном) волнении при скорости, равной склонности движения во такой волне, но так называемой длительной мощности ГД сопровождается значительным снижением скорости на $(30 \dots 40)\%$ из-за

режима увеличения прямое исходо гидродинамического сопротивления (сопротивление "запасной ГО"). В связи с этим коэффициент α_1 принимается обычно 1,1.

С помощью коэффициента α_2 учитывают несплавленный остаток в топливных кистеринах дополнительные расходы топлива на прогрев ГД, работу их на холостом ходу, запуск, а также расход топлива на работу пусковых агрегатов, судовых источников тока и, кроме того, избыточные смазочные материалы, обеспечивающие смазывание трансмиссий, главных и используемых двигателей. Средние значения этого коэффициента также считываются величиной 1,1.

Удельный расход топлива $R_{\text{тп}}$ — как известно, зависит от типа установленного двигателя и от режима его работы. Уровень экономичности ГТД, приемлемых для установки СВП, может быть определен по данным рис.9.1.

С ростом агрегатной мощности удельный расход топлива имеет явную тенденцию к снижению, особенно когда $N < 10$ тыс.Вт. При дальнейшем росте мощности снижение $R_{\text{тп}}$ замедляется, приближаясь тем не менее к установленным показателям дизелей. И в таблице и на рис.9.1 можно заметить существенный разброс характеристик экономичности рассматриваемых ГТД, которая определяется температурой газа перед турбиной и степенью сжатия двигателя. С уменьшением мощности ГТД относительные потери в нем увеличиваются, что способствует росту удельного расхода топлива.

Аппроксимируя графическую зависимость рис.9.1 в интервале $N = (2000...7000)$ можно получить приближенное выражение $R_{\text{тп}}$ (кг/кВт·ч) для этого интервала

$$R_{\text{тп}} = -0,38 - 0,024 \cdot (N \cdot 10^{-3})^2. \quad (9.37)$$

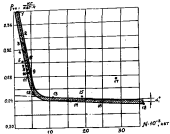


Рис.9.1. Зависимость удельного расхода топлива от агрегатной мощности зарубежных ГТД: 1 - TF25; 2 - TF35; 3 - TF40; 4 - 501KF; 5 - LM300; 6 - ME980-3; 7 - GTPF900; 8 - RM1c; 9 - 570KA; 10 - RM20; 11 - LM500; 12 - 570KA; 13 - SPEY; 14 - LM2500; 15 - RB211; 16 - FTB; 17 - FTA; 18 - LM5000

Для интервала мощностей $N = (8...35)$ тыс.Вт зависимость приобретает вид

$$R_{\text{тп}} = 0,25 - 1,43 \cdot 10^{-6} N. \quad (9.38)$$

Говоря об экономичности ГТД, следует иметь в виду уменьшение потребления ими топлива в первичных режимах [38], [135], что исключает возможность установки в качестве главного ГТД значительно большей, чем требуется для нужд СВП, мощности, если нет по-

238

ходящего среди предлагаемых промышленностью (рис.9.2).

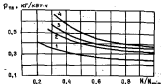


Рис.9.2. Удельный расход топлива зарубежных ГТД на различных режимах работы:

- 1 - LM 2500 ($N_{\text{ном}} = 19700 \text{ кВт}$,
 $t^* = 27^\circ\text{C}$); 2 - Тайк ($N_{\text{ном}} = 3300 \text{ кВт}$);
 3 - LM 1500 ($N_{\text{ном}} = 10300 \text{ кВт}$,
 $t^* = 38^\circ\text{C}$); 4 - Протей ($N_{\text{ном}} = 3300 \text{ кВт}$)

Повышение удельного расхода топлива можно определить по следующим приближенным формулам:

- для ГТД

$$(r_{\text{тп}})_t = (r_{\text{тп}})_{\text{ном}} \left[0,74 + 0,26 \frac{N_{\text{ном}}}{N_t} \right]; \quad (9.39)$$

- для ВД изменение удельного расхода топлива менее существенно

$$(r_{\text{тп}})_t = (r_{\text{тп}})_{\text{ном}} \left[0,9 + 0,4 \left(\frac{N_t}{N_{\text{ном}}} - 0,5 \right)^2 \right], \quad (9.40)$$

где $(r_{\text{тп}})_t$, N_t и $(r_{\text{тп}})_{\text{ном}} + N_{\text{ном}}$ - удельный расход топлива и мощность двигателя в

рабочей топливной и мощности двигателя в нормальном режимах соответственно.

Изменение $r_{\text{тп}}$ у ВД при переходе с рабочих на резервные, как правило, пренебрежимо мало.

Использование ГТД в качестве ГД ставит другие проблемы по обеспечению судна теплом. ГТД весьма чувствительны и по расходу, и по удельному расходу топлива к параметрам окружающего воздуха, в частности, к его температуре, к насыщенности соленой морской воды (табл.9.3 и рис.9.3).

Из табл.9.3 видно, что с повышением температуры окружающего воздуха снижается мощность на выходном валу и одновременно появляется удельный расход топлива. Это обстоятельство требует учитывать при подсчете расходов топлива, если судно будет эксплуатироваться в районах с повышенной температурой воздуха.

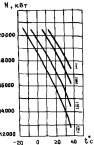
В то же время данные таблицы подтверждают, что ГТД должны использоваться в основном в тех называемых длительных маневрах, не превышающих $N = 0,8 N_{\text{ном}}$, або в полной комбинированной мощности предусматриваясь продолжительность работы их не более (15-20%) отговоренного условиями на постах двигателя ресурса (в настоящее время это составляет обычно менее 3 тыс.ч).

Те же проблемы приходят решать и при эксплуатации СВИ высокоскороточных дизелями. Для АСВИ приемлемы только ВД с воздушными или водо-воздушными охлаждениями. Для них характерно значительно большее увеличение массы за сравнение с ГТД, но главное препятствие к применению ВД с водо-воздушным охлаждением заключается в затруднении с отводом тепла с поверхности ВД. Это может привести к значительному перетяжению ЗУ, а не исключено,

240 Таблица 9.3
Зависимость мощности ГТД LM-2500 от срока его службы и температуры наружного воздуха

Режим использования двигателя	Ресурс (до полного разрушения двигателя), ч	Мощность, кВт	Удельная расхода топлива, г/кВт·ч	Мощность, кВт	Удельная расхода топлива, г/кВт·ч
		при $t^* = 21^\circ\text{C}$		при $t^* = 38^\circ\text{C}$	
I	800	19800	233	17200	242
II	2500	18700	234	16000	245
III	5000	16950	238	14200	250
IV	8000	15400	244	12550	260

рас. В. Зависимость мощности ГТД LM-2500 от температуры окружающего воздуха во различных эксплуатационных режимах I - работе 500 ч II - 1500 ч III - 5000 ч IV - 8000 ч



то выигрыши в экономичности и стоимости агрегата по сравнению с ГТД будет свидетельствовать.

По этой причине в качестве газовых на АСВТ используются ВД воздушного охлаждения, выпускающиеся в относительно узком диапазоне рабочей мощности (см. табл. 8.2), что позволяет применять их только на больших СВП.

Значительно возрастут капитальные затраты на судно на создание необходимых трансформаторов, отличающихся сложностью, большой массой и высокой стоимостью.

Для поиска массы топлива определено правило времени $t_{\text{топ}} = \tau / v_{\text{расч}}$ при выполнении

в ТЗ дальности хода τ производится для скорости спирального хода v на поправки с интенсивностью (0...2) балла. При высоте волны 3% ее обеспеченности около 0,5 м и длительной работой ГД, соответствующей $N_e \approx 0,8 N_{\text{ном}}$, это приводит к тому, что расчетная (для опре-

запасом топлива) скорость хода $\bar{U}_{\text{расх}}$ (в 3...5 раз меньше максимальной $U_{\text{макс}}$, со-ответствующей условиям тихой воды и $N = (0,8, \dots, 1,0) N_{\text{ном}}$:

$$U_{\text{расх}} = U_{\text{макс}} / (3 \dots 5). \quad (9.41)$$

Таким образом, дробление мощности, давшее выигрыш в запасах потребляемого топлива, приводит к уменьшению в массе и стоимости ЗУ по компонентам трансмиссий и ингегиетиков. При обосновании типа и компоновки ЗУ речь идет о решении экстремальной задачи (1.24), в процессе рассмотрения которой должны быть учтены эксплуатационные расходы в капитальные затраты, связанные не только с выбором и функционированием ЗУ, но и с изменением эффективности судна из-за сопутствующих изменениям полоской грузоподъемности.

Доля запасов топлива на СВП достаточна велика при сравнительно незначительной длине хода:

$$\frac{D_{\text{топ}}}{D_a} = \alpha_1 \alpha_2 g p_{\text{топ}} \tau^p \frac{N_x}{g D_a \bar{U}}. \quad (9.42)$$

Здесь $\bar{N}_x = \frac{N_x}{g D_a \bar{U}}$ — безразмерная характеристика, используемая для транспортных средств (g — гравитационная постоянная). Для одного из наиболее современных гражданских АСВП — французского СВП № 500 (158):

$$(\bar{N}_x)_1 = \frac{N_x}{g D_a \bar{U}} = 0,129. \quad (9.43)$$

Сравним его возможности с возможностями сухогрузного водогаммаивающего судна, имею-

щего $D_n = 21425$ т, $N_x = 17000$ кВт, $\bar{U} = 22,3$ уз, $\tau = 13000$ миль, $D_{\text{топ}} = 2337$ т, $p_{\text{топ}} = 0,21$ кг/кВт·ч:

$$(\bar{N}_x)_2 = \frac{N_x}{g D_n \bar{U}} = 0,00708.$$

Здесь индекс 1 при N_x присвоен характеристикам СВП, а индекс 2 — характеристикам сравниваемого с ним сухогрузного судна.

$$\Gamma_1 = \Gamma_2 \frac{(\bar{N}_x)_2}{(\bar{N}_x)_1} \frac{(p_{\text{топ}})_2}{(p_{\text{топ}})_1}.$$

Удельный расход топлива ГТД ТЕ 40 установленный на СВП № 500, составляет при эксплуатации ЗУ на линейной мощности ($p_{\text{топ}})_1 = 0,34$ кг/кВт·ч. Стремление сократить $D_{\text{топ}}/D_a$ на уровне 10,8 возможно для СВП типа № 500 только при условии назначения дальности его хода $\tau = 440$ миль.

Столь большой запас топлива у СВП в процессе расходования значительно изменяет величину полной массы. Уменьшение массы судна приводит к снижению потребляемой полусырьем и энергетическим компонентами мощности. Пренебрегая увеличением удельного расхода топлива $\rho_{\text{топ}}$ за первоначальных режимах работы ГП и предполагая скорость хода судна U постоянной, а массу топлива $D_{\text{топ}}$ в составе полной массы D_a изменяющейся во времени t , производство от текущего значения $(D_a)_t$ по времени может записать в виде (164):

$$\frac{d(D_a)_t}{dt_t} = - \frac{d(D_{\text{топ}})_t}{dt_t} = - p_{\text{топ}} N_x, \quad (9.44)$$

где $(D_{t_0})_k$ — текущее значение массы топлива.

Приращение пройденного судном расстояния

$$dr = v dt_k. \quad (9.45)$$

Пройденное судном за время t_k расстояние r можно определить, интегрируя выражение (9.45) от 0 до t_k или выражение dt_k его зависимостью от $d(D_a)_k$ (9.44). После интегрирования нового выражения от $(D_a)_k$ по $(D_a)_k$ найдем уточненное значение дальности хода судна r^* (миль):

$$r^* = \frac{(D_a)_k \cdot \sigma}{N_k P_{tp}} 1000 \ln \frac{(D_a)_k}{(D_a)_0} + \quad (9.46)$$

где nowobim no условия, что масса топлива есть разность между начальной и конечной массами судна

$$D_{t_0} = (D_a)_0 - (D_a)_k. \quad (9.47)$$

Преобразуя выражение (9.46) при ~~записи~~ (9.47) и приняв в качестве ранее обозначенное $(D_a)_0 = D_0$, получим:

$$r^* = \frac{1000 (D_0 - D_{t_0}) \sigma}{N_k P_{tp}} \ln \frac{D_0}{D_0 - D_{t_0}}. \quad (9.48)$$

Выражения (9.48) и (9.46), есть упрощенное выражение Броуга [164], [62], которое D_0 , D_{t_0} подставляются в тоннах, в узлах, N_k — в киловаттах, P_{tp} — в килогорючинах на киловатт час ($кг/кВт\cdot ч$).

Развитие в выражениях ($r^* - r$) при установленном запасе топлива в зависимости от отношения P_{tp}/D_0 и экономичности ГД P_{tp} может доходить до (10...15)% от r , принятого в предыдущем расчете дальности хода.

Говоря о формировании запаса горючо-смазочных материалов на судне [176], надо отметить, что они не должны быть легковоспламеняющимися, и в отечественной и зарубежной практике на СПП чаще всего используется дизельное топливо, а также керосин. Объем топливных цистерн определяется исходя из его плотности, которую в расчетах следует принимать $\rho \approx (0,82...0,84) \text{ г/м}^3$ (в частности, дизельное топливо имеет $\rho = 0,84 \text{ г/м}^3$, применяемое в зарубежной практике JP-5 имеет $\rho = 0,82 \text{ г/м}^3$).

Расположение топливных цистерн основного запаса и возможности топливной системы должны позволять использовать топливо в качестве перевозимого балласта для регулирования центровки судна.

9.6. Определение массы ГО

В составе нагрузки по судну в отечественной практике ГО включаются в раздел "судовые устройства" и на него приходится, как правило, (60...70)% от этого раздела. Под массой ГО понимают не только массу спасательных конструкций, но и массу крепежа. Слова же относят и приспособления для управления ГО или крепления его к корпусу, если таковые имеются.

Естественно, что основная часть совокупной массы ГО приходится на счету используемого материала, из которого изготавливаются

246

издатливые конструкции. Раскрой плоских листов, которые затем соединяются в пространственную конструкцию (они могут сдвигаться, скользить, собираться на болтах), выполняется в рукояти обрезиненной ткани, толщина и поверхность плотность которой соответствуют расчетам прочности ГО гибкого типа. Как отмечалось, доминирующими в назначении толщины и поверхностной плотности являются избыточное давление в области ВП и в заданных конфигурациях гибкого раскрыва, а также геометрические размеры, определяющие различия в пирамидах, конусах, сferах, торах, во которых размещается пространственная конструкция, имеющая ГО. Большое значение имеет и тип ГО, его конструкция, соотношение h_{go}/B_{go} , соотношение высоты гибкого раскрыва к НЭ, форма и количество этих элементов, наличие или отсутствие секционирующих плюшевых ВП ГО, условия эксплуатации. В конечном итоге масса ГО пропорциональна поверхности площади используемого материала, поэтому можно предположить, что приближенная зависимость для оценки D_{go} в начальных стадиях проектирования будет, например:

$$D_{go} = \varrho_{go} B_{go} h_{go}, \quad (0.48)$$

$$D_{go} = \varrho'_{go} B_{go} h_{go}. \quad (0.50)$$

Измерители ϱ_{go} и ϱ'_{go} в этих выражениях следует принимать или по приемльному аналогу ГО, или по статистическим данным. Разнообразие типов ГО, специфических особенностей их структуры и малая выборка делают статистические данные крайне ненадежными, поэтому лучше Использовать аналоги (прототипы). Измерите-

ле для СВП, оснащенных ГО 1 типа, имеет довольно значительный разброс ϱ_{go} (45 ± 15) кг/м². Значительно большую устойчивость обладает измеритель ϱ'_{go} для отражений того же типа:

$$\varrho'_{go} = (11 \pm 1.5) \text{ кг/м}^2.$$

Так, например, американские КВР **JEFFA** и **JEFFB** имеют значения этого измерителя соответственно 9.35 кг/м^2 и 11.6 кг/м^2 . При одинаковой высоте ГО, близких значениях развернутой и давленой в ВП сравниваемых кораблей масса ГО в долях от полной массы у **JEFFA** составляет 2.2%, а у **JEFFB** - 3.3%. Это объясняется прежде всего отсутствием склоняющих продольного и попеченного киль у **JEFFA** и (см.табл.6.3) использованием для всех компонентов ГО материалов с поверхностью плотностью $\varrho_{go} = 1.89 \text{ кг/м}^2$, в то время как у **JEFFB** для гибкого раскрыва применяется материал $\varrho_{go} = 1.88 \text{ кг/м}^2$, а для НЭ $\varrho_{go} = 3.05 \text{ кг/м}^2$.

Для отечественных и зарубежных СВП масса ГО в долях от полной массы СВП составляет (см.8.4) [164] в среднем (3...5%). Графи-

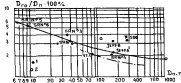


Рис.8.4. Масса ГО в долях от полной массы судна [164]: 1 - существующие суда; 2 - проектируемые

ческая зависимость, полученная по сужам, ее применение в основном ГО 1 типа, может привести для определения приближенных значений его массы в диапазоне от $D_{\text{н}}$.

У СВП, основанных ГО без замкнутого рессора и симметричных краев, а также ГО, изготовленными из легких материалов, как это видно на примере СВП ВТ1, можно достичь снижения их массы на 15...20%.

У СВП М500, основанного ГО Ш типа, имеющего полную массу 265 т, $S_{\text{н}} = 840 \text{ м}^2$, $H_{\text{го}} = 2,5 \text{ м}$, ГО обладает массой $D_{\text{го}} = 87 \text{ т}$, что составляет 3,4% от $D_{\text{н}}$. Совокупная масса разработок используемого материала составляет 2000 м³.

После того как схема ГО принята, можно найти его массу, определив прежде суммарную площадь материала $S_{\text{го}}$, который будет использован для его изготовления.

Рассмотрим алгоритм приближенного определения $S_{\text{го}}$, если в качестве отходов воспользовано ГО 1 типа (рис.9.5):

$$S_{\text{го}}^x = S_{\text{тр}}^x + S_{\text{из}}^x, \quad (9.51)$$

где $S_{\text{тр}}^x$ - площадь материала, необходимая для рабочего рессора, без учета отходов при раскрое; $S_{\text{из}}^x$ - площадь материала, используемого для всех НЗ.

Для подсчета $S_{\text{го}}^x$ предположим, что он состоит из двух слагаемых. Первое слагаемое учитывает площадь материала, формирующего периферийный тибет рессор:

$$S_{\text{тр}}^{(1)} = L_{\text{го}} B, \quad (9.52)$$

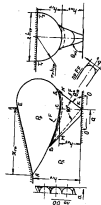


Рис.9.5. Схема ГО 1 типа для расчета его массы

где $L_{\text{гл}}$ - длина гибкой линии поперечного сечения рессора, соответствующая длине линии ABCDE на рис. 9.5.

Второе слагаемое позволяет найти площадь материала гибкого рессора сжимающихся продольного и поперечного кильев в предположении, что продольный киль непрерывен по жесткому днищу судна от точки А в его носовой оконечности до такой же точки в корме. Гибкий рессор поперечного сжимающегося килья состоит из двух равных отрезков между точками А и Т₁, и А и Т₂, с каждой стороны от продольного киля. Выражение для 2-го слагаемого примет вид

$$S_{\text{гр}}^{(2)} = 2h_{\text{гр}}(L_n + B_n - 4x_{\text{гр}} - 2h_{\text{гр}}). \quad (9.53)$$

Предполагается, что суммарная поверхность периферийного НЭ состоит из двух боковых стенок и соединяющей их передней заклонной стенки:

$$(s_{\text{НЭ}})_n = \frac{2h_{\text{нэ}}(h_{\text{нэ}} + b_3 \cos \theta^*_{\text{нэ}})}{\sin 2\theta^*_{\text{нэ}}}. \quad (9.54)$$

Число НЭ при условии идеальности их каскаду параметру ВП можно определить как

$$n_{\text{нэ}} = \frac{n}{b_3}. \quad (9.55)$$

Поверхность каждой стени, образующей каскадную цепь сжимающихся кильев, приближенно можно найти с помощью выражения

$$(s_{\text{нэ}})_0 = \frac{h_{\text{нэ}}}{\sin \theta^*_{\text{нэ}}} (L_n + B_n - 4x_{\text{гр}} - 2h_{\text{гр}}). \quad (9.56)$$

Общая площадь материала ГО

$$S_{\text{гр}}^X = S_{\text{гр}}^{(3)} + S_{\text{гр}}^{(2)} + n_{\text{нэ}}(s_{\text{нэ}})_0 + 2(s_{\text{нэ}})_c. \quad (9.57)$$

Для материала периферийного гибкого рессора согласно выражению (6.40) можно найти приближенное значение его поверхности $S_{\text{гр}}$.

Если все ГО изготавливаются из одинакового материала, то массу его можно найти, воспользовавшись выражением

$$D_{\text{гр}} = C_{\text{гр}} S_{\text{гр}} S_{\text{гр}}^X, \quad (9.58)$$

где коэффициент $C_{\text{гр}} = 1,15...1,20$ зависит от массы крепежа, компонентов, диафрагм, погрешности предложенной схемы расчета величины $S_{\text{гр}}^X$ и, в частности, количеством панелей крепления гибкого рессора в носовой части судна, а также использование цельных НЭ в коридорной и в угловых частях Г. Аналогично могут быть получены приближенные методами вычисления массы ГО других типов (конусных, ГО с неизменным радиусом и т.д.).

Очевидно, что окончательное значение массы ГО определяют по его рабочим чертежам.

9.9.7. Точность расчетов нагрузки, износостойкости запасов водонемощущения и сопротивляемости СИМ

У рассматриваемых судов для массы каскадов в составе полной их массы значительно выше, чем у судов традиционного типа, поэтому повышение эффективности СИМ за счет дальнейшего снижения грузоподъемности возможно только на основе тщательного анализа нагрузок и контроля масс с учетом расхода, стоимости, технологичности комплектующих компонентов,

Формулы, по которым производятся расчеты различных нагрузок, как правило, выработанные и сугубо приближенные, должны статистически уточняться по данным близких прототипов. Расчеты желательно выполнять по скольким альтернативным возможностям, сравнивая их между собой, уточняя имеющиеся из них практические коэффициенты (измерители) и используя для этого линейные статистики и проверенных прототипов. Такой предварительный анализ нагрузки является базой для разработки входных данных и лимитов при расчетах нагрузки.

Разработчики корпуса, систем, устройств ЗУ, электрооборудования выделяют лимиты масс, и пределах которых оказывается получение нагрузки по соответствующему разделу. Для данного типа судов совершенно объективной является неточность выдаваемых лимитов, что может объясняться отсутствием достаточного опыта в проектировании и постройке, отсутствием удачных архитектурных форм и компоновочных решений создаваемых судов, а также тем, что многие применения на судах механизмы, оборудование, приборы оказываются специальными разработанными для рассматриваемого проекта судна, потому в подобных контрагентских востребованных массах задания часто значительно отличаются от предварительно согласованной. В расчетах различных нагрузок играет роль вид формул и степень реобвязки нагрузки на составляющие. Это делает обоснование практикуемое при проектировании разумерование массы судна на пропуск каких-то составляющих, возможные ошибки в расчетах и другие случаи включаются в массу проектируемого судна ~~раздела~~, с учетом которого компенсируются ~~коэффициенты~~ превышения общей массы и которая ее стандартной разнице изменяется запасом D_{3B} .

Запас водонесущности в свою очередь состоит из следующих статей:

$$D_{3B} = D_{3B1} + D_{3B2} + D_{3B3}, \quad (9.59)$$

где D_{3B1} - оговоренный заказчиком и расходуемый им при проектировании, за время постройки затес на модернизацию создаваемого объекта (он может и отсутствовать);

D_{3B2} - оговоренный заказчиком и расходуемый только с его разрешениями за счет технического прогресса, обеспечивающий возможность модернизации образцов устаревшего уже в процессе проектирования и постройки судна оборудования, если учесть, что этот процесс занимает сегодня 5...10 лет (в зависимости от степени новизны, сложности и размеров создаваемого объекта, наличие или отсутствие D_{3B1} в нагрузке - пророгами заказчика);

D_{3B3} - собственно запас водонесущности в традиционном понимании, назначенный главным конструктором и расходуемый с его ведома для компенсации возможных отклонений, о происхождении которых было сказано выше.

Величины D_{3B1} и D_{3B2} предусматривают, как правило, возможность замены, например, компонентов вооружения, систем управления огнеголовками, радиотехнических и навигационных приборов, т.е. тех составляющих оборудования объекта, которые разрабатываются и совершенствуются особенно стремительно и которые могут существенно улучшить его тактико-технические характеристики.

теристики. Каждая из этих статей может со-ставить резерв нагрузки в пределах (1..3)% $D_{n\bar{n}}$.

Величина запаса водонизмещения в зависимости от массы создаваемого судна и стадии разработки его проекта принимается для судов с полной массой порожнем до 100 т:

– при наличии прототипа

$$D_{38\bar{0}} = (0,02 \dots 0,03) D_n \left(1 - \frac{D_{rp} + D_{tp}}{D_n} \right); \quad (9.60)$$

– при отсутствии прототипа

$$D_{38\bar{0}} = (0,03 \dots 0,06) D_n \left(1 - \frac{D_{rp} + D_{tp}}{D_n} \right). \quad (9.61)$$

Если в выражениях (9.60) и (9.61) численные коэффициенты рассматривать в процентной терминологии как измерители запаса водонизмещения P_{38} , то значение их для судов с полной массой порожнем свыше 100 т при наличии прототипа оказываются в пределах

$$P_{38} = 0,015 \dots 0,025, \quad (9.62)$$

– при отсутствии прототипа

$$P_{38} = 0,025 \dots 0,040. \quad (9.63)$$

Имея в виду, что в (9.60), (9.61) выражениях в последние скобках реально соответствуют значениям 0,4..0,6, рекомендуемый для раздела запаса водонизмещения от полной массы судна колеблется в пределах (1,0..2,5)% от D_n .

В приведенных выражениях большие значения коэффициентов соответствуют стадии технического предложении, средние значения – стадии

для основного проекта, а меньшие значения – стадии технического проекта.

Назначенные нормы запаса водонизмещения $D_{38\bar{0}}$ для малых особо сложных и не высоких аналогов судов могут иногда увеличиваться до (50..100)%. Предполагается, что центр тяжести всего запаса водонизмещения D_{38} по длине L , по ширине судна спадает с центром тяжести судна порожнем:

$$(x_g)_{38} = \frac{\sum D_i x_i}{D_n - D_{rp} - D_{tp}}; \quad (9.64)$$

$$(y_g)_{38} = \frac{\sum D_i y_i}{D_n - D_{rp} - D_{tp}}. \quad (9.65)$$

Кроме запаса водонизмещения при расчетах нагрузки вводится так называемый запас остойчивости Δz_{38} . Это выражается в том, что центр тяжести запаса водонизмещения принимается с запасом (x_g)₃₈ на Δz_{38} больше, чем запасом центра тяжести судна порожнем. Запас остойчивости нормируется: он принимается большим у судов большого водоизмещения, при отсутствии прототипа его увеличивают. В процессе проектирования Δz_{38} уменьшают при переходе от одной стадии к другой.

$$(z_g)_{38} = \frac{\sum D_i z_i}{D_n - D_{rp} - D_{tp}} + \Delta z_{38}. \quad (9.66)$$

$$\text{Здесь } \sum_i D_i x_i, \sum_i D_i y_i, \sum_i D_i z_i$$

– суммы моментов масс судна порожнем относительно мидель-шпангоута, диаметральной и осевой плоскостей соответственно.

Для судов с массой порожнем до 100 т
 $\Delta Z_{30} = (0,07 \dots 0,15) \text{ м}$ (9.67)

свыше 100 т

$$\Delta Z_{30} = (0,08 \dots 0,20) \text{ м.} \quad (9.68)$$

Столь значительный запас остойчивости обусловлен тем, что наибольших ошибок в предварительной оценке нагрузки следует ожидать в тех ее разделах, которые комплектуются из постоянных сторонами исполнителями - механиками, устройства, приборов и, частично реабилитируются заново. Это в первую очередь касается приборов управления, автоматики, контроля, извещателей, боевого и радиотехнического вооружения, которые, как правило, располагаются на палубе, в рубке, на крыше надстройки, и ошибки в назначении их массы чреваты снижением остойчивости судна.

Указанные выше специфика рассматриваемых судов требует тщательного весового контроля, исключающего на всех стадиях их проектирования и при постройке возможность чрезмерного роста массы. Рост массы по первоначальным эскизам причинам в большинстве случаев есть явление объективное, однако перетяжка может отражать недостаток смысла, неоптимальность конструктивных решений, отсутствие оправданных и обоснованных расчетных методик, чрезмерные прочностные запасы при проектировании конструкций, отсталость технологий или отсутствие должной технологической культуры производства.

§ 9.8. Использование метода приращений в расчетах нагрузки СВП

В проектировании судов широко известен способ составления и решения уравнений нагрузки в дифференциальной форме (форме приращений). Этот метод предполагает наличие судно-прототипа, характеристики которого задаются в проектировании предусматривается вполне ясными. Изменение может подвергаться скорость U , дальность хода F , требуемая мореходность (высота преодолеваемой волны $h_{\text{взл}}$), расстояемость, тип, количество ГД и коммозаводов ЗУ, может предусматриваться установка дополнительного или замена (модернизация) спасоборудования и т.п.

Изменение в связи с этим полной массы судно-прототипа лучше определять с помощью дифференциальных методов (приращений), чем классическим путем методом последовательных приближений. Эта же идея может использоваться и в расчетах нагрузки судна при его уширении, удлинении, увеличении высотынесущих конструкций, надстройки и т.п.

В этом случае новая масса судна (D_n) определяется выражением

$$(D_n)_1 = (D_n)_0 \pm \sum_k \left(\frac{\partial D_n}{\partial i_k} \Delta i_k \right). \quad (9.69)$$

Здесь $(D_n)_0$ - исходная полная масса судна прототипа; i - изменяемый параметр (их возможный диапазон приведен выше); k - число изменяемых параметров.

В выражении (9.69) $\sum_k \frac{\partial D_n}{\partial i_k} \Delta i_k$ есть приращение массы судна D_n .

256

Слагаемые, входящие под знак суммы, могут иметь вид

$$\Delta D_n = \frac{\partial D_n}{\partial \vartheta} \Delta \vartheta + \frac{\partial D_n}{\partial r} \Delta r + \frac{\partial D_n}{\partial p_{yy}} \Delta p_{yy} + \dots + \frac{\partial D_n}{\partial L_{жк}} \Delta L_{жк} \quad (9.70)$$

Каждое из слагаемых правой части выражения (9.70) можно рассматривать как градиент полной массы судна в связи с изменением таких характеристик, как скорость его хода на величину $\Delta \vartheta$, дальность хода — на Δr ; с появлениею какой-то дополнительной массы или, например, массы перевозимого груза ΔD_{gr} ; с заменой типа или компоновки ЗУ сопровождаемой Δp_{yy} ; и т.д. Приращения $\Delta \vartheta$, Δr , ΔD_{gr} , $\Delta p_{yy}, \dots, \Delta L_{жк}$ отображаются в задаче, а коэффициенты роста полной массы $\frac{\partial D_n}{\partial L_{жк}}$ называются уже напечатаными функциональными связями компонентов нагрузки от $\vartheta, r, D_n, \dots, L_{жк}$.

Одна из возможных спутниц использования этого метода сводится, например, к пересчету результатов нагрузки прототипа при отображении изменениями его элементов:

$$(D_n)_1 = (D_n)_0 \pm \frac{\partial D_n}{\partial D_{gr}} (\bar{D}_i \Delta i). \quad (9.71)$$

Здесь \bar{D}_i — удельный показатель массы, отнесенный к изменяющимся параметрам судна i (например, к длине корпуса $L_{жк}$), к высоте воздушной подушки B_m или к площади дистанционного постона $B_{плт}$ к высоте несущего постона $H_{пост}$ и т.д.). Это может быть, к пра-

веру, масса листового корпуса, отнесенная к длине $L_{жк}$:

$$(\bar{D}_{kp})_L = \frac{D_{kp}}{L_{жк}}, \quad (9.72)$$

или к площади ВП:

$$(\bar{D}_{kp})_S = \frac{D_{kp}}{S_a}. \quad (9.73)$$

В выражении (9.71) $\frac{\partial D_n}{\partial D_{gr}}$ оказывается коэффициентом Нормана. Действительно, рассматривая $(\bar{D}_i \Delta i)$ как приращение постоянных масс ΔD_{gr} в уравнении нагрузки, можно получить

$$\Delta D_{gr} = (D_n)_1 - D_{nep} - D_{gr} - D_{te} - D_{зен}. \quad (9.74)$$

Совокупность последних четырех слагаемых правой части выражения (9.74) есть полная масса судна прототипа $(D_n)_0$, исключающая массу судна кораблем D_{nep} , массу перевозимого груза D_{gr} , массы топлива и жидкости со снабжением $D_{зен}$. Сумма $(D_{gr} + D_{зен})$ может быть принята постоянной, следовательно

$$D_{gr} = (D_n)_1 - D_{nep} - D_{te} - D_{зен}. \quad (9.75)$$

Дифференцируя (9.75) в частных производных, получим

$$\frac{\partial D_{gr}}{\partial (D_n)_1} = 1 - \frac{\partial (D_{nep} + D_{зен})}{\partial (D_n)_1}, \quad (9.76)$$

откуда видно, что это величина, обратная коэффициенту Нормана $\bar{D}_{нор}$ (103):

$$\eta_{\text{Нор}} = \frac{\partial D_n}{\partial D_{T_0}} = \frac{1}{1 - \frac{\partial(D_{\text{нор}} + D_{T_0})}{\partial D_n}}. \quad (8.77)$$

Тогда при пересчете можно пользоваться зависимостью, аналогичной следующей:

$$(D_n)_1 = (D_n)_0 \pm \eta_{\text{Нор}} [(D_{\text{нор}})_L \Delta L_{\text{нор}}]. \quad (8.78)$$

Для приближенной оценки значение коэффициента Нормана существующих АСВП будем исходить из следующего предположения:

$$\frac{\partial(D_{\text{нор}} + D_{T_0})}{\partial D_n} = \frac{D_{\text{нор}}}{D_n} + \frac{D_{T_0}}{D_n} = \bar{D}_{\text{нор}} + \bar{D}_{T_0}. \quad (8.79)$$

Реальные значения коэффициента $\eta_{\text{Нор}}$ (табл. 9.4) пополам вдвадцати и в среднем составляют $\sim 3,0$.

Коэффициент Нормана есть мера уменьшения полной массы СВП, выдаваемого одновременным изменением отдельных составляющих при условии сохранения характеристики судна.

Использование этого коэффициента, однако, возможно только для ориентировочных оценок массы и характеристик СВП в начальных стадиях проектирования и при незначительных изменениях параметров и составляющих нагрузки судно-прототипа, поскольку в основе расчета коэффициента Нормана (8.77) лежит принцип использования правила линейного подобия. В выражении (8.77) не учитываются, например, имеющиеся резервы прочности конструкций, учет которых сделал бы в ряде случаев этот коэффициент меньшим по величине. Наше предположение о возможности замены частных производных от компонентов нагрузки по полной массе $\partial D_L / \partial D_n$ величиной типа \bar{D}_L (см. (8.79)),

Таблица 9.4

Страна, изготавливаю- щие СВП	Коэффициент Нордена $\eta_{\text{Нор}}$	У турбодизелей СНП			
		Лиггин SRN № 3	Лиггин SRN № 1	Лиггин VT 2	Франция M 500
η _{Нор}	3,05	2,84	3,21	3,05	3,12

где коэффициент m есть показатель степени в выражении для определения рассматриваемого компонента, например

$$D_i = \alpha_i D_n^m, \quad (9.80)$$

являет склон в крайне ограниченных пределах отложений массы $(D_n)_1$ от массы $(D_n)_0$.

Для пересчета составляющих нагрузки СВП при неизвестных изменениях определяющих их размеров, площадей или объемов можно, пользуясь понятиями, изложенными (8.72) или (9.73), найти, например, по зависимости, аналогичной приведенной ниже, новую массу металлического корпуса $(D_{\text{кр}})_\text{мет}$ при небольшом увеличении или его длины $\Delta L_\text{жкл}$, или высоты поясов $\Delta H_\text{жкл}$ небольшом удлинении судна $A B_\text{жкл}$ и т.д.

$$[(D_{\text{кр}})_\text{мет}]_1 = [(D_{\text{кр}})_\text{мет}]_0 + q_{\text{пер}} [(D_{\text{кр}})_\text{мет}]_0 \Delta L_\text{жкл}. \quad (9.81)$$

Глава 10. МЕТОДОЛОГИЯ ПРОЕКТИРОВАНИЯ СВП

§ 10.1. Главные размерения СВП и их взаимосвязь с его характеристиками и требованиями исходных данных

Свойства изучаемых судов определяются в первую очередь, параметрами и характеристиками ВП.

После предварительного определения главной массы судна D_B по статистическим зависимостям решения уравнений нагрузки, с учетом

$$P_B = \frac{g D_B}{S_B}$$

можно установить связь между характеристикой и размерами судна;

$$D_B = P_B \cdot \frac{\alpha_B^{1/2} G_B}{(L_B/B_B)^{1/2}} L_B^3. \quad (10.1)$$

Введя по аналогии с подобными судами понятие относительной длины ВП

$$l_B = \frac{L_B}{(D_B/P_B)^{1/3}} + \quad (10.2)$$

в (10.1) можно получить выражение

$$l_B = \frac{(L_B/B_B)^{1/2}}{\alpha_B^{1/2} G_B^{1/3}}. \quad (10.3)$$

Значение L_B/B_B рекомендуется принимать в интервале 2,0...2,5 [55], а коэффициент полноты плавания ВП α_B близок к 1 и для большинства СВП может определяться с помощью выражения (1.5). Величина коэффициента G_B в наибольшей степени зависит от назначения СВП и колеблется от 0,01 до 0,03.

Пользуясь данными прототипа или статистических данными, можно определить l_B , в соответствии с L_B .

Если принять, например $L_B/B_B = 2,5$, то по формам ВП в плане (рис.10.1) согласно (1.5) $\alpha_B = 0,96$, а для СВП с малыми значениями давления в ВП, имеющих коэффициент $G_B = 0,01$, получим $l_B = 7,74$. Аналогично

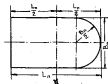


Рис.10.1. Наиболее распространенная форма ВП в плане

для СВП, предназначенных для перевозки тяжелых грузов и имеющих малые габариты и соответственно высокие значения давлений в ВП (как у американских КВП JEFFA, JEFFB, LCAC), получим $L_a = 5,36$.

Предлагаемый путь определения L_a , B_a ,

R_p , основанный на использовании существующего опыта или данных походного прототипа, применим только для их предварительной оценки.

Эксплуатация существующих СВП позволяет установить, что имеется тесная связь между размерами СВП, характеристиками его формы и энергоизрасходованием с одной стороны, и условиями, в которых предполагается его будущая эксплуатация, с другой. Именно из этой приведенной в ТЗ на проектируемое судно всегда отмечается предполагаемый район его эксплуатации.

Для изоморфных арктических СВП, например, указываются предельные высоты преодолеваемых волн, углы преодолеваемых уклонов поверхности. В соответствии с высотой преодоле-

ваемого и клиренс под жесткими панелями, который можно считать базовой величиной при определении высоты ГО.

Для морских АСВП изучается район эксплуатации с точки зрения синуса повторяемости волн и возможных предполагаемых путей следования судна [37], [62]. Это важно для построения краевых обстановок скорости ветра и высот преодолеваемых волн применительно к району эксплуатации. С помощью этих краевых можно учесть условия будущей эксплуатации при работе приемлемого СВП, а также установить расписание его эксплуатации в различные времена года и получить годовой резерв времени (продолжительность) его эксплуатации для оценки эффективности и прогнозирования ожидаемой прибыли. Степень снижения скорости хода ради изоморфных СВП на волнении различной интенсивности по отношению к их предельной скорости хода на такой воде показана на рис.10.2 [78], а оценивается выражениями (3.33) и (3.34).

Важно, что снижение скорости определяется величиной клиренса под жесткими корицами и вспомогательным шириной судна к высоте преодолеваемой волны. В то же время с точки зрения обеспечения остойчивости СВП существует критическая связь между допустимой высотой ГО и шириной судна B_p . Именно поэтому высота преодолеваемой волны, характерная для предполагаемого района эксплуатации, сразу предупреждает о минимальные допустимые размеры судна.

На рис.10.3 [112] приведены зависимости минимальных допустимых значений подъема края палубы и высоты h_{cr} в функции от параметров кильбата и заданной скорости хода СВП при условии ограничений вертикальных перегрузок P_{zz}

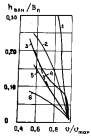


Рис.10.2. Отношение преодолеваемой высоты волны $h_{\text{волн}}$ к ширине ВЛ в зависимости от отношения средней достижимой скорости U к скорости на текущей волне $U_{\text{тек}}$: 1 - SRM8 ($B_d = 1,2 \text{ м}$); 2 - SRM5 ($1,2 \text{ м}$); 3 - SRM2.5 ($1,2 \text{ м}$); 4 - SRM2 ($0,6 \text{ м}$); 5 - SRM0.5 ($1,2 \text{ м}$); 6 - SRM0.3 ($0,3 \text{ м}$)

испытываемых судном на волнах, с ограничениями $n_x \leq 0,5$ и $n_y \leq 0,1$. Для пассажирских СВЛ при длительных режимах эксплуатации допустимым считается уровень ускорений, не превышающий $n_x \leq 0,1$ при частотах 2 Гц, а то же самое как перегрузки с ограничением $n_x \leq 0,5$, как отмечено в [12], допустимы при продолжительности их воздействия не более 20 мин. Эти зависимости следует использовать в качестве ограничительных для оценки принимаемых размерений и массы СВЛ, получаемых согласно требованиям вместимости, остойчивости, ходостности.

Высота преодолеваемой волны $h_{\text{волн}}$ в толще ГО, как отмечалось выше, обычно выражается в соотношении

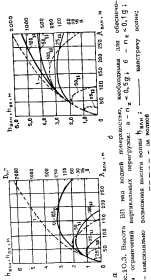
$$h_{\text{волн}} = (1,1 \dots 1,2) h_{\text{волн}} \quad (10.4)$$


Рис.10.3. Высота ВЛ над водной поверхностью, выраженная для общего коэффициента передачи: 0 - $n_x < 0,5$; 1 - $n_x < 0,1$; 1 - максимальная возможная высота волны $h_{\text{волн}}$; 2 - минимальная возможная высота волны $h_{\text{волн}}$; 3 - средняя высота волны $h_{\text{волн}}$; 4 - средняя высота волны $h_{\text{волн}}$; 5 - максимальная высота волны $h_{\text{волн}}$; 6 - минимальная высота волны $h_{\text{волн}}$

Множитель перед $h_{\text{авн}}$ учитывает уменьшение податливости ГО в узлах крепления его к жесткому корпусу судна.

Прокладывание под днищем СВП волнист, высота которой точно равна высоте ГО, вызывает резкое увеличение сопротивления движению от земли, рост усилив в узлах крепления ГО к корпусу и передачу этих усилий на динамических воздействий на корпусные конструкции.

Следует еще раз указать (см.рис.10.3 и (7.16), (7.17)) на связь рекомендуемой высоты $h_{\text{авн}}$ с шириной судна B_d и площадью B_d^2 , что диктуется преимущественно требованиями остойчивости.

Принимая значения удлинения СВП в интервале $L_n/B_d = 2,0...2,5$ и переходя при помощи выражений (7.17) и (10.4) от $h_{\text{авн}}$ к L_n , можно заметить, что соотношение между высотой преодолеваемой волны $h_{\text{авн}}$ и длиной L_n , приведенные на рис.10.4 незначительно

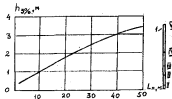


Рис.10.4. Зависимость неесообразной длины L_n СВП от интенсивности и характеристики расчетного волнения; 1 - шкала интенсивности волнения (белая)

отличаются от полученных по предложенной выше зависимости (10.3) в ограничениях, подобных примененным на рис.10.2 и 10.3.

Рис.10.4 воспроизводит зависимость $L_n = f(h_{\text{авн}})$ в предположении, что волны, длины $(1,0...2,0)L_n$, являются наиболее неблагоприятными, так как СВП в этих условиях вызывают сильную вертикальную качку. При более длинных волнах СВП отбрасывает профиль волны, а при более коротких - прорывается из под себя (при достаточной высоте ГО), не регистрируя ее.

Существенное значение имеет соотношение длины и высоты волны. Это соотношение различно не только для разных морей, но может быть различным даже в пределах одного бассейна за разных направлениях по относительно к специализированному пути судна. Для более суровых условий эксплуатации требуются суда больших размеров и массы, чтобы обеспечить одноковую надежность эксплуатации (см.рис.10.3).

При назначении размерений СВП L_n в V_n

1 скорость его хода дополнительно в виде ограничений могут использоваться различные условия качки, когда наблюдается совпадение собственного периода качки СВП и периода встроения его в волну.

Собственные периоды бортовой и живой части T_B и T_f зависят от показателей остойчивости r_c и частности, от коэффициентов \bar{K}_B и \bar{K}_f (см. (7.7) и (7.8)) или от значений метатрансверсальных высот \bar{m}_x^0 и \bar{m}_y^0 (см. (7.5) и (7.6)). На рис.10.5 для ряда типов судов L_n (при ширине B_d) даны зависимости собственных

переходов килевой (или бортовой) качки в формуле от коэффициентов $\bar{K}_\Phi \times \bar{K}_\Psi$ [112].

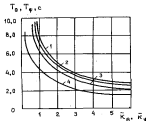


Рис. 10.5. Зависимость периодов бортовой и килевой качки T_b, T_Φ от показателей остойчивости АСВП, оговариваемых ГО 1 типа для ряда значений L_n (или B_n): 1 - 15 м; 2 - 30 м; 3 - 45 м; 4 - 60 м

Примененные графические зависимости $T_b = f(\bar{K}_b)$ и $T_\Phi = f(\bar{K}_\Phi)$ позволяют для данного значения длины или ширины судна корректировать ожидаемые значения показателей остойчивости и качки и корректировать их в случае необходимости.

Значения коэффициентов \bar{K}_b и \bar{K}_Φ принимаются согласно выражениям (7.13), (7.14). Переход встречи судна с волной T_b можно определить, используя выражение (3.36), из которого $T_b = 2\pi/\omega$.

Резонансные условия могут возникнуть при бортовой, килевой и вертикальной качке, если T_b совпадает с T_Φ, T_b, T_z . Этого можно избежать корректировкой размеренной в формы судна и устанавливаемой скорости хода судна о при характеристиках для заданного района эксплуатации параметрах преодолеваемой волны.

§ 10.2. Построение вычислительного алгоритма

Создание вышеизложенного проектного математического обеспечения позволяет говорить о том, что создание СВП весьма специфично по сравнению с созданием традиционных судов. И, хотя цикл проектирования работы также выражается в получении параметров и характеристик объекта, определяющих геометрию, свойства, конструкцию, мореходность, конвейерную, применение материалов, технологии, у СВП своеобразные и физические, и математические модели, используемые в рамках как внутренней, так и внешней задач и представляющие его как сложную технологическую систему.

Задача методологии проектирования СВП заключается в разработке совокупности принципов, методов, математических моделей, устанавливающих алгоритмы получения образа судна, отвечающего требованиям ТЗ, нормативных документов, Правил классификационных обществ, эксплуатационным и производственным ограничениям.

Создание и совершенствование любых видов телевидения и транспорта происходит эволюционно и революционно. Уже само появление первых СВП было, безусловно, фактом революционным в водном транспорте, потребовавшим занятия огромного объема научных исследований, ОКР, изготовления и испытаний боксирруемых и

самых моделей, макетов, опытных образцов, что достаточно утешало знания в совершившемся аналитических методы определения проектных параметров и характеристик. Основанием СВП гибкими ограничениями области разрешенного движение явилось следующим важнейшим событием, кардинально изменявшим и свойства, и общую судов рассматриваемого типа.

Эволюционные пути создания СВП предполагают широкое использование статистических данных прототипов, когда важность выведения проектных характеристик разрабатываемого судна базируется на приемах экстраполяции или интерполяции. Наиболее естественным образом являются дифференциальные (приращений) методы, предусматривающие наличие прототипа или базового проекта, в который могут вноситься изменения, в предположении линейности связи между переменными, отсутствия масштабного эффекта, модифицируемости параметров, свойств и характеристик. По этому пути можно идти, совершенствуя существующие суда, модернизируя их, изменяя их назначение за счет переоборудования, создавая суда, близкие к существующим по свойствам, характеристикам, критериям эффективности, или это место приступать при производстве модификаций английских СВП SRN¹⁵, SRN⁶ и SRN⁴, ВИ.7, "Tiger", АР.1-88, французских № 500 и японских MV-PP.5, MV-PP.15 [158].

Предлагаемые методики расчета массы различной нагрузки, характеристик ходости, сопротивления, подъемного и движительного комплексов, ГО и ЗУ служат основным для разработки алгоритмов проектирования СВП, отвечающего требованиям, которые, включая ИТЗ, были обозначены здесь как исходные данные. Аналитические методы определения проектных характеристик, являющиеся основой описываемой математической модели судна, базируются на принципах, изложенных в § 1.5, т.е. предполо-

гает формирование вектора исходных переменных X_i , составление и решение уравнений связи между известными переменными X_i и характеристиками СВП ψ_j , установленными в ТЗ с учетом ограничений.

Структура математической модели СВП зависит в значительной мере от типа задаваемых характеристик будущего судна, от количества и вида исходных проектных параметров. Следует подчеркнуть, что выше уже упоминалось и анализировалось их взаимосвязь. Важнейшие абсолютные параметры (параметры) признаются обычные:

- полная масса P_n ,
- длина области ВП L_n ,
- ширина области ВП B_n ,
- расход воздуха из ВП Q_n .

Перечень абсолютных параметров с учетом стойчивости формы ВП в плаве и соотношения L_n / B_n , а также вытекающий из выражения (1.28) зависимости вида $P_n = \frac{g B_{\text{бр}}}{S_n}$ может включать в себя и такую сплошкуность:

- давление, определяющее в области ВП P_n ,
- площадь ВП B_n ,
- расход воздуха из ВП Q_n .

10.2.1. Определение проектных параметров. Последовательность действий.

Последовательность и характер действий в назначении проектных параметров определяются, как и для традиционных судов, наличием прототипов и полной информации по ним. Создание судна, входящего в ряд сходных между собой судов, для проектанта предполагает широкий доступ к проектной документации, позволя-

заранее получать необходимые практические коэффициенты, измерители в расчетах начиная с коэффициента эффективности (запасы времени, динамического качества и т.д.).

ОПЕРАЦИЯ 1. Составление уравнения грузки для получения предварительного значения полной массы судна D_n :

$$D_n = (P_{np} + P_{pg} + P_{re} + P_{er} + P_{se} + P_{mfp} + P_{os} + P_{sh}) D_{tp} \\ + (P_{ap} + \alpha_1 \alpha_2 P_{tp} \frac{v}{v_{расч}}) N_x + \\ + D_{вес} + D_{ср}, \quad (10.5)$$

где измерители разделяются массы можно принять, пользуясь данными § 9.2-9.7, а коэффициенты α_1 и $\alpha_2 = 0.5$. Для определения запаса времени расчетную скорость хода $v_{расч}$ следует принимать согласно выражению (8.41).

Входящая в уравнение (10.5) мощность N_x (кВт) может быть представлена в виде:

$$N_x = \frac{5,042 D_n v}{\kappa_n}, \quad (10.6)$$

где D_n - полная масса, v - заданная в ТЗ предельная скорость, уз; κ_n - безразмерный коэффициент мощности (см. табл.1 и 2 приложения), который принимается по прототипу или по среднестатистическим данным близких к проектируемому судов:

$$\kappa_n = \frac{G v}{N_x}. \quad (10.7)$$

Решение полученного алгебраического уравнения нагрузки одним из известных способов позволяет найти в первом приближении полную массу судна D_n , составить таблицу нагрузки

зарегистрировавшись по судну-прототипу, или ориентировочное значение полной маcсы судна-прототипа ЗУ согласно выражению (10.7). Определив D_n при отсутствии такого прототипа можно с помощью выражения для коэффициента утилизации полной массы судна $\eta_{тр}$ по полной грузоподъемности:

$$\eta_{тр} = \frac{D_{tp} + D_{tr}}{D_n}, \quad (10.8)$$

$$D_{tr} = \alpha_1 \alpha_2 P_{tp} \frac{N_x}{D_n} \frac{v}{v_{расч}}. \quad (10.9)$$

в выражении (10.9) назначение коэффициентов α_1 и α_2 описано выше, а коэффициент P_{tp} производится по рекомендациям, приведенным для анализа уравнения (10.5).

Удельная мощность N_x/D_n может быть занята, например, по данным рис.8.1 или по рекомендациям § 8.1, либо по статистическим показателям, полученным с близких судов-аналогов. Коэффициент утилизации по полной грузоподъемности $\eta_{тр}$ (см. табл.1 и 2 приложения), как правило, находится в интервале 0,38...0,48. Используя выражения (10.8) и (10.9), можно определить полную массу судна:

$$D_n = \frac{D_{tp}}{\eta_{тр} - \alpha_1 \alpha_2 P_{tp} \frac{N_x}{D_n} \frac{v}{v_{расч}}}. \quad (10.10)$$

Так здесь для определения величины N_x воспользовались выражениями (10.6) и (10.7), а начальную скорость $v_{расч}$ найти по (8.41), то выражение (10.10) примет вид

$$D_n = \frac{D_{sp}}{\eta_{sp}^{-5.6420.0_2 R_{tr}} \frac{r}{\kappa_n \left(t - \frac{4+t}{U} \right)}}, \quad (10.11)$$

где U - предельная скорость хода судна на тягованию (1.5) коэффициент поправки плоскости ВП в выражениях (10.10) и (10.11), оказывается в интервале 0,853...0,957, удельный расход топлива R_{tr} назначают либо Найденные значения α_n , L_n и B_n определяются табл.8.1 и 8.2, или по рис.8.1 как α_n от величину S_n (согласно выражению (1.4)), зависимостью (8.37), (8.38).

ОПЕРАЦИЯ 2. Назначение габаритных размеров S_n и D_n , можно вычислить среднестатистикой. Используя статистические данные по суммению P_n в ВП, которое одновременно допустимым судам, подобным проектируемому (см. табл.1 и 2 приложения), принимают L_n соответствовать критерию \bar{G}_n , определенному $= L_n / (D_n / \rho_{bg})^{1/3}$. Это позволяет вычислить (10.3) для L_n (для принятых L_n / B_n и b_n)

абсолютное значение длины судна L_n , которое Рассход воздуха Q_n через ВП во начальном соприкосновении с судном проектирования можно найти, пользуясь выражением (4.18), учитывая в то же время ограничения, вытекающие из условий (1.16) или (1.17) и (1.19) соответственно.

Необходимое для определения $(L_n)_{min}$ значение $h_{5\%}$ можно найти, пользуясь справочными данными [37], если известен район мореходности, и учитывая логичные ограничения. **ОПЕРАЦИЯ 3.** Оценка соответствия полученных параметров и характеристик исходным требованиям, Компоновка и киселение судна. Корабль нагружки, размеров и характеристики СВП.

Требования мореходности к остойчивости предъявляются и при назначении ширин B_n , связанный, как видно из (7.17), с величиной $\bar{h}_{5\%}$, которая согласно (7.16) и (10.4) зависит от типа, компоновки, композиции ЗУ, и рис.7.16 и 10.3 непосредственно зависит от высоты преодолеваемой судном волны $h_{5\%}$ плавательного и подъемного комплексов. Таким образом, последовательно устанавливаются N_x (кВт):

$$\text{значения } h_{5\%}, h_{5\%} \text{ и } B_n. \quad (10.12)$$

Получающееся в итоге соотношение $L_n / B_n = \frac{\kappa_{Bn} \kappa_{Lb} g D_n U}{\eta_{tr} K_{Lb} \eta_{Bn}} \left(t + \frac{\kappa_{Lb} \kappa_{Bn}}{U \eta_{Bn}} \eta_{Bn} \sqrt{h_{5\%}} \right)$ как подтверждают данные рис.3.21, должно быть

в интервале 2,3...2,6. Это условие может потребовать корректировки значений B_n .

Если L_n / B_n установлено в указанном

диапазоне, то для формы ВП в плане, имеющей криволинейной же рис.10.1, согласно вы

занесенным в выражениях (10.10) и (10.11), оказывается в интервале 0,853...0,957. Найденные значения α_n , L_n и B_n определяются

таблицами (8.37), (8.38).

где компоненты выражения для $N_{\text{ж}}$ могут быть получены, соответственно $\varphi_{\text{ж}} \cdot k_0 \cdot k_1 \cdot k_2 \cdot k_3$ из § 4.3; $k_{\text{TK}} \cdot k_4$ из § 5.4; $\eta_{\text{ж}}$ из § 5.6. Найденное значение $N_{\text{ж}}$ предполагает использование сформированной ЭУ. Раздельная подача крутящего момента на ПК и ДДК от независимых силовых агрегатов реальная, если для определения $N_{\text{ж}}$ и $N_{\text{жк}}$ воспользоваться соответственно выражениями (9.21), (4.47), (4.57). Получив величину потребляемой мощности, можно возможность выбрать тип в комплектность силовых агрегатов, пользуясь данными табл. 8.1, 8.2 или аналогичными им. Подъемный комплекс судна, как правило, включают в себя ограничительное число магнитоподъемников, как на СВП № 500, ВН-7, SRN*4, SRN*6, VCA-35 [156], но распространено применение большого числа магнитоподъемников с малым диаметром РК (как правило ЦН), как бы насыщаемых на одну ось вращения по каждому из бортов, подробно описано, например, на американских КИП LCAC, JEFFA, JEFFB и английском VT-2 [156]. Такой вариант компоновки приемлем, если за судно допускается выполнение линейных перемещений бортов. Среднюю часть судна представляют при этом для принятия грузов или для размещения специальных помещений.

Приняв вариант компоновки ПК, можно определить геометрические размеры контейнера, используя выражение (4.33) для $\Phi_{\text{жк}}$.

Введенное в него значение $\Phi_{\text{жк}} = k_3 \Phi_{\text{ж}}$ является же числом магнитоподъемников судна (1, 2, 4, 6, 8... штук).

Полное давление, разрабатываемое магнитоподъемником, предварительно определяется с помощью данных табл. 4.1 и рекомендаций § 4.3.

Размер ВВ (м) с учетом указанной в § 5.2 можно вычислить с помощью выражения (5.12) по формуле

$$d_{\text{жк}} = \frac{31,62 \cdot R_{\text{ж}}^{3/2}}{\rho_{\text{возд}} N_{\text{жк}} \left(1 - \frac{Q_{\text{ж}}}{202}\right)^{3/2}} \quad (10.13)$$

Здесь $N_{\text{жк}}$ (кВт) определяется из $N_{\text{ж}}$ после вычета потерь в трансформаторе, т.е. $N_{\text{жк}} = N_{\text{ж}} / \eta_{\text{ж}}$; $R_{\text{ж}}$ (кН) приближенно определяется по величине коэффициента гидродинамического качества $k_{\text{жк}}$ (см. § 9.4).

При использовании ВВН винты насадки и диаметр как самого винта, так и насадки вычисляются при помощи выражений (5.19), (5.21) с учетом замечаний к формуле (10.13) и рекомендаций § 5.4.

При использовании воздушно-реактивного двигателя его параметры определяются выражением (5.28). Зависимость (5.28) позволяет найти потребное количество воздуха $Q_{\text{жк}}$, а скорость истечения воздуха $U_{\text{ист}}$ из сопла движущегося винта истечения $S_{\text{ист}}$ можно найти, используя зависимости (5.29) и (5.30) и данные § 5.8.

На этом этапе должна быть осуществлена предварительная компоновка общего расположения, чтобы подтвердить приемлемость выбранных выше значений L_d , B_d , S_d и возможность реализации требуемой к судну. Должен быть осуществлен контроль достаточности запаса планируемости.

Подразумеваемое число АСВП создают окончательно, и для таких объектов осуществляется

проверка вместимости, т.е. возможность размещения на судне:

- перевозимых грузов, пассажиров, автомобилей, специоборудования;
- экипажа;
- запасов необходимого топлива и ЭУ, включая движительный и подъемный комплекс, обслуживающие их системы и устройства;
- общесудовых и испытательных помещений.

Комплексовые решения наименее удобно применять подобные реальные существующие суда [63], [158], используя в качестве базиса нормы, рекомендуемые для пассажирских и автомобильно-пассажирских салонов и помещений, машинных залов, ходовых рубок [67, с.214-216], [78, с.47-53]. Можно использовать также рекомендации [67], [78] по размерам общесудовых и испытательных помещений, а также объему и протяженности машинных отсеков, которые необходимо умножить для расширения нагнетателей и обеспечивающих их функционирование компонентов трансмиссий.

Запасы топлива на СВП принимаются равными, устанавливаемые в объемы водонепроницаемого контона. Цистерны для легких сортов топлива чаще всего являются вакуумными. Остальное пространство иссущего водонепроницаемого контона, как правило, не используется. Соотношение размеров контона $L_{жк} \cdot B_{жк} \cdot T_0$, $N_{жк}$ и его формы выбирается исходя из рекомендаций § 1.7, 7.1 и в соответствии с рис.1.6, 1.7, 7.1, 7.18.

Следующий шаг требует уточнения нагрузки по судну. Для определения массы корабля D_F можно воспользоваться более точными выражениями § 1.4, § 3.1...§ 3.5; все данные по входным в них измерителям и коэффициентам приведены в § 9.3.

Ввиду малости в общей нагрузке судна доли масс судовых устройств, систем, электрооборудования, навигационных грузов, постоянного снабжения их можно найти по формулам, приведенным в (10.5). Масса ГО может быть разделена по форсусам (9.50) или (9.49) с использованием соответствующего измерителя, то делится близкого прототипа. Полученное выше значение мощности $N_{жк}$ (см. (10.12)) позволяет, используя выражения (9.20) и (9.36), найти более точные значения $D_{жк}$ и $D_{шк}$. Суммирование всех результатов дает возможность уточнить показанное в первой операции значение D_F , для чего целесообразно воспользоваться пояснением коэффициента Нормана, который определяется с помощью выражения (9.77), а схема получения уточненного значения D_F достаточно ясно описана в [103], [7].

Разность Δ между величинами $D_F = \sum_i D_i$

$$\Delta = \sum_i D_i - D_F, \quad (10.14)$$

приращение потовой массы судна ΔD_F

$$\Delta D_F = \eta_{нор} \Delta + \quad (10.15)$$

уточнение потовой нагрузки

$$D_F^{**} = D_F + \Delta D_F. \quad (10.16)$$

Модуль уточнения параметров и характеристики судна находят в виде

$$\lambda_{утр} = (D_F^{**} / D_F)^{1/3}$$

и по его значению корректируют главные измерители $L_{жк}, B_{жк}$, плоскость РП S_F и т.д.

ОПЕРАЦИЯ 4. Анализ и синтез подсистем судна. Необходимы подробный и обстоятельный рас-

чет подъемного и движущегося комплексов. Выбирается тип и схема ГО с обоснованием эффективности перехода давлений κ_p и с учетом конструктивных способов обеспечения остойчивости и требований узлодействия. Прорабатывается компонентная схема размещения нового комплекса: воздуходувочные отверстия, генераторы, система раздаточных распределителей, связанных со схемой водозамещенияного пояса и ГО области ВЛ. Разрабатывается теоретический чертеж водозамещенного пояса, схемы геометрии пакета крепления ГО на корпусе судна или на запасных конструкциях с одновременным выпусктом теоретического чертежа ГО. Производится подобный расчет характеристик сети, основанный на данных главы 2 и 8.4.1, после чего из предлагаемых промышленностью образцов магнитателей, указанных в § 4.2 в сопровождении в [19], [21], [22], [23], [24] [91], [92], [117], окончательно выбираются приемлемый тип и на основе его аэродинамической схемы выполняется в случае необходимости корректировка компоновки и расчетов ПК с учетом массы магнитателей. По рекомендации главы 3 производится расчет крыльев сопротивления движению для условий течей воды и на предельном волнении, а для створов судна ТЗ скорости хода согласно методике, изложенной в главе 5, выбираются тип и основные характеристики движителя, соответствующие полученным расчетным значениям сопротивления движению R_x . Окончательный расчет движителя берет попутствием кривой зависимости разываемого усилия T от скорости хода судна производится разными методиками, изложенными в главе 5, а также в [12], [78], [118]. Масса движителя определяется по рекомендациям § 5.8. Потребляемая магнитателем и движителем мощность (с учетом

дороги на корабельные нужды, а также требований к эксплуатации ВД или ГТД на СВР, а также в § 4.3, 5.5, 5.6 и в главе 8) дает основой для скромистичного выбора ГД этого или несколькоих) как источника крутящего момента. Проектируются необходимые трансмисии, включая раздаточную и промежуточную, редукторы, муфты, валопроводы [102]. Желательно компоновать трансмиссию из серийно выпускаемых промышленностью узлов, агрегатов, которых, что уменьшает стоимость разработки [158]. Завершается этой части работы и информацией о характеристиках и свойствах схем, связанных с ЗУ, и для основного, и промежуточных режимов эксплуатации судового судна. Проектант в итоге располагает уточненными величинами масс D_{2y} и D_{2x} .

По методикам, изложенным в § 6.4–6.6, и по теоретическому чертежу ГО производятся расчеты формы и прочности ГО, на основе которых выбираются приемлемый материал и выпускаются конструктивные чертежи ГО. Расчеты прочности корпуса (см. § 1.7, а [31], [83], [84]) дают возможность выбрать конструкционный материал, толщины листового пояса, размеры схемы и могут уточнить массу металлического корпуса.

Обоснование, расчеты и выбор приемлемого пояса, судовых устройств, судовых систем и электрооборудования производятся по морскому или Речному Регистру РСФСР для соответствующего класса или с учетом требований заказчика. Уточнение всех разделов с фиксацией координат их массы является для уточнения расчетов совокупности D_b и координат центра тяжести.

Производится сравнение полученного значения D_n с найденным по выражению (10.16). Может потребоваться также использование корректирующих методов, если неизвестно значение запаса водонепроницаемости. Оценивается положение судна за действие сил тяжести, подверженных к дифференцирующим моментам (см. (1.30) и (1.31)). Несоответствие показателей упфирентации, тем, которые рекомендуются системой эксплуатации (см. выражение (1.32)), может потребовать или перераспределения нагрузки (например, запасов топлива), и, если необходимо, корректировки положения центра поддержания за линии судна за счет смещения линий крепления ГО в носу или в корме. Ходовая плавкость судна и свидетельской степени зависит как и от назначаемой величины b (см. рис. 3.17) - возвышения линии приложения действующего упора движителей.

Данные по проектной загрузке и координатам центра тяжести служат основой для проверки остойчивости в различных режимах эксплуатации согласно методике, изложенной в главе 7. Полученные параметры и характеристики используются для выполнения промежуточных расчетов по методикам, базирующимся на отработке смежных судостроительных дисциплин в первую очередь таких, как теория корабля в строительных механизмах корабля, а также выполнения корпусных чертежей и чертежей общего расположения и т.д.

Сочетание, что изложенный вычислительный алгоритм, даже имея ряд вариаций в характере выполняемых процедур, нельзя считать единственным и бесспорным. Изменить его может как постановка задачи, так и имеющаяся база данных, которая может расширяться, совершенствоваться, углубляться по мере накопления информации об имеющихся судах, предвидя-

шихся в сплошных бассейнах серии моделей судов с систематически изменяющимися элементами, изучения и усовершенствования ГО, появление новых материалов, разработки специальных серий движителей для СВП.

§ 10.3. Критерии оценки проектов. Принципы автоматизации процесса проектирования

Рассмотрен алгоритм определения каждого вектора измеряемых переменных X . Он укладывает вектор требуемых исходных данных, взаимосвязь которых с переменными X , представляет собой одну из возможных математических моделей СВП, отвечающих задачам таких стадий проектного проектирования, как техническое предложение и эскизный проект. Степень достоверности математической модели объекта проектирования может быть повышена за счет использования вычислительной техники.

В рассмотренной постановке задачи целесообразно утверждать, что выходные данные предложенной математической модели, описываемые путем ряда критериальных показателей типа, например, \bar{G}_S , \bar{G}_L , \bar{G}_{nh} , \bar{G}_{nv} , K_{gr} , K_H , \bar{K}_{cr} , отличают оптимальному сочетанию Φ_1 . В основе предлагаемой модели лежит опыт, накопленный при создании ранее построенных судов. Он выражается в виде приближенных оценок биоразмерных геометрических параметров, характеризующих форму судна (к примеру L_n/B_n), гидрогеометрических соотношений (типа k_p), измерительной массы разделов нагрузки, начинаемых на основе статистики и законов специальных, в том

числе в судостроительных науках (гидродинамики, внутренней аэrodинамики, строительной механике и т.п.). Эти данные, отвечающие оптимальности существующей сложной системы, не являются гарантой оптимальности создаваемой системы, которой является проектируемое судно. Для получения наиболее эффективной (оптимальной) системы необходимо найти сочетание характеризующих ее велических зависимых переменных, соответствующих экстремальному значению (найбольшому или наименьшему) целевой функции, т.е., критерию оценки решения.

В качестве целевой функции на разных стадиях проектирования может приниматься одна из упомянутых технико-эксплуатационных критериях показателей, отвечающих требованиям к целевой функции, который имеет наиболее общий характер и отражает связь со всеми интересующими разработчика и эксплуатационника параметрами и характеристиками судна.

Так, выше говорилось о том, что универсальной характеристикой СВП, определяющей и скорость хода, и транспортизацию, и эксплуатационные, и стоимостные показатели судна является его полная масса D_{tr} .

Поэтому, сравнивая возможные варианты судна при различных значениях дальности хода T , эксплуатационной скорости \bar{U} , величины полной нагрузки D_{tr} и ее погрузочных объемов, стоимостные критерии с приемлемой степенью приближения можно свести к соотношению вероятного судна по величине его полной массы. Наилучший вариант судна обладает наименьшей полной массой: $D_n \rightarrow \min$.

Столь же универсальными оказываются упомянутые выше критериальные показатели, связанные со значениями полной потребляемой

мощности N_x , правозаданности судна $D_{tr} \bar{U}$ или с его транспортным моментом $D_n \bar{U}$:

$$\kappa_N = \frac{g D_{tr} \bar{U}}{N_x} ; \quad (10.17)$$

$$\kappa_D = \frac{g D_{tr} \bar{U}}{D_n} . \quad (10.18)$$

Оптимальное сочетание вероятруемых переменных соответствует максимальному значению величин κ_N или κ_D .

Характеристические понятия этих критерий, используемых в качестве целевой функции, следует отметить, что суммарное значение мощности N_x при некотором сочетании передаваемых ее параметров и характеристики действительного будет иметь минимальное значение. Это связано с тем, что для мощности, потребляемой судовым комплекском N_{dk} , сростом скорости движения снижается из-за возникновения возрастающего динамического напора встречного потока воздуха, а часть мощности, обеспечивающая функционирование движущегося комплекса N_{dk} , увеличивается, так как увеличение скорости сопровождается возрастанием сопротивления движению. Так, для французского СВП N500 за скорость 36 у N_{dk}/N_{dk} в 4 раза скорость хода скапо 70 у $N_{dk} = \frac{1}{2} N_{dk}$.

Это говорит о том, что существует значение \bar{U} , соответствующее $(N_x)_{\min}$ (при фиксированных значениях $D_{tr} \cdot N_{dk} \cdot t_3/L_n$ и др.). А [153], например, показывают, что дифференциальное выражение $(1/\kappa_N)$ по первенской $\bar{U}=U/U_0$,

(где $\Phi_3 = \sqrt{2P_n/p_{144}}$) и приравняв нулю полученную производную, можно получить значение $\bar{\Phi}$, соответствующее экстремальному значению критерия $(t/c_n)_{\text{opt}}$. Здесь величину относительного значения $\bar{\Phi}$ при рядах допущений, принятых в [153], можно определить так:

$$\bar{\Phi} = \sqrt{\frac{\eta_{\text{ак}}}{\eta_{\text{ак}} - 2}} - \frac{a}{3}, \quad (10.19)$$

где $a = \frac{(n/S_n)\mu_{\text{из}} t_s}{(S_{\text{ж}}/S_n)c_{\text{x}} + 2\beta_r}; \quad (10.20)$

$$\beta_r = 3,3 \left(\frac{0,75 h_{3\%} - 2 t_s}{L_b} \right)^{1,2}. \quad (10.21)$$

Кроме приведенных выше технико-эксплуатационных критериальных показателей, рекомендуемых здесь в качестве целевой функции, могут быть назначены и другие, удовлетворяющие следующим требованиям:

- иметь количественный характер и алгоритм его расчета;
- учитывать назначение объекта, условия и ограничения его эксплуатации;
- быть функцией заранее выбранных переменных, оптимальное сочетание которых отыскивается.

В случае использования на разных уровнях проектирования разных критерии оптимизации они не должны быть противоречивыми друг другу.

Судно, как отмечал Л.М.Носик [103], строится для того, чтобы приносить доход, а не преподносить экономическую эффективность

рабочих сраниваемых объектов пришло определить по заложенным приведенным затратам, учитывая сопоставление текущих затрат и капитальных вложений [7]. Затраты относят к часовой производеспособности судна Q_r , учитывающей [7] коэффициенты использования пассажировместимости (грузоподъемности) и скорости хода. Текущие (эксплуатационные) затраты, определяющие себестоимость перевозок, содержат сплошное сопоставление, относящие к часу службы судна $A_{\text{ж}} = \sum_i A_i$:

- расходы на amortизацию судна в целом с его двигателями (A_1, A_2);

- расходы на текущий ремонт и техническое обслуживание судна, включая про ГО, системы воздухоподачи и газонагрева, обвязку ЗП и двигателей (A_3, A_4);

- стоимость расходуемого топлива (A_5);

- заработную плату экипажа (A_6);

- затраты на содержание пунктов, баз и складов обслуживания (A_7);

Капиталоизложения $K_{\text{ж}}$ с учетом нормативного коэффициента $E_{\text{норм}} = 0,12$ складываются из стоимости судна, запасного комплекта ГО, двигателей как установленных на судне, так и запасных для судна с учетом предстоящей замены двигателей, отработавших ресурс.

Тогда приведенные затраты свиниваются в виде

$$S_{\text{зп}} = \frac{A_{\text{ж}}}{Q_r} + \frac{E_{\text{норм}} K_{\text{ж}}}{Q_r}. \quad (10.22)$$

Остановимся на особенностях оптимизациями бходных параметров СВП.

Учитывая специфику рассматриваемого оптимизируемого объекта, ограниченность комплектующего оборудования, существенную зависимость свойств и технико-эксплуатационных характеристик создаваемого судна от типа применяемых ГД, ГО, двигателей, магнитателей, компоновки ЗУ и общего расположения помещений, процесс оптимизации варьируемых переменных начинают с определения типовых схем судна в целом и его подсистем, либо они имеют доминирующее значение в формировании дальнейших действий. В частности, компоновочные схемы определяются назначением судна, условиями и необходимостью размещения пассажиров, автомобилей, автобусов в другой колесной технике или грузов и спецоборудования.

Итерационный процесс вычисления искомых технических характеристик в ходе поиска их оптимальных значений предполагает нахождение исходного варианта, т.е. пусковой точки, для чего используются приближенные зависимости эмпирического характера, входящие в базу данных. В него включаются как необходимое информационное обесечение линейные по прототипам, каталоги конструкционных материалов, имеющиеся двигатели, комплектующее оборудование, стандартные программы для расчета двигателей, магнитателей, форм и прочности ГО, ходостия, описание типовых компоновочных схем, о которых сказано выше, таблицы стандартов, формул и т.д.

Процесс поиска оптимальных значений проектных параметров судна и определенных ими технических характеристик ведется на основе физических зависимостей (математических моделей), принципиально отличающихся от тех зависимостей, которые используются в приближенных расчетах и, в частности, для нахождения исходного варианта, т.е. пусковой точки, поиске опро-

грации которой они должны быть исключены из оптимизационного процесса.

Касаясь общей концепции разработки оптимизационного процесса, следует иметь в виду, что параметры ряда компонентов подсистем судна с определенного этапа должны переходить в категорию постоянных параметров или характеристик, что может относиться к ГД, компонентам трансмиссии, движителям, магнитателям. В выбранной стадии это касается ГД, либо данные табл. 8.1 и 8.2 показывают, что маховик рабочих двигателей достаточно скучен и дискретные значения мощности не дают возможности для оптимизации разрабатываемой системы ограниченно. Выбрать двигатель можно уже на первых шагах оптимизационного процесса с помощью приближенных расчетов его необходимых характеристик. Это, конечно, не исключает многостороннего обращения к каталогу и последующей срезвигательной оптимизации искомых параметров судна, соответствующих сдвиганому критерию. В отечественной и зарубежной практике проектирования СДПР конкретный двигатель задается уже в ТЗ.

Описанные алгоритмы, касающиеся получения оптимального варианта судна, могут быть реализованы как вручную, с помощью метода дарвинов [71, 103], так и при разработке СДПР, требующей включения в этот процесс полноценной вычислительной техники и базирующейся на использовании аппарата таких специальных наук, как математическое программирование, исследование операций, теория принятия решений, методика техники.

Типичная структура программной модели показана на рис. 10.6, где последовательность "заряд", выполнимых на стадиях "начало", "онтса", и "анализ", можно представить в термины, предложенными Д.Левисом.

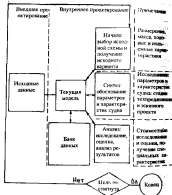


Рис. 10.6. Схема алгоритма процесса проектирования СВП с использованием ЭВМ

1. Установка исходных условий (см.рас.10.7).
2. Определение начальных значений L_B , B_B , D_B .

3. Определение сопротивления движению к звеноудиального упора для предполагаемых эксплуатационных условий (для приведенной скорости на этой воде и за отверстием волнины; для движения на "горбовой" скорости для случая преодоления отверстия упора при движении над сушей).

4. Вычисление нужного количества воздуха, запасаемого в объеме ВП.

5. Определение размера и характеристики плавкости и мощности, потребляемой пропульсивным комплексом.

6. Определение размера и характеристики плавкости и мощности, потребляемой подъемным комплексом.

7. Определение характеристик ГД и трансмисии.

8. Вычисление разделов нагрузки.

9. Вычисление составляющих потребных площадей и объемов.

10. Уточнение величины полной массы судна D_B и повторение действий, начиная с 3-4 операций до получения ее сбалансированного значения.

11. Выход результатов.

12. Повторение цикла операций 2...11 для новых значений L_B , B_B .

13. Определение оптимальных значений L_B и B_B для принятого критерия оптимизации (минимум стоимости или полной массы, или максимум полезной нагрузки и т.д.).

14. Выход окончательных результатов для рассмотренного варианта.

15. Повторение действий по операциям 1...14 для другого варианта исходных данных (например, иной компоновочной схемы).

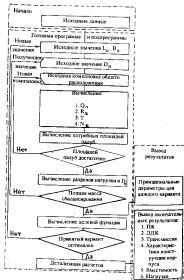


Рис. 10.7. Блок-схема процесса оптимизации вектора переменных СВП

Представленный алгоритм оптимизации (рис.10.7) рассматривается как один из возможных.

Головные программы и подпрограммы, к которым они должны обращаться, в основе своей должны иметь представления о дислокации нагрузки, остойчивости, устойчивости, заданности, подъемного и пропульсивного комплексов, ГО, каждый из которых в случае необходимости может быть дополнен соответствующими разработками, имеющимися в упомянутых в списке использованной литературы справочниках, монографиях, статьях. Степень исследованности частных вопросов и алгоритмов различна. Это может быть компенсировано за счет включения диалогового режима,

ЗАКЛЮЧЕНИЕ

Развитие АСВП остается процессом динамичным, научным, сопряженным с решением множества инженерных технических задач.

Продолжается поиск новых идей, касающихся компоновки судна, формообразования его корпуса, разработки перспективных типов и конструкций ГО ВП, совершенствования пропульсивного и подъемного комплексов. Хотя АСВП пока еще уступают традиционным судам и альтернативным видам транспорта в экономичности, а также в надежности и долговечности основных компонентов, их уникальные свойства и характеристики все в большей мере привлекают внимание специалистов и потенциальных заказчиков, что обещает повышение конкурентоспособности судов этого типа.

Монография соответствует программе одноименного курса для студентов судостроительных специальностей вузов. В поступившей форме изложены проектные алгоритмы и для судов в целом, и для его основных подсистем.

Большинство представленных алгоритмов веном, но аккумулируют в себе как личный опыт автора, так и лучшие достижения зарубежных и особенно отечественных специалистов. Среди последних - названные выше учёные и инженеры-конструкторы, создавшие уникальные серийные амфибийные КВП "Скат" ($D_h = 27$ т), "Кальмар" (115 т), "Омар" (54 т), "Джейран" (360 т), "Мурекс" (180 т), "Зубр" (550 т) - наиболее крупные и совершенные из построенных в мире судов и кораблей рассматриваемого типа.

Амфибийные СВП и КВП внесли в судостроение традиции автомобильной и авиастроения, а также военные требования, диктуемые высокими технологиями. Новый подход касается и организации постройки в условий обслуживания: более высоким становится уровень квалификации экипажа в обеспечении эксплуатации. Все это в целом отразится на общем состоянии отрасли.

ЛИТЕРАТУРА

1. АЛЕКСАНДРОВ В.Г., МАЙОРОВ А.В., ПАШЕЦКОВ А.М. Авиационный технический справочник. М.: Машгизстроиздат, 1969.
2. АЛЕКСАНДРОВ В.Л. Воодушевленный. М.: Оборониздат, 1961.
3. АЛФЕРЬЕВ М.Я. Ходкость и управляемость судов. Сопротивление воды движению судов. М.: Транспорт, 1967.
4. АМФИЛОХИЕВ Л.В. Экспериментальное исследование остойчивости моделей СВП/Мореходные качества судов: Тр./ ЦНИИМФ. 1977, Вып.221, С.22-29.
5. АРТЕМОВ Г.А., ВОЛОШИН В.П. Анализ размещения ГТУ на судне и определение плавучести кильшного отделения: Сб. науч. тр. НКИ. Николаев, 1978, № 132, С.10-15.
6. АРТЕМЬЕВ А.А., СМИРНОВ С.А. Английский пассажирский катер на воздушной подушке проекта АР.1-88// Судостроение за рубежом. 1987, № 11 (251). С.5-17.
7. АШИН В.В. Проектирование судов. Л.: Судостроение, 1986.
8. БАК О. Проектирование и расчет воздушников. М.: Госстройиздат, 1961.
9. БАТУРИН Т.А. Влияние форсайта копота и размеров кока винта на его КПД // Тр./ЦАГИ, 1939. Вып.392.
10. БЕЗРУКОВ Е.А., КУШЕЛЕВ В.В., МУДРОВ О.А., СУХЛЯНОВ Г.Г. Создание элементов ГО СВП (из иностранного опыта)// Технология судостроения, 1978, № 8. С.85-87.
11. БЕЛЮЗЕРОВ Н.В. Технология размытия. М.: Химия, 1980.
12. БЕНДУЛ Ю.Ю., ДЫЯЧЕНКО В.К., КОЛЫЗАЕВ Б.А. и др. Основы теории судов на воздушной подушке. Л.: Судостроение, 1971.

13. БЕНУА Ю.Ю., КОРСАКОВ В.М. Суда на воздушной подушке. Л.: Судпромгиз, 1982.
14. БЕНЬ Е. Модели и любительские суда на воздушной подушке. Л.: Судостроение, 1983.
15. БЕРЛИН А.А., БАСИН В.Е. Основы аэродинамики полимеров. М.: Химия, 1968.
16. БЛАГОВЕЩЕНСКИЙ С.Н., ХОЛОДИЛИН А.Н. Справочник по статистике в динамике корабля. Т. 2. Динамика корабля. Л.: Судостроение, 1975.
17. БЛОХ Г.А., ТЕВЕРОВСКАЯ Е.Н., ПОРТНЯНКО В.П. и др. Некоторые прочностные характеристики клеевых соединений материалов гибких ограждений// Вопросы судостроения. Сер. Технология судостроения. Л.: Изд.ШИИ "Рум". 1977. Вып.15. С.69-74.
18. БОЛЫШАКОВ В.П. Волновое сопротивление систем поверхности давлений// Материалы по общему опыту НТО Судпрома: Теория корабля. Л., 1963. Вып.49. С.68-88.
19. ВОНДАРЕНКО А.Д., ЛИТВИНОВА Г.Д. Центробежные вентиляторы с плоскими кольцевыми диффузорами (к применению на СВП) // Судостроение, 1974. № 8. С.23-24.
20. ВОНДАРЕЦ К.В., КЛИЧКО В.В. Расчет параметров формы элементов гибкого ограждения воздушной подушки// Тр.ЦНИИ им. академика А.Н.Крылова. 1969. Вып.247. С.69-78.
21. БРУК А.Д., МАТИКАШВИЛИ Г.И., НЕВЕЛЬСОН М.И. и др. Центробежные вентиляторы. М.: Машиностроение, 1975.
22. БРУСИЛОВСКИЙ И.В. Аэродинамические схемы и характеристики осевых вентиляторов ЦАГИ. М.: Недра, 1978.
23. БРУСИЛОВСКИЙ И.В. Вентиляторы с меридиональным ускорением потока. Промышленная аэrodинамика. Вып.24: Дополнительные материалы и течения в каналах. М.: Оборонгиз, 1962. С.74-81.
24. БРУСИЛОВСКИЙ И.В. Исследование двухступенчатого пакетного осевого вентилятора ЦАГИ К-06 с двумя типами промежуточного аппарата. Промышленная аэrodинамика. Вып.12: Вентиляторы и воздуховоды. М.: Оборонгиз, 1959. С.36-48.
25. БУТАКОВ С.Е. Воздуховоды и вентиляторы. М.: Машига, 1958.
26. ВАГАНОВ А.М. Проектирование скоростных судов. Л.: Судостроение, 1978.
27. ВЕЧЧИНКИН В.П., ПОЛЯХОВ Н.Н. Теория и расчет воздушного гребного винта (аэродинамика). М.: Изд.ШИИ им. Н.Е.Жуковского, 1939.
28. ВЕЧЕРОВА Л.В. Транспортные средства с динамическими принципами поддержания: Зарубежное судостроение (1975-1985). Изд.ШИИ "Рум". 1985.
29. ВОЙТКУНСКИЙ Я.И. Сопротивление плаванию судов. Л.: Судостроение, 1968.
30. ВОЙТКУНСКИЙ Я.И., ПЕРШИЧ Р.Я., ТИТОВ И.А. Судовые двигатели и управляемость: Справочник по теории корабля. Л.: Судостроение, 1973.
31. ГАРИН Э.А. Конструкция корпуса судов на воздушной подушке: Учеб.пособие. Л.: Изд. ЛКИ, 1979.
32. ГАРИН Э.А. Конструкция корпуса судов на воздушных крыльях: Учеб.пособие. Л.: Изд.ЛКИ, 1982.
33. ГАСПАРСКИЙ В. Практологический анализ проектно-конструкторских разработок. М.: Мир, 1978.
34. ГИММЕЛЬФАРБ А.Л. Основы конструирования в самолетостроении. М.: Машиностроение, 1980.
35. ГОРБУНОВ В.Н., ГАПЕЕВА Н.В., МОЗИН А.Д., ВАРНАЧЕВА В.В. Создание ассортимента высококачественных тканей из динамичных материалов для гибких ограждений судов на воздушной подушке. М.: Изд.ШИИ им. Н.Е.Жуковского, 1985.

ной подушки// Текстильные изделия технического назначения. 1973, Вып.1, С.68-79.

36. ГОРБУНОВ Ю.В. Обеспечение остойчивости некоторым типам СВП// Судостроение за рубежом. 1971, № 3 (51), С.9-17.

37. ДАВИДАН И.Н., ЛОПАТУХИН Л.И., РОЖКОВ В.А. Регистр СССР. Ветер и волны в океанах и морях: Справочные данные. Л.: Транспорт, 1974.

38. ДЕМЕШКО Г.Ф. Двигательно-дизельный комплекс судна на воздушной подушке. Учеб.пособие. Л.: ИздЛКИ, 1981.

39. ДЕМЕШКО Г.Ф. Использование метода приращений в расчетах нагрузки скоростных судов// Актуальные вопросы проектирования судов: Сбнаучтр./ ЛКИ, Л., 1986, С.71-75.

40. ДЕМЕШКО Г.Ф. Ограждения воздушной подушки на судах и транспортных аппаратах: Учеб.пособие. Л.: ИздЛКИ, 1982.

41. ДЕМЕШКО Г.Ф. Определение главных размерений амфибийных судов на воздушной подушке// Оптимизированное проектирование судов: Сбнаучтр./ Л., 1990, С.74-80.

42. ДЕМЕШКО Г.Ф. Определение пропульского коэффициента и характеристик движательного комплекса амфибийного судна на воздушной подушке на начальных стадиях проектирования судов// Оптимизация проектируемых судов: Сбнаучтр./ ЛКИ, Л., 1985, С.62-67.

43. ДЕМЕШКО Г.Ф. Определение характеристики воздушометрического движителя амфибийного судна на воздушной подушке на начальных стадиях проектирования// Оптимизация проектируемых судов: Сбнаучтр./ ЛКИ, Л., 1985, С.67-69.

44. ДЕМЕШКО Г.Ф. О точности расчетов нагрузок, исчислении запаса водоизмещения и контроля массы скоростных судов// Проектирование морских судов и плакатов технических средств: Сбнаучтр./ ЛКИ, Л., 1987, С.13-17.

45. ДЕМЕШКО Г.Ф. Систематизация и анализ проектных элементов амфибийных СВП// Проектирование судов: Сбнаучтр./ ЛКИ, Л., 1980, С.120-126.

46. ДЕМЕШКО Г.Ф. Устройство и оборудование судов на воздушной подушке: Учеб.пособие. Л.: ИздЛКИ, 1980.

47. ДЬЯКОВА Т.А., КЛИЧКО В.В. О влиянии параметров корпусного гибкого ограничителя на ходовые и мореходные качества амфибийных СВП// Вопросы судостроения. Сер.: Проектирование судов. 1980, № 26, С.141-146.

48. ДЬЯКОВА Т.А., КЛИЧКО В.В. Расчет параметров формы корпусного гибкого ограничителя// Вопросы судостроения. Сер.: Проектирование судов. 1981, № 29, С.18-20.

49. ЕГЕР С.М., ЛИСЕЙЦЕВ Н.К., САМОЙЛОВИЧ О.С. Основы автоматизированного проектирования самолетов: Учеб.пособие. М.: Машиностроение, 1986.

50. ЕГЕР С.М., МАШИН В.Ф., ЛИСЕЙЦЕВ Н.К. и др. Проектирование самолетов. М.: Машиностроение, 1983.

51. ЕГОРОВ И.Т., СОКОЛОВ В.Т. Гидродинамика быстроходных судов. Л.: Судостроение, 1971.

52. ЕРОХИН С.К., ФИЛИПЧЕНКО Г.Г. Стабилизация судов на воздушной подушке с помощью автоматического управления гибкими ограничителями// Тр.ШНИИ им.А.Н.Крылова. 1971, Вып.266, С.18-24.

53. ЖАРИНОВ К.В. Исследование коэффициентов расхода воздуха, вытекающего из АВП во режиме ансиса// Тр.ШНИИ. 1970, Вып.1290.

54. ЗАЙЦЕВА Т.Л. Влияние расхода воздуха и коэффициента давления на гидродинамические качества амфибийных СВП и устойчивость их движения// Вопросы судостроения. Сер.: Проектирование судов. 1980, Вып.26, С.135-140.

55. ЗАЙЦЕВА Т.А. Влияние удаления воздушной подушки на сопротивление движению амфибийных СВП// Вопросы судостроения. Сер.: Проектирование судов. 1979. Вып.20. С.74-77.
56. ЗАЙЦЕВА Т.А. Исследование сопротивления движению АСВП в условиях волнения// Всесоюз. научно-технич. симп. по вопросам повышения ходовых и мореходных качеств судов (Крыловские чтения): Тез. докл./ Л.: Судостроение, 1976. С.57-58.
57. ЗАЙЦЕВА Т.А. Исследование распределения гидродинамических сил по периметру ГО амфибийных СВП// Всесоюз. научно-технич. симп. по вопросам повышения ходовых и мореходных качеств судов (Крыловские чтения): Тез. докл./ Л.: Судостроение, 1976. С.58-59.
58. ЗАЙЦЕВА Т.А., КЛИЧКО В.В. Гидродинамическое сопротивление движению АСВП: Материалы по обмену опытом. Л.: Судостроение, 1971. Вып.168. С.261-275.
59. ЗАЙЦЕВА Т.А., КЛИЧКО В.В. Исследование влияния антигравитации гибких ограждений судов на воздушной подушке// Тр. ЦНИИ им. акад. А.Н. Крылова. 1971. Вып.266. С.3-12.
60. ЗАЙЦЕВА Т.А. Экспериментальное изучение влияния конструктивных параметров воздушной подушки на сопротивление движению СВП амфибийного типа// Гидромеханика СДПП: Материалы по обмену опытом. Л.: Судостроение, 1972. Вып.186. С.212-220.
61. ЗАХАРОВ А.М., БУЛЬГИН П.А., РАЙКИН Л.И. и др. Воздухоприменные и газовыпускные устройства быстроходных газотурбинных судов. Л.: Судостроение, 1977.
62. ЗЛОБИН Г.П., СИМОНОВ Ю.А. Суда на воздушной подушке. Л.: Судостроение, 1971.
63. ЗЛОБИН Г.П., СМИТЕЛЬСКИЙ С.П. Суда на подводных крыльях и на воздушной подушке. Л.: Судостроение, 1976.
64. ЗОЛОТОВ С.С. Аэродинамика судовой маневрирования. Л.: Судостроение, 1967.
65. ИВЧИК В.К. Влияние нагрузок, определяющих общую прочность амфибийных СВП: Конструкция и прочность СДПП: Сб. НТД Судостроения. Л.: Судостроение, 1974. Вып.220. С.18-22.
66. ИДЕЛЬНИК И.Е. Справочник по гидравлическим сопротивлениям. М.: Машиностроение, 1975.
67. ИКОНИКОВ В.В., МАСКАЛИК А.И. Особенности проектирования и конструкции судов на подводных крыльях. Л.: Судостроение, 1987.
68. ИСАЕВ В.К., КОНЯЕВ В.Г., КУРИЛКИНА П.И. Автоматизированные системы проектирования, конструирования и производства в авиационной промышленности (по материалам открытой иностранной печати). М.: Изд.ОНТИ ЦАГИ им. Н.Е. Жуковского, 1985. № 649.
69. КЛИЧКО В.В. Гидродинамическое сопротивление судов на воздушной подушке// Судостроение. 1965. № 5. С.12-17.
70. КЛИЧКО В.В. Особенности поддержания и ходости судов на воздушной подушке, оборудованных гибкими ограждениями: Доклад к ХУП научно-технической конференции по теории корабля (Крыловские чтения), Л.: Изд. НТО Судпрома, 1987. С.1-19.
71. КЛИЧКО В.В. О способах смягчения приступа сопротивления движению на волнении амфибийных судов на воздушной подушке// Всесоюз. научно-техн. конф. "Проблемы повышения ходости, мореходности и улучшения маневренности судов с динамическими принципами поддержания": Тез. докл./ Л.: Судостроение, 1983. С.121-123.
72. КЛИЧКО В.В. Причины в характеристики особенности затягивания ГО амфибийных СВП// Всесоюз. научно-технич. симп. по вопросам повышения ходовых и мореходных качеств судов

(Краевские чтения): Тез. докл./ Л.: Судостроение, 1976. С.61-62.

73. КЛИЧКО В.В. Расчет параметров изгиба воздуха на элементах гибкого обрамления воздушной подушки// Гидромеханика судов с динамическими признаками поддержания. Л.: Судостроение, 1972. С.221-232.

74. КЛИЧКО В.В. Расчет параметров формы гибкого обрамления с учетом взаимодействия монолитного элемента с винтовыми элементами изогнутого прусса// Гидродинамика СПГ; Тр./ ШИИИ им. акад. А.Н. Крылова. 1975. Вып.283. С.47-50.

75. КИВОЯНИК В.Е., СТАРКОВ И.Д., СУХАНОВ Г.Г., ТРОФИМОВ Ю.А. Новые методы изготовления материалов гибких обрамлений// Технология судостроения. 1977. № 2. С.80-82.

76. Код безопасности судов с динамическими признаками поддержания (Code of Safety for Dynamically Supported Craft). Л.: Регистр СССР, 1976.

77. КОЛЫЗАЕВ Б.А., КОСОРУКОВ А.И., ЛИТВИНЕНКО В.А., ПОПОВ Г.И. Особенности проектирования судов с новыми принципами движения. Л.: Судостроение, 1974.

78. КОЛЫЗАЕВ Б.А., КОСОРУКОВ А.И., ЛИТВИНЕНКО В.А. Справочник по проектированию судов с динамическими признаками поддержания. Л.: Судостроение, 1980.

79. КОМИССАРОВ Д.С. Расчет формы и напряженного состояния плоского контура изогнутого сечения ГО СВП с произвольным числом кружков монолита// Вопросы судостроения. Сер.: Проектирование судов. 1983. Вып.3-4. С.47-52.

80. КОРАБЕЛЬНИКОВ А.Л. Дизельные установки СПК. Л.: Судостроение, 1966.

81. КОРОТКИН Л.М. Авария судов на воздушной подушке. Л.: Судостроение, 1981.

82. Краткая химическая энциклопедия. М.: Химия, 1981-1985 гг. Т.1. С.645-650, 673-675; Т.4. С.606-612.

83. КУЗОВЕНКОВ В.П. Прочность судов на воздушных краях и воздушной подушке; Учеб. пособие: Л.: ИздЛКИ, 1981.

84. КУЗОВЕНКОВ В.П. Прочность судов с динамическими признаками поддержания: Учеб. пособие: Л.: ИздЛКИ, 1975.

85. КУЗЬМИН Г.И. Воздушные винты. М.: Воениздат, 1937.

86. КУРДОН А.Г., МЕЖЕРЕЦКИЙ А.Д., МИТОШКИН Ю.И. и др. Газотурбинные установки быстротяжелых судов. Л.: Судостроение, 1968.

87. КУШЕЛЕВ В.В., НОСИКОВА В.Ф., СУХАНОВ Г.Г. Материалы для изготовления гибких обрамлений СВП (из иностранного опыта)// Технология судостроения. 1975. № 3. С.104-110.

88. ЛАМБ Г. Гидродинамика. М.-Л.: Гостехиздат, 1947.

89. ЛЕНДЕНСКАЯ И.В. Новая экономичная корабельная газовая турбина LM 500 мощностью 5300 л.с. компании G.E.// Судостроение за рубежом. 1980. № 2 (158). С.72-73.

90. ЛИТВИНЕНКО Ю. Создание новой технологии и экономии времени// Наука и техника. 1983, № 10. С.24-25.

91. ЛОКШИН А.Г., ЛОКШИН И.Л., МАЗМАНЯНЦ П.О. Новые типы центробежных вентиляторов ЦАПИ: Промышленная аэrodинамика. Вентиляторы и воздушники. М.: Оборонгиз, 1959. Вып.12. С.125-154.

92. ЛОКШИН И.Л., СОЛОМАХОВА Т.С. Аэродинамические характеристики центробежного вентилятора с радиальным диффузором: Промышленная аэrodинамика. Лопаточные машины и трубы в камнях. М.: Оборонгиз, 1962. Вып.24. С.90-99.

93. ЛОПАТИН Н.И. Технология изготовления

306

сварных конструкций из алюминиевых сплавов. Л.: Судостроение, 1984.

84. ЛУКАШЕВСКИЙ В.А., ЧЕМАКИНА Г.Н. Расчет форм гибких ограждений аппаратов на воздушной подушке// Тр./ ЦАГИ, 1975. Вып.1651. С.11-18.

85. ЛЮБУШИН Н.П. Экономическая эффективность проектных решений в судоходном строительстве. Л.: Судостроение, 1982.

86. МАВЛЮДОВ М.А., РУСЕЦКИЙ А.А., САДОВНИКОВ Ю.М. и др. Дискретные гибкие ограждения судов. Л.: Судостроение, 1973.

87. МАГУЛА В.Э. Судовые эластичные конструкции. Л.: Судостроение, 1978.

88. МАКЛЫШ В.Р. Суда на подводных крыльях с воздушной подушкой. Л.: Судостроение, 1981.

89. МАСЛОВ Л.А., ПАНОВКО Я.Г. Конструкция аппарата на воздушной подушке при наложении рессоры// Механика твердого тела: Тр./ АН СССР, 1977. № 5. С.57-62.

90. МИЛЮВАНОВ З.В., ЦОЙ Л.Г. Перспективы использования амфибийных СВП за рубежом// Судостроение, 1976. № 4. С.16-19.

91. МОХОВ Ю.М., СМИРНОВ С.А., ОСИМОВ И.В. Десантно-высадочные корабли на воздушной подушке для ВМФ США// Судостроение за рубежом. 1979. № 7. С.3-28.

92. НИКОЛАЕВ В.А. Конструкция и расчет судовых киперонов. Л.: Судопротив, 1956.

93. НОГИД Л.М. Проектирование морских судов. Ч.1. Методика определения элементов проектируемого судна. Л.: Судостроение, 1984.

94. ОСИН М.И. Методы автоматизированного проектирования летательных аппаратов. М.: Машиностроение, 1984.

105. Пат.1368234 Великобритания, МКИ B60V1/16. ГО с устройством для зарядки воздушных баллонов.

106. Пат.2145805 Франция, МКИ B60V1/00. Перефериное ограждение из внешнего полюра и конусов ГО.

107. ПАШИН В.М., СЕМЕНОВ Ю.Н. Системы автоматизированного проектирования судов: Учеб.пособие. Л.: НацЛКИ, 1981.

108. ПЕТИН Е.В. К проектированию формы двухкрылых гибких ограждений: Сб. науч.-тр./ НИИ. Николаев. 1978. № 140. С.42-45.

109. ПЕТРОВА И.М. Экспериментальные и теоретические исследования гидродинамики судов на воздушной подушке за рубежом. Л.: Изд.ШИИТЭНС, 1968.

110. Регистр СССР. Правила обеспечения безопасности СДПП. Л.: Транспорт. 1980.

111. ПРЫГУНОВА Е.Г., ЧЕКАНОВА А.А., КУШЕЛЕВ В.В., ЗИЛЬБЕРМАН А.С. Влияние некоторых конструктивных параметров на разрывную прочность резино-тканевых материалов// Вопросы судостроения. Сер.: Судомех. Технология и организация производства. 1985. Вып.6. С.61-64.

112. ПУЗЫРЕВ М.Н. Мореходные и маневренные качества судов в рабочей за воздушной подушке. Л.: Изд.ШИИТЭНС, 1968.

113. ПУЗЫРЕВ М.Н., МЕДВЕДЕВСКАЯ Л.В. Понижение судов на воздушной подушке на волнении. Л.: Изд.ШИИТЭНС, 1969.

114. Речной Регистр РСФСР. Правила классификации и постройки судов внутреннего плавания. Т.2. Ч.1. Корпус. М.: Транспорт, 1984.

115. РУСЕЦКИЙ А.А. Дискретные суда с гидродинамическими принципами поддержания. Л.: Судостроение, 1979.

116. СМИРНОВ С.А. Суда на воздушной подушке самолетного типа. Л.: Судостроение, 1983.

117. СОЛОМАХОВА Т.С., ЧЕМШЕВА К.В. Центробежные вентиляторы. Аэродинамические схемы и характеристики: Справочник. М.: Машиностроение, 1980.

- 308 116. Справочник по теории корабля/ Под ред. Я.И.Войткунского. Т.1. Гидромеханика. Сопротивление движению судов. Двигатели. Л.: Судостроение, 1985.
119. Справочник по теории корабля/ Под ред. Я.И.Войткунского. Т.2. Управляемость водомеханических судов. Л.: Судостроение, 1985.
120. Справочник резинника. М.: Химия, 1971.
121. СТЕПАНОВ Г.Ю. Гидродинамическая теория аппаратов на воздушной подушке. М.: Машига, 1983.
122. СТЕПАНОВ Г.Ю. Особенности гидродинамического расчета струйной аванссы над поверхностью воды// Судостроение. 1985. № 9. С.6-8.
- 122⁶. ТАЛИЕВ В.Н. Аэродинамика воздухоплавания. М.: Госстройиздат. 1964.
123. ТЕУШ В.Л., ЧЕРНОБЫЛЬСКИЙ М.В. Работа воздушного зонта. М.: Оборонгиз, 1946.
124. ТИТОВ И.А., ЕГОРОВ И.Т., ДРОБЫШЕВ КОВ В.Ф. Ходность быстроходных судов. Л.: Судостроение, 1979.
125. ТИХОНОВ В.И., ЗАХАРОВ А.М. Легкие газотурбинные установки быстроходных судов. Л.: Транспорт, 1973.
126. ТИШЕНКО М.Н. и др. Вертолеты. Выбор параметров при проектировании. М.: Машиностроение, 1976.
127. ТОЛСТОПРОВ Е.П., АНДРЕНКО В.М., СУХОВОКОВА Г.П., КОЖЕВНИКОВА Г.П. Применение композиционных материалов в изоляции заборниковой аэрационной техники (по материалам открытой иностранной печати за 1969-1980 гг.). Ч.1. М.: Изд.ОНТИ ЦАГИ им. Н.Е. Жуковского. 1984. № 644.
128. ТРЕШЕВСКИЙ В.Н., ВОЛКОВ Л.Д., КОРОТКИН А.И. Аэродинамический эксперимент в судостроении. Л.: Судостроение, 1976.
129. ХАНЖОНКОВ В.И. Аэродинамика аппаратов на воздушной подушке. М.: Машиностроение, 1972.
309. ХУДЯКОВ Л.Ю. Исследовательское проектирование кораблей. Л.: Судостроение, 1980.
131. ЧЕСТНОВ Е.Н. Зарубежные суда на воздушной подушке// Тр./ ШНИИЭВТ. 1975. Вып.117.
132. ШИМУРАК И.Л. Прочность связей текстильных материалов с различными в пути ее изменения. М.: Изд.ШНИИЭНфтехиздат, 1968.
133. Экологические и географические проблемы спасарской техники/ Под ред.Ю.М.Догадина. М.: Изд.МГУ, 1972.
134. ЭПШТЕЙН Л.А. Методы теории разверстостей в подобии. Л.: Судостроение, 1970.
135. A Gas turbine for Air Cushion Landing Craft // Defence. 1979. Vol.10, N 6. P.447-448.
136. AMYOT J.R. A preoperational control experiment on air cushion heave Stabilization/Cacts International Conference on Air Cushion Technology. 1984. Sept.25-27.
137. BAND E.G.U., LAVIS D.R. Computer-aided conceptual design of ACV // joint International Conference on Air Cushion Technology. Rockville Maryland USA. 1985. Sept. P.56-66.
138. BARR R.A., ETTER R.J. Selection of propulsion systems for high-speed advanced marine vehicles//Marine Technology. 1975. Vol.12. P.33-49.
139. CAA Paper 75017 Report of the ARB Special Committee on Hovercraft Stability and Control. 1975. June.
140. CAVANAGH R.A., RICCI J.J., HILLS S. Cushion stiffness characteristics of the amphibious assault landing craft JEFFA//Canadian Symposium in Air Cushion Technology. 1980. P.141-172.
141. CARRIER R., LUNDBLAD W., SWIFT M.R. The effect of skin Configuration on the Seakeeping of ACV//AIAA/ SNAME Advanced Marine Vehicles Conference. Arlington, Virginia. 1978. Sept.20-22. AIAA-Paper 78-864.
142. COX J.M. The evolution of Safety Requirements for Dynamically Supported Craft//Hovering craft and Hydrofoil. 1977. Vol.17, N 2. P.27-37.
143. COX R.I., TATTERSALL E.G. An assessment of the

- resent claims associated with the captive air bubble concept// Hovering Craft and Hydrofoil. 1964, Vol.3, N 5, P.10-14.
144. CRAGO W.A. Problems Associated with the use of skirts on Hovercraft// Hovering Craft and Hydrofoil. 1968, Vol.7, N 11, P.20-33.
145. DYKE R.W. Development in ACV Spray Suppression// 15th Canadian Symposium on Air Cushion Technology. 1981, Sept.29-30, P.113-125.
146. ELSLEY G.H., DEVEREUX A.J. Hovercraft Design and Construction. David and Charles Newton Abbot. 1968.
147. EMMA'S D.E. New concept in hovercraft design diesel versus gas turbines// 16th Canadian Symposium on Air Cushion Technology. 1982, Oct.19-21. Charlottetown Prince Edward Island Preprints, F.64-68.
148. FAIRBANKS J.W. The FT-9 Marine Gas Turbine Engine Development Programme// Hovering Craft and Hydrofoil. 1977, Vol. 16, N 5, P.5-20.
149. FORSTELL B.G., HARRY C.W. The Use of Model Test data for predicting full-scale ACV resistance// Joint International Conference on Air Cushion Technology. Rockville Maryland USA.1985, Sept. P.67-73.
150. FOWLER H.S. Thrust systems for light AIR Cushion Vehicles. NRC Mechanical Engineering Report LTR-ENG-21. 1974, P.1-40.
151. GOLDBURG L.I., TUCKER R.G. Current Status of US Navy Stability and buoyancy criteria for advanced marine vehicles// AIAA/SNAME Advanced Marine Vehicles conference. San Diego California. 1974, Feb. 25-27.
152. GORNSTEIN R.J. Design criteria for propellers used in Hovercraft: A case study of US Army's LACV-30// CACTS International Conference on Air Cushion Technology Canada Montreal (Quebec). 1987, Sept. 23-24, P.267-281.
153. GUIENNE P. Optimum Speed of an ACV-A Naviplane N 500 Application// Hovering Craft and Hydrofoil. 1977, Vol.16, N 9-10, P.18-26.
154. GUIENNE P. Stability of the Terraplane on the Ground// Hovering Craft and Hydrofoil. 1964, Vol. 4, N 1, P.22-23.
155. GUIENNE P. The search for economic transportation capability in marine hovercraft design inception// Hovering craft and Hydrofoil. 1975, Vol.15, N 2, P.23-25.
156. High Speed Marine Diesels// Defence. 1979, Vol.10, N 6, P.437-442.
157. INCH P., PRENTICE M.E., LEWIS G.J. Development in skirt systems for ACV. AIAA-Paper 89-1492.
158. JANES SURFACE SKIMMERS. Janes Yearbooks. London. 1977-1989.
159. JONES D., SULLIVAN P.A. Canadian experience with ACV seals// Proceedings of the 1989 Intersociety Advanced Marine Vehicles Conference. Arlington. 1989. AIAA-Paper 89-1494.
160. KELLY J.J., KLEMENS W., FREISER H.S. Development and evaluation of skirt/seal materials for surface effect vehicles// Hovering Craft and Hydrofoil. 1976, Vol.15, N 12, P.20-28.
161. LAVIS D. Air Cushion Craft// Naval Engineers Journal. 1985, Febr. P.29-316.
162. LAVIS D.R., BARTHOLOMEW R.J., Jones J.C. On the prediction of acceleration response of ACV to random seaways and the distortion effects of the cushion inherent in scale models. AIAA-Paper 72-598.
163. LEONARD J.C. AP.1-88. High Speed Surface Craft Conference. Royal Garden Hotel, London, UK. 1983, May 9-12. P.321-337.
164. MANTLE P.J. Air cushion craft development (first revision) Bethesda: David W. Taylor Naval Ship Research and Development Center. 1980.
165. MANTLE P.J. Technical Summary of Air Cushion Craft Development, Bethesda: David W. Taylor Naval Ship Research and Development Center. 1975.
166. MORAN D.D., WATERS R.T., JENNINGS A.N. Full-scale evaluation of a Hovercraft lift system// CACTS International Conference on Air Cushion Technology. Vancouver, Canada. Preprints. 1984, Sept.25-27, P.45-50.
167. NEUMAN J.N., POOLE F.A.P. The Wave Resistance of a Moving Pressure Distribution in a Channel// Schiffstechnik. 1962, Bd.9, H.45.
168. PLACKETT M.J., WADE R.B. Design Aspects of Seal Systems for Air Cushion Vehicles// AIAA/SNAME Advanced Marine Vehicles Conference. San Diego, California. 1978, April 17-19, P.1-20.
169. RICCI J.J., GERZINA D.M. Overland performance

niels of the amphibious assault landing craft JEFFB//Canadian Symposium in Air Cushion Technology. 1980. P.201-226.

170. RUSSEL B.J. Hovercraft propellers//Hovering Craft and Hydrofoil. 1974. Vol. 13. N.4. P. 15-20.

171. RUSSEL B.J. Vosper Thornycraft hovercraft//High-Speed Surface Craft. 1979. Vol.19. N 2-3. P.4-13.

172. SCHNELL E., OBERLANDER G., GUIENNE P. Light Weight gas turbines as power plants for air cushion vehicles-power packages of SEDAM-Naviplane N 500//Schiff und Hafen. 1977. Sept. H.9. S.807-809.

173. SILVER S., LAURIAT T.B. The Avco Licensing TF40 Marine Gas Turbine for the US Navy LCAC//High-Speed Surface Craft Conference. London UK. 1983. May 9-12. P.39-48.

174. SMITH B.S.L. Comparisons between powering and propulsion Systems//Hovering Craft and Hydrofoil. 1979. Vol.18. N 9-10. P.21-22.

175. SMITH B.S.L. Engine specifications//Hovering Craft and Hydrofoil. 1979. Vol.18. N 9-10. P.48-65.

176. SMITH B.S.L. Fuel and Consumption//Hovering Craft and Hydrofoil. 1979. Vol.18. N 9-10. P.34.

177. SMITH B.S.L. Gas Turbines for ACV's and hydrofoils//Hovering Craft and Hydrofoil. 1979. Vol.18. N 9-10. P.17-20.

178. SMITH B.S.L. Propulsion and lift for hovercraft//Hovering Craft and Hydrofoil. 1979. Vol.18. N 9-20. P.28-30.

179. SMITH B.S.L. The principles of hovercraft powering and propulsion//Hovering Craft and Hydrofoil. 1979. Vol.18. N 9-10. P.10-14.

180. STANTON J. Hovercraft skirt development an engineering and performance review//Quarterly Transactions of the Royal Institution of Naval Architects. 1968. Vol.110. N.4. P.499-524.

181. STEVENS M.J., PROKHOROW S.D. Air Cushion Vehicles Report DTNSRDS-81/026. 1981. July. P.153-185.

182. THOMPSON G.Y. Mountbatten Development//Air Cushion Vehicles. 1969. Vol.14. N 85. P.18-25, 30.

183. TREMILLIS J.A., BAND E.G.U., LAURENT R.S. A design synthesis model for ACV/SES Lift Systems//15th Canadian Symposium on Air Cushion Technology. Toronto, Ontario. 1981. Sept.29-30. P.143-180.

184. US Army Logistic Voyageur Hardening Analysis Report. 7467-950001. 1973. Nov. Section V.

185. VITALE D.J. Combat Damage - a unique element. 16th Canadian Symposium on Air Cushion Technology. Charlottetown. 1982. Oct.19-21. P.93-96.

186. WACHNIK Z.G., LIVINGSTON W.H. ACV Lift System Flow Simulation Model//AIAA 18th Aerospace Science Meeting. Pasadena, California. 1980. Jan.14-16.

187. WHEELER R.L. Recent United Kingdom Hovercraft Development//Journal of Hydronautics. 1978. Vol.12. N 1. P.3-17.

188. WILSON R.A., VIARS P.R. Operational Characteristics Comparison (ACV and SES)//AIAA-Paper 81-2064.

189. WILSON R.A., WELLS S.M., HEBER C.E. Powering Prediction for Surface Effect Ships Based on Model Results //Journal of Hydronautics. 1979. Vol.13. N 4. P.113-119.

190. WOODWARD M.J. British Experience Using the Aero Derived Gas Turbine for Main Propulsion in ACV and East Patrol Craft//International Conference. Melbourne ASME. 1971. Decemb. 28.

Приложение
Таблица 1

Элементы и характеристики судна, их размерность	Назначение			
	SR NS Англик	ШН ТМР2 Англик	SR NMRB5 Англик	БАН-2266 Англик
1	2	3	4	5
Весовая масса, т	7,0	48	17,01	-
Длина наибольшая, м	11,8	23,9	18,8	12,0
Ширина наибольшая, м	7,0	13,8	7,9	4,2
Высота Ю., м	1,23	1,76	-	0,5
Масса перевозимого груза, т	2,0	15	6	2,2
Пассажировместимость, чел	18	72+(7+8) автомоб.	35	23
Плавсредство (ПР)	4+61	-	-	-
Определенное давление в ВП, кПа	1,25	1,96	-	-
Полная двигательная мощность ГЗУ, кВт	660	3640	940	1×140
Количество агрегатов ГЗУ	1±ГЗУ "Мария Паск"	2±ГЗУ "Мария Паск"	1±ГЗУ "Мария Паск"	1± ВД Декстр БР90/93к
Кол-во ± при движении	1± ВВ	1± ВВ	2± ВВ	1± ВВ
Кол-во ± при плаванье	1± ЦПИ	1± ЦПИ	1± ЦПИ	1± ЦПИ
Диаметр движ., м	3,74	3,79	3,65	-
Диаметр плав., м	2,13	3,51	2,13	-
Предельная скорость хода на полной массе, уз	60	58	65	40
Плавность хода, миль	240	270	232	300

Характеристики АСВП

◎ 1994年

Tiger 40 Anzahl	PUC 22. Lanz Funkkanz.	Tur T22 Kernik	MV-PPS Rechner	MV-PPS Rechner
6	7	8	9	10
12,36	-	65	96,3	56
16,3	33	27,2	96,0	26,4
6,9	14,7	13,8	8,6	13,9
0,8 (gesamt)	1,0	1,5 - 1,8	0,6	1,6 - 2,0
3,0	30	15	5,5	16,31
40	50 (von 15 Autosetzen)	-	42 - 52	125
-	-	-	-	-
-	-	-	-	-
2 x 225	2600	2 x 1360	772	3126
2 x 141		2 x 1125		
4 x BII Devote	4 x BII	-	1 x FTBII	2 x FTBII
2 x BPW L513c	-	-	LM 300	TF 25
2 x BPW L913c				
<u>2 x BIIH</u>	<u>4 x BIIH</u>	<u>2 x BII</u>	<u>2 x BII</u>	<u>2 x BII</u>
<u>2 x 3 x BII</u>	<u>4 x BII</u>	<u>6 x BII</u>	<u>1 x BII</u>	<u>3 x BII</u>
<u>1,83</u>	<u>-</u>	<u>-</u>	<u>1,99</u>	<u>3,3</u>
<u>0,84</u>	<u>-</u>	<u>-</u>	<u>1,99</u>	<u>2,3</u>
38 - 40	25	55	55	60

Важнейшие тактико-технические

Основные характеристики судов, их разнородность	Направления			
	N 300 Франция	Voyageur Канада	VCA-36 Испания	LACV-5 США
1	2	3	4	5
Полная масса, т	27	41,3	36	32
Длина наибольшая, м	26	28	25,5	31,3
Ширина наибольшая, м	9,5	11,2	11,86	6,8
Высота ГО, м	3,8	3,22	3,8	0,91
Масса перевозимого груза, т	~ 13	15 - 25	14	4,53
Пасмуропрочистность, час	100 - 120	-	-	-
Площадь ВП	160	166	-	56,8
Относительное давление в ВП, кПа	2,14	2,44	-	2,08
Полная динамическая мощность ГЭУ, кВт	1884	2912	3676	-
Количество якорей ГД	2xГДЗ Лайто НС3	2xГДЗ STET-75	2xГДЗ TF-25	3xРД Dexis IPSE413P
Коэффициент трения, Кл. 1000	2xIII 4xOH	2xIII 2xIII	2xIII 4xIII	2xIII 2xIII
Диаметр якорей, м	3,5 1,85	2,74 2,13	4,0 -	2xIII -
Диаметр кильблата, м	-	-	-	-
Предельная скорость ходу на тихой воде, уз	54 - 60	54	60	-
Дальность хода, миль	178	550	3 + 1000	280

характеристики АСВП

TURT IV Южная Корея	API-88/200 Аргентина	страны, страны		"Пумы" СССР	"Южно" СССР	"Барс" СССР
		6	7	8	9	10
9,6	47,2	5,7	10,7	2,65		
12,7	24,5	12,3	17,5	3,0		
7	11,3	5,2	6,1	3,25		
0,8	1,22 - 1,52	0,6	0,6	0,45		
1,5	До 33,45	~ 1,65	2,6	До 0,82		
-	-	16	28 - 32	7 - 9		
-	-	46,7	-	-		
-	-	-	-	-		
2x 235 1x 310	1500	2x 88	2x 141	1x 239		
3x 88	4x ВП Dexis IPSE413P	2x AMK 3MC-35-11 IPSE413P	2x ВД Dexis IPSE413P	1x AMK M-14835		
1x ВВН	2x ВВН	2x ВВН	2x ВВН	2x ВВН		
2x III	(2x 2+1+2x 1)II	4x III	2	2x III		
2,75 1,98	0,98/0,94	-	-	-		
53	50	32,8	33,4	38		
260	-	108	-	158		

Таблица 2
Сопоставительный анализ элементов и характеристик
американских АСПН

Элементы и характеристики судов, их размер- ность	Наименование судна				
	SR NS Mk.1	SR NS Mk.2	VT-2	SR NS Mk.3	AP-3-48 серийное
1	2	3	4	5	6
Длина наиболь- шая, м	14,8	36,7	30,2	56,39	23,6
Ширина наиболь- шая, м	7,0	23,8	16,6	27,89	10,1
Масса судна пол- ной D_g , т	30	200	111,5	300	36,3
Длина ВЛ L_g , м	12,5	33	-	51,87	21,3
Ширина ВЛ B_g , м	6,0	21	-	21,5	8,1
Глубина ВЛ L_g/B_g	2,08	1,57	1,85	2,31	2,63
Площадь ВЛ S_g , м ²	75	682	326	1068,4	366
Высота РО h_{rg} , м	1,22	2,44	1,7	2,7 (среднее)	1,2
Относительная высота НЭ РО h_{rg}/B_g	0,5	0,4,0,5	0,75	0,5	0,5
Относительная длина $L_g = L_g /$ $(B_g + B_{rg})^{1/2}$	9,824	6,834	-	7,84	5,486
Воротило ВЛ P , м	3,4	10	-	19,5	33,3
Окруженное диамет- рное в области ВЛ D_g , м	1,42	2,88	3,4	2,757	2,05
Производительность нагнетательной систе- мы, м ³ /с	75	-	-	750	-

Продолжение табл. 2

1	2	3	4	5	6
Расход воздуха через ВЛ C_g , м ³ /с	70	452	-	700	130
Относительная вы- сота РО h_{rg}/B_g	0,2	0,12	-	0,12	0,148
Коэффициент запаса K_g	1,6	1,5	1,15	1,1	1,12
Полная двигательная мощность ГЛ N_{gl} , кВт	679	16560	5280	11180	1280
Количество + тип нагнетателей ГЛ 30°	1xГЛ, "Морис Джон"	4xГЛ, "Морис Прототип"	2xГЛ, "Морис Прототип"	4xГЛ, "Морис Прототип"	4xГЛ DRUTZ WILLIAMS
Мощность ГЛ N_{gl}/N_{sum} , кВт	770 679	4x3050 4x2640	2x3150 2x2640	4x2795	4x315
Количество движе- телей + их тип	1xВН	4xВН	2xВНН	4xВН	2xВНН
Диаметр движе- телей, м	2,74	5,76	4,12	6,4	2,74
Частота вращения двигателя, 1/мин	3000	622	675	700	1516
Количество нагне- тательей + тип	1xШН	4xЦН	8xЦН	4xЦН	6xЦН шумог- луш.
Диаметр РК нагне- тательных, м	2,13	3,51	1,59	3,51	0,56
Частота вращения РК нагнетательных, 1/мин	800	700	3000	600	-
Пределная ско- рость хода на текой волне, м/с	52	До 66	До 40	До 67	До 50
Относительная ско- рость P_{rg} (предель- ная)	7,56	4,5	4,51	4,27	4,52

Продолжение табл. 2

1	2	3	4	5	6
Масса полного груза $D_{tr} \cdot t$	345	69.8	31.6	113	9.26
Количество перевозимых пассажиров/автомобиль, чист.	<u>38</u>	<u>382</u>	-	<u>418</u>	<u>161</u>
Запас теплоты $D_{tr} \cdot t$	0.85	14.3	30.7	33	3.25 (2730 кДж)
Удельная электромощность N_e / D_{tr} , кВт/т	67.5	52.8	47.35	37.27	34.7
Коэффициент мощности $K_2 = G v / N_e$	0.988	0.329	0.416	0.091	7.286
Удельный расход воздуха через ИП Q_p / D_{tr} , м ³ /км/т	7.0	2.16	-	2.35	3.6
Базисный коэффициент расхода воздуха $\bar{Q}_{tr} \cdot 10^3$	2.13	0.98	-	0.99	1.11
Базисный коэффициент расхода воздуха \bar{Q}_{tr}	0.145	0.165	-	0.112	0.044
Относительная влажность ГД $\theta_{tr} / (\theta_{tr} + \theta_{in})$	0.37	0.42	0.36	0.41	0.37
Расчетное значение зазора t_1 под нижней кромкой ГД по выражению (4.10) при $\mu = 0.35$	0.078	0.117	-	0.137	0.073
Относительный зазор под нижней кромкой ГД $\theta_1 \beta / S_2 \cdot 10^{-3}$	6.38	3.39	-	2.63	1.47
Относительный зазор под нижней кромкой ГД $\theta_1 \beta / S_2 \cdot 10^{-3}$	3.87	1.77	-	1.39	2.43

Окончание табл. 2

1	2	3	4	5	6
Коэффициент износа $\bar{G}_n \cdot 10^{-2}$	1.7	1.1	1.88	0.888	1.65
Коэффициент износа $\bar{G}_n \cdot 10^{-3}$	1.13	0.83	-	0.59	1.0
Время заполнения объема ИП изотермически $T_{tr} = \frac{\bar{G}_n \cdot \theta_{in}}{Q_p} \cdot C$	1.2	3.68	-	4.12	1.53
Собственный переход вертикальной базисной $T_{tr} = \frac{1.8 \sqrt{h} \cdot \theta}{Q_p \cdot C}$	2.21	3.13	2.61	3.29	3.2
$\bar{C} = \bar{G}_n / T_{tr}$	0.58	1.38	-	1.25	0.70
Воздушесодержащие пороки $D_{air} \cdot t_{air}$	-	-	63.64	-	35.5
Коэффициент утилизации полной массы по полной пружинод彈кости $\eta = (D_{tr} + \bar{G}_n \cdot \bar{S}_2) / D_{tr}$	0.64	0.42	0.39	0.44	0.32

Свойства и характеристики АСИИ
CIEA, СССР, Франция

Таблица 3

Значение и характеристика свойств из расчетов	Измеренные свойства						Номер теста
	ИППИ		ЛОСА		ЛАСИ-30		
	CIEA	CIEA	CIEA	CIEA	CCCP	Франция	
1	2	3	4	5	6	7	
Диаметр шарообразных частиц из расчетов	25,3	26,4	26,3	23,3	9,4	50,9	
Ширина шарообразных, м	14,6	14,3	14,3	11,2	3,0	31,9	
Максимальная толщина D _h , м	1,57	1,54,2	1,53,5	0,96	5,7	265	
Диаметр ИППИ L _{IP} , м	37	23,4	24,1	21,9	8,08	45	
Диаметр ИППИ D _{IP} , м	11,2	12,4	12,3	9,4	4,17	21,4	
Число частиц ИППИ D _{IP}	2,05	1,89	1,90	2,15	1,94	3,16	
Индекс ИППИ S _{IP} , м ²	3,28	263	307	309	32	320	
Базисный CO ₂ /H ₂ , М	1,52	1,52	1,52	1,2	0,7	2,5	
Однородность засева HS CO ₂ /H ₂ /CO ₂	1,0	0,5	0,5	-	0,42	-	

1	2	3	4	5	6	7	
L _{IP} /D _{IP} / P _{IP} / T _{IP}	5,046	4,60	4,58	5,856	4,56	7,94	
Напорный ИППИ D _{IP}	74,72	66,27	67,83	-	56,56	34,63	12,6
Однородность засева однородности ИППИ D _{IP} - 0,51	-	-	-	-	-	-	-
Производительность шарообразных очистителей, м ³ /ч	563	546	-	-	40	900	800
Производительность шарообразных очистителей Парома, кубометров/час	362	292	≈ 280	≈ 260	30	-	-
Конфигурация засева K _{IP} или K _{IP}	0,115	0,120	0,122	0,123	0,067	0,117	
Плотность засева шарообразных очистителей ИППИ (T _{IP}) _{IP} , кг/м ³	1,27	1,46	1,25	-	1,39	-	
Плотность засева шарообразных очистителей ИППИ (T _{IP}) _{IP} , кг/м ³	1,2266	1,2363	2,000	-	412	1175	
Конфигурация засева ИППИ (T _{IP}) _{IP}	6,41 T _{IP} T _{IP}	6,41 T _{IP} T _{IP}	4,8 T _{IP} T _{IP}	2,4 T _{IP} STET-76	2,4 T _{IP} STET-76	5,8 T _{IP} T _{IP}	
Максимальный T _{IP} N _{max} (N _{IP}) _{IP}	5,82750 5,82561	5,82750 5,82561	4,53862 4,53861	2,13134 2,13136	-	5,82750 5,82561	2,13136

	1	2	3	4	5	6	7
Коэффициент изотермичности α							
4 + 36H	4 + 36H	2 + 11H	2 + 11H	2 + 11H	2 + 11H	2 + 11H	3 + 11H
2,25	3,6	3,6	3,6	3,4	2,9	2,9	4,4
Число изотермичности β							
Коэффициент изотермичности α и коэффициент изотермичности β	8 + 11H	4 + 11H изотермичность изотермичность	4 + 11H	-	-	1300	620
Параметр РК изотермичности α	1,2	1,53	1,53	1,1	1,0	4,0	
Число изотермичности РК изотермичности β	2450	1250	-	7900	1600	915	
Пределы изотермичности изотермичности изотермичности α и β	До 40	До 80	До 90	До 63	44	До 75	
Оценка изотермичности РК изотермичности	5,68	5,68	5,56	5,26	5,42	3,95	
Масса изотермичности изотермичности α	λ_{TP}^{-1}	54,5	54,5	50,30	1,27	90,3	
Изотермичность изотермичности изотермичности изотермичности	-	-	-	-	14	$\frac{400}{45}$	

	1	2	3	4	5	6	7
Максимальное значение $\Pi_{\text{TP}}^{\text{F}}$							
18,1	18,1	-	-	8,36 (10092,6)	0,47	20,5	
Установленное значение $\Pi_{\text{TP}}^{\text{F}}$							
коэффициент $K_{\text{TP}} = D_{\text{TP}} / D_{\text{R}}$	78,16	88,2	84,3	86,4	73,3	44,6	
Коэффициент изотермичности $K_{\text{R}} = G_{\text{R}}/G_{\text{TP}}$	5,234	5,204	3,253	8,130	3,667	4,209	
Установленное значение $\Pi_{\text{TP}}^{\text{F}}$	2,38	1,89	1,87	4,86	5,26	3,04	
Безразмеренный коэффициент расчета изотермичности $\bar{Q}_{\text{TP}} = \Pi_{\text{TP}}^{\text{F}} / \sqrt{D_{\text{TP}} / D_{\text{R}}}$	1,28	1,13	1,06	1,93	2,77	1,92	
Безразмеренный коэффициент расчета изотермичности $\bar{Q}_{\text{R}} = \Pi_{\text{TP}}^{\text{F}} / \sqrt{D_{\text{TP}} / D_{\text{R}}}$	0,15	0,126	0,125	0,237	0,143	0,157	
Расчетное значение изотермичности $\Pi_{\text{TP}}^{\text{F}}$ при коэффициенте изотермичности изотермичности изотермичности изотермичности $\lambda_{\text{TP}} = 0,55$	0,190	0,097	0,087	0,129	0,067	0,152	$\langle \Pi_{\text{TP}}^{\text{F}} = 0,60 \rangle$

	1	2	3	4	5	6	7
максимальный крутящий момент ГП							
$G_3 (T_3 - T_2)$	3.7	3.7	3.7	3.62	5.63	6.38	3.30
относительный крутящий момент ГП							
$\frac{G_3 (T_3 - T_2)}{G_3 (T_3 - T_1)}$	2.9	2.9	2.9	1.92	3.51	3.62	2.26
коэффициент нагрузки							
$T_2/T_1 = 2$	2.98	3.26	3.78	1.88	3.87	3.87	1.07
коэффициент нагрузки							
$(T_2/T_1)^2 = 4$	3.77	3.63	3.63	1.93	3.77	3.77	0.69
коэффициент устойчивости							
$\frac{G_3 (T_3 - T_2)}{G_3 (T_3 - T_1) + G_{\text{сп}}}$	1.38	1.47	1.62	0.98	0.75	0.75	2.39
Собственная частота $T_s = \sqrt{\frac{G_3}{M}}$							
$T_s = T_2/T_1 = 2$	2.47	2.47	2.47	2.2	1.68	1.68	3.17
Возможная частота $T_s = \sqrt{\frac{G_3}{M}}$							
$T_s = T_2/T_1 = 2$	0.56	0.66	0.66	0.44	0.45	0.45	0.92
коэффициент устойчивости							
$A_{\text{сп}}$	-	-	-	95.7	25.4	3.88	≈ 154
коэффициент устойчивости по критерию $\frac{T_s}{T_2} = (G_3/T_2) \cdot \frac{T_s}{G_3}$				0.46	0.46	0.46	
	0.46	0.47	0.47				

ОГЛАВЛЕНИЕ

Глава 6. Назначение характеристик ограждений области ВП	3
§ 6.1. Гибкие ограждения ВП. Назначение, условия эксплуатации, требования к ним	3
§ 6.2. Типы ГО, применяемые на АСВП	7
§ 6.3. Расходно-напорные характеристики СВП, оборудованного ТО области ВП. Изгибная жесткость материалов ГО и ее моделирование	34
§ 6.4. Установление взаимосвязи расходно-напорных характеристик ВП и ГО на АСВП	45
§ 6.5. Принципы обеспечения и расчета формы ГО	49
§ 6.6. Оценка прочности ГО. Принципы ее расчета. Использование опыта проектирования и прототипов при выборе материалов ГО	64
§ 6.7. Материалы для ГО	78
§ 6.8. Изготовление и сборка ГО	92
§ 6.9. Испыт. повреждения и ремонт ГО	98
Глава 7. Обеспечение остойчивости и устойчивости СВП в различных режимах эксплуатации	100
§ 7.1. Учет требований к остойчивости. Понятие об остойчивости в различных режимах эксплуатации СВП	100
§ 7.2. Расчет статической остойчивости СВП. Поперечная и продольная остойчивость при переносе СВП над твердым экраном	128
§ 7.3. Обеспечение вертикальной устойчивости СВП над твердым экраном и над водой. Установление связи вертикальной устойчивости с динамическими характеристиками судна. Продолжение вибрации ГО	139

328		329	
§ 7.4. Статическая остойчивость над водой "на стоянке" и за ходу, ее связь с проектными характеристиками судна	181	§ 10.1. Главные размерения СВП и их взаимосвязь с его характеристиками и требованиями исходных данных	262
§ 7.5. Динамическая неустойчивость формы ГО и методы ее предотвращения. Борьба с зевошвом в затягивании ГО	187	§ 10.2. Построение вычислительного алгоритма	271
Глава 8. Основы проектирования и компоновки энергетической установки АСВП	188	§ 10.3. Критерии оценки проектов. Принципы автоматизации процесса проектирования	285
§ 8.1. Проектные аспекты комплектации ЭУ и обеспечение условий ее функционирования на АСВП	188	Заключение	295
§ 8.2. Учет особенностей ГТД при их использовании на СВП	189	Литература	297
§ 8.3. Специфика использования высокоЭнергетических двигателей	190	Приложения	314
§ 8.4. Комплектация, компоновка и конструктивное исполнение ЭУ СВП	191		
§ 8.5. Особенности систем и устройств, обеспечивающих функционирование ЭУ СВП	198		
Глава 9. Нагрузки СВП. Определение составляющих массы	213		
§ 9.1. Расчет массы судна. Особенности расчета. Разбивка нагрузки	213		
§ 9.2. Полная грузоподъемность СВП	217		
§ 9.3. Масса корпуса и находящегося его оборудования	218		
§ 9.4. Масса энергетической установки	227		
§ 9.5. Расчет массов топлива	235		
§ 9.6. Определение массы ГО	245		
§ 9.7. Точность расчетов нагрузки, значение запасов изолимитаций в остойчивости СВП	251		
§ 9.8. Использование метода приращений в расчетах нагрузки СВП	257		
Глава 10. Методология проектирования СВП	262		